



AGENZIA DEL DEMANIO
DIREZIONE REGIONALE CALABRIA
SERVIZI TECNICI

RISTRUTTURAZIONE E RIFUNZIONALIZZAZIONE DI DUE IMMOBILI
SITI IN CONTRADA LENZI - SIDERNO (RC) DA DESTINARE A UFFICI
E ALLOGGI PER LA POLIZIA DI STATO: COMMISSARIATO, R.P.C. E
DISTACCAMENTO POLIZIA STRADALE.
SCHEDE RCB1327 E RCB1328

PROGETTO DI FATTIBILITÀ TECNICA ECONOMICA

VALUTAZIONE DELLA SICUREZZA
STRUTTURALE - EX POST – RCB1327

IL RESPONSABILE SERVIZI TECNICI



ING. SALVATORE CONCETTINO

IL TECNICO ISTRUTTORE



ING. ALESSANDRA LEGATO

CODICE ELABORATO
R14 a

SCALA

PROTOCOLLO E DATA
2019/2356/DRCAL/STE del 6/02/2019

Committente:



**AGENZIA
DEL DEMANIO**

**AGENZIA DEL DEMANIO
DIREZIONE REGIONALE CALABRIA**
Via Gioacchino Da Fiore, 34 - 88100 CATANZARO (CZ)
Tel. 0961/778911 - Fax 06/50516080
e-mail: dre.Calabria@agenziademanio.it
PEC: dre_Calabria@pce.agenziademanio.it

Il Direttore Regionale:
Ing. Pier Giorgio Allegroni
Il Responsabile Unico del Procedimento:
Ing. Salvatore Concettino

**VERIFICA DI VULNERABILITÀ SISMICA E
VALUTAZIONE DELLA SICUREZZA STRUTTURALE,
RILIEVO ARCHITETTONICO, TOPOGRAFICO,
IMPIANTISTICO E STRUTTURALE E VERIFICA
PREVENTIVA DELL'INTERESSE ARCHEOLOGICO,
FINALIZZATI ALLA REDAZIONE DEL PROGETTO DI
FATTIBILITÀ TECNICO ECONOMICA
DELL'INTERVENTO DI RISTRUTTURAZIONE
RIFUNZIONALIZZAZIONE DA EFFETTUARSI SUL
COMPENDIO DEMANIALE "IMMOBILI CONFISCATI",
SITO IN CONTRADA LENZI, SIDERNO (RC) -
SCHEDE RCB1327 - RCB1328**

Livello Progettuale:

VULNERABILITÀ SISMICA

Contrada Lenzi - 89048 SIDERNO (RC)



Riferimento Immobile:

RCB1328

Descrizione elaborato:

**VALUTAZIONE DELLA
SICUREZZA STRUTTURALE -
EX POST - RCB1328**

Progettista:



SIDOTI ENGINEERING S.R.L. UNIPERSONALE
ARCHITETTURA >> INGEGNERIA

Sede legale: via Borgo Garibaldi 33 - 00041 Albano Laziale (RM)
Tel. e fax: 06.9323891 - cell. 393.9868781
REA CCIAA di RM 1379068

Filiali:
Regione Marche: Via Roma 12 - 63081 Castorano (AP)
Regione Sicilia: c/da Bastione 56 - 98071 Capo d'Orlando (ME)
Regione Lombardia: Via degli Scipioni, n. 7 20129 - Milano (MI)
Capitale sociale €. 10.000,00 i.v. - C.F. e P.IVA 12502151009
A.U. e D.T. Arch. Vincenzo Sidoti
Email: sidotiengineering@gmail.com
PEC: sidotiengineering@legalmail.it

Responsabile delle Integrazioni Specialistiche,
Direttore per l'esecuzione delle indagini, Progettista:
Arch. Vincenzo SIDOTI

Dipartimento Geologia e Geotecnica, Direttore Tecnico:
Geol. Fabrizio MARINI

Dipartimento Strutture, Progettista:
Ing. Simone SENZACQUA

Dipartimento Impianti Tecnologici, Esperto Gestione Energia -
Direttore Tecnico:
Ing. Francesco QUONDAMATTEO

Indagini e Rilievi, Progettista Opere Edili:
Arch. Jlenia ALLEVI

Indagini e Diagnostica strutturale UNI 9712:
Arch. Vincenzo SIDOTI
Arch. Jlenia ALLEVI
Ing. Simone SENZACQUA
Ing. Sara ERCOLANI
Archeologo Fabio NIEDDU

Timbri e firme:

Responsabile delle Integrazioni Specialistiche,
Direttore per l'esecuzione delle indagini, Progettista:
Arch. Vincenzo SIDOTI

Progettazione Strutturale:
Ing. Simone SENZACQUA

Indagini e Rilievi, Progettista Opere Edili:
Arch. Jlenia ALLEVI

| NOME FILE | | AMBIENTE SOFTWARE | | SCALA |
|------------------|-------------------|-------------------|--------------|-----------|
| R13b.doc | | Word | | - |
| DATA | DESCRIZIONE | REDATTO | VERIFICATO | APPROVATO |
| 15/07/2018 | Prima emissione | S. SENZACQUA | S. SENZACQUA | V. SIDOTI |
| 17/09/2018 | Seconda emissione | S. SENZACQUA | S. SENZACQUA | V. SIDOTI |
| Codice commessa: | Livello progett.: | Elaborato: | | |
| 31.18 | VS | R13b | | |

INDICE

| | | |
|-----------|---|-----------|
| 1 | PREMESSA..... | 2 |
| 2 | NORMATIVE DI RIFERIMENTO | 3 |
| 3 | STRATEGIA DI ADEGUAMENTO | 4 |
| 4 | INDAGINI IN SITU | 5 |
| 4.1 | Indagini sui terreni per la caratterizzazione dei suoli..... | 5 |
| 4.1.1 | Spettri impiegati nel calcolo strutturale..... | 13 |
| 4.2 | Indagini sull'edificio per l'acquisizione del livello di conoscenza, del fattore di confidenza f_c e delle proprietà dei materiali..... | 15 |
| 5 | VALUTAZIONE DELLA SICUREZZA..... | 16 |
| 6 | VITA NOMINALE, CLASSI D'USO E PERIODO DI RIFERIMENTO | 17 |
| 6.1 | Vita nominale..... | 17 |
| 6.2 | Classe d'uso | 17 |
| 6.3 | Periodo di riferimento per l'azione sismica..... | 18 |
| 7 | AZIONI SULLA COSTRUZIONE | 19 |
| 7.1 | Combinazione delle azioni | 19 |
| 7.2 | Analisi dei carichi..... | 21 |
| 7.2.1 | Elementi strutturali..... | 21 |
| 7.2.2 | Solai..... | 21 |
| 7.2.3 | Chiusure perimetrali..... | 22 |
| 7.3 | Criteri generali di valutazione della vulnerabilità per azioni sismiche..... | 22 |
| 7.3.1 | Analisi di regolarità | 22 |
| 7.3.1.1 | Verifica della regolarità in pianta | 22 |
| 7.3.1.2 | Verifica della regolarità in altezza..... | 23 |
| 7.4 | Determinazione dell'azione sismica..... | 23 |
| 7.5 | Determinazione dell'azione della neve..... | 24 |
| 8 | MODELLAZIONE DELLA STRUTTURA..... | 25 |
| 8.1 | Classificazione degli elementi strutturali | 29 |
| 9 | METODI DI ANALISI E CRITERI DI AMMISSIBILITÀ..... | 30 |
| 9.1 | Analisi statica non lineare (push-over) | 30 |
| 10 | VERIFICHE DI VULNERABILITÀ..... | 34 |
| 11 | DETERMINAZIONE DELL'INDICATORE DI RISCHIO (IR)..... | 50 |

Verifica di vulnerabilità sismica e valutazione della sicurezza strutturale, rilievo architettonico, topografico, impiantistico e strutturale e verifica preventiva dell'interesse archeologico, finalizzati alla redazione del progetto di fattibilità tecnico economica dell'intervento di ristrutturazione e rifunzionalizzazione da effettuarsi sul compendio demaniale "Immobili confiscati" sito in Contrada Lenzi, Siderno (RC) – Scheda RCB1328

1 PREMESSA

La presente relazione ha come scopo l'analisi di **vulnerabilità sismica** dell'edificio presentato nella scheda RCB1328, **a seguito degli interventi di adeguamento sismico proposti**.

L'edificio da analizzare è una palazzina a pianta rettangolare che si sviluppa su 4 livelli fuori terra, costituita da una struttura a telai a più piani e campate in cemento armato,



Verifica di vulnerabilità sismica e valutazione della sicurezza strutturale, rilievo architettonico, topografico, impiantistico e strutturale e verifica preventiva dell'interesse archeologico, finalizzati alla redazione del progetto di fattibilità tecnico economica dell'intervento di ristrutturazione e rifunzionalizzazione da effettuarsi sul compendio demaniale "Immobili confiscati" sito in Contrada Lenzi, Siderno (RC) – Scheda RCB1328

2 NORMATIVE DI RIFERIMENTO

- **Legge 5 novembre 1971, n. 1086:**
Norme per la disciplina delle opere di conglomerato cementizio normale e precompresso ed a struttura metallica.
- **D.M. 17 gennaio 2018:**
Norme tecniche per le costruzioni.
- **Circolare 2 febbraio 2009, n. 617 C.S.LL.PP.:**
Istruzioni per l'applicazione delle "Norme tecniche per le costruzioni" di cui al D.M. 14 gennaio 2008.
- **UNI EN 1992-1-[1-7] – Eurocodice 1:**
Azioni sulle strutture
- **UNI EN 1992-1-1 – Eurocodice 2:**
Progettazione delle strutture in calcestruzzo – Parte 1-1 Regole generali e regole per gli edifici.
- **UNI EN 1998-1 – Eurocodice 8:**
Progettazione delle strutture per la resistenza sismica – Parte 1 Regole generali, azioni sismiche e regole per gli edifici.
- **Ordinanza PCM 3274/2003:**
Primi elementi in materia di criteri generali per la classificazione sismica del territorio nazionale e di normative tecniche per le costruzioni in zona sismica.
- **L.R. Calabria n° 35 del 19/10/2009 e ss.mm.ii.:**
Procedure per la denuncia degli interventi di carattere strutturale e per la pianificazione territoriale in prospettiva sismica.
- **L.R. Calabria n° 25 del 15/06/2012 e ss.mm.ii.:**
- **L.R. Calabria n° 37 del 31/12/2015 e ss.mm.ii.:**
- **Regolamento R. Calabria n.15 del 29/11/2016 e ss.mm.ii.:**
- **Regolamento R. Calabria n.15 del 10/08/2017, e ss.mm.ii.**

3

Si precisa che trattandosi di un edificio strategico la verifica strutturale è stata effettuata tenendo conto delle prescrizioni dell'ordinanza PCM 3274/2003, delle NTC 2018, delle L.R. Calabria n° 35 del 19/10/2009, L.R. Calabria n° 25 del 15/06/2012 L.R., Calabria n° 37 del 31/12/2015 e dei seguenti regolamenti regionali: Regolamento R. Calabria n.15 del 29/11/2016, Regolamento R. Calabria n. 15 del 10/08/2017.

Verifica di vulnerabilità sismica e valutazione della sicurezza strutturale, rilievo architettonico, topografico, impiantistico e strutturale e verifica preventiva dell'interesse archeologico, finalizzati alla redazione del progetto di fattibilità tecnico economica dell'intervento di ristrutturazione e rifunzionalizzazione da effettuarsi sul compendio demaniale "Immobili confiscati" sito in Contrada Lenzi, Siderno (RC) – Scheda RCB1328

3 STRATEGIA DI ADEGUAMENTO

Il miglioramento sismico sarà ottenuto attraverso un sistema di interventi consistenti nella realizzazione di **nuove pareti in calcestruzzo armato dello spessore di 20cm** al fine di ottenere:

- la drastica riduzione della domanda di deformazione in tutti gli altri elementi
- la risoluzione dei problemi di "piano soffice",
- la riduzione degli effetti del secondo ordine e quindi un aumento della sicurezza nei confronti del collasso;
- le pareti, anche in fase di estesa fessurazione, mantengono gran parte della capacità portante nei confronti dei carichi verticali.

La localizzazione dei setti di nuova realizzazione è riportata nella tavola **Tav.22 – “Interventi di miglioramento/adequamento sismico - RCB1328”**

Verifica di vulnerabilità sismica e valutazione della sicurezza strutturale, rilievo architettonico, topografico, impiantistico e strutturale e verifica preventiva dell'interesse archeologico, finalizzati alla redazione del progetto di fattibilità tecnico economica dell'intervento di ristrutturazione e rifunzionalizzazione da effettuarsi sul compendio demaniale "Immobili confiscati" sito in Contrada Lenzi, Siderno (RC) – Scheda RCB1328

4 INDAGINI IN SITU

4.1 Indagini sui terreni per la caratterizzazione dei suoli

Le indagini sui terreni di fondazione effettuate dal geologo sono riportate negli elaborati R08a, R08b e R08c, gli spettri utilizzati nei calcoli strutturali sono quelli indicati dal geologo nella **R08d - Relazione sulla pericolosità sismica**.

Per arrivare alla definizione degli spettri da utilizzare nel calcolo strutturale il geologo ha eseguito un'analisi di risposta sismica locale; da tali analisi si ottengono i seguenti spettri di risposta elastici sito-dipendenti per i differenti stati limite:

Stato limite di operatività

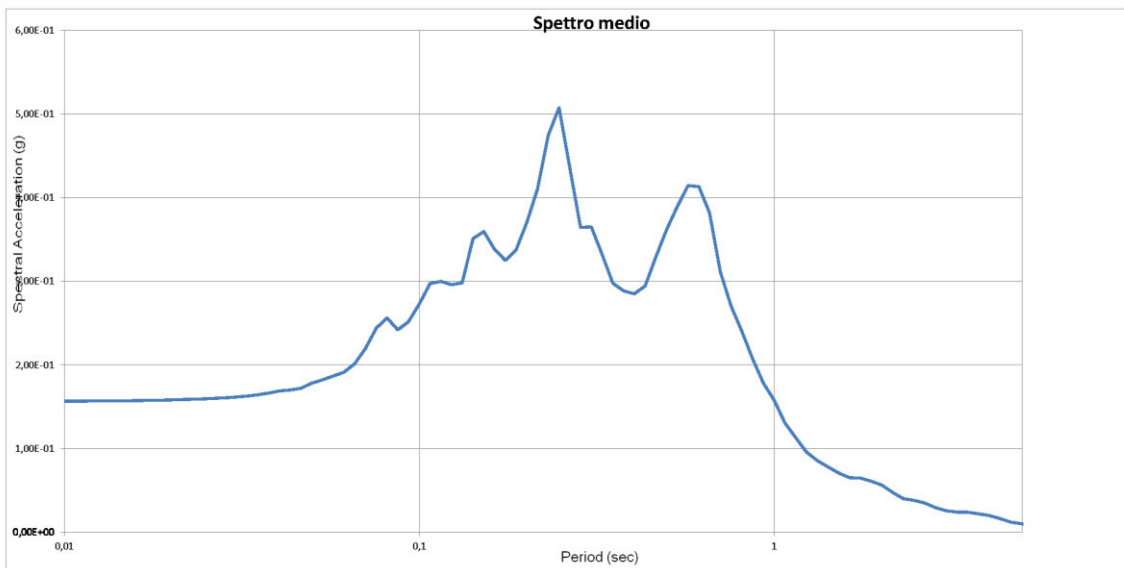


Figura 1 - Spettro elastico di sito SLO

Stato limite di danno

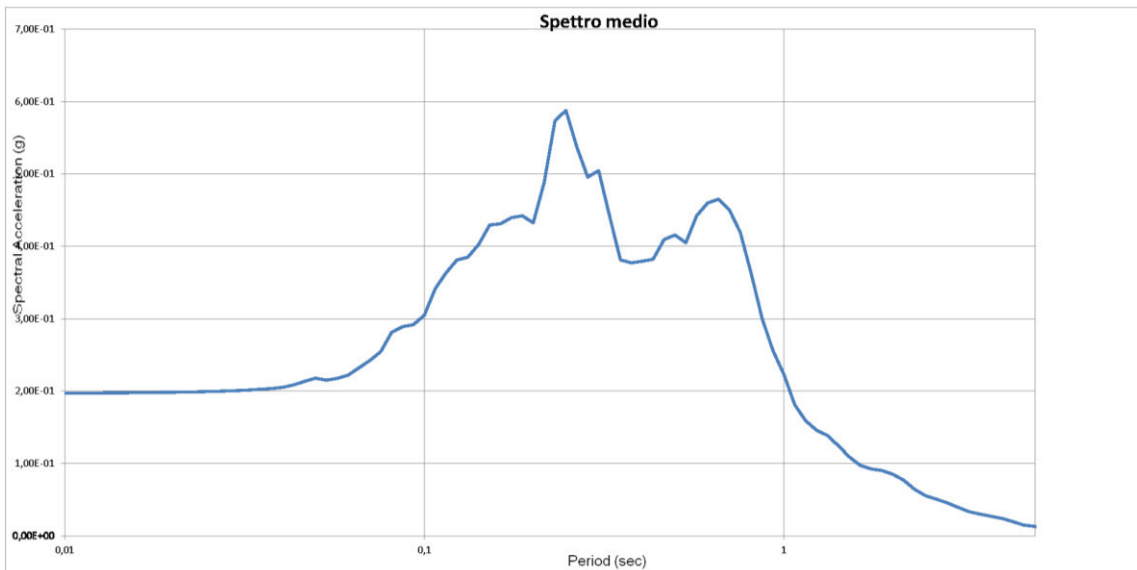


Figura 2 - Spetto elastico di sito SLD

Verifica di vulnerabilità sismica e valutazione della sicurezza strutturale, rilievo architettonico, topografico, impiantistico e strutturale e verifica preventiva dell'interesse archeologico, finalizzati alla redazione del progetto di fattibilità tecnico economica dell'intervento di ristrutturazione e rifunzionalizzazione da effettuarsi sul compendio demaniale "Immobili confiscati" sito in Contrada Lenzi, Siderno (RC) – Scheda RCB1328

Stato limite di salvaguardia della vita

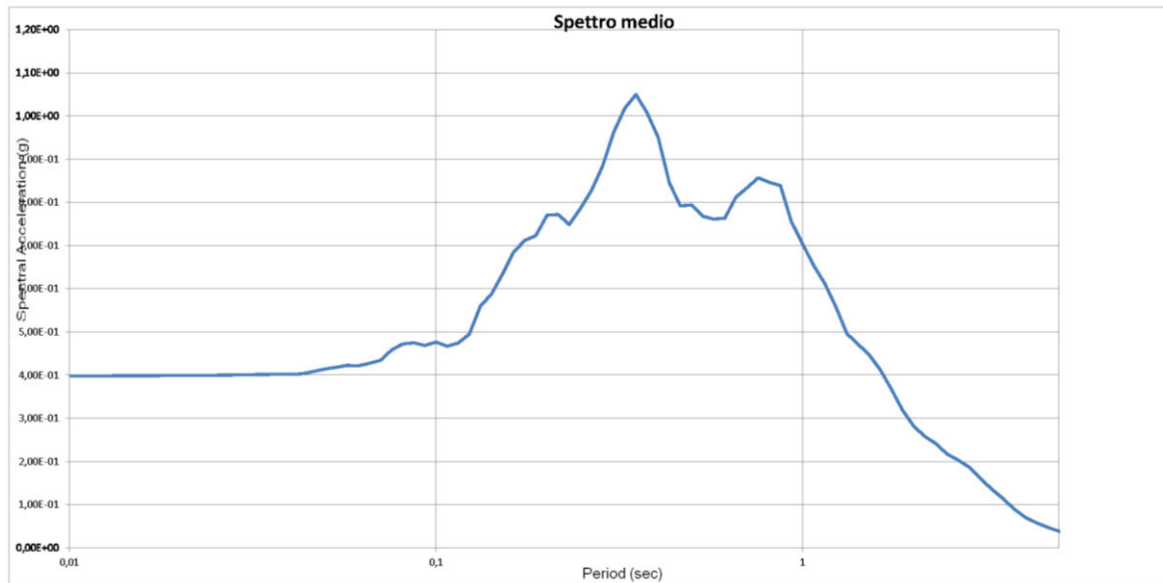


Figura 3 - Spettro elastico di sito SLV

Stato limite di collasso

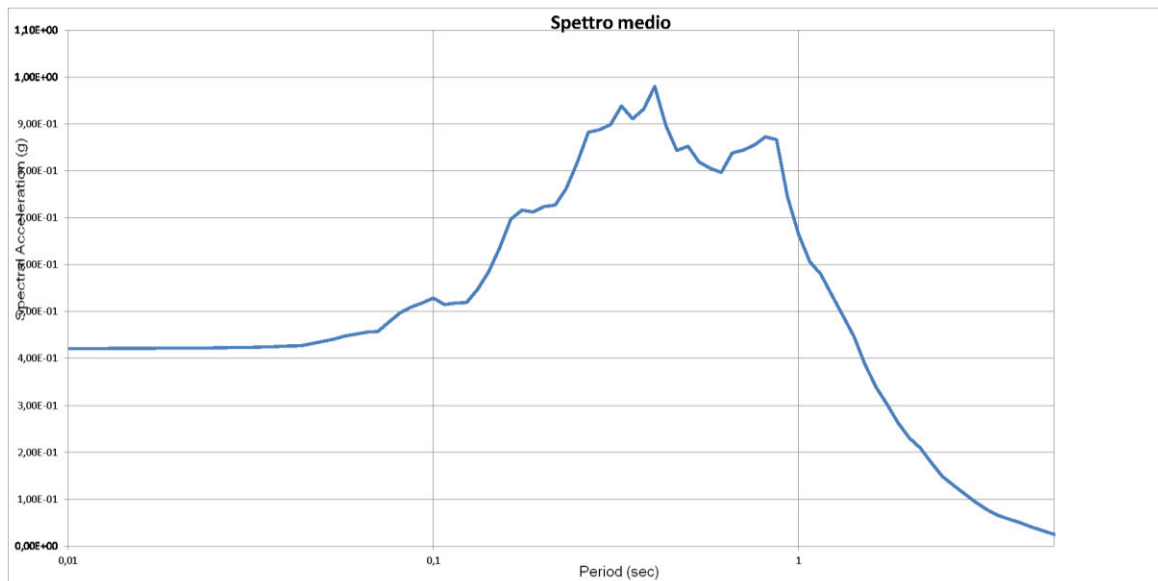


Figura 4 - Spettro elastico di sito SLC

Tali spettri sito-dipendenti vengono confrontati con gli spettri derivanti dalle NTC 2018 generati considerando la **categoria di sottosuolo C**, in virtù del fatto che la **VS,30** di sito è pari a **237 m/s**.

Si allegano a seguire le immagini relative alla generazione degli spettri da normativa per ogni stato limite:

VALUTAZIONE DELLA SICUREZZA STRUTTURALE - EX POST - RCB1328

Verifica di vulnerabilità sismica e valutazione della sicurezza strutturale, rilievo architettonico, topografico, impiantistico e strutturale e verifica preventiva dell'interesse archeologico, finalizzati alla redazione del progetto di fattibilità tecnico economica dell'intervento di ristrutturazione e rifunzionalizzazione da effettuarsi sul compendio demaniale "Immobili confiscati" sito in Contrada Lenzi, Siderno (RC) - Scheda RCB1328

FASE 1. INDIVIDUAZIONE DELLA PERICOLOSITÀ DEL SITO

Ricerca per coordinate
 LONGITUDINE: 16,30830 | LATTITUDINE: 38,28620

Ricerca per comune
 REGIONE: Calabria | PROVINCIA: Reggio Calabria | COMUNE: Siderno

Elaborazioni grafiche
 Grafici spettri di risposta | Variabilità dei parametri

Elaborazioni numeriche
 Tabella parametri

Nodi del reticolo intorno al sito

La "Ricerca per comune" utilizza le ... coordinate ISTAT del comune per identificare il sito. Si sottolinea che ... all'interno del territorio comunale le azioni sismiche possono essere significativamente diverse da quelle ... così individuali e si consiglia, quindi, la "Ricerca per coordinate".

Controllo sul reticolo:
 Sito esterno al reticolo
 Interpolazione su 3 nodi
 Interpolazione corretta

Interpolazione: **media ponderati**

INTRO | **FASE 1** | FASE 2 | FASE 3

FASE 2. SCELTA DELLA STRATEGIA DI PROGETTAZIONE

Vita nominale della costruzione (in anni) - V_n : 100 info

Coefficiente d'uso della costruzione - C_u : 2 info

Valori di progetto

Periodo di riferimento per la costruzione (in anni) - V_R : 200 info

Periodi di ritorno per la definizione dell'azione sismica (in anni) - T_R : info

Stati limite di esercizio - SLE:
 SLO - $P_{VE} = 81\%$: 120
 SLD - $P_{VE} = 63\%$: 201

Stati limite ultimi - SLU:
 SLV - $P_{VE} = 10\%$: 1898
 SLC - $P_{VE} = 5\%$: 2475

Strategia di progettazione

LEGENDA GRAFICO:
 - - - - - Strategia per costruzioni ordinarie
 - - - - - Strategia scelta

INTRO | FASE 1 | **FASE 2** | FASE 3

FASE 3. DETERMINAZIONE DELL'AZIONE DI PROGETTO

Stato Limite considerato: **SLO** info

Risposta sismica locale:
 Categoria di sottosuolo: C info | $S_b = 1,500$ | $C_u = 1,499$ info
 Categoria topografica: T1 info | $h/H = 0,000$ | $S_T = 1,000$ info

Compon. orizzontale:
 Spettro di progetto elastico (SLE) | Smorzamento ξ (%): 5 | $\eta = 1,000$ info
 Spettro di progetto inelastico (SLU) | Fattore q : 3 | Regol. in altezza: si info

Compon. verticale:
 Spettro di progetto | Fattore q : 1,5 | $\eta = 0,667$ info

Spettri di risposta

INTRO | FASE 1 | FASE 2 | **FASE 3**

FASE 3. DETERMINAZIONE DELL'AZIONE DI PROGETTO

Stato Limite considerato: **SLD** info

Risposta sismica locale:
 Categoria di sottosuolo: C info | $S_b = 1,500$ | $C_u = 1,477$ info
 Categoria topografica: T1 info | $h/H = 0,000$ | $S_T = 1,000$ info

Compon. orizzontale:
 Spettro di progetto elastico (SLE) | Smorzamento ξ (%): 5 | $\eta = 1,000$ info
 Spettro di progetto inelastico (SLU) | Fattore q : 1 | Regol. in altezza: si info

Compon. verticale:
 Spettro di progetto | Fattore q : 1,5 | $\eta = 0,667$ info

Spettri di risposta

INTRO | FASE 1 | FASE 2 | **FASE 3**

FASE 3. DETERMINAZIONE DELL'AZIONE DI PROGETTO

Stato Limite considerato: **SLV** info

Risposta sismica locale:
 Categoria di sottosuolo: C info | $S_b = 1,252$ | $C_u = 1,391$ info
 Categoria topografica: T1 info | $h/H = 0,000$ | $S_T = 1,000$ info

Compon. orizzontale:
 Spettro di progetto elastico (SLE) | Smorzamento ξ (%): 5 | $\eta = 1,000$ info
 Spettro di progetto inelastico (SLU) | Fattore q : 1 | Regol. in altezza: no info

Compon. verticale:
 Spettro di progetto | Fattore q : 1,5 | $\eta = 0,667$ info

Spettri di risposta

INTRO | FASE 1 | FASE 2 | **FASE 3**

FASE 3. DETERMINAZIONE DELL'AZIONE DI PROGETTO

Stato Limite considerato: **SLC** info

Risposta sismica locale:
 Categoria di sottosuolo: C info | $S_b = 1,205$ | $C_u = 1,383$ info
 Categoria topografica: T1 info | $h/H = 0,000$ | $S_T = 1,000$ info

Compon. orizzontale:
 Spettro di progetto elastico (SLE) | Smorzamento ξ (%): 5 | $\eta = 1,000$ info
 Spettro di progetto inelastico (SLU) | Fattore q : 1 | Regol. in altezza: si info

Compon. verticale:
 Spettro di progetto | Fattore q : 1,5 | $\eta = 0,667$ info

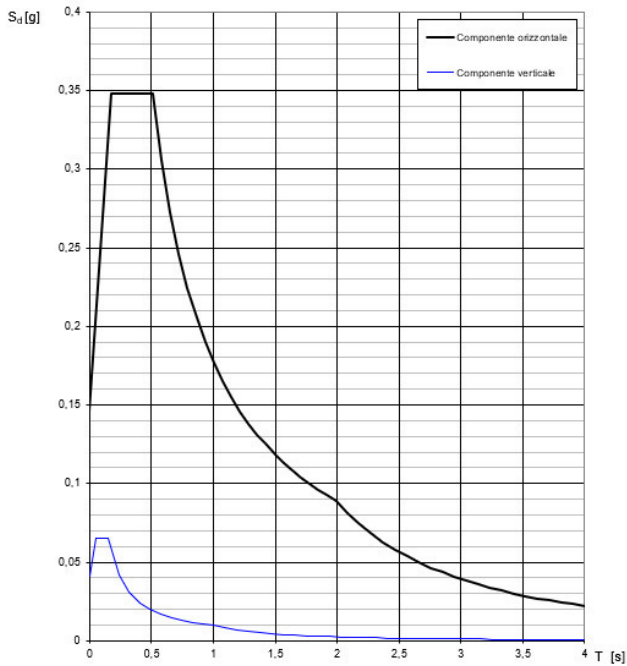
Spettri di risposta

INTRO | FASE 1 | FASE 2 | **FASE 3**

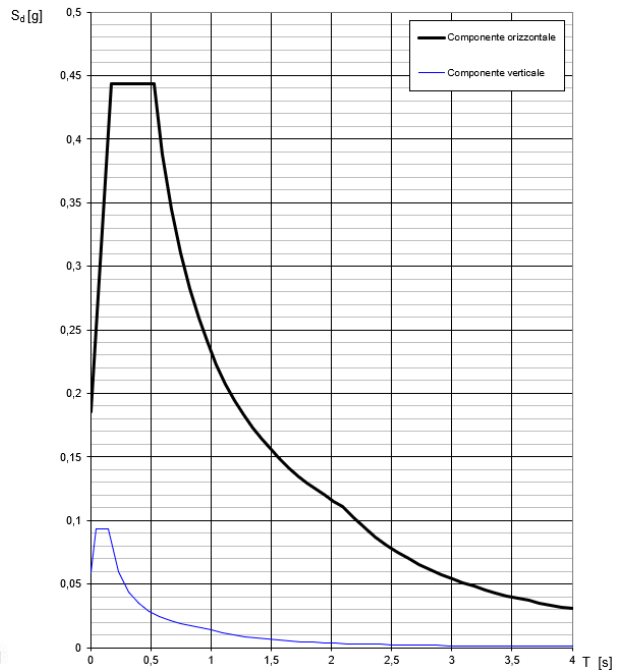
VALUTAZIONE DELLA SICUREZZA STRUTTURALE - EX POST - RCB1328

Verifica di vulnerabilità sismica e valutazione della sicurezza strutturale, rilievo architettonico, topografico, impiantistico e strutturale e verifica preventiva dell'interesse archeologico, finalizzati alla redazione del progetto di fattibilità tecnico economica dell'intervento di ristrutturazione e rifunzionalizzazione da effettuarsi sul compendio demaniale "Immobili confiscati" sito in Contrada Lenzi, Siderno (RC) - Scheda RCB1328

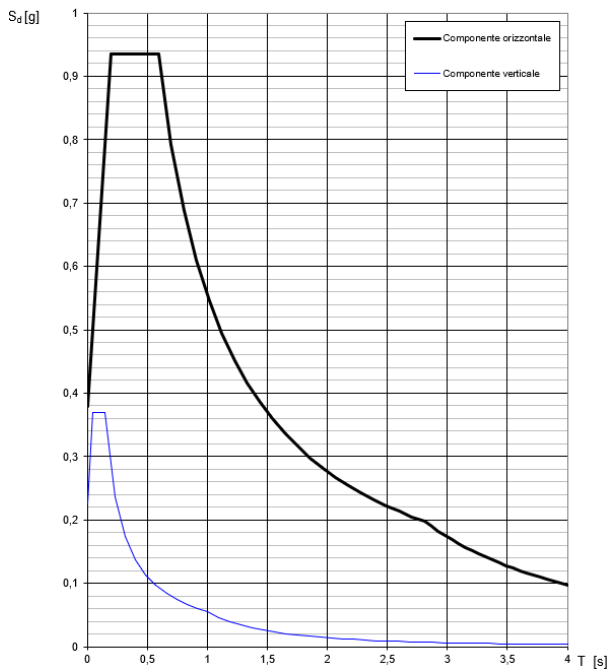
Spettri di risposta (componenti orizz. e vert.) per lo stato li SLO



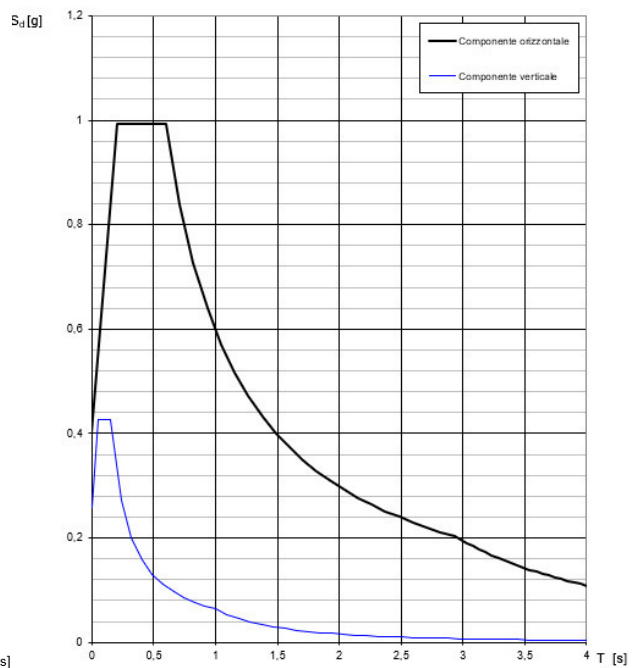
Spettri di risposta (componenti orizz. e vert.) per lo stato limite: SLD



Spettri di risposta (componenti orizz. e vert.) per lo stato limite: SLV



Spettri di risposta (componenti orizz. e vert.) per lo stato li SLC



Verifica di vulnerabilità sismica e valutazione della sicurezza strutturale, rilievo architettonico, topografico, impiantistico e strutturale e verifica preventiva dell'interesse archeologico, finalizzati alla redazione del progetto di fattibilità tecnico economica dell'intervento di ristrutturazione e rifunzionalizzazione da effettuarsi sul compendio demaniale "Immobili confiscati" sito in Contrada Lenzi, Siderno (RC) - Scheda RCB1328

Gli spettri di sito vengono normalizzati e confrontati con gli spettri da normativa vigente, di seguito si riportano i risultati di tale procedura e il relativo confronto per ogni stato limite.

- **Normalizzazione spettro SLO**

Nella tabella seguente sono inseriti i parametri utilizzati per la normalizzazione dello spettro di sito SLO

| Normalizzazione spettro Risposta Sismica Locale | | | | |
|---|------------------|-----------|---|-------|
| Parametri indipendenti: | | | | |
| accelerazione orizzontale massima al sito | | ag /g | | 0,097 |
| amplificazione spettrale massima | | Fo | | 2,384 |
| smorzamento | | η | | 1 |
| Amplificazione sismica max locale (da grafico) | | Se(T) max | | 0,508 |
| Parametri dipendenti: | | | | |
| Coeff. di amplificazione locale | =Se(max)/ag*h*Fo | SRSL | | 2,195 |
| Periodo caratteristico | | TB = | s | 0,240 |
| Periodo caratteristico | | TC = | s | 0,521 |
| Periodo caratteristico | | TD = | s | 1,988 |

Figura 5 Parametri per la normalizzazione dello spettro SLO

- **Confronto spettro di sito normalizzato e spettro da normativa per l'SLO**

Confrontando lo spettro di sito normalizzato con lo spettro da normativa si evince che per l'SLO lo spettro di sito normalizzato risulta maggiore, pertanto lo spettro di sito normalizzato è quello utilizzato nel calcolo strutturale

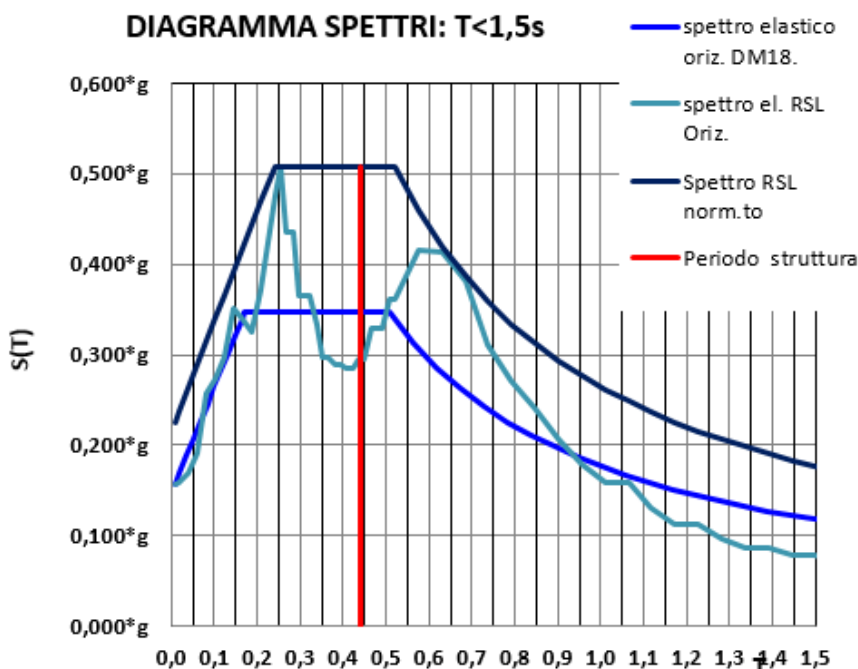


Figura 6 Normalizzazione spettro SLO e confronto con spettro SLO da normativa

Verifica di vulnerabilità sismica e valutazione della sicurezza strutturale, rilievo architettonico, topografico, impiantistico e strutturale e verifica preventiva dell'interesse archeologico, finalizzati alla redazione del progetto di fattibilità tecnico economica dell'intervento di ristrutturazione e rifunzionalizzazione da effettuarsi sul compendio demaniale "Immobili confiscati" sito in Contrada Lenzi, Siderno (RC) – Scheda RCB1328

• **Normalizzazione spettro SLD**

Nella tabella seguente sono inseriti i parametri utilizzati per la normalizzazione dello spettro di sito SLD

| | | | | |
|---|------------------|-----------|---|-------|
| Normalizzazione spettro Risposta Sismica Locale | | | | |
| Parametri indipendenti: | | | | |
| accelerazione orizzontale massima al sito | | ag /g | | 0,124 |
| amplificazione spettrale massima | | Fo | | 2,391 |
| smorzamento | | η | | 1 |
| Amplificazione sismica max locale (da grafico) | | Se(T) max | | 0,588 |
| Parametri dipendenti: | | | | |
| Coeff. di amplificazione locale | =Se(max)/ag*h*Fo | SRSL | | 1,982 |
| Periodo caratteristico | | TB = | s | 0,240 |
| Periodo caratteristico | | TC = | s | 0,555 |
| Periodo caratteristico | | TD = | s | 2,096 |

• **Confronto spettro di sito normalizzato e spettro da normativa per l'SLD**

Confrontando lo spettro di sito normalizzato con lo spettro da normativa si evince che per l'SLD lo spettro di sito normalizzato risulta maggiore, pertanto lo spettro di sito normalizzato è quello utilizzato nel calcolo strutturale

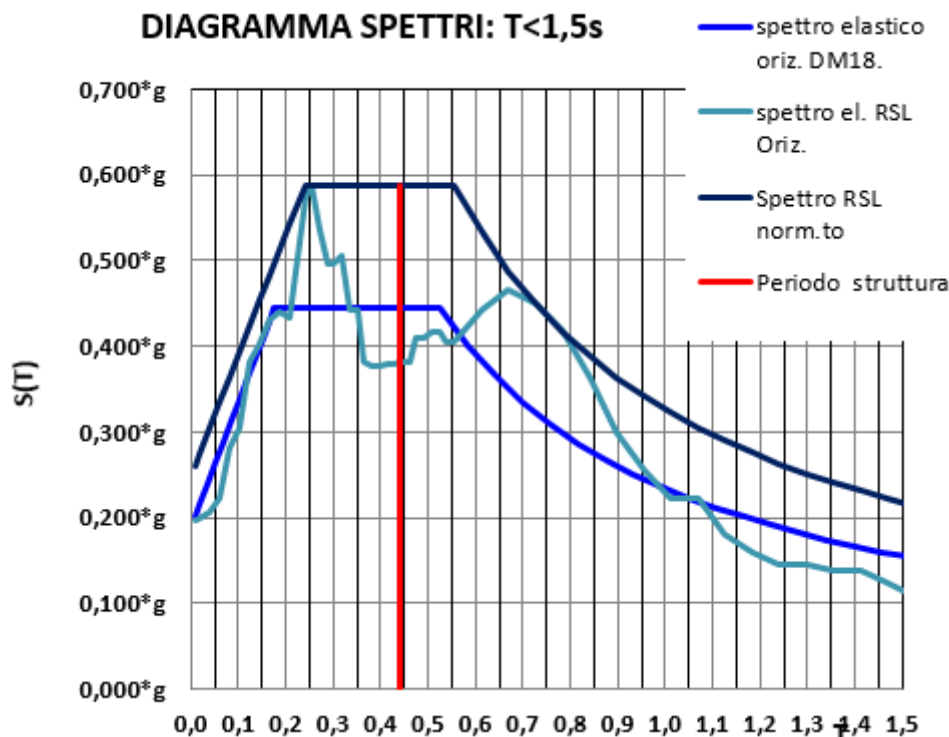


Figura 7 Normalizzazione spettro SLD e confronto con spettro SLD da normativa

Verifica di vulnerabilità sismica e valutazione della sicurezza strutturale, rilievo architettonico, topografico, impiantistico e strutturale e verifica preventiva dell'interesse archeologico, finalizzati alla redazione del progetto di fattibilità tecnico economica dell'intervento di ristrutturazione e rifunzionalizzazione da effettuarsi sul compendio demaniale "Immobili confiscati" sito in Contrada Lenzi, Siderno (RC) – Scheda RCB1328

• **Normalizzazione spettro SLV**

Nella tabella seguente sono inseriti i parametri utilizzati per la normalizzazione dello spettro di sito SLV

| Normalizzazione spettro Risposta Sismica Locale | | | | |
|---|------------------|-----------|---|-------|
| Parametri indipendenti: | | | | |
| accelerazione orizzontale massima al sito | | ag /g | | 0,303 |
| amplificazione spettrale massima | | Fo | | 2,465 |
| smorzamento | | η | | 1 |
| Amplificazione sismica max locale (da grafico) | | Se(T) max | | 1,050 |
| Parametri dipendenti: | | | | |
| Coeff. di amplificazione locale | =Se(max)/ag*h*Fo | SRSL | | 1,406 |
| Periodo caratteristico | | TB = | s | 0,220 |
| Periodo caratteristico | | Tc = | s | 0,700 |
| Periodo caratteristico | | TD = | s | 2,812 |

Figura 8 Parametri per la normalizzazione dello spettro SLV

• **Confronto spettro di sito normalizzato e spettro da normativa per l'SLV**

Confrontando lo spettro di sito normalizzato con lo spettro da normativa si evince che per l'SLV lo spettro di sito normalizzato risulta maggiore, pertanto lo spettro di sito normalizzato è quello utilizzato nel calcolo strutturale

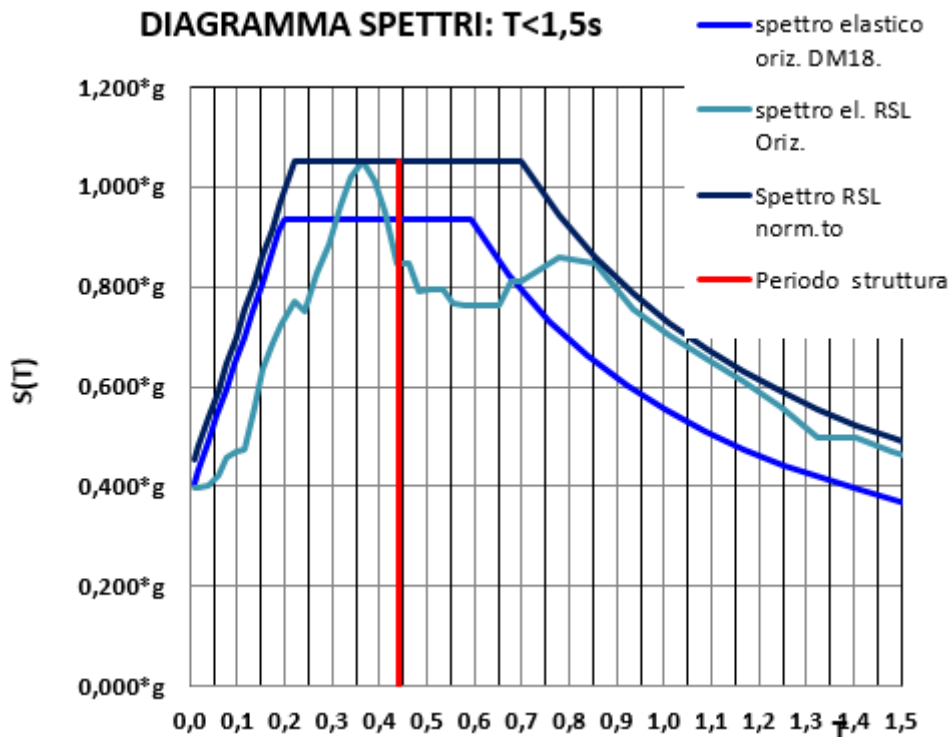


Figura 9 Normalizzazione spettro SLV e confronto con spettro SLV da normativa

Verifica di vulnerabilità sismica e valutazione della sicurezza strutturale, rilievo architettonico, topografico, impiantistico e strutturale e verifica preventiva dell'interesse archeologico, finalizzati alla redazione del progetto di fattibilità tecnico economica dell'intervento di ristrutturazione e rifunzionalizzazione da effettuarsi sul compendio demaniale "Immobili confiscati" sito in Contrada Lenzi, Siderno (RC) – Scheda RCB1328

• **Normalizzazione spettro SLC**

Nella tabella seguente sono inseriti i parametri utilizzati per la normalizzazione dello spettro di sito SLC

| | | | |
|--|-----------|---------|--|
| Normalizzazione spettro Risposta Sismica Locale | | | |
| Parametri indipendenti: | | | |
| accelerazione orizzontale massima al sito | ag /g | 0,332 g | |
| amplificazione spettrale massima | Fo | 2,483 | |
| smorzamento | η | 1 | |
| Amplificazione sismica max locale (da grafico) | Se(T) max | 0,981 g | |
| Parametri dipendenti: | | | |
| Coeff. di amplificazione locale (DM08 eq. =Se(max)/ag*h*Fo | SRSL | 1,190 | |
| Periodo caratteristico | TB = | 0,185 s | |
| Periodo caratteristico | Tc = | 0,774 s | |
| Periodo caratteristico | TD = | 2,928 s | |

Figura 10 Parametri per la normalizzazione dello spettro SLC

• **Confronto spettro di sito normalizzato e spettro da normativa per l'SLC**

Confrontando lo spettro di sito normalizzato con lo spettro da normativa si evince che per l'SLC lo spettro di sito normalizzato risulta inferiore in corrispondenza di periodi strutturali compresi tra 0,2s e 0,6s, pertanto lo spettro utilizzato nel calcolo strutturale è l'involuppo dei 2 spettri in modo da considerare sempre il valore massimo dell'accelerazione per ogni periodo strutturale

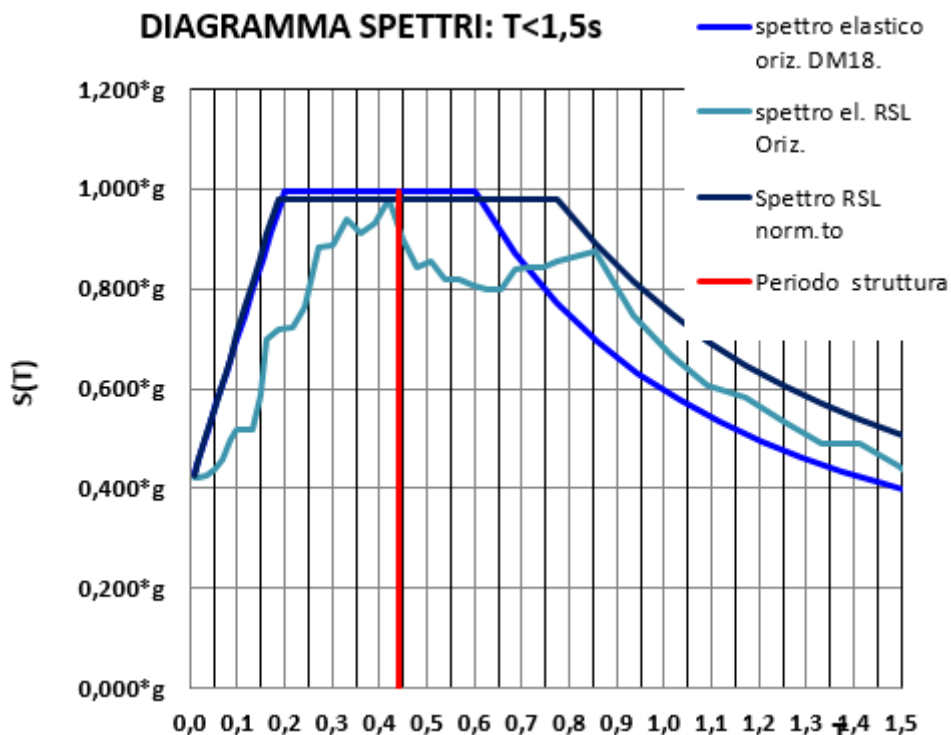


Figura 11 Normalizzazione spettro SLC e confronto con spettro SLC da normativa

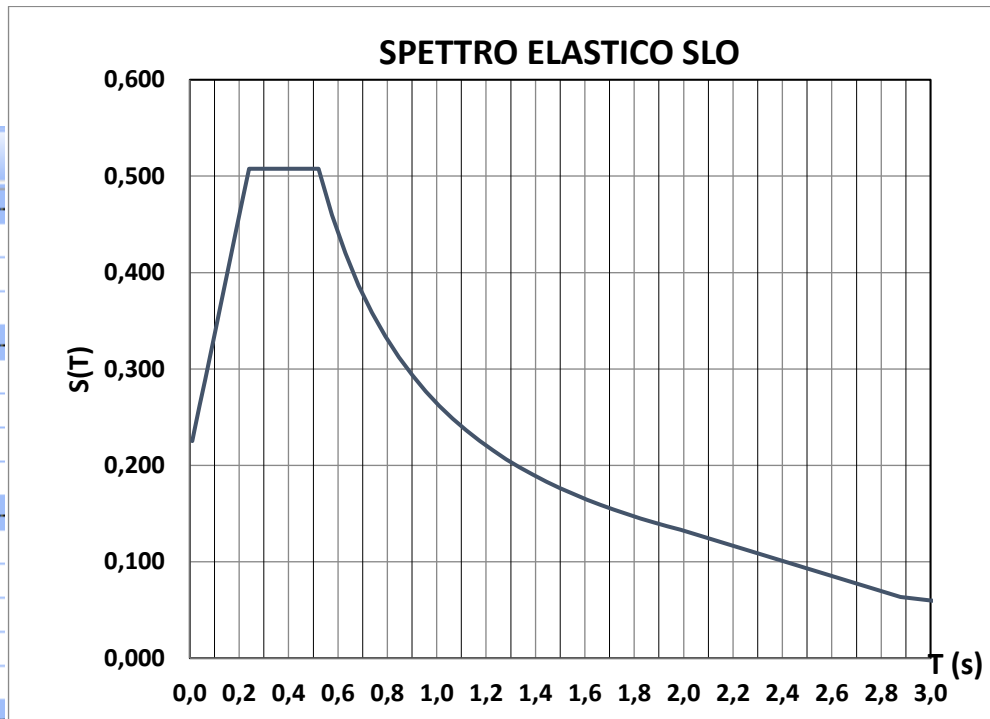
Verifica di vulnerabilità sismica e valutazione della sicurezza strutturale, rilievo architettonico, topografico, impiantistico e strutturale e verifica preventiva dell'interesse archeologico, finalizzati alla redazione del progetto di fattibilità tecnico economica dell'intervento di ristrutturazione e rifunzionalizzazione da effettuarsi sul compendio demaniale "Immobili confiscati" sito in Contrada Lenzi, Siderno (RC) - Scheda RCB1328

4.1.1 Spettri impiegati nel calcolo strutturale

Vengono riepilogati a seguire gli spettri da utilizzare nel calcolo strutturale ed i relativi parametri per la loro costruzione

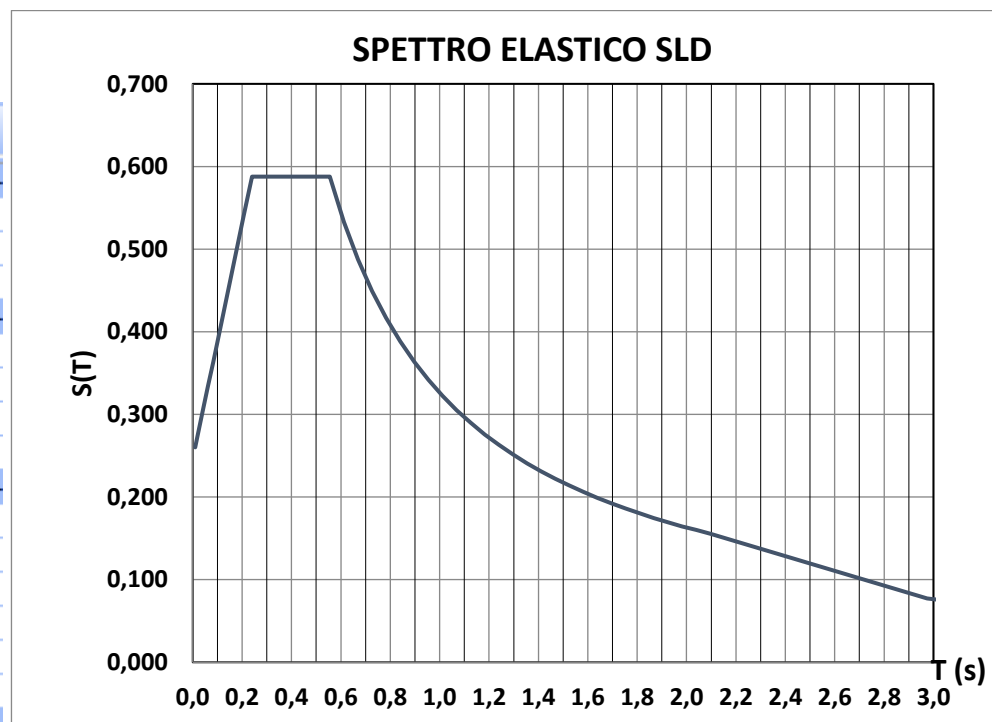
- SLO

| STATI LIMITE SISMICI | |
|----------------------|----------|
| Attivo | SI |
| Pvr | 0,81 |
| Tr | 120 |
| Ag/g | 0,097 |
| Fo | 2,384 |
| T ^c | 0,340 |
| Fv | 1,003862 |
| TB | 0,24 |
| TC | 0,521 |
| TD | 1,988 |
| Ss | 2,195 |
| Spost.Rel | 0.0033 h |



- SLD

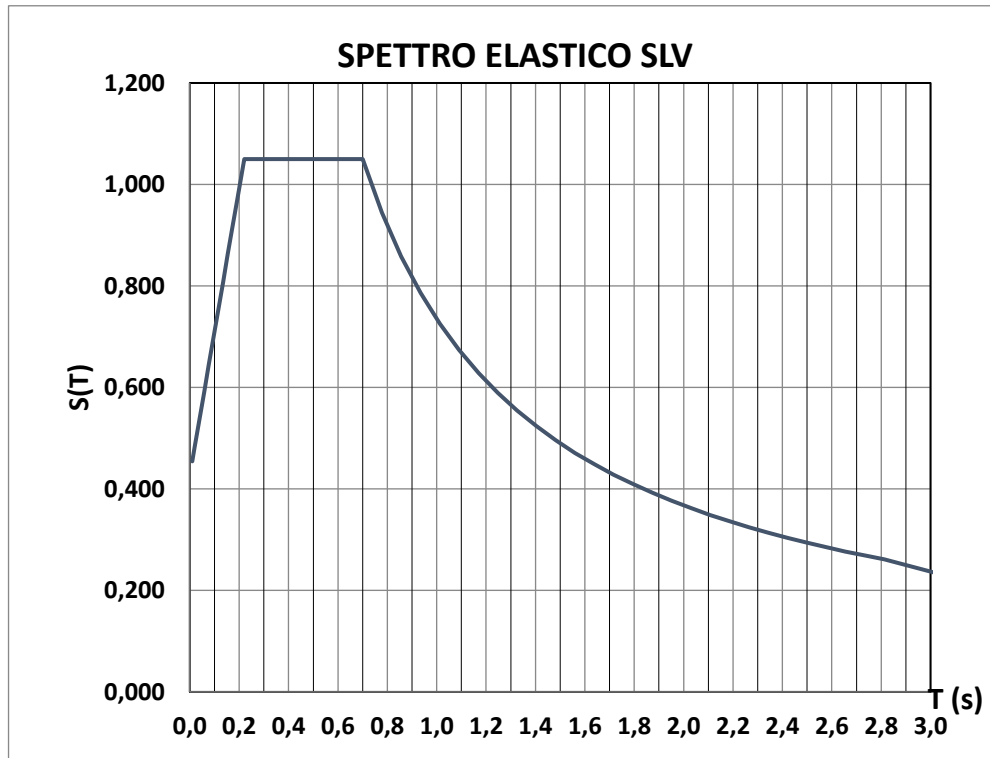
| STATI LIMITE SISMICI | |
|----------------------|----------|
| Attivo | SI |
| Pvr | 0,63 |
| Tr | 201 |
| Ag/g | 0,124 |
| Fo | 2,391 |
| T ^c | 0,356 |
| Fv | 1,135054 |
| TB | 0,24 |
| TC | 0,555 |
| TD | 2,096 |
| Ss | 1,982 |
| Spost.Rel | 0.005 h |
| Verif. Resist. | SI |



Verifica di vulnerabilità sismica e valutazione della sicurezza strutturale, rilievo architettonico, topografico, impiantistico e strutturale e verifica preventiva dell'interesse archeologico, finalizzati alla redazione del progetto di fattibilità tecnico economica dell'intervento di ristrutturazione e rifunzionalizzazione da effettuarsi sul compendio demaniale "Immobili confiscati" sito in Contrada Lenzi, Siderno (RC) - Scheda RCB1328

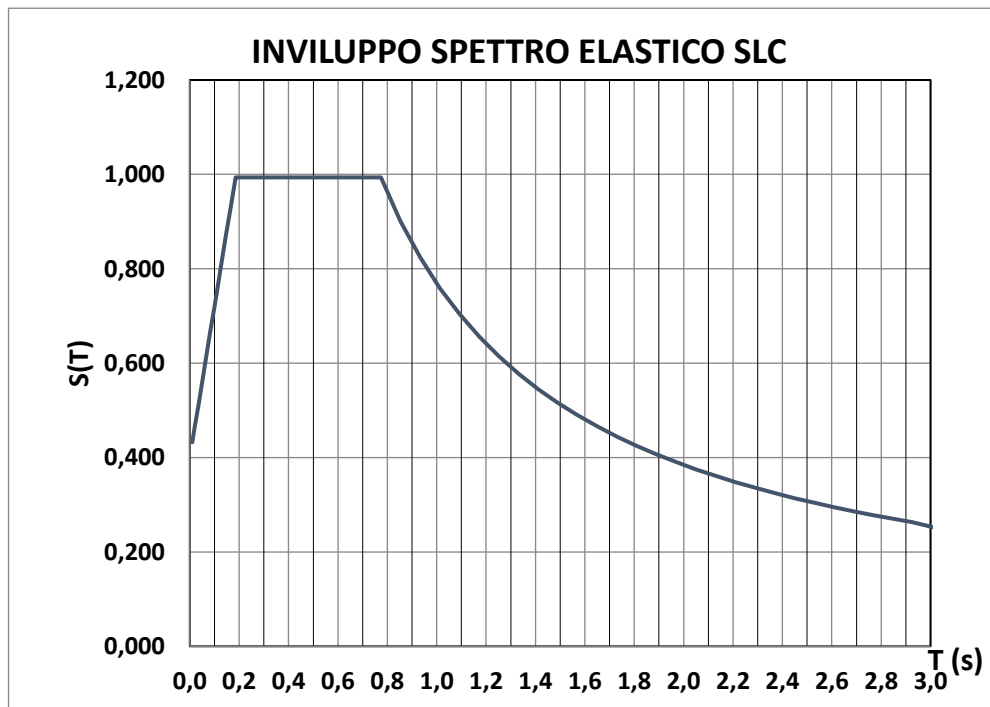
• SLV

| STATI LIMITE SISMICI | |
|----------------------|----------|
| Attivo | SI |
| Pvr | 0,1 |
| Tr | 1898 |
| | |
| Ag/g | 0,303 |
| Fo | 2,485 |
| T'c | 0,426 |
| Fv | 1,830711 |
| | |
| TB | 0,22 |
| TC | 0,7 |
| TD | 2,812 |
| Ss | 1,406 |
| Spost.Rel | 0.025 h |



• SLC

| STATI LIMITE SISMICI | |
|----------------------|---------|
| Attivo | SI |
| Pvr | 0,05 |
| Tr | 2475 |
| | |
| Ag/g | 0,332 |
| Fo | 2,483 |
| T'c | 0,434 |
| Fv | 1,93211 |
| | |
| TB | 0,185 |
| TC | 0,774 |
| TD | 2,928 |
| Ss | 1,205 |
| Spost.Rel | NESSUNO |



Verifica di vulnerabilità sismica e valutazione della sicurezza strutturale, rilievo architettonico, topografico, impiantistico e strutturale e verifica preventiva dell'interesse archeologico, finalizzati alla redazione del progetto di fattibilità tecnico economica dell'intervento di ristrutturazione e rifunzionalizzazione da effettuarsi sul compendio demaniale "Immobili confiscati" sito in Contrada Lenzi, Siderno (RC) – Scheda RCB1328

4.2 Indagini sull'edificio per l'acquisizione del livello di conoscenza, del fattore di confidenza f_c e delle proprietà dei materiali

La definizione del livello di conoscenza, e quindi del corrispondente fattore di confidenza, si basa sui rilievi geometrici, sui dettagli costruttivi e sulle proprietà dei materiali. La conoscenza della costruzione oggetto della verifica è di fondamentale importanza ai fini di una adeguata analisi, e può essere conseguita con diversi livelli di approfondimento, in funzione dell'accuratezza delle operazioni di rilievo, dell'analisi storica e delle indagini sperimentali.

Il **livello di conoscenza** raggiunto per l'edificio oggetto di verifica, in seguito al **rilievo completo tramite laser scanner**, alla raccolta documentale e alle conseguenti **indagini in sito** e **LC3**, ossia un Livello di **conoscenza accurata**. Il **fattore di confidenza** corrispondente è pari a **FC=1** (circolare C.C.LL.PP. 2 febbraio 2009 n.617, Tab. C8A.1.2)

| Livello di Conoscenza | Geometria (carpenterie) | Dettagli Strutturali | Proprietà dei materiali | Metodi di analisi | FC |
|-----------------------|---|--|---|------------------------------------|------|
| LC1 | Da disegni di carpenteria originali con rilievo visivo a campione oppure rilievo ex-novo completo | Progetto simulato in accordo alle norme dell'epoca e limitate verifiche in situ | Valori usuali per la pratica costruttiva dell'epoca e limitate prove in-situ | Analisi lineare statica o dinamica | 1.35 |
| LC2 | | Disegni costruttivi incompleti con limitate verifiche in situ oppure estese verifiche in situ | Dalle specifiche originali di progetto o dai certificati di prova originali con limitate prove in-situ oppure estese prove in-situ | Tutti | 1.20 |
| LC3 | | Disegni costruttivi completi con limitate verifiche in situ oppure esaustive verifiche in-situ | Dai certificati di prova originali o dalle specifiche originali di progetto con estese prove in situ oppure esaustive prove in-situ | Tutti | 1.00 |

Tabella 1- Livelli di conoscenza in funzione dell'informazione disponibile e conseguenti metodi di analisi ammessi e valori dei fattori di confidenza per edifici in cls armato

Nell'elaborato **R06 "Rapporto campagna di indagine"** viene descritta l'intera campagna di indagine, i relativi risultati e le criticità riscontrate.

Dall'elaborazione delle resistenze delle carote di calcestruzzo sottoposte a prova di compressione dal laboratorio La.Te.Ma. S.r.l., i cui certificati sono allegati nel rapporto della campagna di indagine, otteniamo una $F_{c,media} = 22,88 \text{ N/mm}^2$ e $F_{c,opera} = 18,30 \text{ N/mm}^2$.

Dall'elaborazione delle resistenze delle barre di acciaio prelevate dalla struttura, sottoposte a prova di trazione dal laboratorio La.Te.Ma. S.r.l., i cui certificati sono allegati nel rapporto della campagna di indagine, otteniamo: $F_{y,media} = 473,46 \text{ N/mm}^2$ $F_{t,media} = 724,40 \text{ N/mm}^2$ ed un allungamento medio percentuale riferito al carico massimo $Agt = 21,10\%$

Verifica di vulnerabilità sismica e valutazione della sicurezza strutturale, rilievo architettonico, topografico, impiantistico e strutturale e verifica preventiva dell'interesse archeologico, finalizzati alla redazione del progetto di fattibilità tecnico economica dell'intervento di ristrutturazione e rifunzionalizzazione da effettuarsi sul compendio demaniale "Immobili confiscati" sito in Contrada Lenzi, Siderno (RC) – Scheda RCB1328

5 VALUTAZIONE DELLA SICUREZZA

Gli stati limite nei confronti dei quali viene valutata la vulnerabilità sismica sono: stato limite di operatività (SLO), stato limite di danno (SLD), stato limite di salvaguardia della vita (SLV) e stato limite di collasso (SLC).

Il modello strutturale agli elementi finiti è stato adattato per l'esecuzione di un'analisi statica non lineare in ragione del fatto che i metodi lineari non permettono di poter monitorare il progressivo cambiamento del comportamento dinamico durante l'evento sismico, il progressivo sviluppo dei meccanismi di plasticizzazione e la reale distribuzione di domanda di duttilità nei vari elementi strutturali in quanto concentra tutti gli aspetti sopra elencati nel solo parametro q definito "Fattore di Struttura".

6 VITA NOMINALE, CLASSI D'USO E PERIODO DI RIFERIMENTO

6.1 Vita nominale

La **vita nominale** di un'opera strutturale V_n è intesa come il numero di anni nel quale la struttura, purché soggetta alla manutenzione ordinaria, deve poter essere usata per lo scopo al quale è destinata. La vita nominale dei diversi tipi di opere è quella riportata nella seguente tabella.

| TIPI DI COSTRUZIONE | | Vita Nominale V_N (in anni) |
|---------------------|--|-------------------------------|
| 1 | Opere provvisorie – Opere provvisionali – Strutture in fase costruttiva | ≤ 10 |
| 2 | Opere ordinarie, ponti, opere infrastrutturali e dighe di dimensioni contenute o di importanza normale | ≥ 50 |
| 3 | Grandi opere, ponti, opere infrastrutturali e dighe di grandi dimensioni o di importanza strategica | ≥ 100 |

Tabella 2 - Vita Nominale V_n per diversi tipi di opere

La Vita nominale (VN) di una costruzione è la durata alla quale deve farsi espresso riferimento in sede progettuale, con riferimento alla durabilità delle costruzioni, nel dimensionare le strutture ed i particolari costruttivi, nella scelta dei materiali e delle eventuali applicazioni e delle misure protettive per garantire il mantenimento della resistenza e della funzionalità. Nelle previsioni progettuali dunque, se le condizioni ambientali e d'uso sono rimaste nei limiti previsti, non prima della fine di detto periodo saranno necessari interventi di manutenzione straordinaria per ripristinare le capacità di durata della costruzione. L'effettiva durata della costruzione non è valutabile in sede progettuale, venendo a dipendere da eventi futuri fuori dal controllo del progettista. Di fatto, la grande maggioranza delle costruzioni ha avuto ed ha, anche attraverso successivi interventi di ripristino manutentivo, una durata effettiva molto maggiore della vita nominale quantificata nelle NTC. Con riferimento alla tabella 2 si evidenzia che, ai sensi e per gli effetti del Decreto del Capo Dipartimento della Protezione Civile n. 3685 del 21 ottobre 2003 il carattere strategico di un'opera o la sua rilevanza per le conseguenze di un eventuale collasso, sono definiti dalla classe d'uso.

Tenendo conto che la costruzione in oggetto è del tipo 3, si provvederà a imporre una vita nominale ≥ 100 anni, in accordo con la committenza, verrà assunta una **Vita Nominale V_N** pari a **100** anni. Alla fine del periodo previsto dalla V_N l'edificio dovrà essere di nuovo sottoposto a valutazione di vulnerabilità.

6.2 Classe d'uso

In presenza di azioni sismiche, con riferimento alle conseguenze di una interruzione di operatività o di un eventuale collasso, le costruzioni sono suddivise in classi d'uso così definite:

Classe I: Costruzioni con presenza solo occasionale di persone, edifici agricoli.

Classe II: Costruzioni il cui uso preveda normali affollamenti, senza contenuti pericolosi per l'ambiente e senza funzioni pubbliche e sociali essenziali. Industrie con attività non pericolose per l'ambiente. Ponti, opere infrastrutturali, reti viarie non ricadenti in Classe d'uso III o in Classe d'uso IV, reti ferroviarie la

Verifica di vulnerabilità sismica e valutazione della sicurezza strutturale, rilievo architettonico, topografico, impiantistico e strutturale e verifica preventiva dell'interesse archeologico, finalizzati alla redazione del progetto di fattibilità tecnico economica dell'intervento di ristrutturazione e rifunzionalizzazione da effettuarsi sul compendio demaniale "Immobili confiscati" sito in Contrada Lenzi, Siderno (RC) – Scheda RCB1328

cui interruzione non provochi situazioni di emergenza. Dighe il cui collasso non provochi conseguenze rilevanti.

Classe III: Costruzioni il cui uso preveda affollamenti significativi. Industrie con attività pericolose per l'ambiente. Reti viarie extraurbane non ricadenti in Classe d'uso IV. Ponti e reti ferroviarie la cui interruzione provochi situazioni di emergenza. Dighe rilevanti per le conseguenze di un loro eventuale collasso.

Classe IV: Costruzioni con funzioni pubbliche o strategiche importanti, anche con riferimento alla gestione della protezione civile in caso di calamità. Industrie con attività particolarmente pericolose per l'ambiente. Reti viarie di tipo A o B, di cui al D.M. 5 novembre 2001, n. 6792, "Norme funzionali e geometriche per la costruzione delle strade", e di tipo C quando appartenenti ad itinerari di collegamento tra capoluoghi di provincia non altresì serviti da strade di tipo A o B. Ponti e reti ferroviarie di importanza critica per il mantenimento delle vie di comunicazione, particolarmente dopo un evento sismico. Dighe connesse al funzionamento di acquedotti e a impianti di produzione di energia elettrica.

Al variare della classe d'uso, varia il valore del **coefficiente d'uso Cu** come mostrato nella tabella seguente:

| CLASSE D'USO | I | II | III | IV |
|-----------------|-----|-----|-----|-----|
| COEFFICIENTE Cu | 0.7 | 1.0 | 1.5 | 2.0 |

Tabella 3

La classe d'uso dell'edificio oggetto di verifica è IV, alla quale è associato il coefficiente d'uso **Cu= 2.0**

6.3 Periodo di riferimento per l'azione sismica

Le azioni sismiche su ciascuna costruzione vengono valutate in relazione ad un periodo di riferimento V_R che si ricava, per ciascun tipo di costruzione, moltiplicandone la vita nominale V_N per il coefficiente d'uso C_U :

$$V_R = V_N \cdot C_U$$

Tenendo conto che la costruzione è di tipo 3 e la classe d'uso dell'edificio è IV, il periodo di riferimento V_R risulta essere pari a:

$$V_R = 100 \cdot 2.0 = 200 \text{ anni}$$

Il periodo di riferimento V_R riveste notevole importanza in quanto, assumendo che la legge di ricorrenza dell'azione sismica sia un processo Poissoniano, è utilizzato per valutare, fissata la probabilità di superamento P_{VR} corrispondente allo stato limite considerato, il periodo di ritorno T_R dell'azione sismica cui fare riferimento per la verifica.

7 AZIONI SULLA COSTRUZIONE

Le azioni che vengono considerate ai fini della valutazione della vulnerabilità sismica del fabbricato sono le seguenti:

- a) **permanententi (G)**: azioni che agiscono durante tutta la vita nominale della costruzione, la cui variazione di intensità nel tempo è così piccola e lenta da poterle considerare con sufficiente approssimazione costanti nel tempo:
 - peso proprio di tutti gli elementi strutturali (**G₁**);
 - peso proprio di tutti gli elementi non strutturali (**G₂**);
- b) **variabili (Q)**: Accidentali come previsto da norma per la categoria di edifici:
 - **CAT B**, Uffici
 - o **CAT B2** (Uffici aperti al pubblico) **q_k=3,00** [kN/m²]
 - **CAT C**, Ambienti suscettibili di affollamento:
 - o **CAT C2** (Scale, Ballatoi) **q_k=4,00** [kN/m²]
 - **CAT H**, Coperture e sottotetti:
 - o **CAT H1** (Coperture e sottotetti accessibili per sola manutenzione) **q_k=0,50** [kN/m²]
 - o **CAT H2** (Coperture praticabili) **q_k=3,00** [kN/m²]
 - **NEVE**, **q_k=0,48** [kN/m²]
- c) **sismiche (E)**: azioni derivanti dai terremoti.

7.1 Combinazione delle azioni

Al fine delle verifiche di sicurezza di tipo statico si definisce la seguente "combinazione fondamentale", impiegata agli stati limite ultimi (SLU), in accordo con quanto stabilito nelle Norme Tecniche (NTC 2018) al § 2.5.3:

$$\gamma_{G1} \cdot G_1 + \gamma_{G2} \cdot G_2 + \gamma_P \cdot P + \gamma_{Q1} \cdot Q_{k1} + \gamma_{Q2} \cdot \psi_{02} \cdot Q_{k2} + \gamma_{Q3} \cdot \psi_{03} \cdot Q_{k3} + \dots$$

Per quanto riguarda le verifiche sismiche si definisce la seguente "Combinazione sismica", impiegata agli stati limite ultimi e di esercizio connessi all'azione sismica E:

$$E + G_1 + G_2 + P + \psi_{21} \cdot Q_{k1} + \psi_{22} \cdot Q_{k2} + \dots$$

Gli effetti dell'azione sismica saranno valutati tenendo conto delle masse associate ai seguenti carichi gravitazionali:

$$G_1 + G_2 + \sum_j \psi_{2j} \cdot Q_{kj} .$$

Verifica di vulnerabilità sismica e valutazione della sicurezza strutturale, rilievo architettonico, topografico, impiantistico e strutturale e verifica preventiva dell'interesse archeologico, finalizzati alla redazione del progetto di fattibilità tecnico economica dell'intervento di ristrutturazione e rifunzionalizzazione da effettuarsi sul compendio demaniale "Immobili confiscati" sito in Contrada Lenzi, Siderno (RC) – Scheda RCB1328

In cui:

- G_1 : rappresenta il peso proprio di tutti gli elementi strutturali (travi e pilastri);
- G_2 : rappresenta il peso proprio di tutti gli elementi non strutturali (strati di finitura della copertura)
- Q_{k1} : rappresenta il valore caratteristico dell'azione dominante di ogni combinazione;
- Q_{ki} : rappresentano i valori caratteristici delle azioni variabili che possono agire contemporaneamente a quella dominante;
- Ψ_{0j} , Ψ_{1j} e Ψ_{2j} : rappresentano i coefficienti di combinazione;
- E : rappresenta l'azione sismica;

| | | Coefficiente γ_F | EQU | A1 STR | A2 GEO |
|---|-------------|-------------------------|-----|--------|--------|
| Carichi permanenti | favorevoli | γ_{G1} | 0,9 | 1,0 | 1,0 |
| | sfavorevoli | | 1,1 | 1,3 | 1,0 |
| Carichi permanenti non strutturali ⁽¹⁾ | favorevoli | γ_{G2} | 0,0 | 0,0 | 0,0 |
| | sfavorevoli | | 1,5 | 1,5 | 1,3 |
| Carichi variabili | favorevoli | γ_{Qi} | 0,0 | 0,0 | 0,0 |
| | sfavorevoli | | 1,5 | 1,5 | 1,3 |

⁽¹⁾Nel caso in cui i carichi permanenti non strutturali (ad es. carichi permanenti portati) siano compiutamente definiti si potranno adottare per essi gli stessi coefficienti validi per le azioni permanenti.

Tabella 4 – Coefficienti parziali per le azioni o per l'effetto delle azioni nelle verifiche SLU

Nella Tabella precedente il significato dei simboli è il seguente:

- γ_{G1} coefficiente parziale del peso proprio della struttura, nonché del peso proprio del terreno e dell'acqua, quando pertinenti;
- γ_{G2} coefficiente parziale dei pesi propri degli elementi non strutturali;
- γ_{Qi} coefficiente parziale delle azioni variabili.

Verifica di vulnerabilità sismica e valutazione della sicurezza strutturale, rilievo architettonico, topografico, impiantistico e strutturale e verifica preventiva dell'interesse archeologico, finalizzati alla redazione del progetto di fattibilità tecnico economica dell'intervento di ristrutturazione e rifunzionalizzazione da effettuarsi sul compendio demaniale "Immobili confiscati" sito in Contrada Lenzi, Siderno (RC) – Scheda RCB1328

| Categoria/Azione variabile | Ψ_{0j} | Ψ_{1j} | Ψ_{2j} |
|---|-------------|-------------|-------------|
| Categoria A Ambienti ad uso residenziale | 0,7 | 0,5 | 0,3 |
| Categoria B Uffici | 0,7 | 0,5 | 0,3 |
| Categoria C Ambienti suscettibili di affollamento | 0,7 | 0,7 | 0,6 |
| Categoria D Ambienti ad uso commerciale | 0,7 | 0,7 | 0,6 |
| Categoria E Biblioteche, archivi, magazzini e ambienti ad uso industriale | 1,0 | 0,9 | 0,8 |
| Categoria F Rimesse e parcheggi (per autoveicoli di peso ≤ 30 kN) | 0,7 | 0,7 | 0,6 |
| Categoria G Rimesse e parcheggi (per autoveicoli di peso > 30 kN) | 0,7 | 0,5 | 0,3 |
| Categoria H Coperture | 0,0 | 0,0 | 0,0 |
| Vento | 0,6 | 0,2 | 0,0 |
| Neve (a quota ≤ 1000 m s.l.m.) | 0,5 | 0,2 | 0,0 |
| Neve (a quota > 1000 m s.l.m.) | 0,7 | 0,5 | 0,2 |
| Variazioni termiche | 0,6 | 0,5 | 0,0 |

Tabella 5 - Valori dei coefficienti di combinazione

7.2 Analisi dei carichi

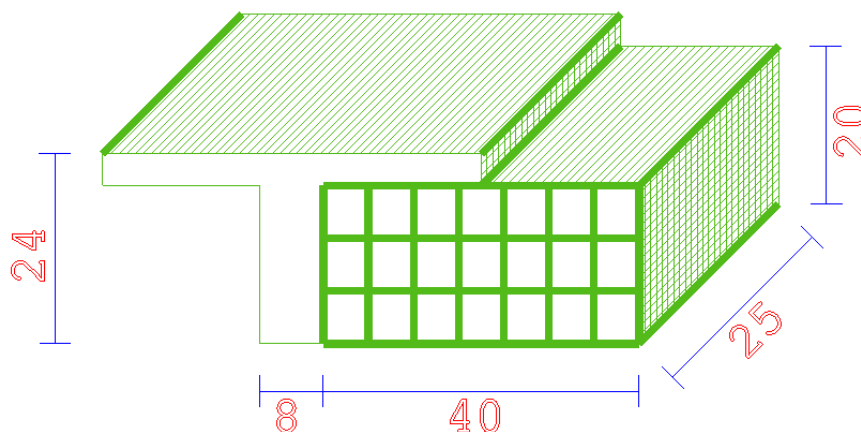
7.2.1 Elementi strutturali

I carichi dovuti al peso proprio delle travi, dei pilastri e delle solette sono computati in automatico dal programma di calcolo, considerando come peso specifico del calcestruzzo $\gamma_{cls} = 25 \text{ kN/m}^3$.

21

7.2.2 Solai

I solai dell'edificio sono realizzati nella totalità in laterocemento del tipo 20+4 cm con interasse dei travetti pari a 50 cm e pignatte da 40cm di larghezza, 25cm di profondità e 20 cm di altezza. Nella figura a seguire è indicata la localizzazione delle differenti tipologie di solaio e l'orditura di essi.



Verifica di vulnerabilità sismica e valutazione della sicurezza strutturale, rilievo architettonico, topografico, impiantistico e strutturale e verifica preventiva dell'interesse archeologico, finalizzati alla redazione del progetto di fattibilità tecnico economica dell'intervento di ristrutturazione e rifunzionalizzazione da effettuarsi sul compendio demaniale "Immobili confiscati" sito in Contrada Lenzi, Siderno (RC) – Scheda RCB1328

| Analisi carichi solaio di interpiano | | |
|--------------------------------------|-------------|----------------------|
| | kN/mq | |
| Solaio latero cemento 20+4 cm | 3,00 | G1 |
| Tot G1 | 3,10 | G1 |
| Pavimento | 0,20 | G2 |
| Massetto sp. 6 cm | 1,10 | |
| Controsoffitto | 0,20 | |
| Tot G2 | 1,50 | G2 |
| Carico d'esercizio Cat B2 | 3,00 | q_k |

| Analisi carichi solaio di copertura | | |
|-------------------------------------|-------------|-----------------------|
| | kN/mq | |
| Solaio latero cemento 20+4 cm | 3,10 | G1 |
| Tot G1 | 3,10 | G1 |
| Pavimento | 0,20 | G2 |
| Massetto sp. 6 cm | 1,10 | |
| Controsoffitto | 0,20 | |
| Tot G2 | 1,50 | G2 |
| Carico d'esercizio Cat B2 | 3,00 | q_{k1} |
| Carico Neve | 0,48 | q_{k2} |

7.2.3 Chiusure perimetrali

Le **tamponature esterne** sono state inserite nel modello di calcolo con una **massa specifica di 3.50 kN/mq**

7.3 Criteri generali di valutazione della vulnerabilità per azioni sismiche

7.3.1 Analisi di regolarità

Per le verifiche di resistenza allo SLU, lo spettro di progetto da utilizzare è quello elastico ridotto del fattore di struttura q .

Per determinare il fattore di struttura q occorre procedere all'analisi di questi due aspetti:

- verifica della regolarità in pianta;
- verifica della regolarità in altezza.

In Conformità alle NTC 2018 si procede a tali verifiche.

7.3.1.1 Verifica della regolarità in pianta

Una costruzione risulta regolare in pianta se rispetta tutte le seguenti condizioni:

- la configurazione in pianta è compatta e approssimativamente simmetrica rispetto a due direzioni ortogonali, in relazione alla distribuzione di masse e rigidità;

Verifica di vulnerabilità sismica e valutazione della sicurezza strutturale, rilievo architettonico, topografico, impiantistico e strutturale e verifica preventiva dell'interesse archeologico, finalizzati alla redazione del progetto di fattibilità tecnico economica dell'intervento di ristrutturazione e rifunzionalizzazione da effettuarsi sul compendio demaniale "Immobili confiscati" sito in Contrada Lenzi, Siderno (RC) – Scheda RCB1328

- b) Il rapporto fra i lati di un rettangolo in cui la costruzione risulta iscritta è minore di 4;
- c) nessuna dimensione di eventuali rientri o sporgenze supera il 25% della dimensione totale della costruzione nella corrispondente direzione;
- d) gli orizzontamenti possono essere considerati infinitamente rigidi nel loro piano rispetto agli elementi verticali e sufficientemente resistenti.

Analizzando i precedenti requisiti per stabilire la regolarità in pianta, **L'EDIFICIO RISULTA ESSERE REGOLARE IN PIANTA.**

7.3.1.2 Verifica della regolarità in altezza

Una costruzione risulta regolare in altezza se rispetta tutte le condizioni di seguito illustrate:

- a) tutti i sistemi resistenti verticali (quali telai e pareti) si estendono per tutta l'altezza della costruzione;
- b) massa e rigidezza rimangono costanti o variano gradualmente, senza bruschi cambiamenti, alla base della sommità della costruzione (le variazioni di massa da un orizzontamento all'altro non superano il 25%, la rigidezza non si riduce da un orizzontamento a quello sovrastante più del 30% e non aumenta più del 10%);
- c) nelle strutture intelaiate progettate in CD" B" il rapporto fra la resistenza richiesta dal calcolo non è significativamente diverso per orizzontamenti diversi (il rapporto fra la resistenza effettiva e quella richiesta, calcolata ad un generico orizzontamento, non deve differire più del 20% dell'analogo rapporto determinato per un altro orizzontamento); può fare eccezione l'ultimo orizzontamento di strutture intelaiate di almeno tre orizzontamenti;
- d) eventuali restringimenti della sezione orizzontale della costruzione avvengono in modo graduale da un orizzontamento al successivo, rispettando i seguenti limiti: ad ogni orizzontamento il rientro non supera il 30% della dimensione corrispondente al primo orizzontamento, né il 20% della dimensione corrispondente all'orizzontamento immediatamente sottostante; fatta eccezione l'ultimo orizzontamento di costruzioni di almeno quattro piani per il quale non sono previste limitazioni di restringimento.

23

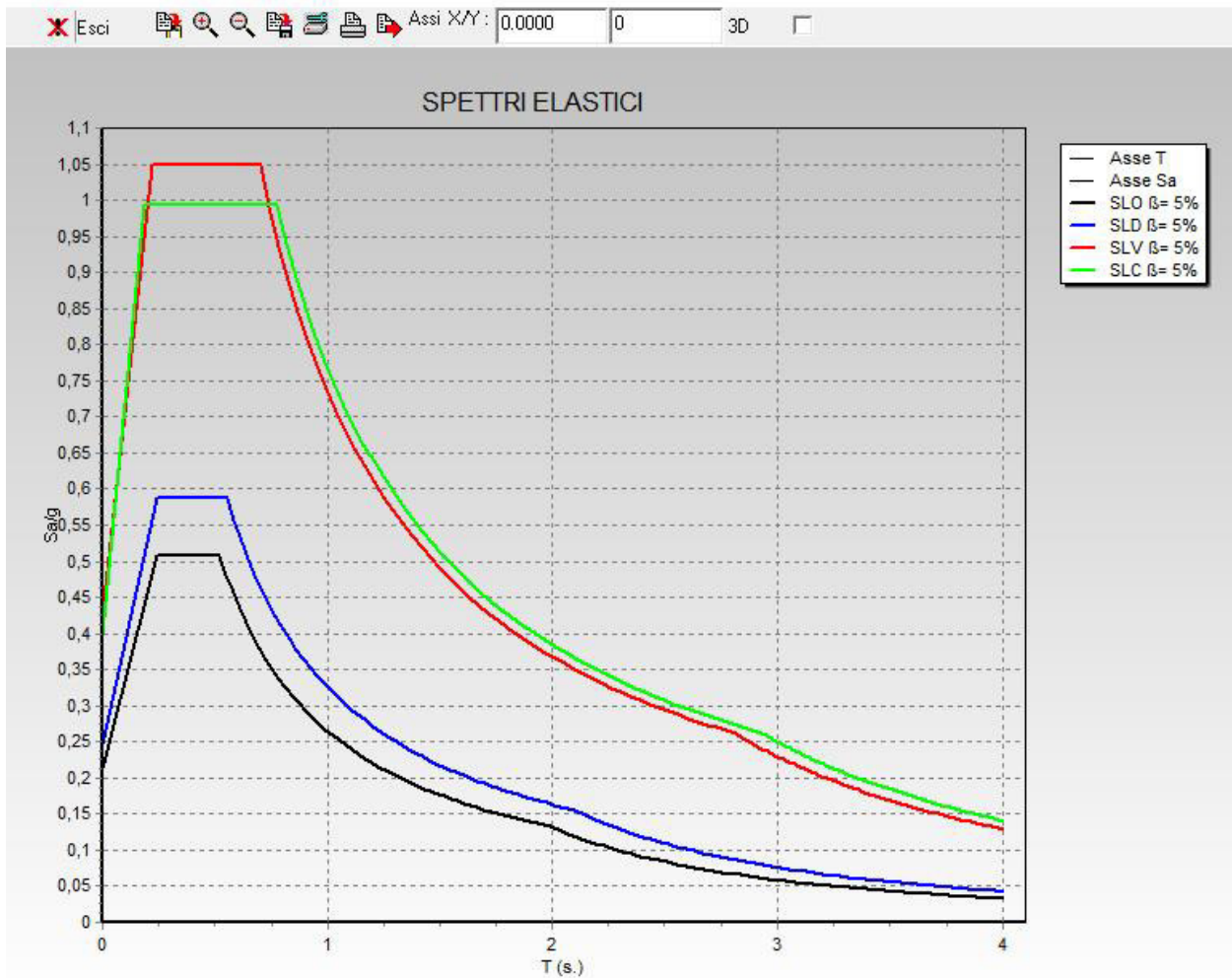
Analizzando i precedenti requisiti per stabilire la regolarità in altezza, **L'EDIFICIO RISULTA ESSERE REGOLARE IN ALTEZZA.**

7.4 Determinazione dell'azione sismica

Gli spettri utilizzati nel calcolo strutturale sono quelli derivanti dalle elaborazioni riportate nel capitolo 3.1 ed allegati al punto 3.1.1, in accordo alla **R08d - Relazione sulla pericolosità sismica**, riproposti nell'immagine qui allegata

Verifica di vulnerabilità sismica e valutazione della sicurezza strutturale, rilievo architettonico, topografico, impiantistico e strutturale e verifica preventiva dell'interesse archeologico, finalizzati alla redazione del progetto di fattibilità tecnico economica dell'intervento di ristrutturazione e rifunzionalizzazione da effettuarsi sul compendio demaniale "Immobili confiscati" sito in Contrada Lenzi, Siderno (RC) - Scheda RCB1328

GRAFICI SPETTRI SISMICI



7.5 Determinazione dell'azione della neve

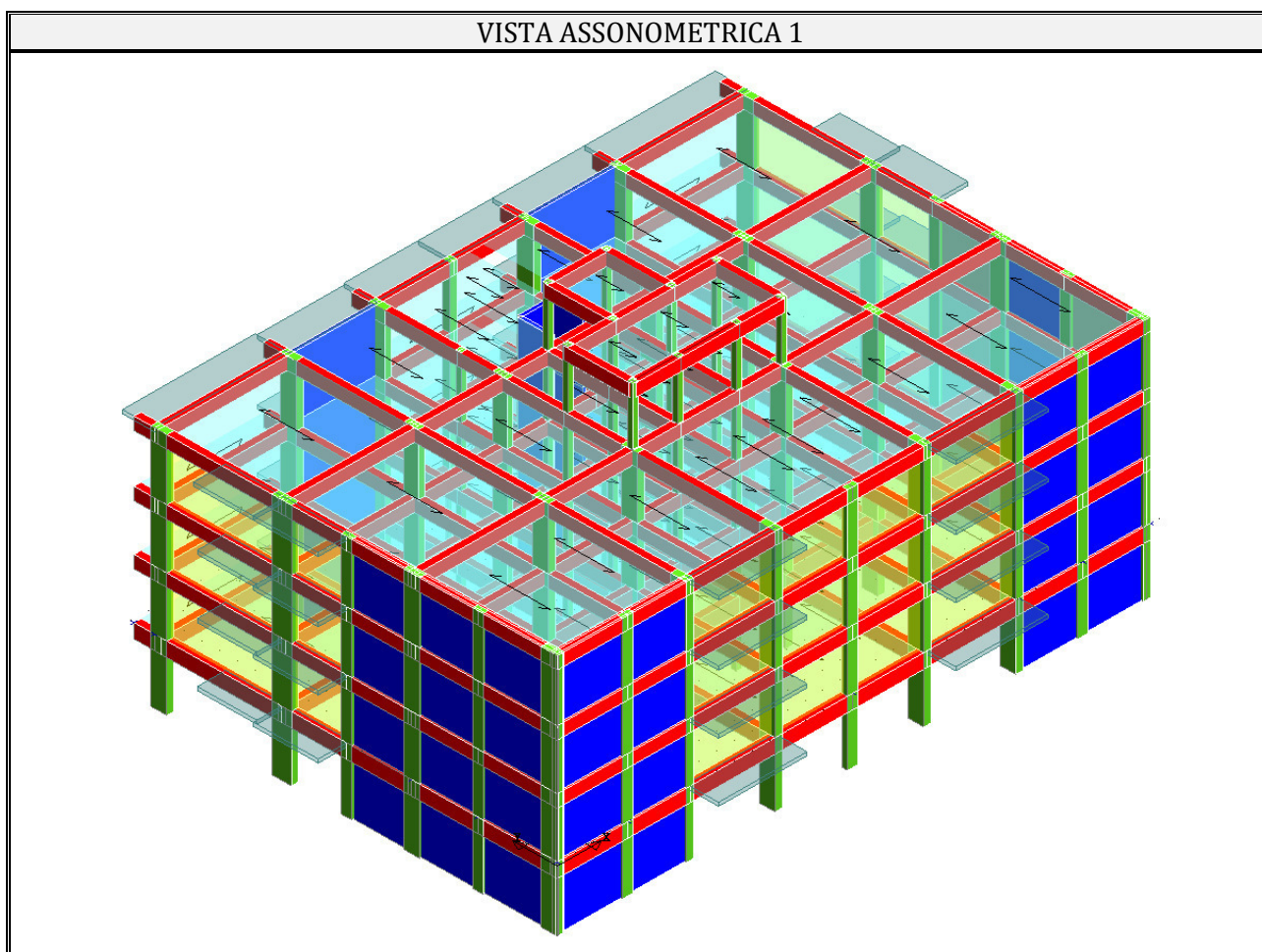
Il carico da neve è stato calcolato con i parametri indicati nell'immagine allegata a seguire e risulta pari a 0,48 kN/m²

| CARICO DA NEVE | |
|------------------|---------|
| Flag Attivazione | SI |
| Zona geografica | III |
| Altezza SLM (m) | 0 |
| Tipo Esposizione | Normale |
| Coeff. Termico | 1 |
| Coeff. Forma | 0,8 |
| Coeff. Esposiz | 1 |
| Q riferim. kg/mq | 60 |
| Q neve kg/mq | 48 |

8 MODELLAZIONE DELLA STRUTTURA

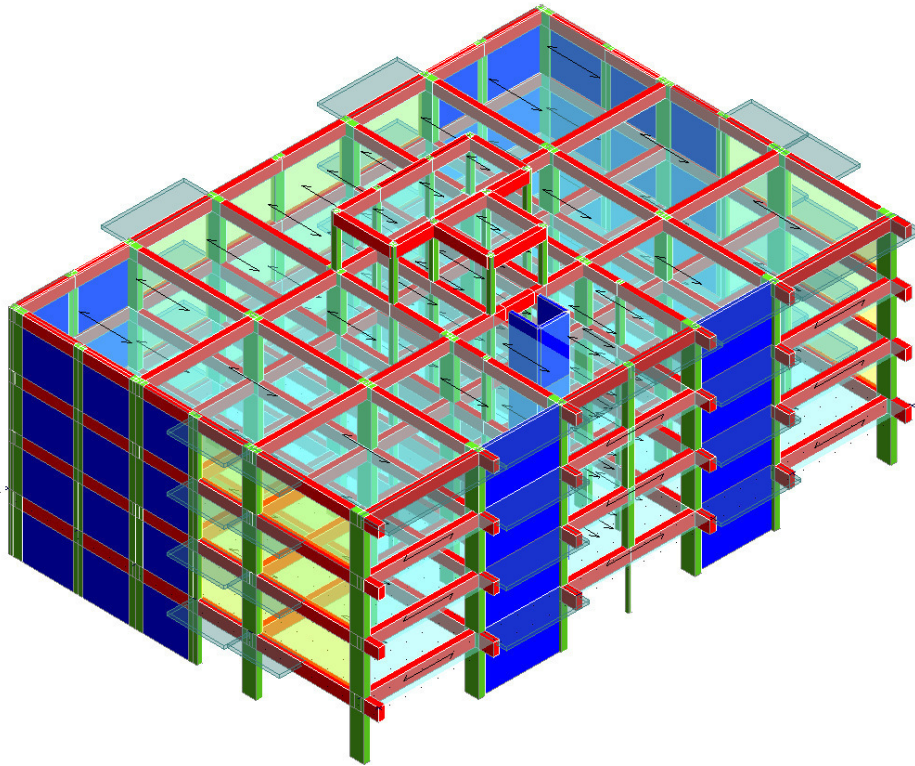
Il software utilizzato per la modellazione è "CDSWin 2018", Gli elementi strutturali vengono inseriti tramite opportuni elementi asta differenziati tra travi e pilastri. I setti e le piaste in c.a. sono modellati con elementi shell. L'inserimento dei solai avviene tramite l'elemento pannelli; i carichi distribuiti lineari sono inseriti tramite carichi espliciti da applicare alle aste. Per l'analisi di push-over si adatterà una modellazione a plasticità concentrata.

Di seguito vengono riportate le schermate relative alle viste tridimensionali ed ai diversi impalcati per permettere la comprensione completa della geometria, in modo tale da agevolare il controllo dell'input e dell'output numerico forniti da software di calcolo.

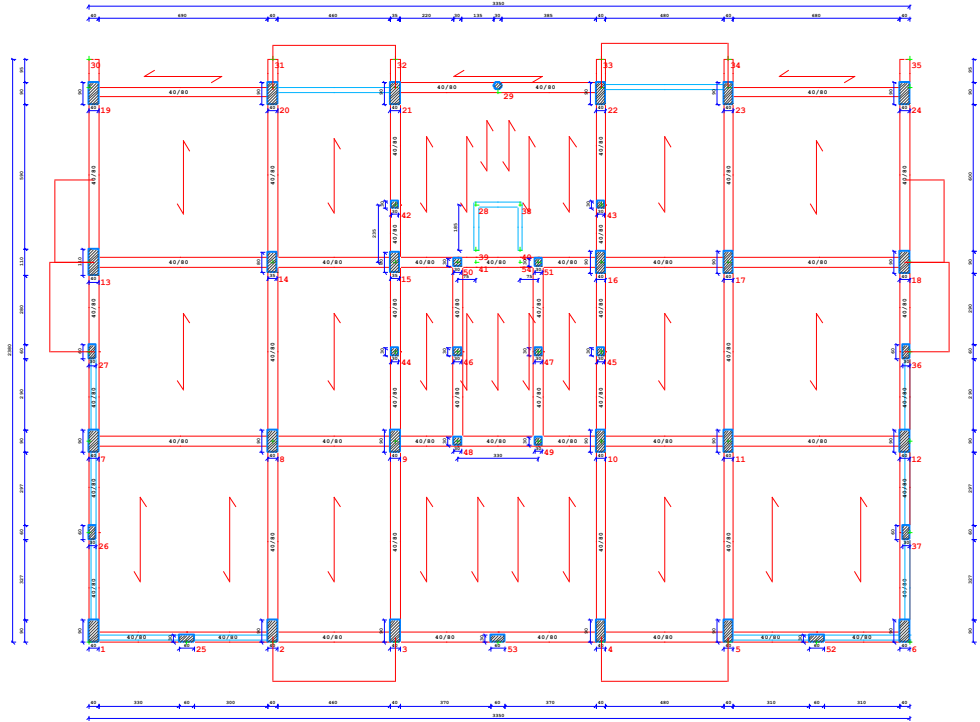


Verifica di vulnerabilità sismica e valutazione della sicurezza strutturale, rilievo architettonico, topografico, impiantistico e strutturale e verifica preventiva dell'interesse archeologico, finalizzati alla redazione del progetto di fattibilità tecnico economica dell'intervento di ristrutturazione e rifunzionalizzazione da effettuarsi sul compendio demaniale "Immobili confiscati" sito in Contrada Lenzi, Siderno (RC) - Scheda RCB1328

VISTA ASSONOMETRICA 2



IMPALCATO H=3,6

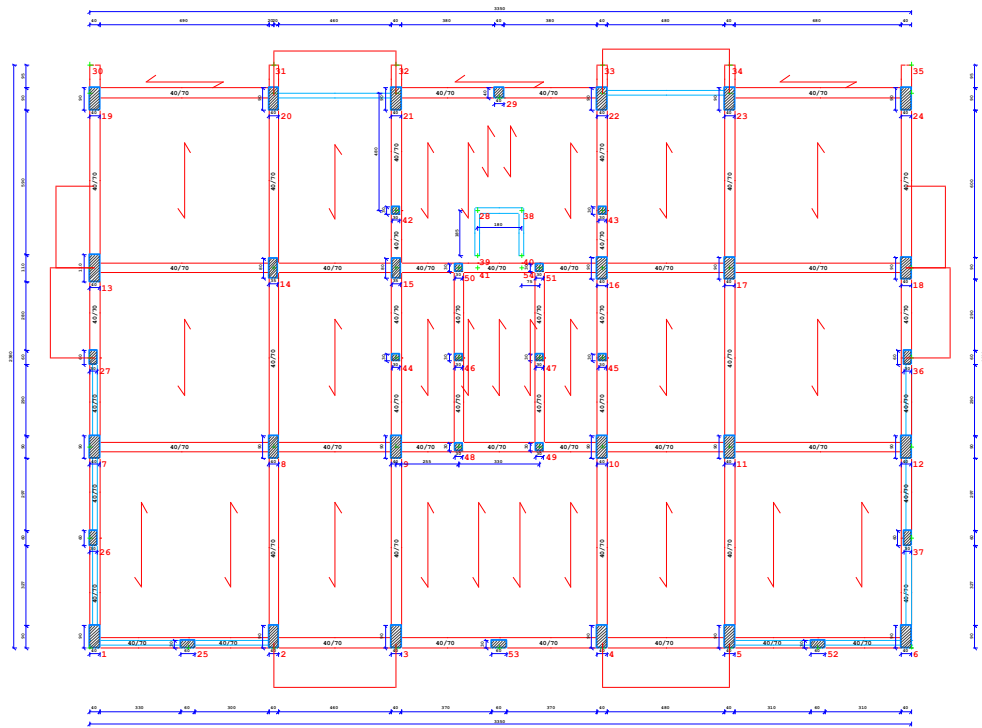


PIANTA IMPALCATO QUOTA m: 3.60

VALUTAZIONE DELLA SICUREZZA STRUTTURALE - EX POST - RCB1328

Verifica di vulnerabilità sismica e valutazione della sicurezza strutturale, rilievo architettonico, topografico, impiantistico e strutturale e verifica preventiva dell'interesse archeologico, finalizzati alla redazione del progetto di fattibilità tecnico economica dell'intervento di ristrutturazione e rifunzionalizzazione da effettuarsi sul compendio demaniale "Immobili confiscati" sito in Contrada Lenzi, Siderno (RC) - Scheda RCB1328

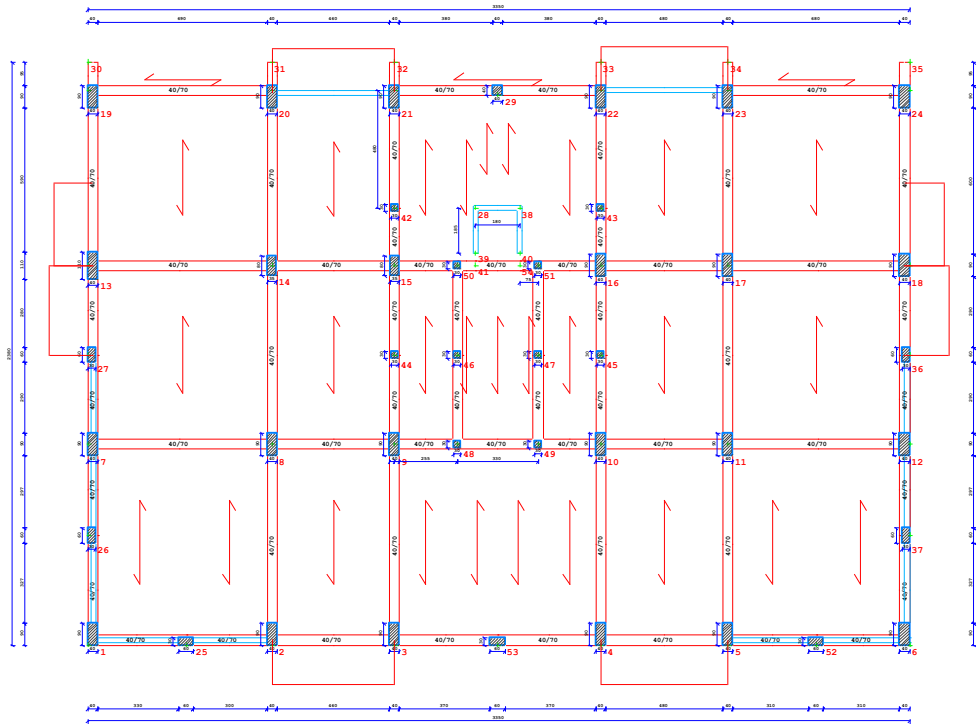
IMPALCATO H=6,9



PIANTA IMPALCATO QUOTA m: 6.90

27

IMPALCATO H=10,20

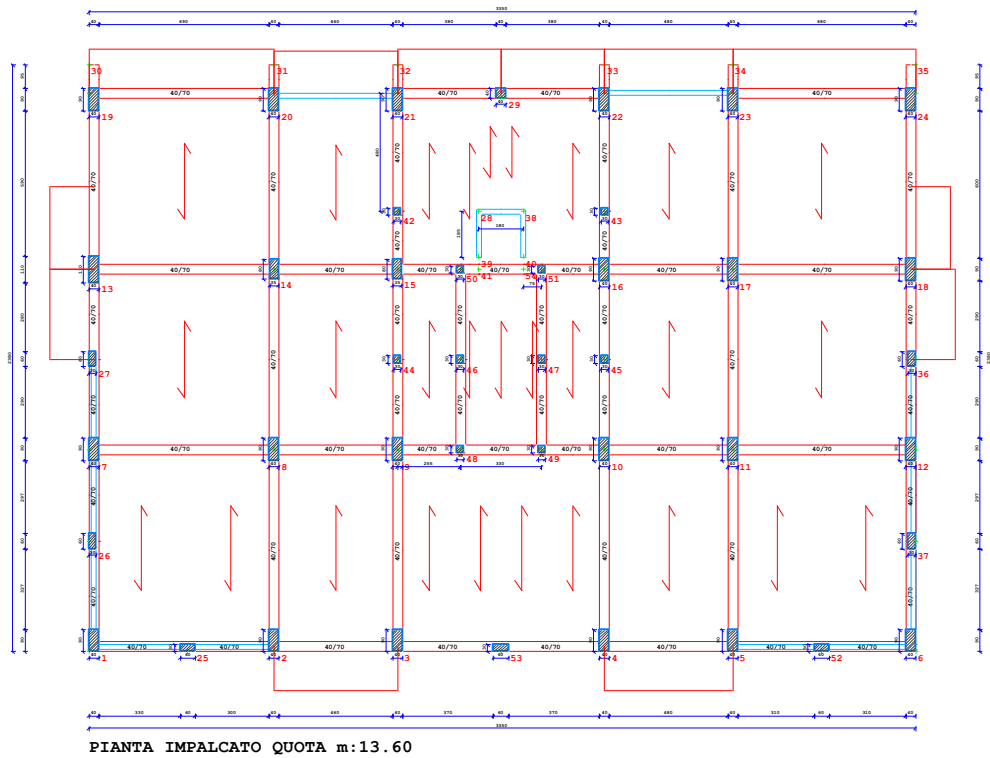


PIANTA IMPALCATO QUOTA m: 10.20

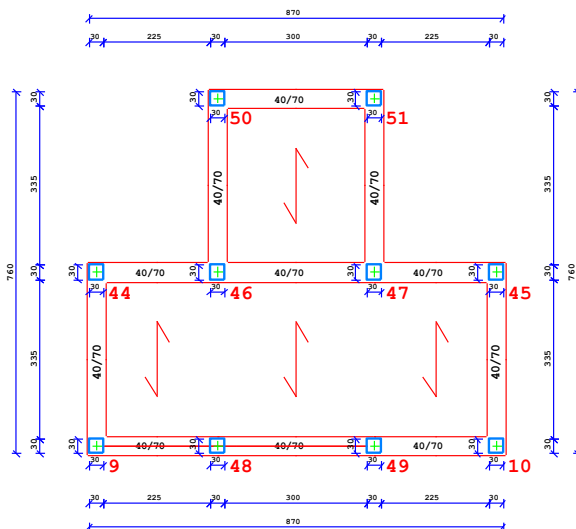
VALUTAZIONE DELLA SICUREZZA STRUTTURALE - EX POST - RCB1328

Verifica di vulnerabilità sismica e valutazione della sicurezza strutturale, rilievo architettonico, topografico, impiantistico e strutturale e verifica preventiva dell'interesse archeologico, finalizzati alla redazione del progetto di fattibilità tecnico economica dell'intervento di ristrutturazione e rifunzionalizzazione da effettuarsi sul compendio demaniale "Immobili confiscati" sito in Contrada Lenzi, Siderno (RC) - Scheda RCB1328

IMPALCATO H=13,60



IMPALCATO H=16,80



PIANTA IMPALCATO QUOTA m:16.80

Verifica di vulnerabilità sismica e valutazione della sicurezza strutturale, rilievo architettonico, topografico, impiantistico e strutturale e verifica preventiva dell'interesse archeologico, finalizzati alla redazione del progetto di fattibilità tecnico economica dell'intervento di ristrutturazione e rifunzionalizzazione da effettuarsi sul compendio demaniale "Immobili confiscati" sito in Contrada Lenzi, Siderno (RC) – Scheda RCB1328

8.1 Classificazione degli elementi strutturali

Nel caso di analisi statica non lineare (push-over), gli elementi vengono classificati automaticamente dal programma che è in grado di valutare durante l'analisi se a determinare la crisi dell'elemento è un meccanismo fragile (taglio o pressoflessione fragile) o duttile (flessione o pressoflessione). Tutti gli elementi strutturali (travi-pilastri) sono stati inseriti nel modello come "sismoresistenti".

9 METODI DI ANALISI E CRITERI DI AMMISSIBILITÀ

Il metodo utilizzato per l'analisi di vulnerabilità sismica della struttura è l'analisi statica non lineare (push-over).

9.1 Analisi statica non lineare (push-over)

L'analisi non lineare statica consiste nell'applicare alla struttura i carichi gravitazionali e, per la direzione considerata dell'azione sismica, un sistema di forze orizzontali distribuite, ad ogni livello della costruzione, proporzionalmente alle forze d'inerzia ed aventi risultante (taglio alla base) F_b . Tali forze sono scalate in modo da far crescere monotonamente, sia in direzione positiva che negativa e fino al raggiungimento delle condizioni di collasso locale o globale, lo spostamento orizzontale d_c di un punto di controllo coincidente con il centro di massa dell'ultimo livello della costruzione (sono esclusi eventuali torrini). Il diagramma $F_b - d_c$ rappresenta la curva di capacità della struttura.

Si devono considerare almeno due distribuzioni di forze d'inerzia, ricadenti l'una nelle distribuzioni principali (Gruppo 1) e l'altra nelle distribuzioni secondarie (Gruppo 2) appresso illustrate.

Gruppo 1 - Distribuzioni principali:

- distribuzione proporzionale alle forze statiche di cui al § 7.3.3.2, applicabile solo se il modo di vibrare fondamentale nella direzione considerata ha una partecipazione di massa non inferiore al 75% ed a condizione di utilizzare come seconda distribuzione la 2 a);
- distribuzione corrispondente ad una distribuzione di accelerazioni proporzionale alla forma del modo di vibrare, applicabile solo se il modo di vibrare fondamentale nella direzione considerata ha una partecipazione di massa non inferiore al 75%;
- distribuzione corrispondente alla distribuzione dei tagli di piano calcolati in un'analisi dinamica lineare, applicabile solo se il periodo fondamentale della struttura è superiore a T_C .

Gruppo 2 - Distribuzioni secondarie:

- distribuzione uniforme di forze, da intendersi come derivata da una distribuzione uniforme di accelerazioni lungo l'altezza della costruzione;
- distribuzione adattiva, che cambia al crescere dello spostamento del punto di controllo in funzione della plasticizzazione della struttura.

L'analisi richiede che al sistema strutturale reale venga associato un sistema strutturale equivalente ad un grado di libertà. Questo metodo d'analisi è utilizzabile solo per costruzioni il cui comportamento sotto la componente del terremoto considerata è governato da un modo di vibrare naturale principale, caratterizzato da una significativa partecipazione di massa. L'analisi richiede che al sistema strutturale reale venga associato un sistema strutturale equivalente ad un grado di libertà.

Verifica di vulnerabilità sismica e valutazione della sicurezza strutturale, rilievo architettonico, topografico, impiantistico e strutturale e verifica preventiva dell'interesse archeologico, finalizzati alla redazione del progetto di fattibilità tecnico economica dell'intervento di ristrutturazione e rifunzionalizzazione da effettuarsi sul compendio demaniale "Immobili confiscati" sito in Contrada Lenzi, Siderno (RC) - Scheda RCB1328

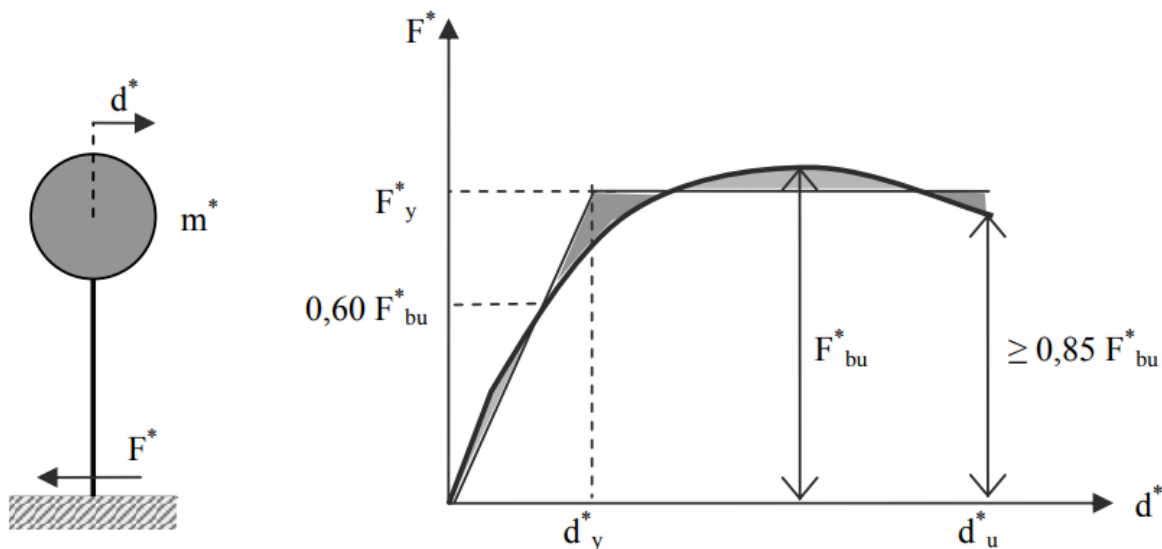


Figura 9-1 Sistema e diagramma bilineare equivalente

La forza F^* e lo spostamento d^* del sistema equivalente sono legati alle corrispondenti grandezze F_b e d_c del sistema reale dalle relazioni:

$$F^* = F_b / \Gamma$$

$$d^* = d_c / \Gamma$$

31

dove Γ è il "fattore di partecipazione modale" definito dalla relazione:

$$\Gamma = \frac{\varphi^T M \tau}{\varphi^T M \varphi}$$

Il vettore τ è il vettore di trascinamento corrispondente alla direzione del sisma considerata; il vettore φ è il modo di vibrare fondamentale del sistema reale normalizzato ponendo $d_c = 1$; la matrice M è la matrice di massa del sistema reale.

Alla curva di capacità del sistema equivalente occorre ora sostituire una curva bilineare avente un primo tratto elastico ed un secondo tratto perfettamente plastico. Detta F_{bu} la resistenza massima del sistema strutturale reale ed $F^*_{bu} = F_{bu} / \Gamma$ la resistenza massima del sistema equivalente, il tratto elastico si individua imponendone il passaggio per il punto $0,6 F^*_{bu}$ della curva di capacità del sistema equivalente, la forza di plasticizzazione F_y^* si individua imponendo l'uguaglianza delle aree sottese dalla curva bilineare e dalla curva di capacità per lo spostamento massimo d^*_u corrispondente ad una riduzione di resistenza $\leq 0,15 F^*_{bu}$.

Il periodo elastico del sistema bilineare è dato dall'espressione:

Verifica di vulnerabilità sismica e valutazione della sicurezza strutturale, rilievo architettonico, topografico, impiantistico e strutturale e verifica preventiva dell'interesse archeologico, finalizzati alla redazione del progetto di fattibilità tecnico economica dell'intervento di ristrutturazione e rifunzionalizzazione da effettuarsi sul compendio demaniale "Immobili confiscati" sito in Contrada Lenzi, Siderno (RC) - Scheda RCB1328

$$T^* = 2\pi\sqrt{\frac{m^*}{k^*}}$$

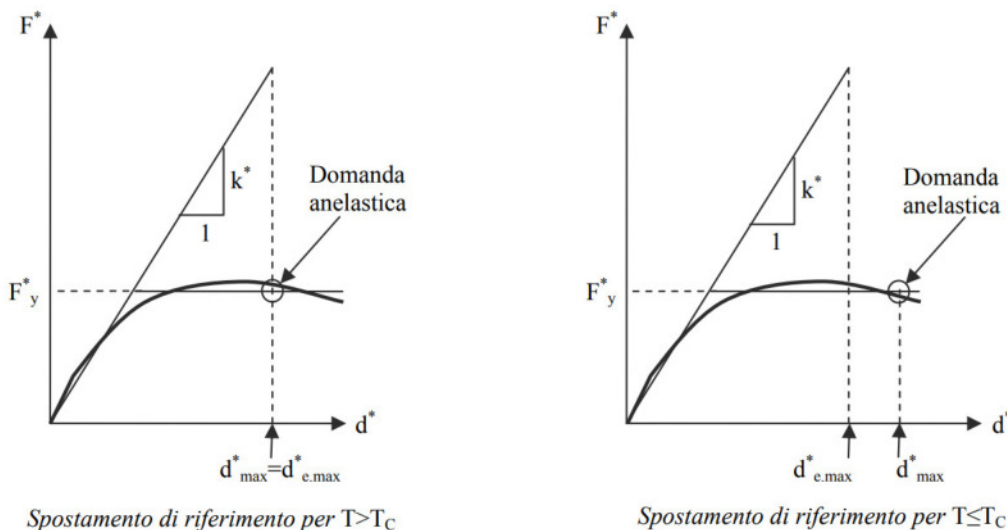
dove $m^* = \Phi^T M \tau$ e k^* è la rigidezza del tratto elastico della bilineare. Nel caso in cui il periodo elastico della costruzione T^* risulti $T^* \geq T_C$ la domanda in spostamento per il sistema anelastico è assunta uguale a quella di un sistema elastico di pari periodo:

$$d_{\max}^* = d_{e,\max}^* = S_{De}(T^*)$$

Nel caso in cui $T^* < T_C$ la domanda in spostamento per il sistema anelastico è maggiore di quella di un sistema elastico di pari periodo e si ottiene da quest'ultima mediante l'espressione:

$$d_{\max}^* = \frac{d_{e,\max}^*}{q^*} \left[1 + (q^* - 1) \frac{T_C}{T^*} \right] \geq d_{e,\max}^*$$

dove $q^* = S_e(T^*) m^* / F_y^*$ rappresenta il rapporto tra la forza di risposta elastica e la forza di snervamento del sistema equivalente. Se risulta $q^* \leq 1$ allora si ha $d_{\max}^* = d_{e,\max}^*$.



Gli effetti torsionali accidentali sono considerati nel modo previsto al § 7.2.6 delle NTC. Una volta trovata la domanda in spostamento d_{\max}^* per lo stato limite in esame si verifica che sia $d_{\max}^* \leq d_u^*$ e si procede alla verifica della compatibilità degli spostamenti per gli elementi/meccanismi duttili e delle resistenze per gli elementi/meccanismi fragili. L'analisi non lineare statica condotta nei modi previsti dalle NTC può sottostimare significativamente le deformazioni sui lati più rigidi e resistenti di strutture flessibili torsionalmente, cioè strutture in cui il modo di vibrare torsionale abbia un periodo superiore ad almeno

Verifica di vulnerabilità sismica e valutazione della sicurezza strutturale, rilievo architettonico, topografico, impiantistico e strutturale e verifica preventiva dell'interesse archeologico, finalizzati alla redazione del progetto di fattibilità tecnico economica dell'intervento di ristrutturazione e rifunzionalizzazione da effettuarsi sul compendio demaniale "Immobili confiscati" sito in Contrada Lenzi, Siderno (RC) – Scheda RCB1328

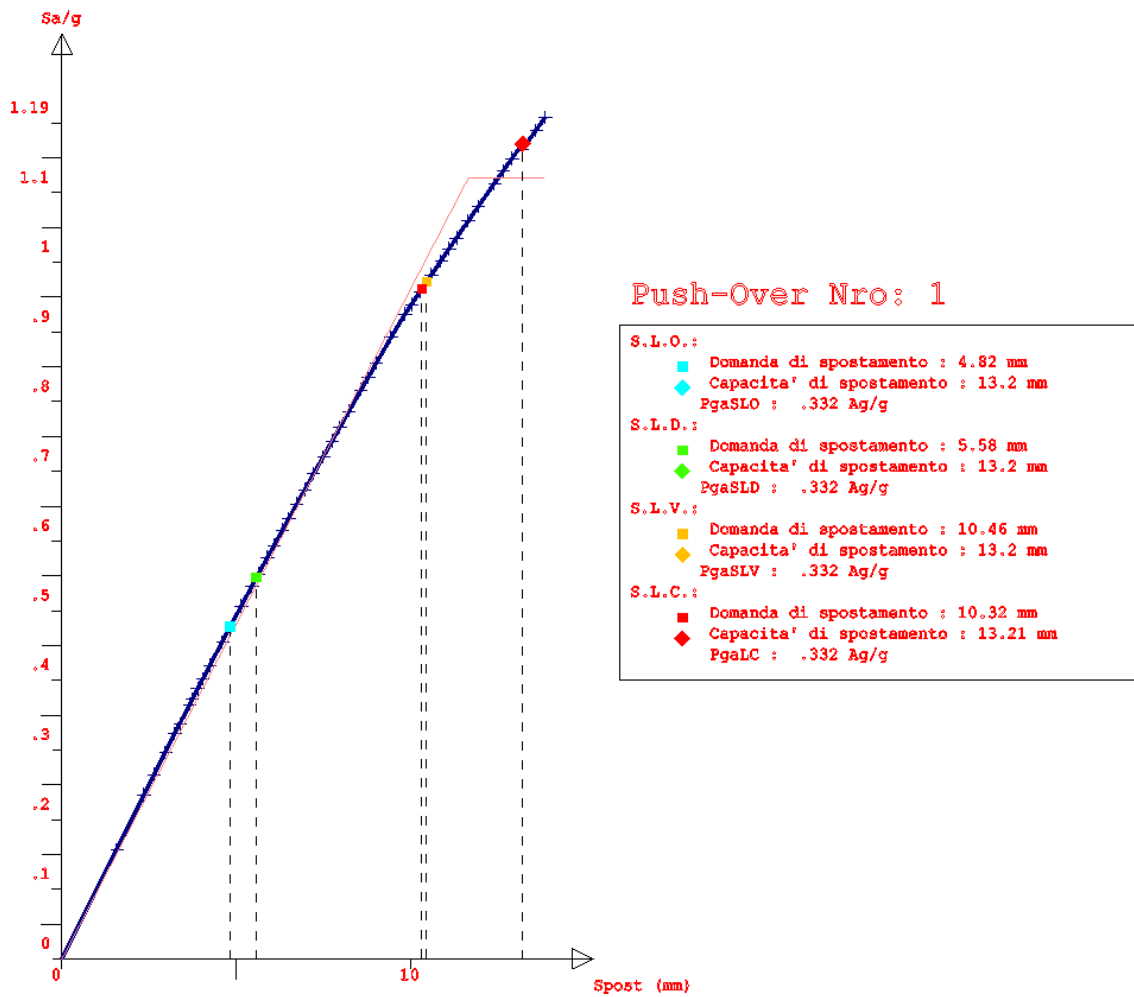
uno dei modi di vibrare principali traslazionali. Per tener conto di questo effetto, tra le distribuzioni secondarie delle forze occorre scegliere la distribuzione adattiva. L'azione sismica deve essere applicata, per ciascuna direzione, in entrambi i possibili versi e si devono considerare gli effetti più sfavorevoli derivanti dalle due analisi.

Verifica di vulnerabilità sismica e valutazione della sicurezza strutturale, rilievo architettonico, topografico, impiantistico e strutturale e verifica preventiva dell'interesse archeologico, finalizzati alla redazione del progetto di fattibilità tecnico economica dell'intervento di ristrutturazione e rifunzionalizzazione da effettuarsi sul compendio demaniale "Immobili confiscati" sito in Contrada Lenzi, Siderno (RC) - Scheda RCB1328

10 VERIFICHE DI VULNERABILITÀ

Si riportano a seguire le curve di pushover nel piano ADSR estratti dal Software CDSwin che permettono di capire gli esiti delle verifiche eseguite e i modelli tridimensionali indicanti le cerniere plastiche che arrivano a collasso.

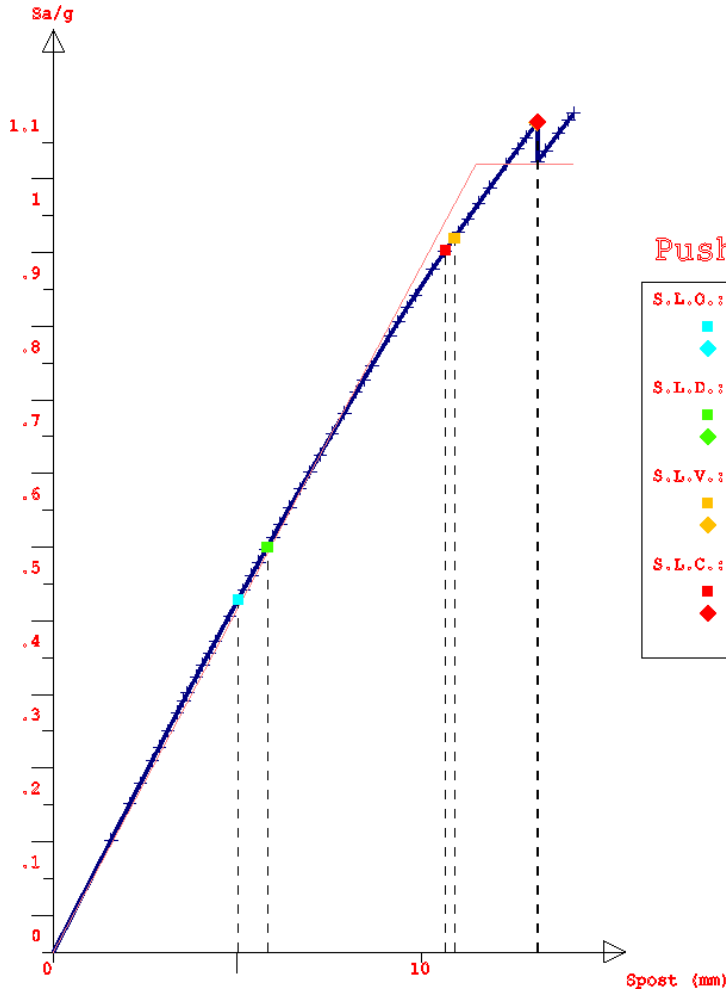
Push-Over n.01
 DISTRIBUZ FORZE SECONDO DEFORMATA MODALE
 [+Fx+0.3*Fy+Ecc5%]



| Stato limite | Domanda di spostamento [mm] | Capacità di spostamento [mm] | Esito verifica |
|--------------|-----------------------------|------------------------------|----------------|
| S.L.O. | 4,82 | 13,20 | Verificata |
| S.L.D. | 5,58 | 13,20 | Verificata |
| S.L.V. | 10,46 | 13,20 | Verificata |
| S.L.C. | 10,32 | 13,21 | Verificata |

Verifica di vulnerabilità sismica e valutazione della sicurezza strutturale, rilievo architettonico, topografico, impiantistico e strutturale e verifica preventiva dell'interesse archeologico, finalizzati alla redazione del progetto di fattibilità tecnico economica dell'intervento di ristrutturazione e rifunzionalizzazione da effettuarsi sul compendio demaniale "Immobili confiscati" sito in Contrada Lenzi, Siderno (RC) - Scheda RCB1328

Push-Over n.02
DISTRIBUZIONI FORZE SECONDO DEFORMATA MODALE
[-Fx+0.3*Fy+Ecc5%]



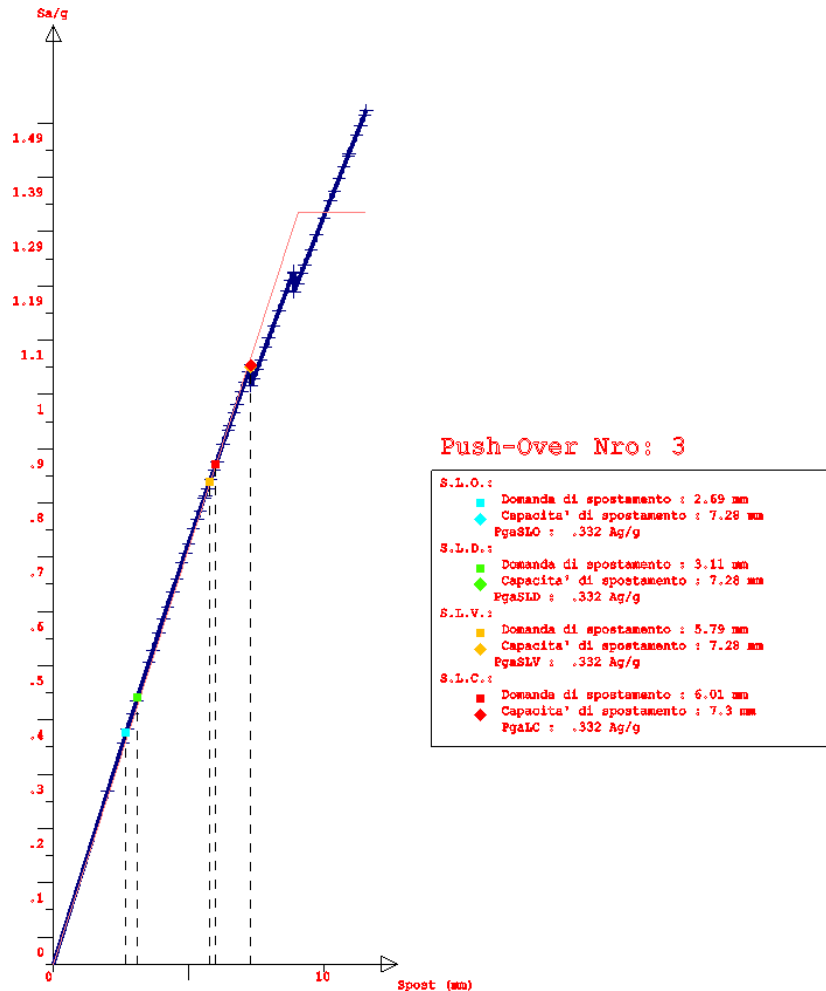
Push-Over Nro: 2

| | |
|----------------|---------------------------------------|
| S.L.O.: | ■ Domanda di spostamento : 5.02 mm |
| | ◆ Capacita' di spostamento : 13.16 mm |
| | PgaSLO : .332 Ag/g |
| S.L.D.: | ■ Domanda di spostamento : 5.81 mm |
| | ◆ Capacita' di spostamento : 13.16 mm |
| | PgaSLD : .332 Ag/g |
| S.L.V.: | ■ Domanda di spostamento : 10.9 mm |
| | ◆ Capacita' di spostamento : 13.16 mm |
| | PgaSLV : .332 Ag/g |
| S.L.C.: | ■ Domanda di spostamento : 10.66 mm |
| | ◆ Capacita' di spostamento : 13.17 mm |
| | PgaLC : .332 Ag/g |

| Stato limite | Domanda di spostamento [mm] | Capacità di spostamento [mm] | Esito verifica |
|--------------|-----------------------------|------------------------------|----------------|
| S.L.O. | 5,02 | 13,16 | verificata |
| S.L.D. | 5,81 | 13,16 | verificata |
| S.L.V. | 10,90 | 13,16 | verificata |
| S.L.C. | 10,66 | 13,17 | verificata |

Verifica di vulnerabilità sismica e valutazione della sicurezza strutturale, rilievo architettonico, topografico, impiantistico e strutturale e verifica preventiva dell'interesse archeologico, finalizzati alla redazione del progetto di fattibilità tecnico economica dell'intervento di ristrutturazione e rifunzionalizzazione da effettuarsi sul compendio demaniale "Immobili confiscati" sito in Contrada Lenzi, Siderno (RC) – Scheda RCB1328

Push-Over n.03
DISTRIBUZIONI FORZE SECONDO DEFORMATA MODALE
[+Fy+0.3*Fx+Ecc5%]

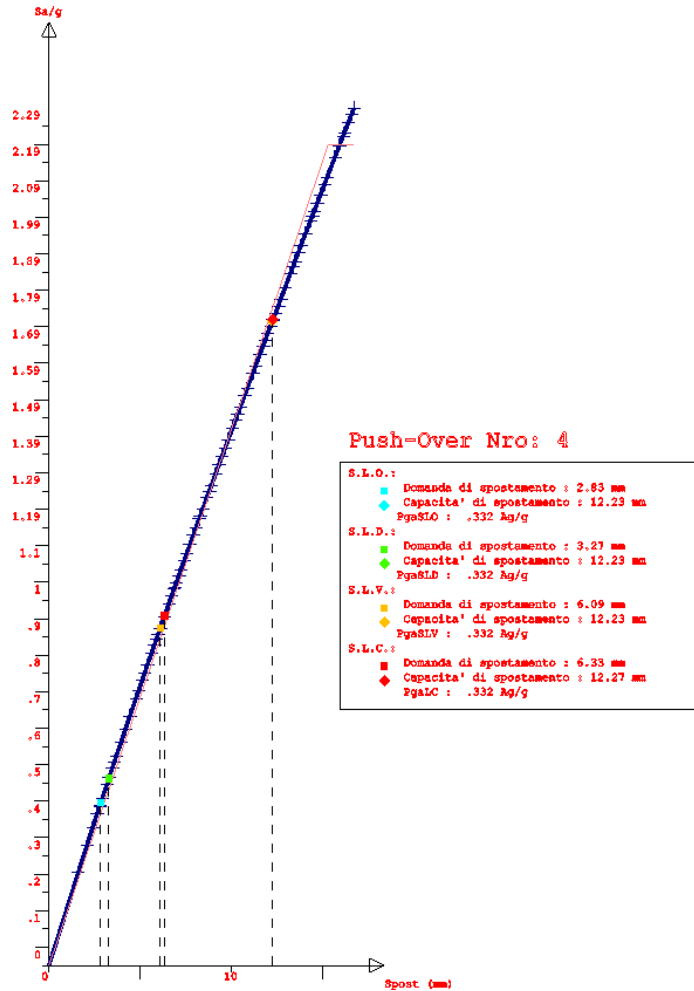


| Stato limite | Domanda di spostamento [mm] | Capacità di spostamento [mm] | Esito verifica |
|--------------|-----------------------------|------------------------------|----------------|
| S.L.O. | 2,69 | 7,28 | Verificata |
| S.L.D. | 3,11 | 7,28 | Verificata |
| S.L.V. | 5,79 | 7,28 | Verificata |
| S.L.C. | 6,01 | 7,30 | Verificata |

Verifica di vulnerabilità sismica e valutazione della sicurezza strutturale, rilievo architettonico, topografico, impiantistico e strutturale e verifica preventiva dell'interesse archeologico, finalizzati alla redazione del progetto di fattibilità tecnico economica dell'intervento di ristrutturazione e rifunzionalizzazione da effettuarsi sul compendio demaniale "Immobili confiscati" sito in Contrada Lenzi, Siderno (RC) - Scheda RCB1328

Push-Over n.04

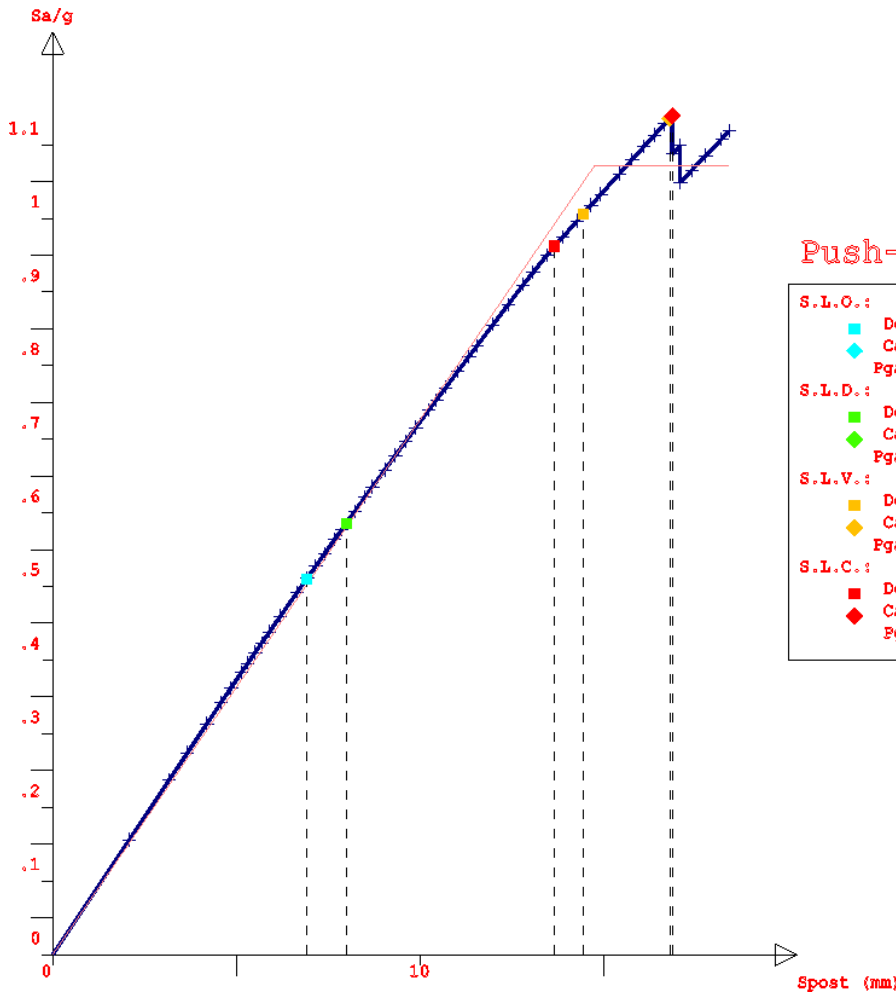
**DISTRIBUZIONI FORZE SECONDO DEFORMATA MODALE
[-Fy+0.3*Fx+Ecc5%]**



| Stato limite | Domanda di spostamento [mm] | Capacità di spostamento [mm] | Esito verifica |
|--------------|-----------------------------|------------------------------|----------------|
| S.L.O. | 2,83 | 12,23 | Verificata |
| S.L.D. | 3,27 | 12,23 | Verificata |
| S.L.V. | 6,09 | 12,23 | Verificata |
| S.L.C. | 6,33 | 12,27 | Verificata |

Verifica di vulnerabilità sismica e valutazione della sicurezza strutturale, rilievo architettonico, topografico, impiantistico e strutturale e verifica preventiva dell'interesse archeologico, finalizzati alla redazione del progetto di fattibilità tecnico economica dell'intervento di ristrutturazione e rifunzionalizzazione da effettuarsi sul compendio demaniale "Immobili confiscati" sito in Contrada Lenzi, Siderno (RC) - Scheda RCB1328

Push-Over n.05
 DISTRIB. FORZE PROPORZIONALE ALLE MASSE
 [+Fx+0.3*Fy+Ecc5%]



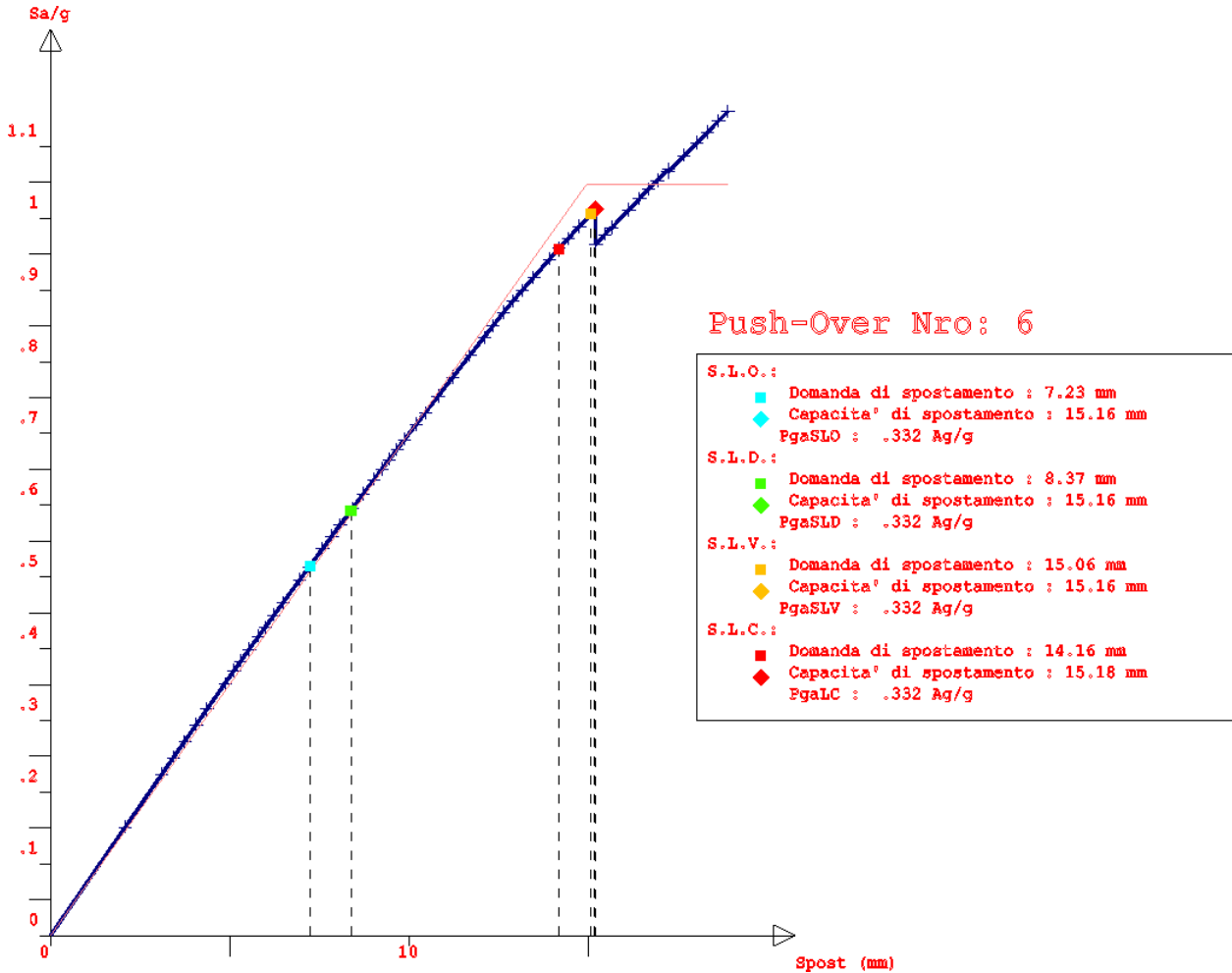
Push-Over Nro: 5

| | |
|----------------|--------------------------------------|
| S.L.O.: | ■ Domanda di spostamento : 6.89 mm |
| | ◆ Capacità di spostamento : 16.78 mm |
| | PgaSLO : .332 Ag/g |
| S.L.D.: | ■ Domanda di spostamento : 7.98 mm |
| | ◆ Capacità di spostamento : 16.78 mm |
| | PgaSLD : .332 Ag/g |
| S.L.V.: | ■ Domanda di spostamento : 14.43 mm |
| | ◆ Capacità di spostamento : 16.78 mm |
| | PgaSLV : .332 Ag/g |
| S.L.C.: | ■ Domanda di spostamento : 13.65 mm |
| | ◆ Capacità di spostamento : 16.84 mm |
| | PgaLC : .332 Ag/g |

| Stato limite | Domanda di spostamento [mm] | Capacità di spostamento [mm] | Esito verifica |
|--------------|-----------------------------|------------------------------|----------------|
| S.L.O. | 6,89 | 16,78 | Verificata |
| S.L.D. | 7,98 | 16,79 | Verificata |
| S.L.V. | 14,43 | 16,78 | Verificata |
| S.L.C. | 13,65 | 16,84 | Verificata |

Verifica di vulnerabilità sismica e valutazione della sicurezza strutturale, rilievo architettonico, topografico, impiantistico e strutturale e verifica preventiva dell'interesse archeologico, finalizzati alla redazione del progetto di fattibilità tecnico economica dell'intervento di ristrutturazione e rifunzionalizzazione da effettuarsi sul compendio demaniale "Immobili confiscati" sito in Contrada Lenzi, Siderno (RC) - Scheda RCB1328

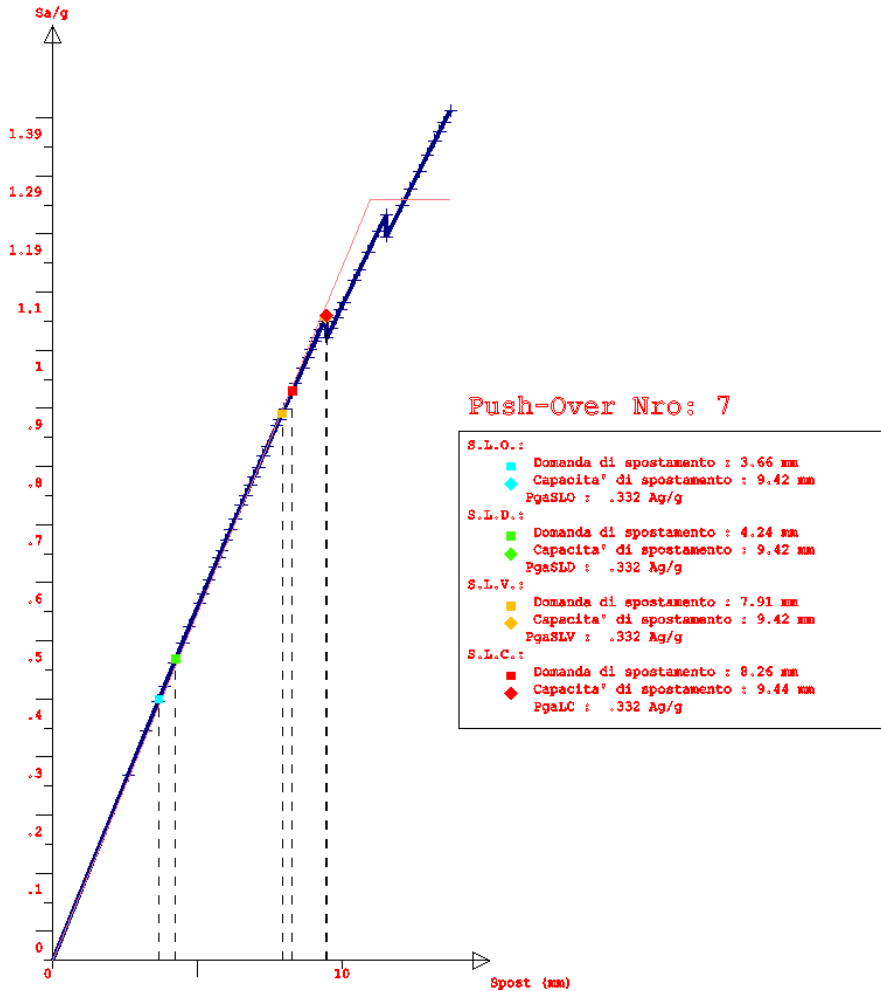
Push-Over n.06
 DISTRIB. FORZE PROPORZIONALE ALLE MASSE
 [-Fx+0.3*Fy+Ecc5%]



| Stato limite | Domanda di spostamento [mm] | Capacità di spostamento [mm] | Esito verifica |
|--------------|-----------------------------|------------------------------|----------------|
| S.L.O. | 7,23 | 15,16 | Verificata |
| S.L.D. | 8,37 | 15,16 | Verificata |
| S.L.V. | 15,06 | 15,16 | Verificata |
| S.L.C. | 14,16 | 15,18 | Verificata |

Verifica di vulnerabilità sismica e valutazione della sicurezza strutturale, rilievo architettonico, topografico, impiantistico e strutturale e verifica preventiva dell'interesse archeologico, finalizzati alla redazione del progetto di fattibilità tecnico economica dell'intervento di ristrutturazione e rifunzionalizzazione da effettuarsi sul compendio demaniale "Immobili confiscati" sito in Contrada Lenzi, Siderno (RC) – Scheda RCB1328

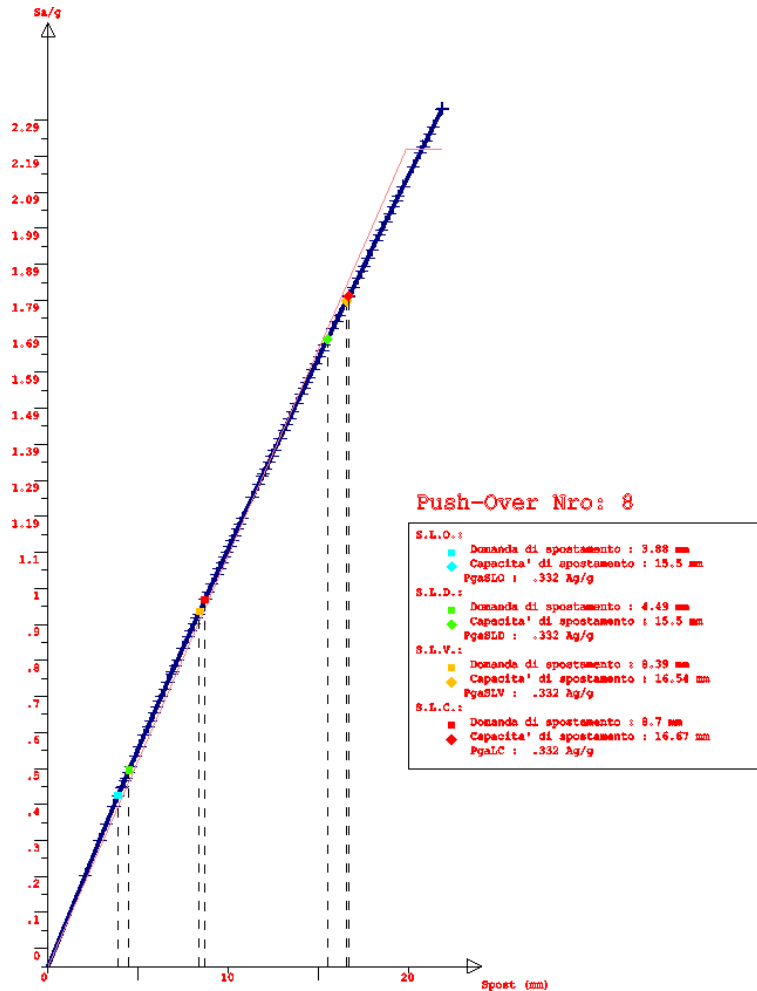
Push-Over n.07
 DISTRIB. FORZE PROPORZIONALE ALLE MASSE
 [+Fy+0.3*Fx+Ecc5%]



| Stato limite | Domanda di spostamento [mm] | Capacità di spostamento [mm] | Esito verifica |
|--------------|-----------------------------|------------------------------|----------------|
| S.L.O. | 3,66 | 9,42 | Verificata |
| S.L.D. | 4,28 | 9,42 | Verificata |
| S.L.V. | 7,91 | 9,42 | Verificata |
| S.L.C. | 8,26 | 9,44 | Verificata |

Verifica di vulnerabilità sismica e valutazione della sicurezza strutturale, rilievo architettonico, topografico, impiantistico e strutturale e verifica preventiva dell'interesse archeologico, finalizzati alla redazione del progetto di fattibilità tecnico economica dell'intervento di ristrutturazione e rifunzionalizzazione da effettuarsi sul compendio demaniale "Immobili confiscati" sito in Contrada Lenzi, Siderno (RC) - Scheda RCB1328

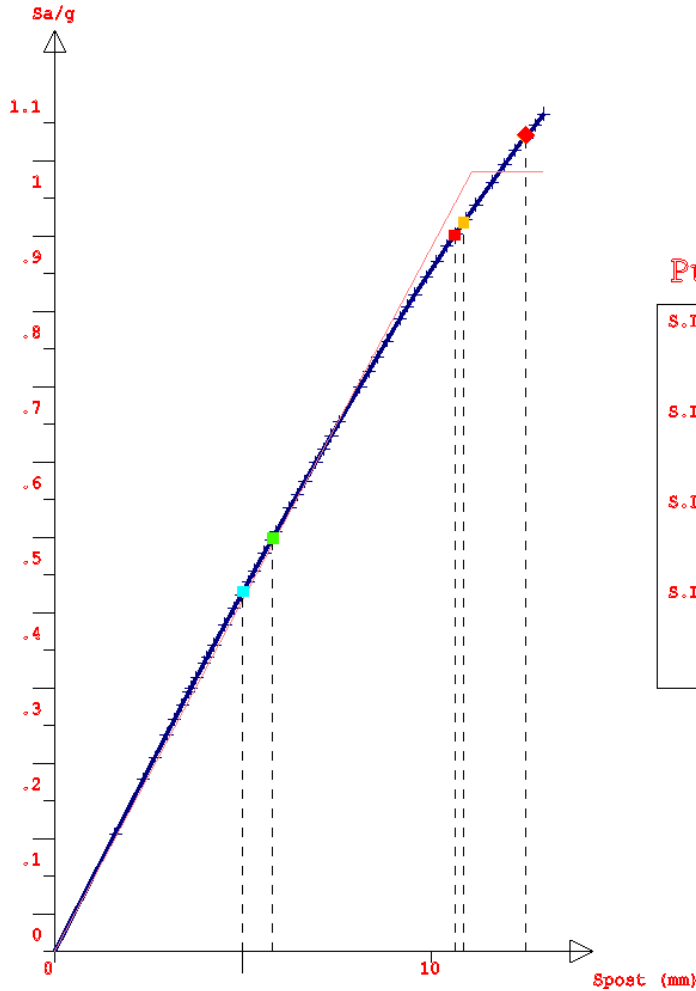
Push-Over n.08
DISTRIB. FORZE PROPORZIONALE ALLE MASSE
[-Fy+0.3*Fx+Ecc5%]



| Stato limite | Domanda di spostamento [mm] | Capacità di spostamento [mm] | Esito verifica |
|--------------|-----------------------------|------------------------------|----------------|
| S.L.O. | 3,88 | 15,5 | Verificata |
| S.L.D. | 4,49 | 15,5 | Verificata |
| S.L.V. | 8,39 | 16,54 | Verificata |
| S.L.C. | 8,70 | 16,67 | Verificata |

Verifica di vulnerabilità sismica e valutazione della sicurezza strutturale, rilievo architettonico, topografico, impiantistico e strutturale e verifica preventiva dell'interesse archeologico, finalizzati alla redazione del progetto di fattibilità tecnico economica dell'intervento di ristrutturazione e rifunzionalizzazione da effettuarsi sul compendio demaniale "Immobili confiscati" sito in Contrada Lenzi, Siderno (RC) - Scheda RCB1328

Push-Over n.09
DISTRIBUZION FORZE SECONDO DEFORMATA MODALE
[+Fx-0.3*Fy+Ecc5%]



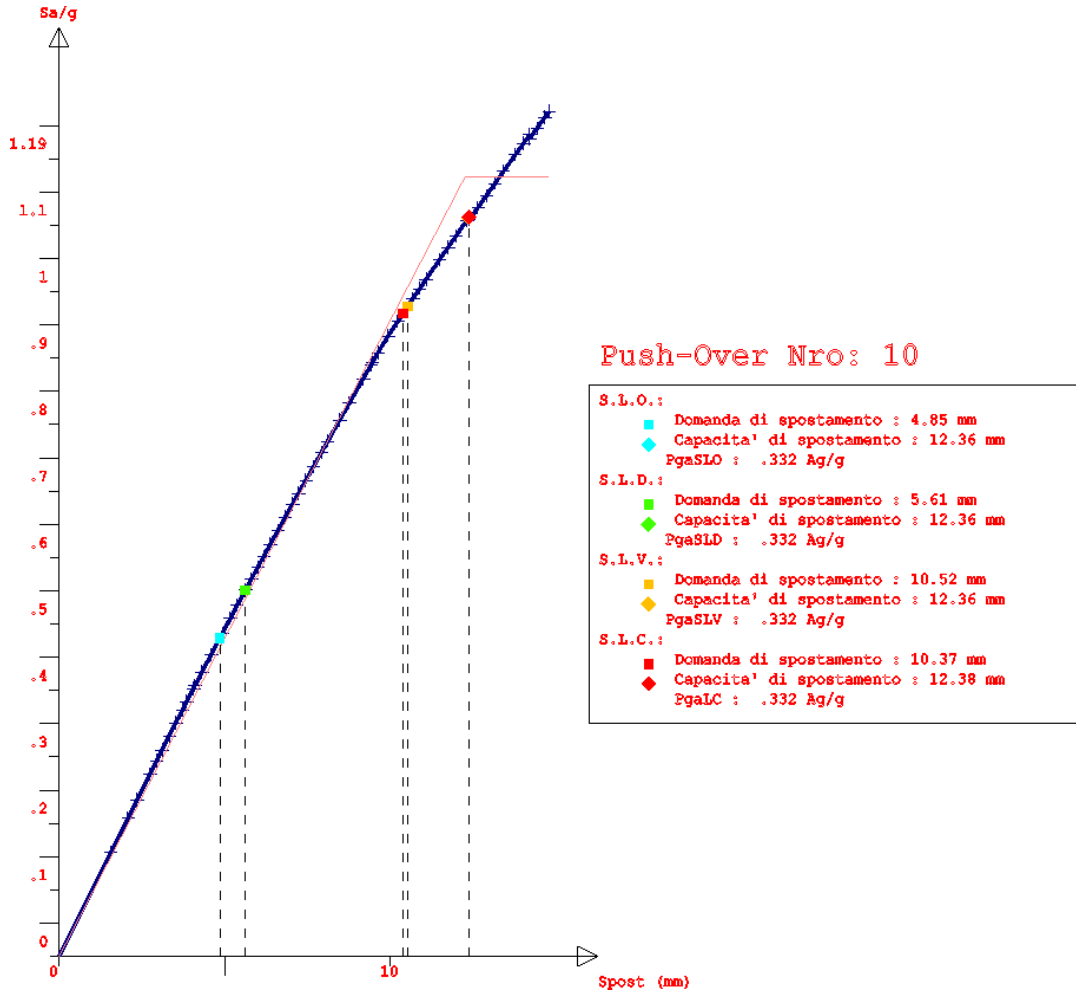
Push-Over Nro: 9

| | |
|----------------|------------------------------------|
| S.L.O.: | |
| ■ | Domanda di spostamento : 5 mm |
| ◆ | Capacità di spostamento : 12.51 mm |
| | PgaSLO : .332 Ag/g |
| S.L.D.: | |
| ■ | Domanda di spostamento : 5.79 mm |
| ◆ | Capacità di spostamento : 12.51 mm |
| | PgaSLD : .332 Ag/g |
| S.L.V.: | |
| ■ | Domanda di spostamento : 10.86 mm |
| ◆ | Capacità di spostamento : 12.51 mm |
| | PgaSLV : .332 Ag/g |
| S.L.C.: | |
| ■ | Domanda di spostamento : 10.63 mm |
| ◆ | Capacità di spostamento : 12.52 mm |
| | PgaLC : .332 Ag/g |

| Stato limite | Domanda di spostamento [mm] | Capacità di spostamento [mm] | Esito verifica |
|--------------|-----------------------------|------------------------------|----------------|
| S.L.O. | 5,00 | 12,51 | Verificata |
| S.L.D. | 5,79 | 12,51 | Verificata |
| S.L.V. | 10,86 | 12,51 | Verificata |
| S.L.C. | 10,63 | 12,52 | Verificata |

Verifica di vulnerabilità sismica e valutazione della sicurezza strutturale, rilievo architettonico, topografico, impiantistico e strutturale e verifica preventiva dell'interesse archeologico, finalizzati alla redazione del progetto di fattibilità tecnico economica dell'intervento di ristrutturazione e rifunzionalizzazione da effettuarsi sul compendio demaniale "Immobili confiscati" sito in Contrada Lenzi, Siderno (RC) – Scheda RCB1328

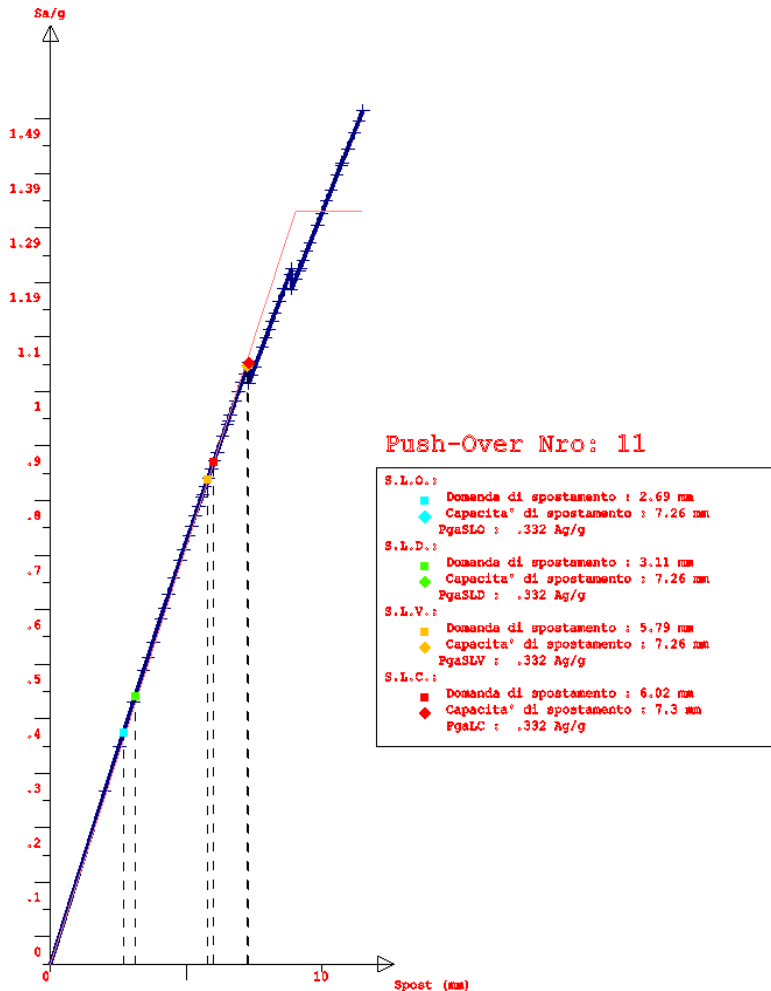
Push-Over n.10
 DISTRIBUZIONI FORZE SECONDO DEFORMATA MODALE
 [-Fx-0.3*Fy+Ecc5%]



| Stato limite | Domanda di spostamento [mm] | Capacità di spostamento [mm] | Esito verifica |
|--------------|-----------------------------|------------------------------|----------------|
| S.L.O. | 4,85 | 12,36 | Verificata |
| S.L.D. | 5,61 | 12,36 | Verificata |
| S.L.V. | 10,52 | 12,36 | Verificata |
| S.L.C. | 10,37 | 12,38 | Verificata |

Verifica di vulnerabilità sismica e valutazione della sicurezza strutturale, rilievo architettonico, topografico, impiantistico e strutturale e verifica preventiva dell'interesse archeologico, finalizzati alla redazione del progetto di fattibilità tecnico economica dell'intervento di ristrutturazione e rifunzionalizzazione da effettuarsi sul compendio demaniale "Immobili confiscati" sito in Contrada Lenzi, Siderno (RC) - Scheda RCB1328

Push-Over n.11
 DISTRIBUZIONI FORZE SECONDO DEFORMATA MODALE
 [+Fy-0.3*Fx+Ecc5%]

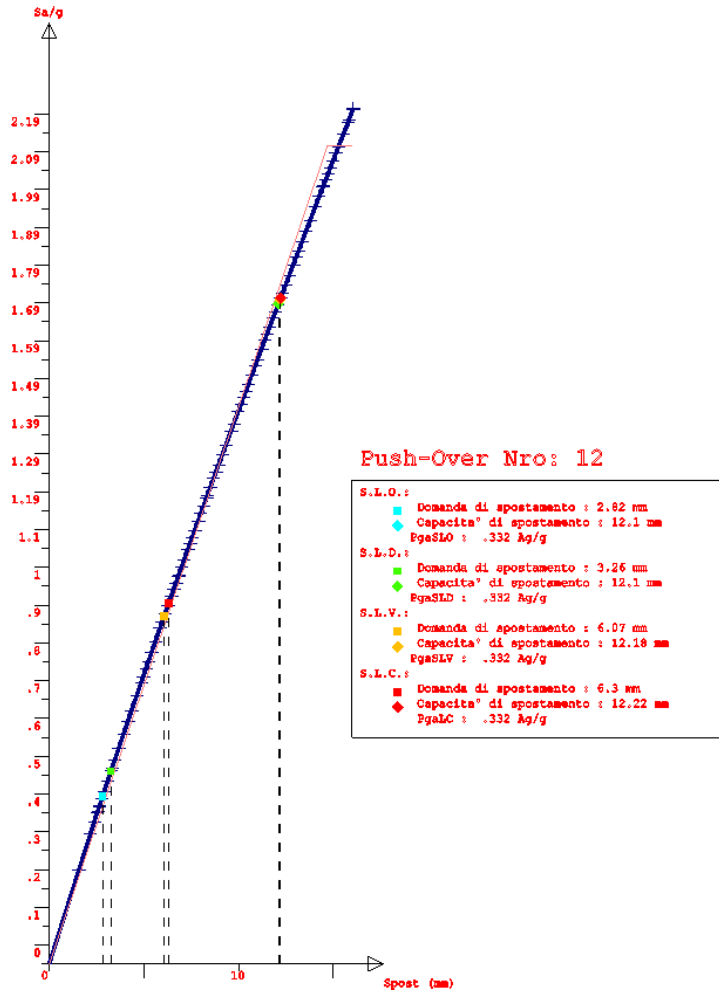


| Stato limite | Domanda di spostamento [mm] | Capacità di spostamento [mm] | Esito verifica |
|--------------|-----------------------------|------------------------------|----------------|
| S.L.O. | 2,69 | 7,26 | Verificata |
| S.L.D. | 3,11 | 7,26 | Verificata |
| S.L.V. | 5,79 | 7,26 | Verificata |
| S.L.C. | 6,02 | 7,30 | Verificata |

Verifica di vulnerabilità sismica e valutazione della sicurezza strutturale, rilievo architettonico, topografico, impiantistico e strutturale e verifica preventiva dell'interesse archeologico, finalizzati alla redazione del progetto di fattibilità tecnico economica dell'intervento di ristrutturazione e rifunzionalizzazione da effettuarsi sul compendio demaniale "Immobili confiscati" sito in Contrada Lenzi, Siderno (RC) - Scheda RCB1328

Push-Over n.12

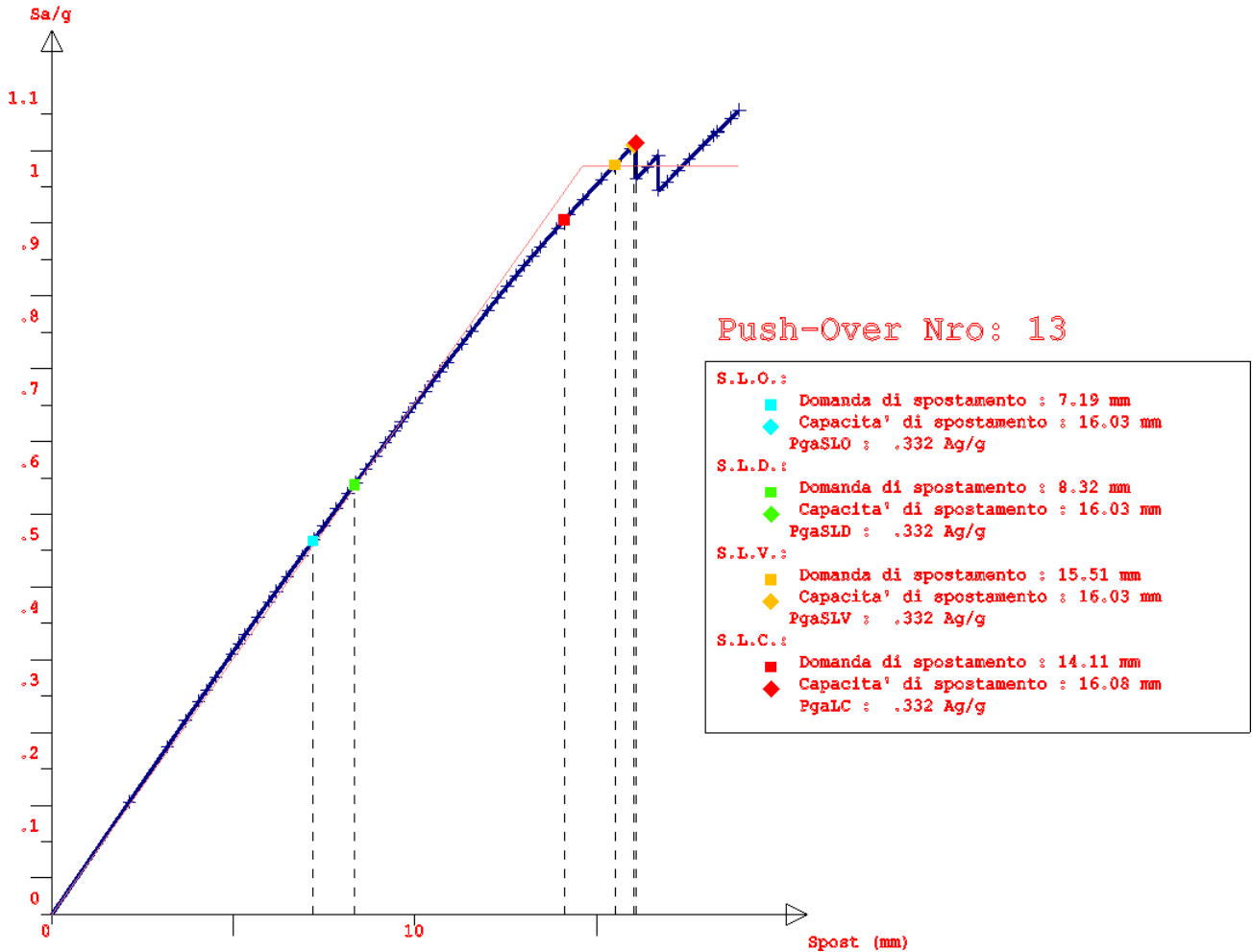
**DISTRIBUZION FORZE SECONDO DEFORMATA MODALE
[-Fy-0.3*Fx+Ecc5%]**



| Stato limite | Domanda di spostamento [mm] | Capacità di spostamento [mm] | Esito verifica |
|--------------|-----------------------------|------------------------------|----------------|
| S.L.O. | 2,82 | 12,10 | Verificata |
| S.L.D. | 3,26 | 12,10 | Verificata |
| S.L.V. | 6,07 | 12,18 | Verificata |
| S.L.C. | 6,30 | 12,22 | Verificata |

Verifica di vulnerabilità sismica e valutazione della sicurezza strutturale, rilievo architettonico, topografico, impiantistico e strutturale e verifica preventiva dell'interesse archeologico, finalizzati alla redazione del progetto di fattibilità tecnico economica dell'intervento di ristrutturazione e rifunzionalizzazione da effettuarsi sul compendio demaniale "Immobili confiscati" sito in Contrada Lenzi, Siderno (RC) - Scheda RCB1328

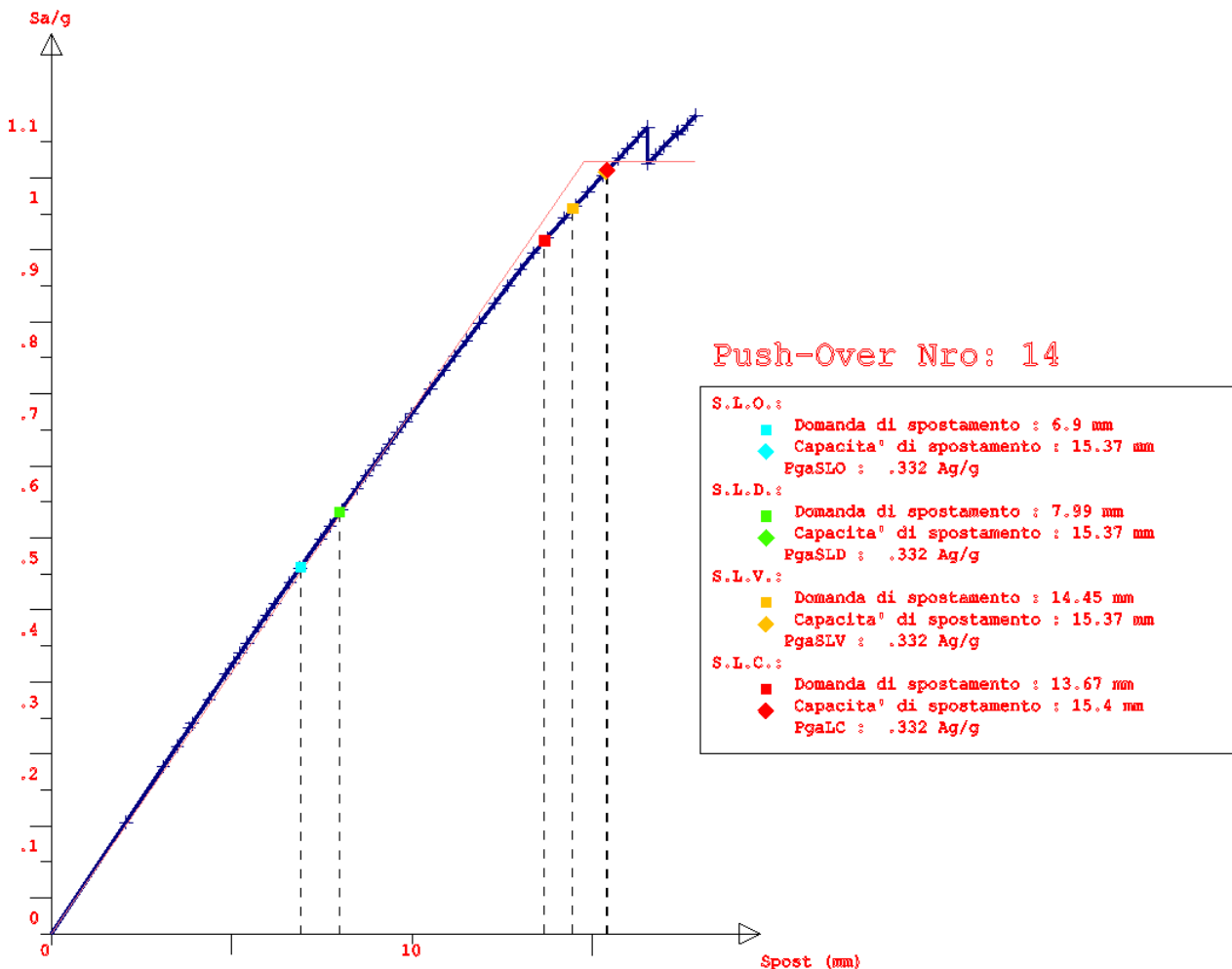
Push-Over n.13
 DISTRIB. FORZE PROPORZIONALE ALLE MASSE
 [+Fx-0.3*Fy+Ecc5%]



| Stato limite | Domanda di spostamento [mm] | Capacità di spostamento [mm] | Esito verifica |
|--------------|-----------------------------|------------------------------|----------------|
| S.L.O. | 7,19 | 16,03 | Verificata |
| S.L.D. | 8,32 | 16,03 | Verificata |
| S.L.V. | 15,51 | 16,03 | Verificata |
| S.L.C. | 14,11 | 16,08 | Verificata |

Verifica di vulnerabilità sismica e valutazione della sicurezza strutturale, rilievo architettonico, topografico, impiantistico e strutturale e verifica preventiva dell'interesse archeologico, finalizzati alla redazione del progetto di fattibilità tecnico economica dell'intervento di ristrutturazione e rifunzionalizzazione da effettuarsi sul compendio demaniale "Immobili confiscati" sito in Contrada Lenzi, Siderno (RC) - Scheda RCB1328

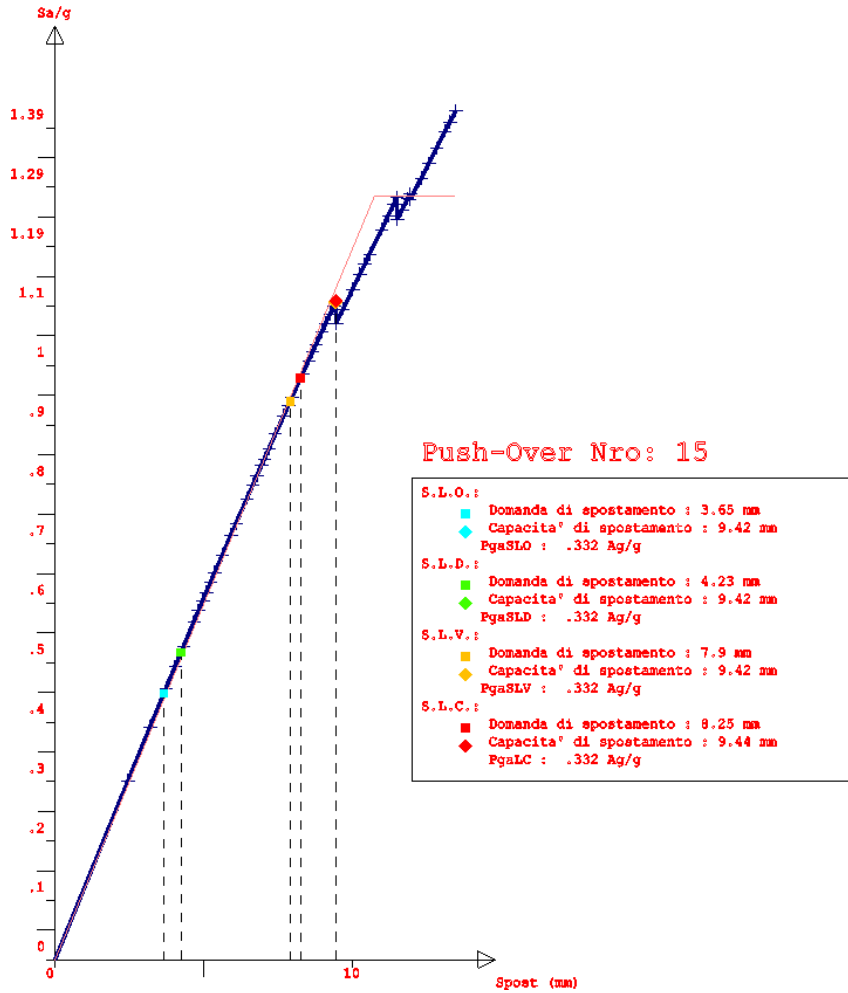
Push-Over n.14
 DISTRIB. FORZE PROPORZIONALE ALLE MASSE
 [-Fx-0.3*Fy+Ecc5%]



| Stato limite | Domanda di spostamento [mm] | Capacità di spostamento [mm] | Esito verifica |
|--------------|-----------------------------|------------------------------|----------------|
| S.L.O. | 6,90 | 15,37 | Verificata |
| S.L.D. | 7,99 | 15,37 | Verificata |
| S.L.V. | 14,45 | 15,37 | Verificata |
| S.L.C. | 13,67 | 15,40 | Verificata |

Verifica di vulnerabilità sismica e valutazione della sicurezza strutturale, rilievo architettonico, topografico, impiantistico e strutturale e verifica preventiva dell'interesse archeologico, finalizzati alla redazione del progetto di fattibilità tecnico economica dell'intervento di ristrutturazione e rifunzionalizzazione da effettuarsi sul compendio demaniale "Immobili confiscati" sito in Contrada Lenzi, Siderno (RC) - Scheda RCB1328

Push-Over n.15
 DISTRIB. FORZE PROPORZIONALE ALLE MASSE
 [+Fy-0.3*Fx+Ecc5%]



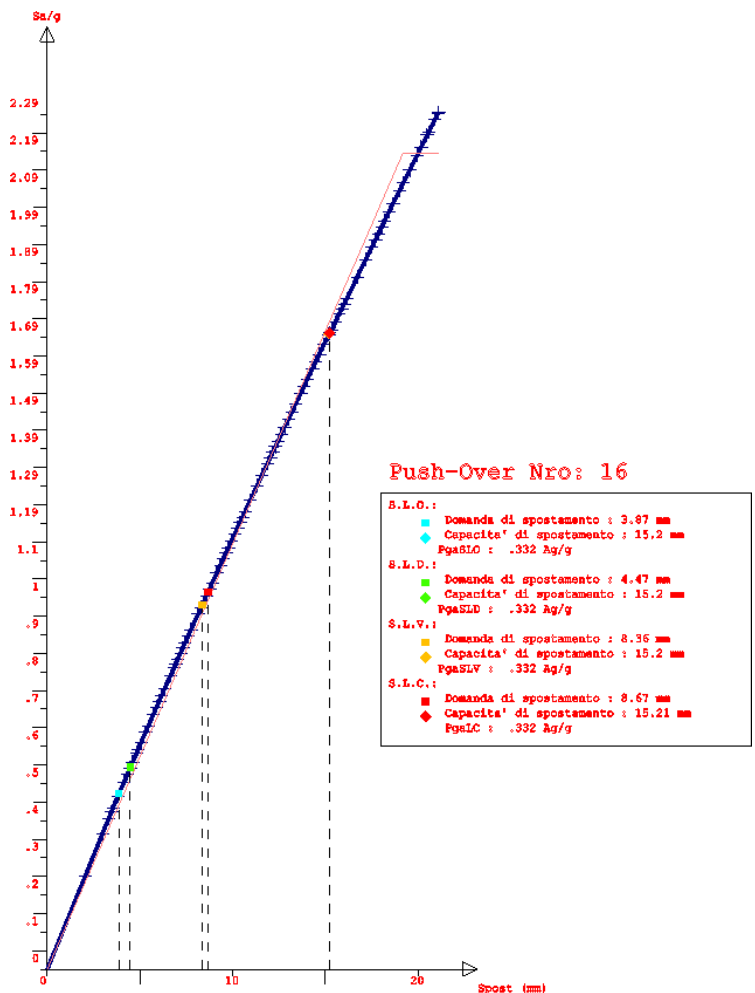
| Stato limite | Domanda di spostamento [mm] | Capacità di spostamento [mm] | Esito verifica |
|--------------|-----------------------------|------------------------------|----------------|
| S.L.O. | 3,65 | 9,42 | Verificata |
| S.L.D. | 4,23 | 9,42 | Verificata |
| S.L.V. | 7,90 | 9,42 | Verificata |
| S.L.C. | 8,25 | 9,44 | Verificata |

Verifica di vulnerabilità sismica e valutazione della sicurezza strutturale, rilievo architettonico, topografico, impiantistico e strutturale e verifica preventiva dell'interesse archeologico, finalizzati alla redazione del progetto di fattibilità tecnico economica dell'intervento di ristrutturazione e rifunzionalizzazione da effettuarsi sul compendio demaniale "Immobili confiscati" sito in Contrada Lenzi, Siderno (RC) - Scheda RCB1328

Push-Over n.16

DISTRIB. FORZE PROPORZIONALE ALLE MASSE

[-Fy-0.3*Fx+Ecc5%]



| Stato limite | Domanda di spostamento [mm] | Capacità di spostamento [mm] | Esito verifica |
|--------------|-----------------------------|------------------------------|----------------|
| S.L.O. | 3,87 | 15,20 | Verificata |
| S.L.D. | 4,47 | 15,2 | Verificata |
| S.L.V. | 8,36 | 15,20 | Verificata |
| S.L.C. | 8,67 | 15,21 | Verificata |

Verifica di vulnerabilità sismica e valutazione della sicurezza strutturale, rilievo architettonico, topografico, impiantistico e strutturale e verifica preventiva dell'interesse archeologico, finalizzati alla redazione del progetto di fattibilità tecnico economica dell'intervento di ristrutturazione e rifunzionalizzazione da effettuarsi sul compendio demaniale "Immobili confiscati" sito in Contrada Lenzi, Siderno (RC) - Scheda RCB1328

11 DETERMINAZIONE DELL'INDICATORE DI RISCHIO (IR)

Il livello di vulnerabilità sismica degli edifici viene espresso in termini di **INDICATORI DI RISCHIO (IR)**, **IR=CAPACITÀ/DOMANDA**, se questo risulta > di 1 la capacità dell'edificio di sopportare l'azione sismica è maggiore di quello che la normativa richiede (domanda). Più IR è inferiore all'unità più le strutture dell'edificio risultano carenti nel sopportare l'azione sismica. IR viene espresso in termini di periodo di ritorno (Tr) → IR(Tr) e in termini di accelerazione (Pga) → IR(Pga)= ζ_E

L'indicatore di rischio IR(Tr) può essere definito nel seguente modo:

$$IR=(TrC/TrD)^{0.41}$$

L'indicatore di rischio IR(Pga) allo SLV è invece così definito:

$$IR= PgaLV/Pga 10\%$$

Analizzando i risultati delle 16 curve nel piano ADSR si evince che **L'EDIFICIO IN SEGUITO AGLI INTERVENTI DI INSERIMENTO DI NUOVI SETTI IN C.A. RISULTEREBBE ADEGUATO SISMICAMENTE**, si riporta di seguito la tabella riassuntiva degli indicatori di rischio allo stato limite di salvaguardia della vita (SLV)

| COMBINAZIONE | (TrCLV/TDLV) ^a (IR,tr) | ζ_E (PgaLV/Pga 10%) (IR,pga) |
|-------------------|-----------------------------------|------------------------------------|
| PUSH-OVER N.ro 1 | 1,115 | 1,096 |
| PUSH-OVER N.ro 2 | 1,115 | 1,096 |
| PUSH-OVER N.ro 3 | 1,115 | 1,096 |
| PUSH-OVER N.ro 4 | 1,115 | 1,096 |
| PUSH-OVER N.ro 5 | 1,115 | 1,096 |
| PUSH-OVER N.ro 6 | 1,115 | 1,096 |
| PUSH-OVER N.ro 7 | 1,115 | 1,096 |
| PUSH-OVER N.ro 8 | 1,115 | 1,096 |
| PUSH-OVER N.ro 9 | 1,115 | 1,096 |
| PUSH-OVER N.ro 10 | 1,115 | 1,096 |
| PUSH-OVER N.ro 11 | 1,115 | 1,096 |
| PUSH-OVER N.ro 12 | 1,115 | 1,096 |
| PUSH-OVER N.ro 13 | 1,115 | 1,096 |
| PUSH-OVER N.ro 14 | 1,115 | 1,096 |
| PUSH-OVER N.ro 15 | 1,115 | 1,096 |
| PUSH-OVER N.ro 16 | 1,115 | 1,096 |

50

| | |
|---|---------------------------------|
| INDICATORE DI RISCHIO MINIMO IR(Tr) | 1,115 ≥ 1 VERIFICATO |
|---|---------------------------------|

| | |
|--|---------------------------------|
| INDICATORE DI RISCHIO MINIMO IR(Pga)= ζ_E | 1,096 ≥ 1 VERIFICATO |
|--|---------------------------------|

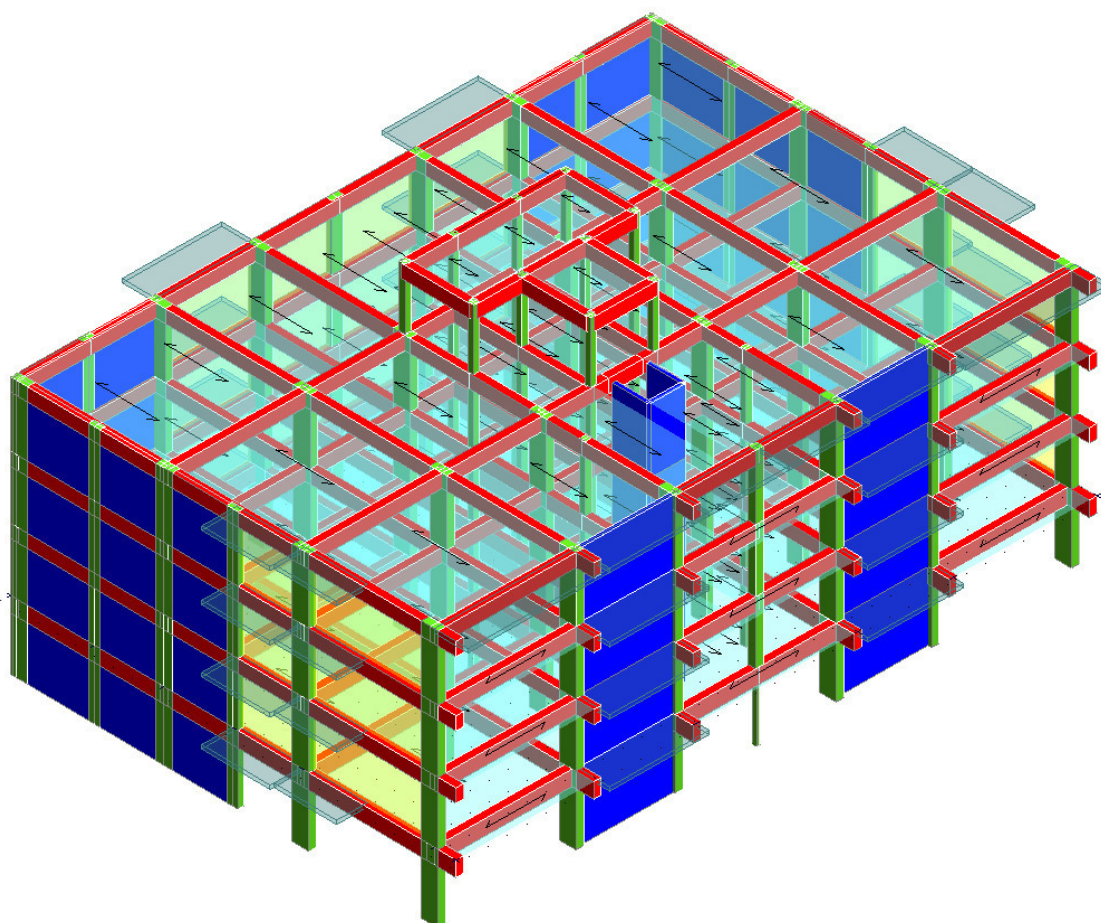
Comune di Siderno
Provincia di Reggio Calabria

RELAZIONE

Ai sensi del Cap. 10.2 delle NTC 2018

ANALISI E VERIFICHE SVOLTE CON L' AUSILIO DI CODICI DI CALCOLO

Oggetto: Verifica di vulnerabilità sismica e valutazione della sicurezza strutturale, rilievo architettonico, topografico, impiantistico e strutturale e verifica preventiva dell'interesse archeologico, finalizzati alla redazione del progetto di fattibilità tecnico economica dell'intervento di ristrutturazione e rifunzionalizzazione da effettuarsi sul compendio demaniale "Immobili confiscati" sito in Contrada Lenzi, Siderno (RC) – Scheda RCB1328



Indice generale

TIPO ANALISI SVOLTA.....

ORIGINE E CARATTERISTICHE DEI CODICI DI CALCOLO

VALIDAZIONE DEI CODICI

PRESENTAZIONE SINTETICA DEI RISULTATI

INFORMAZIONI SULL' ELABORAZIONE

GIUDIZIO MOTIVATO DI ACCETTABILITA'

Tipo Analisi svolta

- Tipo di analisi e motivazione

L'analisi per le combinazioni delle azioni permanenti e variabili è stata condotta in regime elastico lineare.

Per quanto riguarda le azioni simiche, tenendo conto che per tali azioni si vogliono determinare le prestazioni in termini di capacità in spostamento e di danno per i vari stati limite previsti dalla norma si è reso necessario effettuare un insieme di analisi statiche non lineari incrementali modellando esplicitamente le caratteristiche non lineari degli elementi strutturali.

- Metodo di risoluzione della struttura

La struttura è stata modellata con il metodo degli elementi finiti utilizzando vari elementi di libreria specializzati per schematizzare i vari elementi strutturali.

Nel modello sono stati tenuti in conto i disassamenti tra i vari elementi strutturali schematizzandoli come vincoli cinematici rigidi. La presenza di eventuali orizzontamenti e' stata tenuta in conto o con vincoli cinematici rigidi o con modellazione della soletta con elementi SHELL. I vincoli tra i vari elementi strutturali e quelli con il terreno sono stati modellati in maniera congruente al reale comportamento strutturale.

I legami costitutivi utilizzati nelle analisi globali finalizzate al calcolo delle sollecitazioni sono del tipo elastico lineare.

- Metodo di verifica sezionale

Le verifiche sono state condotte con il metodo degli stati limite (SLU e SLE) utilizzando i coefficienti parziali della normativa di cui al DM 17/01/2018.

Per le verifiche sezionali degli elementi in c.a. ed acciaio sono stati utilizzati i seguenti legami:

Legame parabola rettangolo per il cls

Legame elastico perfettamente plastico o incrudente a duttilità limitata per l'acciaio

- Combinazioni di carico adottate

Le combinazioni di calcolo considerate sono quelle previste dal DM 17/01/2018 per i vari stati limite e per le varie azioni e tipologie costruttive. In particolare, ai fini delle verifiche degli stati limite, sono state considerate le combinazioni delle azioni di cui al § 2.5.3 delle NTC 2018, per i seguenti casi di carico:

| | |
|------------------------|----|
| SLO | SI |
| SLD | SI |
| SLV | SI |
| SLC | SI |
| Combinazione Rara | NO |
| Combinazione frequente | NO |

Relazione Generale

| | |
|---|-------------------------------|
| Combinazione quasi permanente | NO |
| SLU terreno A1 – Approccio 1/ Approccio 2 | SI-CON NTC18 SOLO APPROCCIO 2 |
| SLU terreno A2 – Approccio 1 | NON PREVISTA DALLE NTC18 |

◦ Motivazione delle combinazioni e dei percorsi di carico

Il sottoscritto progettista ha verificato che le combinazioni prese in considerazione per il calcolo sono sufficienti a garantire il soddisfacimento delle prestazioni sia per gli stati limite ultimi che per gli stati limite di esercizio.

Le combinazioni considerate ai fini del progetto tengono infatti in conto le azioni derivanti dai pesi propri, dai carichi permanenti, dalle azioni variabili, dalle azioni termiche e dalle azioni sismiche combinate utilizzando i coefficienti parziali previsti dalle NTC 2018 per le prestazioni di SLU ed SLE.

In particolare per le azioni sismiche si sono considerati i percorsi di carico di tipo affine come descritti precedentemente. Tale insieme di percorsi di carico risultano scelti in modo da avere informazioni adeguate sulla risposta non lineare della struttura in tutte le direzioni ed in tutte le condizioni, ovvero sia nello stato integro che nello stato finale vicino al collasso.

Origine e Caratteristiche dei codici di calcolo

| | |
|-------------|------------|
| Produttore | S.T.S. srl |
| Titolo | CDSWin |
| Versione | Rel. 2018 |
| Nro Licenza | 34987 |

Ragione sociale completa del produttore del software:

S.T.S. s.r.l. Software Tecnico Scientifico S.r.l.

Via Tre Torri n°11 – Complesso Tre Torri

95030 Sant'Agata li Battiati (CT).

- ***Affidabilità dei codici utilizzati***

L'affidabilità del codice utilizzato e la sua idoneità al caso in esame, è stata attentamente verificata sia effettuando il raffronto tra casi prova di cui si conoscono i risultati esatti sia esaminando le indicazioni, la documentazione ed i test forniti dal produttore stesso.

La S.T.S. s.r.l., a riprova dell'affidabilità dei risultati ottenuti, fornisce direttamente on-line i test sui casi prova liberamente consultabili all'indirizzo:

<http://www.stsweb.it/STSWeb/ITA/homepage.htm>

Relazione Generale

Validazione dei codici

L' opera in esame non e' di importanza tale da necessitare un calcolo indipendente eseguito con altro software da altro calcolista

Presentazione sintetica dei risultati

Una sintesi del comportamento della struttura e' consegnata nelle tabelle di sintesi dei risultati, riportate in appresso, e nelle rappresentazioni grafiche allegate in coda alla presente relazione in cui sono rappresentate le principali grandezze (deformate, sollecitazioni, etc..) per le parti piu' sollecitate della struttura in esame.

Tabellina Riassuntiva delle % Massa Eccitata

Il numero dei modi di vibrare considerato (12) ha permesso di mobilitare le seguenti percentuali delle masse della struttura, per le varie direzioni:

| DIREZIONE | % MASSA |
|-----------|---------|
| X | 100 |
| Y | 100 |
| Z | 0 |

Tabellina Riassuntiva degli Spostamenti SLO/SLD

| Stato limite | Status Verifica |
|--------------|-----------------|
| SLO | VERIFICATO |
| SLD | VERIFICATO |

Tabellina riassuntiva delle verifiche SLU

| Tipo di Elemento | Non Verif/Totale | STATUS |
|----------------------------------|-------------------------|--------------|
| Travi c.a. Fondazione | 0 su 0 | NON PRESENTI |
| Travi c.a. Elevazione | 0 su 0 | NON PRESENTI |
| Pilastrini in c.a. | 0 su 0 | NON PRESENTI |
| Shell in c.a. | 0 su 0 | NON PRESENTI |
| Piastre in c.a. | 0 su 0 | NON PRESENTI |
| Aste in Acciaio | 0 su 0 | NON PRESENTI |
| Aste in Legno | 0 su 0 | NON PRESENTI |
| Zattera Plinti | 0 su 0 | NON PRESENTI |
| Pali/Micropali (Plinti) | 0 su 0 | NON PRESENTI |
| Micropali (Travi/Piastre) | 0 su 0 Tipologie | NON PRESENTI |

Tabellina riassuntiva delle verifiche SLE

| Tipo di Elemento | Non Verif/Totale | STATUS |
|------------------------------|------------------|--------------|
| Travi c.a. Fondazione | 0 su 0 | NON PRESENTI |
| Travi c.a. Elevazione | 0 su 0 | NON PRESENTI |
| Pilastrini in c.a. | 0 su 0 | NON PRESENTI |
| Shell in c.a. | 0 su 0 | NON PRESENTI |
| Piastre in c.a. | 0 su 0 | NON PRESENTI |
| Aste in Acciaio | 0 su 0 | NON PRESENTI |
| Aste in Legno | 0 su 0 | NON PRESENTI |
| Zattera Plinti | 0 su 0 | NON PRESENTI |

Relazione Generale

| | | |
|-------------|--------|--------------|
| Pali | 0 su 0 | NON PRESENTI |
|-------------|--------|--------------|

Tabellina Riassuntiva della Ridistribuzione Plastica

| | Numero totale Travi a cui si e' applicata la ridistribuzione plastica | Numero Travi con coeff. di ridistribuzione plastica inferiore al limite di Norma |
|--|---|--|
| Ridistribuzione Plastica Travi in C.A. | NON ESEGUITA | NON ESEGUITA |

Tabellina Riassuntiva delle Verifiche di Gerarchia delle Resistenze

| | Non Verif/Totale | STATUS |
|------------------------------|------------------|--------------|
| Gerarchia Trave Colonna c.a. | 0 su 0 | NON ESEGUITA |
| Gerarchia Trave Colonna acc. | 0 su 0 | NON ESEGUITA |

Tabellina Riassuntiva delle Verifiche delle Unioni Metalliche

| | Non Verif/Totale | STATUS |
|------------|------------------|--------------|
| Telai | 0 su 0 | NON PRESENTI |
| Reticolari | 0 su 0 | NON PRESENTI |

Tabellina riassuntiva delle PushOver

| Numero PushOver | PgaSLO/Pga81% | PgaSLD/Pga63% | PgaSLV/Pga10% | PgaSLC/Pga5% |
|-----------------|---------------|---------------|---------------|--------------|
| 1 | 3.423 | 2.677 | 1.095 | 1 |
| 2 | 3.423 | 2.677 | 1.095 | 1 |
| 3 | 3.423 | 2.677 | 1.095 | 1 |
| 4 | 3.423 | 2.677 | 1.095 | 1 |
| 5 | 3.423 | 2.677 | 1.095 | 1 |
| 6 | 3.423 | 2.677 | 1.095 | 1 |
| 7 | 3.423 | 2.677 | 1.095 | 1 |
| 8 | 3.423 | 2.677 | 1.095 | 1 |
| 9 | 3.423 | 2.677 | 1.095 | 1 |
| 10 | 3.423 | 2.677 | 1.095 | 1 |
| 11 | 3.423 | 2.677 | 1.095 | 1 |
| 12 | 3.423 | 2.677 | 1.095 | 1 |
| 13 | 3.423 | 2.677 | 1.095 | 1 |
| 14 | 3.423 | 2.677 | 1.095 | 1 |
| 15 | 3.423 | 2.677 | 1.095 | 1 |
| 16 | 3.423 | 2.677 | 1.095 | 1 |
| Min. PgaSL/Pga% | 3.423 | 2.677 | 1.095 | 1 |

Tabellina riassuntiva verifiche Murature

| Tipo Verifica | Non Verif/Totale | Coeff. Sicur. Minimi | STATUS |
|------------------------|------------------|----------------------|--------------|
| Maschi – Statiche | 0 su 0 | | NON PRESENTE |
| Maschi – Sisma Ortog. | 0 su 0 | | NON PRESENTE |
| Maschi – Sisma Parall. | 0 su 0 | | NON PRESENTE |
| Architravi | 0 su 0 | | NON PRESENTE |
| Meccanismi Locali | 0 su 0 | | NON PRESENTE |

Relazione Generale

Tabellina riassuntiva verifiche Murature Armate

| Tipo Verifica | Non Verif/Totale | Coeff. Sicur. Minimi | STATUS |
|------------------------|------------------|----------------------|--------------|
| Maschi – Statiche | 0 su 0 | | NON PRESENTE |
| Maschi – Sisma Ortog. | 0 su 0 | | NON PRESENTE |
| Maschi – Sisma Parall. | 0 su 0 | | NON PRESENTE |
| Architravi | 0 su 0 | | NON PRESENTE |

Tabellina riassuntiva verifiche Pareti CLS Debolmente Armate

| Tipo Verifica | Non Verif/Totale | Coeff. Sicur. Minimi | STATUS |
|------------------------|------------------|----------------------|--------------|
| Maschi – Statiche | 0 su 0 | | NON PRESENTE |
| Maschi – Sisma Ortog. | 0 su 0 | | NON PRESENTE |
| Maschi – Sisma Parall. | 0 su 0 | | NON PRESENTE |
| Architravi | 0 su 0 | | NON PRESENTE |

Tabellina riassuntiva della portanza

| | VALORE | STATUS |
|---|---------------|---------------|
| Sigma Terreno Massima (kg/cm ²) | 0 | |
| Coeff. di Sicurezza Portanza Globale | | NON CALCOLATO |
| Coeff. di Sicurezza Scorrimento | | NON CALCOLATO |
| Cedimento Elastico Massimo (cm) | NON CALCOLATO | |
| Cedimento Edometrico Massimo (cm) | NON CALCOLATO | |
| Cedimento Residuo Massimo (cm) | NON CALCOLATO | |

Tabellina riassuntiva della Stabilita' Globale della struttura

| | |
|---------------------------------------|------------------------------|
| Numero della combinazione di carico | CARICO CRITICO NON CALCOLATO |
| Valore del moltiplicatore dei carichi | CARICO CRITICO NON CALCOLATO |

Informazioni sull' elaborazione

Il software e' dotato di propri filtri e controlli di autodiagnostica che intervengono sia durante la fase di definizione del modello sia durante la fase di calcolo vero e proprio.

In particolare il software è dotato dei seguenti filtri e controlli:

- Filtri per la congruenza geometrica del modello generato
- Controlli a priori sulla presenza di elementi non connessi, interferenze, mesh non congruenti o non adeguate.

Filtri sulla precisione numerica ottenuta, controlli su labilita' o eventuali mal condizionamenti delle matrici, con verifica dell'indice di condizionamento.

Controlli sulla verifiche sezionali e sui limiti dimensionali per i vari elementi strutturali in funzione della normativa utilizzata.

Controlli e verifiche sugli esecutivi prodotti.

Rappresentazioni grafiche di post-processo che consentono di evidenziare eventuali anomalie sfuggite all' autodiagnostica automatica.

In aggiunta ai controlli presenti nel software si sono svolti appositi calcoli su schemi semplificati, che si riportano nel seguito, che hanno consentito di riscontrare la correttezza della modellazione effettuata per la struttura in esame.

Giudizio motivato di accettabilita'

Il software utilizzato ha permesso di modellare analiticamente il comportamento fisico della struttura utilizzando la libreria disponibile di elementi finiti.

Le funzioni di visualizzazione ed interrogazione sul modello hanno consentito di controllare sia la coerenza geometrica che la adeguatezza delle azioni applicate rispetto alla realtà fisica.

Inoltre la visualizzazione ed interrogazione dei risultati ottenuti dall'analisi quali: sollecitazioni, tensioni, deformazioni, spostamenti e reazioni vincolari, hanno permesso un immediato controllo di tali valori con i risultati ottenuti mediante schemi semplificati della struttura stessa.

Si è inoltre riscontrato che le reazioni vincolari sono in equilibrio con i carichi applicati, e che i valori dei taglianti di base delle azioni sismiche sono confrontabili con gli omologhi valori ottenuti da modelli SDOF semplificati.

Sono state inoltre individuate un numero di travi ritenute significative e, per tali elementi, e' stata effettuata una apposita verifica a flessione e taglio.

Le sollecitazioni fornite dal solutore per tali travi, per le combinazioni di carico indicate nel tabulato di verifica del CDSWin, sono state validate effettuando gli equilibri alla rotazione e traslazione delle dette travi, secondo quanto meglio descritto nel calcolo semplificato, allegato alla presente relazione.

Si sono infine eseguite le verifiche di tali travi con metodologie semplificate e, confrontandole con le analoghe verifiche prodotte in automatico dal programma, si e' potuto riscontrare la congruenza di tali risultati con i valori riportati dal software.

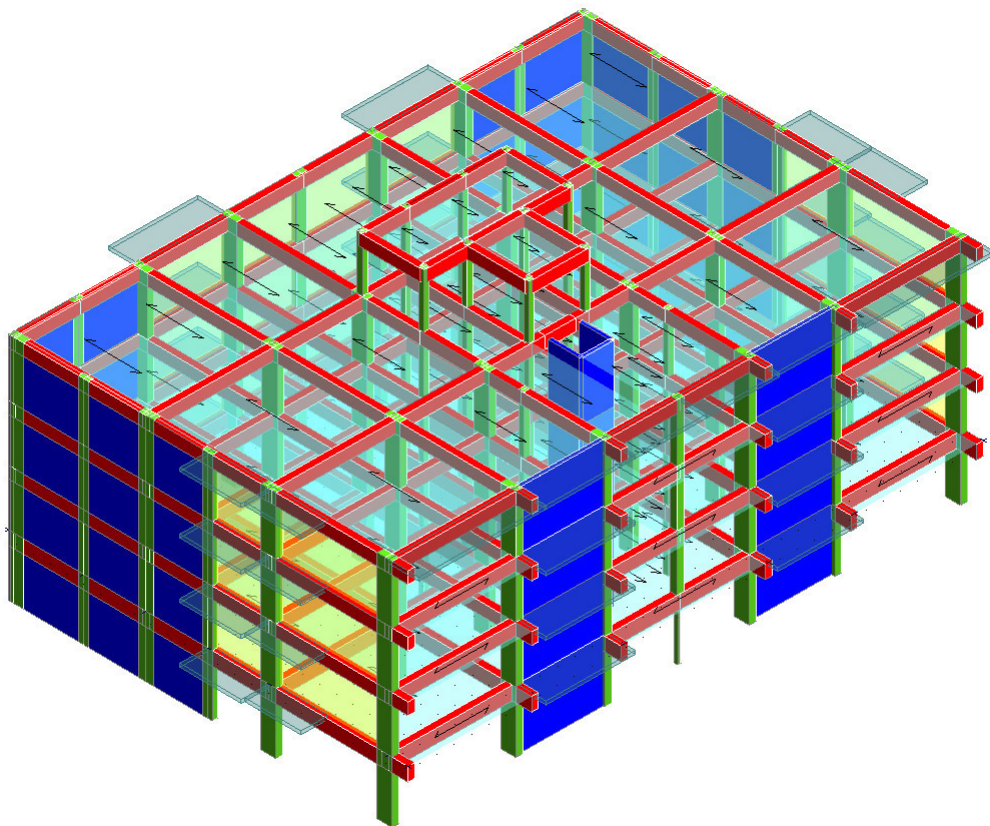
Si è inoltre verificato che tutte le funzioni di controllo ed autodiagnostica del software abbiano dato tutte esito positivo.

Da quanto sopra esposto si puo' quindi affermare che il calcolo e' andato a buon fine e che il modello di calcolo utilizzato e' risultato essere rappresentativo della realtà fisica, anche in funzione delle modalità e sequenze costruttive.

Comune di Siderno
Provincia di Reggio Calabria

RELAZIONE GENERALE

Oggetto: Verifica di vulnerabilità sismica e valutazione della sicurezza strutturale, rilievo architettonico, topografico, impiantistico e strutturale e verifica preventiva dell'interesse archeologico, finalizzati alla redazione del progetto di fattibilità tecnico economica dell'intervento di ristrutturazione e rifunzionalizzazione da effettuarsi sul compendio demaniale "Immobili confiscati" sito in Contrada Lenzi, Siderno (RC) – Scheda RCB1328



Indice generale

| | |
|--|-----------|
| RELAZIONE GENERALE | 3 |
| • DESCRIZIONE GENERALE DELL'OPERA | 3 |
| • DESCRIZIONE DELLE CARATTERISTICHE GEOLOGICHE DEL SITO | 3 |
| • INFORMAZIONI GENERALI SULL'ANALISI SVOLTA..... | 3 |
| NORMATIVA DI RIFERIMENTO..... | 3 |
| REFERENZE TECNICHE (CAP. 12 D.M. 17.01.2018)..... | 4 |
| MISURA DELLA SICUREZZA | 4 |
| MODELLI DI CALCOLO | 5 |
| • AZIONI SULLA COSTRUZIONE | 6 |
| AZIONI AMBIENTALI E NATURALI..... | 6 |
| DESTINAZIONE D'USO E SOVRACCARICHI PER LE AZIONI ANTROPICHE | 7 |
| AZIONE SISMICA..... | 8 |
| AZIONI DOVUTE AL VENTO | 9 |
| AZIONI DOVUTE ALLA TEMPERATURA | 9 |
| NEVE..... | 9 |
| AZIONI ANTROPICHE E PESI PROPRI..... | 9 |
| COMBINAZIONI DI CALCOLO | 10 |
| COMBINAZIONI DELLE AZIONI SULLA COSTRUZIONE | 10 |
| • TOLLERANZE | 11 |
| • DURABILITÀ | 11 |
| • PRESTAZIONI ATTESE AL COLLAUDO | 12 |

RELAZIONE GENERALE

OGGETTO: Verifica di vulnerabilità sismica e valutazione della sicurezza strutturale, rilievo architettonico, topografico, impiantistico e strutturale e verifica preventiva dell'interesse archeologico, finalizzati alla redazione del progetto di fattibilità tecnico economica dell'intervento di ristrutturazione e rifunzionalizzazione da effettuarsi sul compendio demaniale "Immobili confiscati" sito in Contrada Lenzi, Siderno (RC) – Scheda RCB1328

Per una immediata comprensione delle condizioni sismiche, si riporta il seguente:

RIEPILOGO PARAMETRI SISMICI

| | |
|--|----------|
| Vita Nominale | 100 |
| Classe d'Uso | 4 |
| Categoria del Suolo | C |
| Categoria Topografica | 1 |
| Latitudine del sito oggetto di edificazione | 38.28620 |
| Longitudine del sito oggetto di edificazione | 16.30830 |

- **DESCRIZIONE GENERALE DELL'OPERA**

L'edificio relativo al progetto originario consiste in una struttura intelaiata in calcestruzzo armato, di 4 piani fuori terra più un torrino

- **DESCRIZIONE DELLE CARATTERISTICHE GEOLOGICHE DEL SITO**

L'opera oggetto di progettazione strutturale ricade nel territorio comunale di Siderno;

Per la caratterizzazione geotecnica si è fatto riferimento alla relazione geologica redatta dal Geologo Dott. Fabrizio Marini

L'esatta individuazione del sito è riportata nei grafici di progetto.

- **INFORMAZIONI GENERALI SULL'ANALISI SVOLTA**

NORMATIVA DI RIFERIMENTO

- D.M 17/01/2018 - Nuove Norme Tecniche per le Costruzioni;
Circ. Ministero Infrastrutture e Trasporti 2 febbraio 2009, n. 617 Istruzioni per l'applicazione delle "Nuove norme tecniche per le costruzioni" di cui al D.M. 17 gennaio 2018;

REFERENZE TECNICHE (Cap. 12 D.M. 17.01.2018)

- UNI ENV 1992-1-1 - Parte 1-1: Regole generali e regole per gli edifici.
- UNI EN 206-1/2001 - Calcestruzzo. Specificazioni, prestazioni, produzione e conformità.
- UNI EN 1993-1-1 - Parte 1-1: Regole generali e regole per gli edifici.
- UNI EN 1995-1 – Costruzioni in legno
- UNI EN 1998-1 – Azioni sismiche e regole sulle costruzioni
- UNI EN 1998-5 – Fondazioni ed opere di sostegno

MISURA DELLA SICUREZZA

Il metodo di verifica della sicurezza adottato è quello degli Stati Limite (SL) che prevede due insiemi di verifiche rispettivamente per gli stati limite ultimi S.L.U. e gli stati limite di esercizio S.L.E.. La sicurezza viene quindi garantita progettando i vari elementi resistenti in modo da assicurare che la loro resistenza di calcolo sia sempre maggiore delle corrispondente domanda in termini di azioni di calcolo.

Le norme precisano che la sicurezza e le prestazioni di una struttura o di una parte di essa devono essere valutate in relazione all'insieme degli stati limite che verosimilmente si possono verificare durante la vita normale.

Prescrivono inoltre che debba essere assicurata una robustezza nei confronti di azioni eccezionali. Le prestazioni della struttura e la vita nominale sono riportati nei successivi tabulati di calcolo della struttura.

La sicurezza e le prestazioni saranno garantite verificando gli opportuni stati limite definiti di concerto al Committente in funzione dell'utilizzo della struttura, della sua vita nominale e di quanto stabilito dalle norme di cui al D.M. 17/01/2018 e successive modifiche ed integrazioni.

In particolare si è verificata:

- la sicurezza nei riguardi degli stati limite ultimi (S.L.U.) che possono provocare eccessive deformazioni permanenti, crolli parziali o globali, dissesti, che possono compromettere l'incolumità delle persone e/o la perdita di beni, provocare danni ambientali e sociali, mettere fuori servizio l'opera. Per le verifiche sono stati utilizzati i coefficienti parziali relativi alle azioni ed alle resistenze dei materiali in accordo a quanto previsto dal D.M. 17/01/2018 per i vari tipi di materiale. I valori utilizzati sono riportati nel fascicolo delle elaborazioni numeriche allegate;
 - la sicurezza nei riguardi degli stati limite di esercizio (S.L.E.) che possono limitare nell'uso e nella durata l'utilizzo della struttura per le azioni di esercizio. In particolare di concerto con il committente e coerentemente alle norme tecniche si sono definiti i limiti riportati nell'allegato fascicolo delle calcolazioni;
 - la sicurezza nei riguardi dello stato limite del danno (S.L.D.) causato da azioni sismiche con opportuni periodi di ritorno definiti di concerto al committente ed alle norme vigenti per le costruzioni in zona sismica;
 - robustezza nei confronti di opportune azioni accidentali in modo da evitare danni sproporzionati in caso di incendi, urti, esplosioni, errori umani;
- Per quanto riguarda le fasi costruttive intermedie la struttura non risulta cimentata in maniera più gravosa della fase finale.

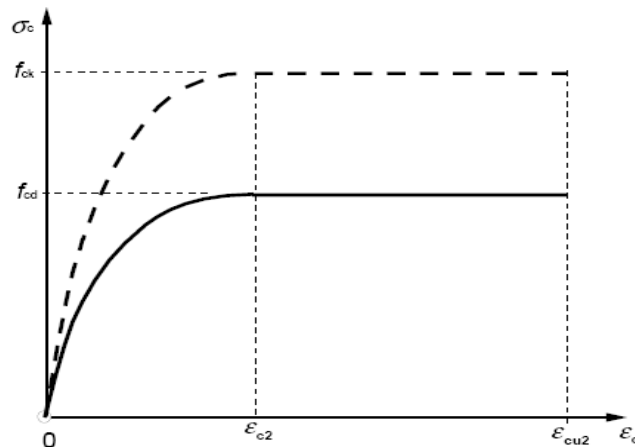
MODELLI DI CALCOLO

Si sono utilizzati come modelli di calcolo quelli esplicitamente richiamati nel D.M. 17/01/2018.

Per quanto riguarda le azioni sismiche ed in particolare per la determinazione del fattore di struttura, dei dettagli costruttivi e le prestazioni sia agli S.L.U. che allo S.L.D. si fa riferimento al D.M. 17/01/18 e alla circolare del Ministero delle Infrastrutture e dei Trasporti del 2 febbraio 2009, n. 617 la quale è stata utilizzata come norma di dettaglio.

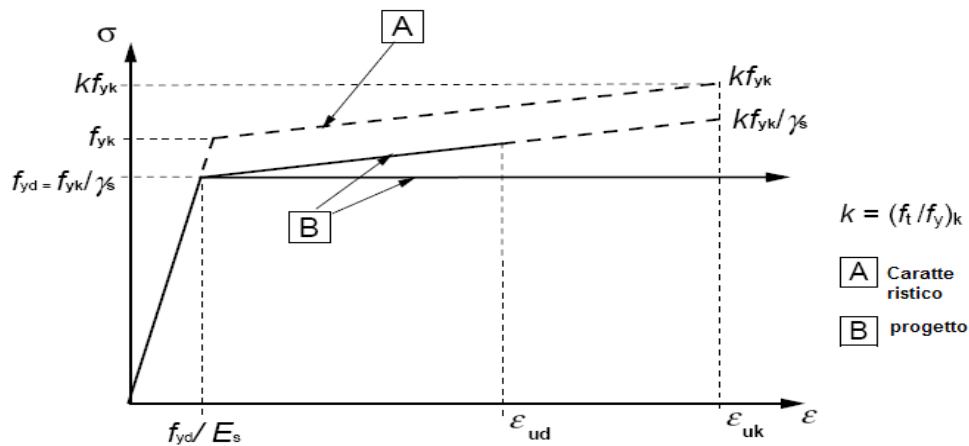
La definizione quantitativa delle prestazioni e le verifiche sono riportati nel fascicolo delle elaborazioni numeriche allegate.

Per le verifiche sezionali i legami utilizzati sono:



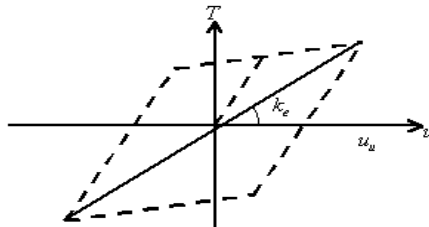
Legame costitutivo di progetto parabola-rettangolo per il calcestruzzo.

Il valore ϵ_{cu2} nel caso di analisi non lineari sarà valutato in funzione dell'effettivo grado di confinamento esercitato dalle staffe sul nucleo di calcestruzzo.



Legame costitutivo di progetto elastico perfettamente plastico o incrudente a duttilità limitata per l'acciaio.

- legame rigido plastico per le sezioni in acciaio di classe 1 e 2 e elastico lineare per quelle di classe 3 e 4;
- legame elastico lineare per le sezioni in legno;
- legame elasto-viscoso per gli isolatori.



Legame costitutivo per gli isolatori.

Il modello di calcolo utilizzato risulta rappresentativo della realtà fisica per la configurazione finale anche in funzione delle modalità e sequenze costruttive.

AZIONI SULLA COSTRUZIONE

AZIONI AMBIENTALI E NATURALI

Si è concordato con il committente che le prestazioni attese nei confronti delle azioni sismiche siano verificate agli stati limite, sia di esercizio che ultimi individuati riferendosi alle prestazioni della costruzione nel suo complesso, includendo gli elementi strutturali, quelli non strutturali e gli impianti. Gli stati limite di esercizio sono:

Relazione Generale

- Stato Limite di Operatività (S.L.O.)
- Stato Limite di Danno (S.L.D.)

Gli stati limite ultimi sono:

- Stato Limite di salvaguardia della Vita (S.L.V.)
- Stato Limite di prevenzione del Collasso (S.L.C.)

Le probabilità di superamento nel periodo di riferimento P_{VR} , cui riferirsi per individuare l'azione sismica agente in ciascuno degli stati limite considerati, sono riportate nella successiva tabella:

| Stati Limite P_{VR} : | | Probabilità di superamento nel periodo di riferimento V_R |
|---------------------------|-----|---|
| Stati limite di esercizio | SLO | 81% |
| | SLD | 63% |
| Stati limite ultimi | SLV | 10% |
| | SLC | 5% |

Per la definizione delle forme spettrali (spettri elastici e spettri di progetto), in conformità ai dettami del D.M. 17/01/2018 § 3.2.3. sono stati definiti i seguenti termini:

- Vita Nominale del fabbricato;
- Classe d'Uso del fabbricato;
- Categoria del Suolo;
- Coefficiente Topografico;
- Latitudine e Longitudine del sito oggetto di edificazione.

Si è inoltre concordato che le verifiche delle prestazioni saranno effettuate per le azioni derivanti dalla neve, dal vento e dalla temperatura secondo quanto previsto dal cap. 3 del D.M. 17/01/18 e dalla Circolare del Ministero delle Infrastrutture e dei Trasporti del 2 febbraio 2009 n. 617 per un periodo di ritorno coerente alla classe della struttura ed alla sua vita utile.

DESTINAZIONE D'USO E SOVRACCARICHI PER LE AZIONI ANTROPICHE

Per la determinazione dell'entità e della distribuzione spaziale e temporale dei sovraccarichi variabili si farà riferimento alla tabella del D.M. 17/01/2018 in funzione della destinazione d'uso.

I carichi variabili comprendono i carichi legati alla destinazione d'uso dell'opera; i modelli di tali azioni possono essere costituiti da:

- carichi verticali uniformemente distribuiti q_k [kN/m²]
- carichi verticali concentrati Q_k [kN]
- carichi orizzontali lineari H_k [kN/m]

Tabella 3.1.II – Valori dei carichi d'esercizio per le diverse categorie di edifici

| Categ. | Ambienti | q_k [kN/m ²] | Q_k [kN] | H_k [kN/m] |
|--------|---|----------------------------|------------|--------------|
| A | Ambienti ad uso residenziale. | | | |
| | Sono compresi in questa categoria i locali di abitazione e relativi servizi, gli alberghi (ad esclusione delle aree suscettibili di affollamento) | 2,00 | 2,00 | 1,00 |

Relazione Generale

| | | | | |
|--------------|--|-----------------------------------|-----------|--------|
| B | Uffici. | | | |
| | Cat. B1 – Uffici non aperti al pubblico | 2,00 | 2,00 | 1,00 |
| | Cat. B2 – Uffici aperti al pubblico | 3,00 | 2,00 | 1,00 |
| C | Ambienti suscettibili di affollamento. | | | |
| | Cat. C1 – Ospedali, ristoranti, caffè, banche, scuole | 3,00 | 2,00 | 1,00 |
| | Cat. C2 – Balconi, ballatoi e scale comuni, sale convegni, cinema, teatri, chiese, tribune con posti fissi | 4,00 | 4,00 | 2,00 |
| | Cat. C3 – Ambienti privi di ostacoli per il libero movimento delle persone, quali musei, sale per esposizioni, stazioni ferroviarie, sale da ballo, palestre, tribune libere, edifici per eventi pubblici, sale da concerto, palazzetti per lo sporte relative tribune | 5,00 | 5,00 | 3,00 |
| D | Ambienti ad uso commerciale. | | | |
| | Cat. D1 – Negozi | 4,00 | 4,00 | 2,00 |
| | Cat. D2 – Centri commerciali, mercati, grandi magazzini, librerie | 5,00 | 5,00 | 2,00 |
| E | Biblioteche, archivi, magazzini e ambienti ad uso industriale. | | | |
| | Cat. E1 – Biblioteche, archivi, magazzini, depositi, laboratori manifatturieri | > 6,00 | 6,00 | 1,00* |
| | Cat. E2 – Ambienti ad uso industriale, da valutarsi caso per caso | - | - | - |
| F – G | Rimesse e parcheggi. | | | |
| | Cat. F – Rimesse e parcheggi per il transito di automezzi di peso a pieno carico fino a 30 kN | 2,50 | 2 x 10,00 | 1,00** |
| | Cat. G – Rimesse e parcheggi per il transito di automezzi di peso a pieno carico superiore a 30 kN, da valutarsi caso per caso | - | - | - |
| H | Coperture e sottotetti. | | | |
| | Cat. H1 – Coperture e sottotetti accessibili per sola manutenzione | 0,50 | 1,20 | 1,00 |
| | Cat. H2 – Coperture praticabili | Secondo categoria di appartenenza | | |
| | Cat. H3 – Coperture speciali (impianti, eliporti, altri) da valutarsi caso per caso | - | - | - |

* non comprende le azioni orizzontali eventualmente esercitate dai materiali immagazzinati

** per i soli parapetti o partizioni nelle zone pedonali. Le azioni sulle barriere esercitate dagli automezzi dovranno essere valutate caso per caso

I valori nominali e/o caratteristici q_k , Q_k ed H_k di riferimento sono riportati nella Tab. 3.1.II. delle N.T.C. 2018. In presenza di carichi verticali concentrati Q_k essi sono stati applicati su impronte di carico appropriate all'utilizzo ed alla forma dello orizzontamento.

In particolare si considera una forma dell'impronta di carico quadrata pari a 50 x 50 mm, salvo che per le rimesse ed i parcheggi, per i quali i carichi si sono applicano su due impronte di 200 x 200 mm, distanti assialmente di 1,80 m.

AZIONE SISMICA

Ai fini delle N.T.C. 2018 l'azione sismica è caratterizzata da 3 componenti traslazionali, due orizzontali contrassegnate da X ed Y ed una verticale contrassegnata da Z, da considerare tra di loro indipendenti.

Le componenti possono essere descritte, in funzione del tipo di analisi adottata, mediante una delle seguenti rappresentazioni:

- accelerazione massima attesa in superficie;
- accelerazione massima e relativo spettro di risposta attesi in superficie;
- accelerogramma.

l'azione in superficie è stata assunta come agente su tali piani.

Le due componenti ortogonali indipendenti che descrivono il moto orizzontale sono caratterizzate dallo stesso spettro di risposta. L'accelerazione massima e lo spettro di risposta della componente verticale attesa in superficie sono determinati sulla base dell'accelerazione massima e dello spettro di risposta delle due componenti orizzontali.

In allegato alle N.T.C. 2018, per tutti i siti considerati, sono forniti i valori dei precedenti parametri di pericolosità sismica necessari per la determinazione delle azioni sismiche.

AZIONI DOVUTE AL VENTO

Le azioni del vento sono state determinate in conformità al §3.3 del D.M. 17/01/18 e della Circolare del Ministero delle Infrastrutture e dei Trasporti del 2 febbraio 2009 n. 617. Si precisa che tali azioni hanno valenza significativa in caso di strutture di elevata snellezza e con determinate caratteristiche tipologiche come ad esempio le strutture in acciaio.

AZIONI DOVUTE ALLA TEMPERATURA

E' stato tenuto conto delle variazioni giornaliere e stagionali della temperatura esterna, irraggiamento solare e convezione comportano variazioni della distribuzione di temperatura nei singoli elementi strutturali, con un delta di temperatura di 15° C.

Nel calcolo delle azioni termiche, si è tenuto conto di più fattori, quali le condizioni climatiche del sito, l'esposizione, la massa complessiva della struttura, la eventuale presenza di elementi non strutturali isolanti, le temperature dell'aria esterne (Cfr. § 3.5.2), dell'aria interna (Cfr. § 3.5.3) e la distribuzione della temperatura negli elementi strutturali (Cfr § 3.5.4) viene assunta in conformità ai dettami delle N.T.C. 2018.

NEVE

Il carico provocato dalla neve sulle coperture, ove presente, è stato valutato mediante la seguente espressione di normativa:

$$q_s = \mu_i \cdot q_{sk} \cdot C_E \cdot C_t \quad (\text{Cfr. §3.3.7})$$

in cui si ha:

q_s = carico neve sulla copertura;

μ_i = coefficiente di forma della copertura, fornito al (Cfr.§ 3.4.5);

q_{sk} = valore caratteristico di riferimento del carico neve al suolo [kN/m²], fornito al (Cfr.§ 3.4.2) delle N.T.C. 2018

per un periodo di ritorno di 50 anni;

C_E = coefficiente di esposizione di cui al (Cfr.§ 3.4.3);

C_t = coefficiente termico di cui al (Cfr.§ 3.4.4).

AZIONI ANTROPICHE E PESI PROPRI

Nel caso delle spinte del terrapieno sulle pareti di cantinato (ove questo fosse presente), in sede di valutazione di tali carichi, (a condizione che non ci sia grossa variabilità dei parametri geotecnici dei vari strati così come individuati nella relazione geologica), è stata adottata una sola tipologia di terreno ai soli fini della definizione dei lati di spinta e/o di eventuali sovraccarichi.

COMBINAZIONI DI CALCOLO

Le combinazioni di calcolo considerate sono quelle previste dal D.M. 17/01/2018 per i vari stati limite e per le varie azioni e tipologie costruttive.

In particolare, ai fini delle verifiche degli stati limite si definiscono le seguenti combinazioni delle azioni per cui si rimanda al § 2.5.3 delle N.T.C. 2018. Queste sono:

- Combinazione fondamentale, generalmente impiegata per gli stati limite ultimi (S.L.U.) (2.5.1);
- Combinazione caratteristica (rara), generalmente impiegata per gli stati limite di esercizio (S.L.E.) irreversibili, da utilizzarsi nelle verifiche alle tensioni ammissibili di cui al § 2.7 (2.5.2);
- Combinazione frequente, generalmente impiegata per gli stati limite di esercizio (S.L.E.) reversibili (2.5.3);
- Combinazione quasi permanente (S.L.E.), generalmente impiegata per gli effetti a lungo termine (2.5.4);
- Combinazione sismica, impiegata per gli stati limite ultimi e di esercizio connessi all'azione sismica E (v. § 3.2 form. 2.5.5);
- Combinazione eccezionale, impiegata per gli stati limite ultimi connessi alle azioni eccezionali di progetto Ad (v. § 3.6 form. 2.5.6).

Nelle combinazioni per S.L.E., si intende che vengono omessi i carichi Q_{kj} che danno un contributo favorevole ai fini delle verifiche e, se del caso, i carichi G_2 .

Altre combinazioni sono da considerare in funzione di specifici aspetti (p. es. fatica, ecc.). Nelle formule sopra riportate il simbolo + vuol dire "combinato con".

I valori dei coefficienti parziali di sicurezza γ_{Gi} e γ_{Qj} sono dati in § 2.6.1, Tab. 2.6.I.

Nel caso delle costruzioni civili e industriali le verifiche agli stati limite ultimi o di esercizio devono essere effettuate per la combinazione dell'azione sismica con le altre azioni già fornita in § 2.5.3 form. 3.2.16 delle N.T.C. 2018.

Gli effetti dell'azione sismica saranno valutati tenendo conto delle masse associate ai carichi gravitazionali (form. 3.2.17).

I valori dei coefficienti $\psi_2 j$ sono riportati nella Tabella 2.5.I.

La struttura deve essere progettata così che il degrado nel corso della sua vita nominale, purché si adotti la normale manutenzione ordinaria, non pregiudichi le sue prestazioni in termini di resistenza, stabilità e funzionalità, portandole al di sotto del livello richiesto dalle presenti norme.

Le misure di protezione contro l'eccessivo degrado devono essere stabilite con riferimento alle previste condizioni ambientali.

La protezione contro l'eccessivo degrado deve essere ottenuta attraverso un'opportuna scelta dei dettagli, dei materiali e delle dimensioni strutturali, con l'eventuale applicazione di sostanze o ricoprimenti protettivi, nonché con l'adozione di altre misure di protezione attiva o passiva.

La definizione quantitativa delle prestazioni e le verifiche sono riportati nel fascicolo delle elaborazioni numeriche allegate.

COMBINAZIONI DELLE AZIONI SULLA COSTRUZIONE

Le azioni definite come al § 2.5.1 delle N.T.C. 2018 sono state combinate in accordo a quanto definito al § 2.5.3. applicando i coefficienti di combinazione come di seguito definiti:

Relazione Generale

| Categoria/Azione variabile | ψ_{0i} | ψ_{1i} | ψ_{2i} |
|---|-------------|-------------|-------------|
| Categoria A Ambienti ad uso residenziale | 0,7 | 0,5 | 0,3 |
| Categoria B Uffici | 0,7 | 0,5 | 0,3 |
| Categoria C Ambienti suscettibili di affollamento | 0,7 | 0,7 | 0,6 |
| Categoria D Ambienti ad uso commerciale | 0,7 | 0,7 | 0,6 |
| Categoria E Biblioteche, archivi, magazzini e ambienti ad uso industriale | 1,0 | 0,9 | 0,8 |
| Categoria F Rimesse e parcheggi (per autoveicoli di peso ≤ 30 kN) | 0,7 | 0,7 | 0,6 |
| Categoria G Rimesse e parcheggi (per autoveicoli di peso > 30 kN) | 0,7 | 0,5 | 0,3 |
| Categoria H Coperture | 0,0 | 0,0 | 0,0 |
| Vento | 0,6 | 0,2 | 0,0 |
| Neve (a quota ≤ 1000 m s.l.m.) | 0,5 | 0,2 | 0,0 |
| Neve (a quota > 1000 m s.l.m.) | 0,7 | 0,5 | 0,2 |
| Variazioni termiche | 0,6 | 0,5 | 0,0 |

Tabella 2.5.I – Valori dei coefficienti di combinazione

I valori dei coefficienti parziali di sicurezza γ_{Gi} e γ_{Qj} utilizzati nelle calcolazioni sono dati nelle N.T.C. 2018 in § 2.6.1, Tab. 2.6.I.

• TOLLERANZE

Nelle calcolazioni si è fatto riferimento ai valori nominali delle grandezze geometriche ipotizzando che le tolleranze ammesse in fase di realizzazione siano conformi alle euronorme EN 1992-1991-EN206 - EN 1992-2005:

- Copriferro -5 mm (EC2 4.4.1.3)
- Per dimensioni ≤ 150 mm ± 5 mm
- Per dimensioni ≤ 400 mm ± 15 mm
- Per dimensioni ≥ 2500 mm ± 30 mm

Per i valori intermedi interpolare linearmente.

• DURABILITÀ

Per garantire la durabilità della struttura sono state prese in considerazione opportuni stati limite di esercizio (S.L.E.) in funzione dell'uso e dell'ambiente in cui la struttura dovrà vivere limitando sia gli stati tensionali che nel caso delle opere in calcestruzzo anche l'ampiezza delle fessure. La definizione quantitativa delle prestazioni, la classe di esposizione e le verifiche sono riportati nel fascicolo delle elaborazioni numeriche allegate.

Inoltre per garantire la durabilità, così come tutte le prestazioni attese, è necessario che si ponga adeguata cura sia nell'esecuzione che nella manutenzione e gestione della struttura e si utilizzino tutti gli accorgimenti utili alla conservazione delle caratteristiche fisiche e dinamiche dei materiali e delle strutture. La qualità dei materiali e le dimensioni degli elementi sono coerenti con tali obiettivi.

Durante le fasi di costruzione il direttore dei lavori implementerà severe procedure di controllo sulla qualità dei materiali, sulle metodologie di lavorazione e sulla conformità delle opere eseguite al progetto esecutivo nonché alle prescrizioni contenute nelle “Norme Tecniche per le Costruzioni” D.M. 17/01/2018 e relative Istruzioni.

- **PRESTAZIONI ATTESE AL COLLAUDO**

La struttura a collaudo dovrà essere conforme alle tolleranze dimensionali prescritte nella presente relazione, inoltre relativamente alle prestazioni attese esse dovranno essere quelle di cui al § 9 del D.M. 17/01/2018.

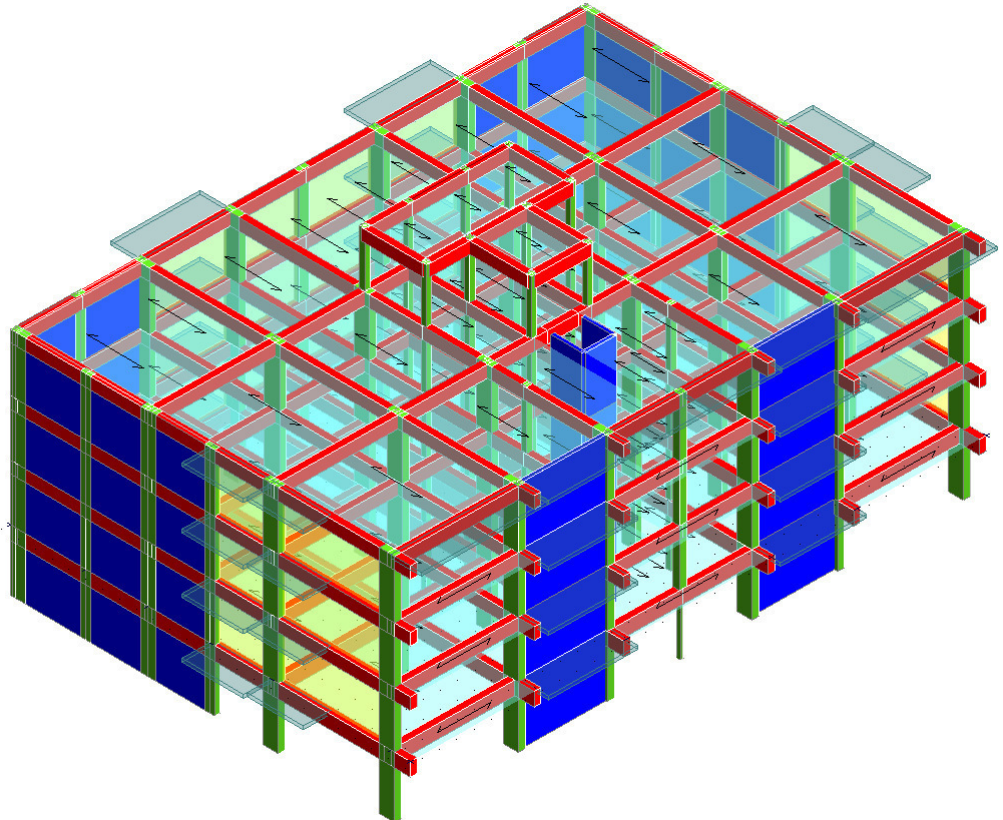
Ai fini della verifica delle prestazioni il collaudatore farà riferimento ai valori di tensioni, deformazioni e spostamenti desumibili dall'allegato fascicolo dei calcoli statici per il valore delle le azioni pari a quelle di esercizio.

**COMUNE DI SIDERNO
PROVINCIA DI REGGIO CALABRIA**

TABULATI DI CALCOLO

OGGETTO:

VERIFICA DI VULNERABILITÀ SISMICA E VALUTAZIONE DELLA SICUREZZA STRUTTURALE, RILIEVO ARCHITETTONICO, TOPOGRAFICO, IMPIANTISTICO E STRUTTURALE E VERIFICA PREVENTIVA DELL'INTERESSE ARCHEOLOGICO, FINALIZZATI ALLA REDAZIONE DEL PROGETTO DI FATTIBILITÀ TECNICO ECONOMICA DELL'INTERVENTO DI RISTRUTTURAZIONE E RIFUNZIONALIZZAZIONE DA EFFETTUARSI SUL COMPENDIO DEMANIALE "IMMOBILI CONFISCATI" SITO IN CONTRADA LENZI, SIDERNO (RC) – SCHEDA - RCB1328



RELAZIONE DI CALCOLO

Sono illustrati con la presente i risultati dei calcoli che riguardano il progetto delle armature, la verifica delle tensioni di lavoro dei materiali e del terreno.

• **NORMATIVA DI RIFERIMENTO**

I calcoli sono condotti nel pieno rispetto della normativa vigente e, in particolare, la normativa cui viene fatto riferimento nelle fasi di calcolo, verifica e progettazione è costituita dalle *Norme Tecniche per le Costruzioni*, emanate con il D.M. 17/01/2018 pubblicato nel suppl. 8 G.U. 42 del 20/02/2018, nonché la Circolare del Ministero Infrastrutture e Trasporti del 2 Febbraio 2009, n. 617 “*Istruzioni per l'applicazione delle nuove norme tecniche per le costruzioni*”.

• **METODI DI CALCOLO**

I metodi di calcolo adottati per il calcolo sono i seguenti:

- 1) Per i carichi statici: *METODO DELLE DEFORMAZIONI*;
- 2) Per i carichi sismici: metodo dell'*ANALISI MODALE* o dell'*ANALISI SISMICA STATICA EQUIVALENTE*.

Per lo svolgimento del calcolo si è accettata l'ipotesi che, in corrispondenza dei piani sismici, i solai siano infinitamente rigidi nel loro piano e che le masse ai fini del calcolo delle forze di piano siano concentrate alle loro quote.

• **CALCOLO SPOSTAMENTI E CARATTERISTICHE**

Il calcolo degli spostamenti e delle caratteristiche viene effettuato con il metodo degli elementi finiti (**F.E.M.**).

Possono essere inseriti due tipi di elementi:

- 1) Elemento monodimensionale asta (*beam*) che unisce due nodi aventi ciascuno 6 gradi di libertà. Per maggiore precisione di calcolo, viene tenuta in conto anche la deformabilità a taglio e quella assiale di questi elementi. Queste aste, inoltre, non sono considerate flessibili da nodo a nodo ma hanno sulla parte iniziale e finale due tratti infinitamente rigidi formati dalla parte di trave inglobata nello spessore del pilastro; questi tratti rigidi forniscono al nodo una dimensione reale.
- 2) L'elemento bidimensionale shell (*quad*) che unisce quattro nodi nello spazio. Il suo comportamento è duplice, funziona da lastra per i carichi agenti sul suo piano, da piastra per i carichi ortogonali.

Assemblate tutte le matrici di rigidezza degli elementi in quella della struttura spaziale, la risoluzione del sistema viene perseguita tramite il *metodo di Cholesky*.

Ai fini della risoluzione della struttura, gli spostamenti X e Y e le rotazioni attorno l'asse verticale Z di tutti i nodi che giacciono su di un impalcato dichiarato rigido sono mutuamente vincolati.

• **RELAZIONE SUI MATERIALI**

Le caratteristiche meccaniche dei materiali sono descritti nei tabulati riportati nel seguito per ciascuna tipologia di materiale utilizzato.

• **ANALISI SISMICA DINAMICA**

L'analisi sismica dinamica è stata svolta con il metodo dell'analisi modale; la ricerca dei modi e delle relative frequenze è stata perseguita con il *metodo di Jacobi*.

I modi di vibrazione considerati sono in numero tale da assicurare l'eccitazione di più dell'85% della massa totale della struttura.

Per ciascuna direzione di ingresso del sisma si sono valutate le forze applicate spazialmente agli impalcato di ogni piano (forza in X, forza in Y e momento).

Le forze orizzontali così calcolate vengono ripartite fra gli elementi irrigiditi (pilastri e pareti di taglio), ipotizzando i solai dei piani sismici infinitamente rigidi assialmente.

Per la verifica della struttura si è fatto riferimento all'analisi modale, pertanto sono prima calcolate le sollecitazioni e gli spostamenti modali e poi viene calcolato il loro valore efficace.

I valori stampati nei tabulati finali allegati sono proprio i suddetti valori efficaci e pertanto l'equilibrio ai nodi perde di significato. I valori delle sollecitazioni sismiche sono combinate linearmente (in somma e in differenza) con quelle per carichi statici per ottenere le sollecitazioni per sisma nelle due direzioni di calcolo.

Gli angoli delle direzioni di ingresso dei sismi sono valutati rispetto all'asse X del sistema di riferimento globale.

• VERIFICHE

Le verifiche, svolte secondo il metodo degli stati limite ultimi e di esercizio, si ottengono involupando tutte le condizioni di carico prese in considerazione.

In fase di verifica è stato differenziato l'elemento trave dall'elemento pilastro. Nell'elemento trave le armature sono disposte in modo asimmetrico, mentre nei pilastri sono sempre disposte simmetricamente.

Per l'elemento trave, l'armatura si determina suddividendola in cinque conci in cui l'armatura si mantiene costante, valutando per tali conci le massime aree di armatura superiore ed inferiore richieste in base ai momenti massimi riscontrati nelle varie combinazioni di carico esaminate. Lo stesso criterio è stato adottato per il calcolo delle staffe.

Anche l'elemento pilastro viene scomposto in cinque conci in cui l'armatura si mantiene costante. Vengono però riportate le armature massime richieste nella metà superiore (testa) e inferiore (piede).

La fondazione su travi rovesce è risolta contemporaneamente alla sovrastruttura tenendo in conto sia la rigidezza flettente che quella torcente, utilizzando per l'analisi agli elementi finiti l'elemento asta su suolo elastico alla *Winkler*.

Le travate possono incrociarsi con angoli qualsiasi e avere dei disassamenti rispetto ai pilastri su cui si appoggiano.

La ripartizione dei carichi, data la natura matriciale del calcolo, tiene automaticamente conto della rigidezza relativa delle varie travate convergenti su ogni nodo.

Le verifiche per gli elementi bidimensionali (setti) vengono effettuate sovrapponendo lo stato tensionale del comportamento a lastra e di quello a piastra. Vengono calcolate le armature delle due facce dell'elemento bidimensionale disponendo i ferri in due direzioni ortogonali.

• DIMENSIONAMENTO MINIMO DELLE ARMATURE.

Per il calcolo delle armature sono stati rispettati i minimi di legge di seguito riportati:

TRAVI:

Area minima delle staffe pari a $1.5 \cdot b$ mmq/ml, essendo b lo spessore minimo dell'anima misurato in mm, con passo non maggiore di 0,8 dell'altezza utile e con un minimo di 3 staffe al metro. In prossimità degli appoggi o di carichi concentrati per una lunghezza pari all'altezza utile della sezione, il passo minimo sarà 12 volte il diametro minimo dell'armatura longitudinale.

Armatura longitudinale in zona tesa $\geq 0,15\%$ della sezione di calcestruzzo. Alle estremità è disposta una armatura inferiore minima che possa assorbire, allo stato limite ultimo, uno sforzo di trazione uguale al taglio.

In zona sismica, nelle zone critiche il passo staffe è non superiore al minimo di:

- un quarto dell'altezza utile della sezione trasversale;
- 175 mm e 225 mm, rispettivamente per CDA e CDB;
- 6 volte e 8 volte il diametro minimo delle barre longitudinali considerate ai fini delle verifiche, rispettivamente per CDA e CDB;

- 24 volte il diametro delle armature trasversali.

Le zone critiche si estendono, per CDB e CDA, per una lunghezza pari rispettivamente a 1 e 1,5 volte l'altezza della sezione della trave, misurata a partire dalla faccia del nodo trave-pilastro. Nelle zone critiche della trave il rapporto fra l'armatura compressa e quella tesa è maggiore o uguale a 0,5.

PILASTRI:

Armatura longitudinale compressa fra 0,3% e 4% della sezione effettiva e non minore di $0,10 \cdot N_{ed} / f_{yd}$;

Barre longitudinali con diametro ≥ 12 mm;

Diametro staffe ≥ 6 mm e comunque $\geq 1/4$ del diametro max delle barre longitudinali, con interasse non maggiore di 30 cm.

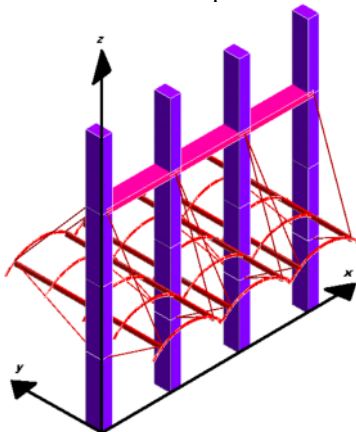
In zona sismica l'armatura longitudinale è almeno pari all'1% della sezione effettiva; il passo delle staffe di contenimento è non superiore alla più piccola delle quantità seguenti:

- 1/3 e 1/2 del lato minore della sezione trasversale, rispettivamente per CDA e CDB;
- 125 mm e 175 mm, rispettivamente per CDA e CDB;
- 6 e 8 volte il diametro delle barre longitudinali che collegano, rispettivamente per CDA e CDB.

● SISTEMI DI RIFERIMENTO

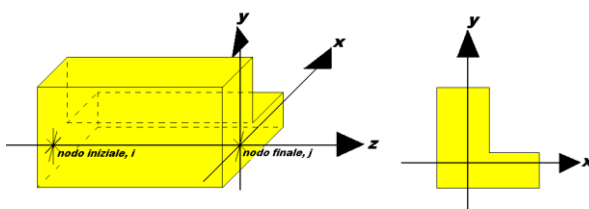
1) SISTEMA GLOBALE DELLA STRUTTURA SPAZIALE

Il sistema di riferimento globale è costituito da una terna destra di assi cartesiani ortogonali (O-XYZ) dove l'asse Z rappresenta l'asse verticale rivolto verso l'alto. Le rotazioni sono considerate positive se concordi con gli assi vettori:



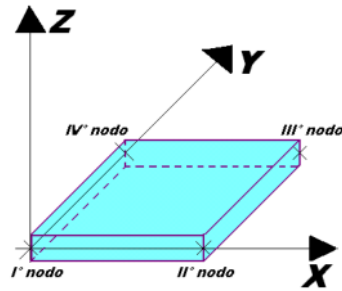
2) SISTEMA LOCALE DELLE ASTE

Il sistema di riferimento locale delle aste, inclinate o meno, è costituito da una terna destra di assi cartesiani ortogonali che ha l'asse Z coincidente con l'asse longitudinale dell'asta ed orientamento dal nodo iniziale al nodo finale, gli assi X ed Y sono orientati come nell'archivio delle sezioni:



3) SISTEMA LOCALE DELL'ELEMENTO SHELL

Il sistema di riferimento locale dell'elemento shell è costituito da una terna destra di assi cartesiani ortogonali che ha l'asse X coincidente con la direzione fra il primo ed il secondo nodo di input, l'asse Y giacente nel piano dello shell e l'asse Z in direzione dello spessore:



- **UNITÀ DI MISURA**

Si adottano le seguenti unità di misura:

| | |
|---------------|-------------|
| [lunghezze] | = m |
| [forze] | = kgf / daN |
| [tempo] | = sec |
| [temperatura] | = °C |

- **CONVENZIONI SUI SEGNI**

I carichi agenti sono:

- 1) Carichi e momenti distribuiti lungo gli assi coordinati;
- 2) Forze e coppie nodali concentrate sui nodi.

Le forze distribuite sono da ritenersi positive se concordi con il sistema di riferimento locale dell'asta, quelle concentrate sono positive se concordi con il sistema di riferimento globale.

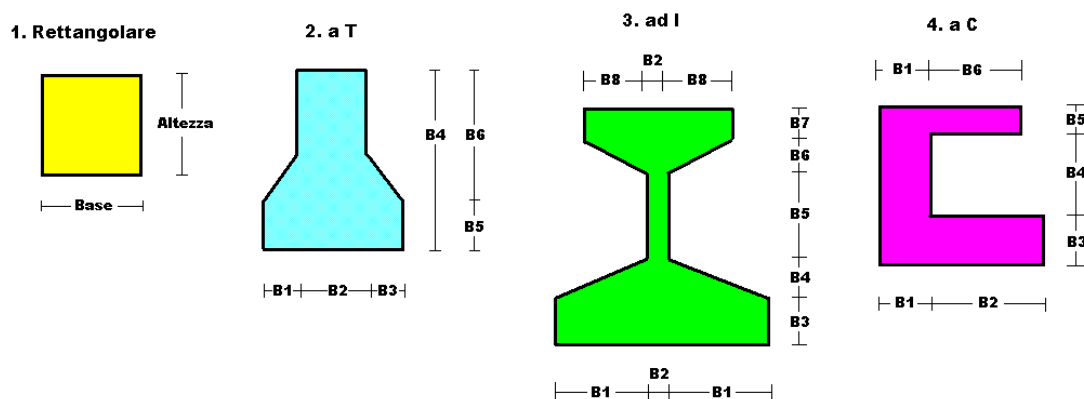
I gradi di libertà nodali sono gli omologhi agli enti forza, e quindi sono definiti positivi se concordi a questi ultimi.

- **SPECIFICHE CAMPI TABELLA DI STAMPA**

Le sezioni delle aste in c.a.o. riportate nel seguito sono state raggruppate per tipologia. Le tipologie disponibili sono le seguenti:

- 1) *RETTANGOLARE*
- 2) *a T*
- 3) *ad I*
- 4) *a C*
- 5) *CIRCOLARE*
- 6) *POLIGONALE*

Nelle tabelle sono usate alcune sigle il cui significato è spiegato dagli schemi riportati in appresso:



Per quanto attiene alla tipologia poligonale le diciture V1, V2, ..., V10 individuano i vertici della sezione descritta per coordinate.

In coda alle presenti stampe viene riportata la tabellina riassuntiva delle caratteristiche statiche delle sezioni in parola in termini di area, momenti di inerzia baricentrici rispetto all'asse X ed Y (I_{xg} ed I_{yg}) e momento d'inerzia polare (I_p).

• **SPECIFICHE CAMPI TABELLA DI STAMPA**

Si riporta appresso la spiegazione delle sigle usate nelle tabelle riassuntive dei criteri di progetto per le aste in elevazione, per quelle di fondazione, per i pilastri e per i setti.

| | |
|---------------------|--|
| Crit.N.ro | : Numero indicativo del criterio di progetto |
| Elem. | : Tipo di elemento strutturale |
| %Rig.Tors. | : Percentuale di rigidità torsionale |
| Mod. E | : Modulo di elasticità normale |
| Poisson | : Coefficiente di Poisson |
| Sgmc | : Tensione massima di esercizio del calcestruzzo |
| tauc0 | : Tensione tangenziale minima |
| tauc1 | : Tensione tangenziale massima |
| Sgmf | : Tensione massima di esercizio dell'acciaio |
| Om. | : Coefficiente di omogeneizzazione |
| Gamma | : Peso specifico del materiale |
| Coprstaffa | : Distanza tra il lembo esterno della staffa ed il lembo esterno della sezione in calcestruzzo |
| Fi min. | : Diametro minimo utilizzabile per le armature longitudinali |
| Fi st. | : Diametro delle staffe |
| Lar. st. | : Larghezza massima delle staffe |
| Psc | : Passo di scansione per i diagrammi delle caratteristiche |
| Pos.pol. | : Numero di posizioni delle armature per la verifica di sezioni poligonali |
| D arm. | : Passo di incremento dell'armatura per la verifica di sezioni poligonali |
| Iteraz. | : Numero massimo di iterazioni per la verifica di sezioni poligonali |
| Def. Tag. | : Deformabilità a taglio (si, no) |
| %Scorr.Staf. | : Percentuale di scorrimento da far assorbire alle staffe |
| P.max staffe | : Passo massimo delle staffe |
| P.min.staffe | : Passo minimo delle staffe |
| tMt min. | : Tensione di torsione minima al di sotto del quale non si arma a torsione |
| Ferri parete | : Presenza di ferri di parete a taglio |
| Ecc.lim. | : Eccentricità M/N limite oltre la quale la verifica viene effettuata a flessione pura |
| Tipo ver. | : Tipo di verifica (0 = solo M_x ; 1 = M_x e M_y separate; 2 = deviata) |
| Fl.rett. | : Flessione retta forzata per sezioni dissimmetriche ma simmetrizzabili (0 = no; 1 = si) |
| Den.X pos. | : Denominatore della quantità q^*l per determinare il momento M_x minimo per la copertura del diagramma positivo |
| Den.X neg. | : Denominatore della quantità q^*l per determinare il momento M_x minimo per la copertura del diagramma negativo |
| Den.Y pos. | : Denominatore della quantità q^*l per determinare il momento M_y minimo per la |

| | |
|---------------------|---|
| Den.Y neg. | : <i>copertura del diagramma positivo</i> : <i>Denominatore della quantità $q \cdot l \cdot l$ per determinare il momento M_y minimo per la copertura del diagramma negativo</i> |
| %Mag.car. | : <i>Percentuale di maggiorazione dei carichi statici della prima combinazione di carico</i> |
| %Rid.Plas | : <i>Rapporto tra i momenti sull'estremo della trave $M^*(ij)/M(ij)$, dove:</i> - $M^*(ij)$ =Momento DOPO la redistribuzione plastica - $M(ij)$ =Momento PRIMA della redistribuzione plastica |
| Linear. | : <i>Coefficiente descrittivo del comportamento dell'asta:</i> 1 = <i>comportamento lineare sia a trazione che a compressione</i> 2 = <i>comportamento non lineare sia a trazione che a compressione.</i> 3 = <i>comportamento lineare solo a trazione.</i> 4 = <i>comportamento non lineare solo a trazione.</i> 5 = <i>comportamento lineare solo a compressione.</i> 6 = <i>comportamento non lineare solo a compressione.</i> |
| Appesi | : <i>Flag di disposizione del carico sull'asta (1 = appeso, cioè applicato all'intradosso; 0 = non appeso, cioè applicato all'estradosso)</i> |
| Min. T/sigma | : <i>Verifica minimo T/sigma (1 = si; 0 = no)</i> |
| Verif.Alette | : <i>Verifica alette travi di fondazione (1 = si; 0 = no)</i> |
| Kwinkl. | : <i>Costante di sottofondo del terreno</i> |

Si riporta appresso la spiegazione delle sigle usate nelle tabelle riassuntive dei criteri di progetto per le verifiche agli stati limite.

| | |
|-----------------------------------|--|
| Cri.Nro | : <i>Numero identificativo del criterio di progetto</i> |
| Tipo Elem. | : <i>Tipo di elemento: trave di elevazione, trave di fondazione, pilastro, setto, setto elastico ("SHela")</i> |
| fck | : <i>Resistenza caratteristica del calcestruzzo</i> |
| gcd | : <i>Resistenza di calcolo del calcestruzzo</i> |
| rcd | : <i>Resistenza di calcolo a flessione del calcestruzzo (massimo del diagramma parabola rettangolo)</i> |
| fyk | : <i>Resistenza caratteristica dell'acciaio</i> |
| fyd | : <i>Resistenza di calcolo dell'acciaio</i> |
| Ey | : <i>Modulo elastico dell'acciaio</i> |
| ec0 | : <i>Deformazione limite del calcestruzzo in campo elastico</i> |
| ecu | : <i>Deformazione ultima del calcestruzzo</i> |
| eyu | : <i>Deformazione ultima dell'acciaio</i> |
| Ac/At | : <i>Rapporto dell'incremento fra l'armatura compressa e quella tesa</i> |
| Mt/Mtu | : <i>Rapporto fra il momento torcente di calcolo e il momento torcente resistente ultimo del calcestruzzo al di sotto del quale non si arma a torsione</i> |
| Wra | : <i>Ampiezza limite della fessura per combinazioni rare</i> |
| Wfr | : <i>Ampiezza limite della fessura per combinazioni frequenti</i> |
| Wpe | : <i>Ampiezza limite della fessura per combinazioni permanenti</i> |
| σ Rara | : <i>Sigma massima del calcestruzzo per combinazioni rare</i> |
| σ Perm | : <i>Sigma massima del calcestruzzo per combinazioni permanenti</i> |
| σ_f Rara | : <i>Sigma massima dell'acciaio per combinazioni rare</i> |
| SpRar | : <i>Rapporto fra la lunghezza dell'elemento e lo spostamento massimo per combinazioni rare</i> |
| SpPer | : <i>Rapporto fra la lunghezza dell'elemento e lo spostamento massimo per combinazioni permanenti</i> |
| Coef.Visc.: | : <i>Coefficiente di viscosità</i> |

ARCHIVIO SEZIONI ASTE IN C.A.O.

| Tipologia Rettangolare | | | | Tipologia Rettangolare | | | |
|------------------------|-----------|--------------|--------------|------------------------|-----------|--------------|--------------|
| Sez. N.ro | Base (cm) | Altezza (cm) | Magrone (cm) | Sez. N.ro | Base (cm) | Altezza (cm) | Magrone (cm) |
| 1 | 30,0 | 30,0 | 0,0 | 25 | 40,0 | 90,0 | 0,0 |
| 26 | 40,0 | 110,0 | 0,0 | 27 | 35,0 | 80,0 | 0,0 |
| 28 | 40,0 | 80,0 | 0,0 | 29 | 60,0 | 30,0 | 0,0 |
| 30 | 30,0 | 60,0 | 0,0 | 32 | 40,0 | 70,0 | 0,0 |
| 33 | 30,0 | 30,0 | 0,0 | 34 | 40,0 | 40,0 | 0,0 |

ARCHIVIO SEZIONI ASTE IN C.A.O.

| Tipologia Circolare | | | Tipologia Circolare | | | Tipologia Circolare | | |
|---------------------|-------------|--------------|---------------------|-------------|--------------|---------------------|-------------|--------------|
| Sez. N.ro | Raggio (cm) | Magrone (cm) | Sez. N.ro | Raggio (cm) | Magrone (cm) | Sez. N.ro | Raggio (cm) | Magrone (cm) |
| 22 | 15,0 | 0,0 | | | | | | |

ARCHIVIO SEZIONI ASTE IN C.A.O.

CARATTERISTICHE STATICHE DELLE SEZIONI IN C.A.O.

| Sez. N.ro | Area (cm ²) | I _{xx} (cm ⁴) | I _{yy} (cm ⁴) | I _p (cm ⁴) |
|-----------|-------------------------|------------------------------------|------------------------------------|-----------------------------------|
| 1 | 900 | 67500 | 67500 | 135000 |
| 22 | 707 | 39761 | 39761 | 79522 |
| 25 | 3600 | 2430000 | 480000 | 2910000 |
| 26 | 4400 | 4436666 | 586667 | 5023333 |
| 27 | 2800 | 1493334 | 285833 | 1779167 |
| 28 | 3200 | 1706667 | 426667 | 2133333 |
| 29 | 1800 | 135000 | 540000 | 675000 |
| 30 | 1800 | 540000 | 135000 | 675000 |
| 32 | 2800 | 1143334 | 373333 | 1516667 |
| 33 | 900 | 67500 | 67500 | 135000 |
| 34 | 1600 | 213333 | 213333 | 426667 |

CRITERI DI PROGETTO

ASTE ELEVAZIONE

| IDEN | Def Tag | %Scorr Staffe | P max. Staffe | P min. Staffe | τ Mtmin kg/cm ^q | Ferri parete | Elim cm | Tipo verif. | Fl. rett | DenX pos. | DenX neg. | DenY pos. | DenY neg. | %Mag car. | %Rid Plas |
|------|---------|---------------|---------------|---------------|---------------------------------|--------------|---------|-------------|----------|-----------|-----------|-----------|-----------|-----------|-----------|
| 1 | si | 100 | 30 | 0 | 3 | no | 200 | Mx | 1 | 0 | 0 | 0 | 0 | 0 | 100 |
| 5 | si | 100 | 33 | 0 | 3 | no | 200 | Mx | 1 | 0 | 0 | 0 | 0 | 0 | 100 |
| 7 | si | 100 | 33 | 0 | 3 | no | 200 | Mx | 1 | 0 | 0 | 0 | 0 | 0 | 100 |

CRITERI DI PROGETTO

| IDEN | PILASTRI | | | IDEN | PILASTRI | | |
|-----------|----------|---------------------------------|-------------|-----------|----------|---------------------------------|-------------|
| Crit N.ro | Def Tag | τ Mtmin kg/cm ^q | Tipo verif. | Crit N.ro | Def Tag | τ Mtmin kg/cm ^q | Tipo verif. |
| 3 | si | 3,0 | Dev. | 6 | si | 3,0 | Mx/My |

CRITERI DI PROGETTO

| IDENTIF. | | CARATTERISTICHE DEL MATERIALE | | | | | | | DURABILITA' | | | CARATTER. COSTRUTTIVE | | | | | FLAG | |
|-----------|-------|-------------------------------|-------------|------------|----------------|----------------------------|----------|-------------|---------------|---------------|-------------|-----------------------|-----------|--------|-------|---------|-------|---------|
| Crit N.ro | Elem. | % Rig Tors. | % Rig Fless | Classe CLS | Classe Acciaio | Mod. El kg/cm ^q | Pois son | Gamma kg/mc | Tipo Ambiente | Tipo Armatura | Toll. Copr. | Copr staf | Copr ferr | Fi min | Fi st | Lun sta | Li n. | App esi |
| 1 | ELEV. | 10 | 100 | C25/30 | B450C | 314758 | 0,20 | 2500 | ORDIN. X0 | POCO SENS. | 0,00 | 2,0 | 3,5 | 14 | 8 | 60 | 0 | 0 |
| 3 | PILAS | 60 | 100 | PROV | PROV | 262424 | 0,20 | 2500 | ORDIN. X0 | POCO SENS. | 0,00 | 2,0 | 3,5 | 14 | 8 | 50 | 0 | 0 |
| 5 | ELEV. | 70 | 100 | PROV | PROV | 305885 | 0,20 | 2500 | XC2/XC3 | SENSIBILE | 1,00 | 2,0 | 3,5 | 14 | 8 | 50 | 0 | 0 |
| 6 | PILAS | 70 | 100 | PROV | PROV | 305885 | 0,20 | 2500 | XC2/XC3 | SENSIBILE | 1,00 | 2,0 | 3,5 | 14 | 8 | 50 | 0 | 0 |
| 7 | ELEV. | 10 | 100 | PROV | PROV | 266715 | 0,20 | 2500 | XC2/XC3 | SENSIBILE | 1,00 | 4,5 | 6,0 | 14 | 8 | 50 | 0 | 0 |

CRITERI DI PROGETTO

Sidoti Engineering S.R.L.

SOFTWARE: C.D.S. - Full - Rel.2018 - Lic. Nro: 34987

| CRITERI PER IL CALCOLO AGLI STATI LIMITE ULTIMI E DI ESERCIZIO | | | | | | | | | | | | | | | | | | | | | | | | |
|--|-----------|-------|-------|-------|------|------|------|---------|------|------|------|--------|---------|--------|--------|--------|-------|-------|-------|---------|---------|---------|---------|------|
| Cri Nro | Tipo Elem | fck | fcd | rcd | fyk | ftk | fyd | Ey | ec0 | ecu | eyu | At/ Ac | Mt/ Mtu | Wra mm | Wfr mm | Wpe mm | σcRar | σcPer | σfRar | Spo Rar | Spo Fre | Spo Per | Coe Vis | euk |
| 1 | ELEV. | 250,0 | 141,0 | 141,0 | 4500 | 4500 | 3913 | 2100000 | 0,20 | 0,35 | 1,00 | 50 | 10 | 0,4 | 0,3 | 150,0 | 112,0 | 3600 | | | | | 2,0 | 0,08 |
| 3 | PILAS | 180,0 | 120,0 | 120,0 | 4700 | 4700 | 4087 | 2100000 | 0,20 | 0,35 | 1,00 | 50 | 10 | 0,4 | 0,3 | 108,0 | 81,0 | 3760 | | | | | 2,0 | 0,08 |
| 5 | ELEV. | 360,0 | 240,0 | 240,0 | 4300 | 4300 | 3739 | 2100000 | 0,20 | 0,35 | 1,00 | 50 | 10 | 0,3 | 0,2 | 216,0 | 162,0 | 2866 | | | | | 2,0 | 0,04 |
| 6 | PILAS | 360,0 | 240,0 | 240,0 | 4300 | 4300 | 3739 | 2100000 | 0,20 | 0,35 | 1,00 | 50 | 10 | 0,3 | 0,2 | 216,0 | 162,0 | 2866 | | | | | 2,0 | 0,04 |
| 7 | ELEV. | 190,0 | 126,0 | 126,0 | 4700 | 4700 | 4087 | 2100000 | 0,20 | 0,35 | 1,00 | 50 | 10 | 0,3 | 0,2 | 114,0 | 85,0 | 3760 | | | | | 2,0 | 0,04 |

MATERIALI SHELL IN C.A.

| IDENT | % | CARATTERISTICHE | | | | | DURABILITA' | | | COPRIFERRO | | | |
|-----------|---------|-----------------|----------------|---------------|----------|-------------|---------------|--|---------------|------------|-------------|------------|--------------|
| Mat. N.ro | Rig Fls | Classe CLS | Classe Acciaio | Mod. E kg/cmq | Pois-son | Gamma kg/mc | Tipo Ambiente | | Tipo Armatura | | Toll. Copr. | Setti (cm) | Piastre (cm) |
| 1 | 100 | C20/25 | B450C | 299619 | 0,20 | 2500 | ORDIN. X0 | | POCO SENS. | | 0,00 | 2,0 | 2,0 |

MATERIALI SHELL IN C.A.

| CRITERI PER IL CALCOLO AGLI STATI LIMITE ULTIMI E DI ESERCIZIO | | | | | | | | | | | | | | | | | | | | | | | | |
|--|-----------|-------|-------|-------|------|------|------|---------|------|------|------|--------|---------|--------|--------|--------|-------|-------|-------|---------|---------|---------|---------|-----|
| Cri Nro | Tipo Elem | fck | fcd | rcd | fyk | ftk | fyd | Ey | ec0 | ecu | eyu | At/ Ac | Mt/ Mtu | Wra mm | Wfr mm | Wpe mm | σcRar | σcPer | σfRar | Spo Rar | Spo Fre | Spo Per | Coe Vis | euk |
| 1 | SETTI | 207,0 | 138,0 | 138,0 | 4500 | 4500 | 3913 | 2100000 | 0,20 | 0,35 | 1,00 | 50 | | | | 0,4 | 0,3 | 120,0 | 90,0 | 3600 | | | | |

MATERIALI SETTI CLS DEBOLMENTE ARMATI

| IDEN | COMPONENTI | | | PILASTRINI | | | TRAVETTE | | | DATI DI CALCOLO | | | | | |
|-----------|--------------|------------|-------------|------------|-----------|-----------|----------|-----------|-----------|-----------------|-----------------|-------------|-------------|------------|-----------------|
| Mat. N.ro | Tipo Cassero | Classe CLS | Classe Acc. | Base cm | Altez. cm | Inter. cm | Base cm | Altez. cm | Inter. cm | Sp.Equiv. cm | Gamma Eq. kg/mq | Riduz Mod.G | Riduz Mod.E | Coprif. cm | Strati Armature |
| 2 | LegnoBloc | C25/30 | B450C | 18,80 | 16,00 | 22,80 | 14,00 | 10,00 | 25,00 | 12,00 | 433,00 | 2,20 | 1,00 | 2,00 | 1 |
| 3 | LegnoBloc | C25/30 | B450C | 18,80 | 14,00 | 22,80 | 14,00 | 10,00 | 25,00 | 10,60 | 384,00 | 2,20 | 1,00 | 2,00 | 1 |
| 4 | LegnoBloc | C25/30 | B450C | 21,00 | 18,00 | 25,00 | 16,00 | 10,00 | 25,00 | 15,12 | 488,00 | 2,20 | 1,00 | 2,00 | 1 |
| 5 | LegnoBloc | C25/30 | B450C | 18,00 | 17,50 | 25,00 | 14,00 | 10,00 | 25,00 | 12,60 | 509,00 | 2,20 | 1,00 | 2,00 | 1 |
| 6 | LegnoBloc | C25/30 | B450C | 18,00 | 11,00 | 25,00 | 14,00 | 10,00 | 25,00 | 7,90 | 495,00 | 2,20 | 1,00 | 2,00 | 1 |
| 7 | LegnoBloc | C25/30 | B450C | 18,00 | 12,00 | 22,80 | 14,00 | 10,00 | 25,00 | 9,00 | 316,00 | 2,20 | 1,00 | 2,00 | 1 |
| 8 | LegnoBloc | C25/30 | B450C | 19,50 | 15,00 | 25,00 | 14,00 | 10,00 | 25,00 | 11,70 | 368,00 | 2,20 | 1,00 | 2,00 | 1 |
| 9 | LegnoBloc | C25/30 | B450C | 19,50 | 18,00 | 25,00 | 14,00 | 10,00 | 25,00 | 14,00 | 445,00 | 2,20 | 1,00 | 2,00 | 1 |
| 10 | LegnoBloc | C25/30 | B450C | 19,50 | 21,00 | 25,00 | 14,00 | 10,00 | 25,00 | 16,40 | 511,00 | 2,20 | 1,00 | 2,00 | 1 |

CRITERI DI PROGETTO GEOTECNICI - FONDAZIONI SUPERFICIALI E SU PALI

| IDEN | COSTANTE WINKLER | | IDEN | COSTANTE WINKLER | | IDEN | COSTANTE WINKLER | |
|-----------|------------------|----------------|-----------|------------------|----------------|-----------|------------------|----------------|
| Crit N.ro | KwVert kg/cmc | KwOriz. kg/cmc | Crit N.ro | KwVert kg/cmc | KwOriz. kg/cmc | Crit N.ro | KwVert kg/cmc | KwOriz. kg/cmc |
| 1 | 15,00 | 0,00 | 2 | 10,00 | 0,00 | | | |

DATI GENERALI DI STRUTTURA

| DATI GENERALI DI STRUTTURA | | | |
|---|---------------|----------------------------|-----------|
| Massima dimens. dir. X (m) | 33,50 | Altezza edificio (m) | 16,80 |
| Massima dimens. dir. Y (m) | 23,80 | Differenza temperatura(°C) | 15 |
| PARAMETRI SISMICI | | | |
| Vita Nominale (Anni) | 100 | Classe d' Uso | QUARTA |
| Longitudine Est (Grd) | 16,30830 | Latitudine Nord (Grd) | 38,28620 |
| Categoria Suolo | C | Coeff. Condiz. Topogr. | 1,00000 |
| Sistema Costruttivo Dir.1 | C.A. | Sistema Costruttivo Dir.2 | C.A. |
| Regolarita' in Altezza | SI (KR=1) | Regolarita' in Pianta | SI |
| Direzione Sisma (Grd) | 0 | Sisma Verticale | ASSENTE |
| Effetti P/Delta | NO | Quota di Zero Sismico (m) | 0,00000 |
| Tipo Intervento | MIGLIORAMENTO | Tipo Analisi Sismica | PUSH-OVER |
| Livello Sicurezza Min. (%) | 100 | | |
| PARAMETRI SPETTRO ELASTICO - SISMA S.L.O. | | | |
| Probabilita' Pvr | 0,81 | Periodo di Ritorno Anni | 120,00 |
| Accelerazione Ag/g | 0,10 | Periodo T'c (sec.) | 0,34 |
| Fo | 2,38 | Fv | 1,00 |
| Fattore Stratigrafia'Ss' | 2,19 | Periodo TB (sec.) | 0,24 |
| Periodo TC (sec.) | 0,52 | Periodo TD (sec.) | 1,99 |
| PARAMETRI SPETTRO ELASTICO - SISMA S.L.D. | | | |
| Probabilita' Pvr | 0,63 | Periodo di Ritorno Anni | 201,00 |
| Accelerazione Ag/g | 0,12 | Periodo T'c (sec.) | 0,35 |
| Fo | 2,39 | Fv | 1,14 |

C.D.S.

| | | | |
|---|-------|-----------------------------|---------|
| Fattore Stratigrafia'Ss' | 1,98 | Periodo TB (sec.) | 0,24 |
| Periodo TC (sec.) | 0,56 | Periodo TD (sec.) | 2,10 |
| PARAMETRI SPETTRO ELASTICO - SISMA S.L.V. | | | |
| Probabilita' Pvr | 0,10 | Periodo di Ritorno Anni | 1898,00 |
| Accelerazione Ag/g | 0,30 | Periodo T'c (sec.) | 0,43 |
| Fo | 2,46 | Fv | 1,83 |
| Fattore Stratigrafia'Ss' | 1,41 | Periodo TB (sec.) | 0,22 |
| Periodo TC (sec.) | 0,70 | Periodo TD (sec.) | 2,81 |
| PARAMETRI SPETTRO ELASTICO - SISMA S.L.C. | | | |
| Probabilita' Pvr | 0,05 | Periodo di Ritorno Anni | 2475,00 |
| Accelerazione Ag/g | 0,33 | Periodo T'c (sec.) | 0,43 |
| Fo | 2,48 | Fv | 1,93 |
| Fattore Stratigrafia'Ss' | 1,21 | Periodo TB (sec.) | 0,19 |
| Periodo TC (sec.) | 0,77 | Periodo TD (sec.) | 2,93 |
| PARAMETRI SISTEMA COSTRUTTIVO C.A. - DIR.1 | | | |
| Classe Duttilita' | MEDIA | Sotto-Sistema Strutturale | Pareti |
| AlfaU/Alfa1 | 1,20 | Fattore riduttivo KW | 0,67 |
| Fattore di comportam 'q' | 2,40 | | |
| PARAMETRI SISTEMA COSTRUTTIVO C.A. - DIR.2 | | | |
| Classe Duttilita' | MEDIA | Sotto-Sistema Strutturale | Pareti |
| AlfaU/Alfa1 | 1,20 | Fattore riduttivo KW | 0,67 |
| Fattore di comportam 'q' | 2,40 | | |
| COEFFICIENTI DI SICUREZZA PARZIALI DEI MATERIALI | | | |
| Acciaio per CLS armato | 1,15 | Calcestruzzo CLS armato | 1,50 |
| Legno per comb. eccez. | 1,00 | Legno per comb. fundament.: | 1,30 |
| Livello conoscenza | LC3 | | |
| FRP Collasso Tipo 'A' | 1,10 | FRP Delaminazione Tipo 'A' | 1,20 |
| FRP Collasso Tipo 'B' | 1,25 | FRP Delaminazione Tipo 'B' | 1,50 |
| FRP Resist. Press/Fless | 1,00 | FRP Resist. Taglio/Torsione | 1,20 |
| FRP Resist. Confinamento | 1,10 | | |

DATI GENERALI DI STRUTTURA

DATI DI CALCOLO PER AZIONE NEVE

| | | | |
|---|---------|------------------------------|-------|
| Zona Geografica | III | Coefficiente Termico | 1,00 |
| Altitudine sito s.l.m. (m) | 0 | Coefficiente di forma | 0,80 |
| Tipo di Esposizione | Normale | Coefficiente di esposizione | 1,00 |
| Carico di riferimento kg/mq | 60 | Carico neve di calcolo kg/mq | 48,00 |
| Il calcolo della neve e' effettuato in base al punto 3.4 del D.M. 2018 e relative modifiche e integrazioni riportate nella Circolare del 26/12/2009 | | | |

COMBINAZIONI CARICHI A1 - S.L.V. / S.L.D.

| DESCRIZIONI | 1 | 2 | 3 | 4 | 5 | 6 | 7 | 8 | 9 | 10 | 11 | 12 | 13 | 14 | 15 |
|----------------------|------|------|------|-------|-------|-------|-------|-------|-------|-------|-------|-------|-------|-------|-------|
| Peso Strutturale | 1,30 | 1,30 | 1,00 | 1,00 | 1,00 | 1,00 | 1,00 | 1,00 | 1,00 | 1,00 | 1,00 | 1,00 | 1,00 | 1,00 | 1,00 |
| Perm.Non Strutturale | 1,50 | 1,50 | 1,00 | 1,00 | 1,00 | 1,00 | 1,00 | 1,00 | 1,00 | 1,00 | 1,00 | 1,00 | 1,00 | 1,00 | 1,00 |
| Var.Uffici | 1,50 | 1,05 | 0,30 | 0,30 | 0,30 | 0,30 | 0,30 | 0,30 | 0,30 | 0,30 | 0,30 | 0,30 | 0,30 | 0,30 | 0,30 |
| Var.Amb.affol. | 1,50 | 1,05 | 0,60 | 0,60 | 0,60 | 0,60 | 0,60 | 0,60 | 0,60 | 0,60 | 0,60 | 0,60 | 0,60 | 0,60 | 0,60 |
| Var.Neve h<=1000 | 0,75 | 1,50 | 0,00 | 0,00 | 0,00 | 0,00 | 0,00 | 0,00 | 0,00 | 0,00 | 0,00 | 0,00 | 0,00 | 0,00 | 0,00 |
| Var.Coperture | 1,50 | 0,00 | 0,00 | 0,00 | 0,00 | 0,00 | 0,00 | 0,00 | 0,00 | 0,00 | 0,00 | 0,00 | 0,00 | 0,00 | 0,00 |
| Corr. Tors. dir. 0 | 0,00 | 0,00 | 1,00 | -1,00 | 1,00 | -1,00 | 1,00 | -1,00 | 1,00 | -1,00 | -1,00 | 1,00 | -1,00 | 1,00 | -1,00 |
| Corr. Tors. dir. 90 | 0,00 | 0,00 | 0,30 | 0,30 | -0,30 | -0,30 | -0,30 | -0,30 | 0,30 | 0,30 | 0,30 | -0,30 | -0,30 | -0,30 | -0,30 |
| Sisma direz. grd 0 | 0,00 | 0,00 | 1,00 | 1,00 | 1,00 | 1,00 | 1,00 | 1,00 | 1,00 | 1,00 | -1,00 | -1,00 | -1,00 | -1,00 | -1,00 |
| Sisma direz. grd 90 | 0,00 | 0,00 | 0,30 | 0,30 | 0,30 | 0,30 | -0,30 | -0,30 | -0,30 | -0,30 | 0,30 | 0,30 | 0,30 | 0,30 | -0,30 |

COMBINAZIONI CARICHI A1 - S.L.V. / S.L.D.

| DESCRIZIONI | 16 | 17 | 18 | 19 | 20 | 21 | 22 | 23 | 24 | 25 | 26 | 27 | 28 | 29 | 30 |
|----------------------|------|-------|------|------|-------|------|-------|------|-------|------|-------|-------|------|-------|------|
| Peso Strutturale | 1,00 | 1,00 | 1,00 | 1,00 | 1,00 | 1,00 | 1,00 | 1,00 | 1,00 | 1,00 | 1,00 | 1,00 | 1,00 | 1,00 | 1,00 |
| Perm.Non Strutturale | 1,00 | 1,00 | 1,00 | 1,00 | 1,00 | 1,00 | 1,00 | 1,00 | 1,00 | 1,00 | 1,00 | 1,00 | 1,00 | 1,00 | 1,00 |
| Var.Uffici | 0,30 | 0,30 | 0,30 | 0,30 | 0,30 | 0,30 | 0,30 | 0,30 | 0,30 | 0,30 | 0,30 | 0,30 | 0,30 | 0,30 | 0,30 |
| Var.Amb.affol. | 0,60 | 0,60 | 0,60 | 0,60 | 0,60 | 0,60 | 0,60 | 0,60 | 0,60 | 0,60 | 0,60 | 0,60 | 0,60 | 0,60 | 0,60 |
| Var.Neve h<=1000 | 0,00 | 0,00 | 0,00 | 0,00 | 0,00 | 0,00 | 0,00 | 0,00 | 0,00 | 0,00 | 0,00 | 0,00 | 0,00 | 0,00 | 0,00 |
| Var.Coperture | 0,00 | 0,00 | 0,00 | 0,00 | 0,00 | 0,00 | 0,00 | 0,00 | 0,00 | 0,00 | 0,00 | 0,00 | 0,00 | 0,00 | 0,00 |
| Corr. Tors. dir. 0 | 1,00 | -1,00 | 1,00 | 0,30 | -0,30 | 0,30 | -0,30 | 0,30 | -0,30 | 0,30 | -0,30 | -0,30 | 0,30 | -0,30 | 0,30 |

Sidoti Engineering S.R.L.

SOFTWARE: C.D.S. - Full - Rel.2018 - Lic. Nro: 34987

C.D.S.

COMBINAZIONI CARICHI A1 - S.L.V. / S.L.D.

| DESCRIZIONI | 16 | 17 | 18 | 19 | 20 | 21 | 22 | 23 | 24 | 25 | 26 | 27 | 28 | 29 | 30 |
|---------------------|-------|-------|-------|------|------|-------|-------|-------|-------|-------|-------|-------|-------|-------|-------|
| Corr. Tors. dir. 90 | -0,30 | 0,30 | 0,30 | 1,00 | 1,00 | -1,00 | -1,00 | -1,00 | -1,00 | 1,00 | 1,00 | 1,00 | 1,00 | -1,00 | -1,00 |
| Sisma direz. grd 0 | -1,00 | -1,00 | -1,00 | 0,30 | 0,30 | 0,30 | 0,30 | 0,30 | 0,30 | 0,30 | 0,30 | -0,30 | -0,30 | -0,30 | -0,30 |
| Sisma direz. grd 90 | -0,30 | -0,30 | -0,30 | 1,00 | 1,00 | 1,00 | 1,00 | -1,00 | -1,00 | -1,00 | -1,00 | 1,00 | 1,00 | 1,00 | 1,00 |

COMBINAZIONI CARICHI A1 - S.L.V. / S.L.D.

| DESCRIZIONI | 31 | 32 | 33 | 34 |
|----------------------|-------|-------|-------|-------|
| Peso Strutturale | 1,00 | 1,00 | 1,00 | 1,00 |
| Perm.Non Strutturale | 1,00 | 1,00 | 1,00 | 1,00 |
| Var.Uffici | 0,30 | 0,30 | 0,30 | 0,30 |
| Var.Amb.affol. | 0,60 | 0,60 | 0,60 | 0,60 |
| Var.Neve h<=1000 | 0,00 | 0,00 | 0,00 | 0,00 |
| Var.Coperture | 0,00 | 0,00 | 0,00 | 0,00 |
| Corr. Tors. dir. 0 | -0,30 | 0,30 | -0,30 | 0,30 |
| Corr. Tors. dir. 90 | -1,00 | -1,00 | 1,00 | 1,00 |
| Sisma direz. grd 0 | -0,30 | -0,30 | -0,30 | -0,30 |
| Sisma direz. grd 90 | -1,00 | -1,00 | -1,00 | -1,00 |

COMBINAZIONI RARE - S.L.E.

| DESCRIZIONI | 1 | 2 |
|----------------------|------|------|
| Peso Strutturale | 1,00 | 1,00 |
| Perm.Non Strutturale | 1,00 | 1,00 |
| Var.Uffici | 1,00 | 0,70 |
| Var.Amb.affol. | 1,00 | 0,70 |
| Var.Neve h<=1000 | 0,50 | 1,00 |
| Var.Coperture | 1,00 | 0,00 |
| Corr. Tors. dir. 0 | 0,00 | 0,00 |
| Corr. Tors. dir. 90 | 0,00 | 0,00 |
| Sisma direz. grd 0 | 0,00 | 0,00 |
| Sisma direz. grd 90 | 0,00 | 0,00 |

COMBINAZIONI FREQUENTI - S.L.E.

| DESCRIZIONI | 1 | 2 |
|----------------------|------|------|
| Peso Strutturale | 1,00 | 1,00 |
| Perm.Non Strutturale | 1,00 | 1,00 |
| Var.Uffici | 0,50 | 0,30 |
| Var.Amb.affol. | 0,70 | 0,60 |
| Var.Neve h<=1000 | 0,00 | 0,20 |
| Var.Coperture | 0,00 | 0,00 |
| Corr. Tors. dir. 0 | 0,00 | 0,00 |
| Corr. Tors. dir. 90 | 0,00 | 0,00 |
| Sisma direz. grd 0 | 0,00 | 0,00 |
| Sisma direz. grd 90 | 0,00 | 0,00 |

COMBINAZIONI PERMANENTI - S.L.E.

| DESCRIZIONI | 1 |
|----------------------|------|
| Peso Strutturale | 1,00 |
| Perm.Non Strutturale | 1,00 |
| Var.Uffici | 0,30 |
| Var.Amb.affol. | 0,60 |
| Var.Neve h<=1000 | 0,00 |
| Var.Coperture | 0,00 |
| Corr. Tors. dir. 0 | 0,00 |
| Corr. Tors. dir. 90 | 0,00 |
| Sisma direz. grd 0 | 0,00 |
| Sisma direz. grd 90 | 0,00 |

DATI ARMATURE ASTE3D - SEZIONE RETTANGOLARE

ASTE IN C.A. CON SEZIONE RETTANGOLARE

| IDENTIFICATIVO | | ARMATURE DI INPUT | | | | | | | | | | | AGGIUNTIVE | | RINFORZO IN FRP | | | | | | |
|----------------|--------------|-------------------|-----------|---------|-----------|---------|-----------|---------|---------|---------|-----------|-----------|------------|-----------|-----------------|---------|---------|---------|---------|-----------------|----------|
| Asta Num. | Concio | FiSp mm | NFer Sup. | FiSu mm | NFer Inf. | Filn mm | NFer Par. | FiPa mm | FiSt mm | PsSt cm | Brac DirX | Brac DirY | AfSup cmq | AfInf cmq | Mat. N.ro | Lung cm | Rag. mm | Num Avv | Nod Con | Condiz. Ambient | SpSol cm |
| 1 | Iniz. | 16 | 2 | 16 | 2 | 16 | 3 | 16 | 8 | 20 | 2 | 2 | 0,0 | 0,0 | | | | | | | |
| | Mezz. Finale | 16 | 2 | 16 | 2 | 16 | 3 | 16 | 8 | 20 | 2 | 2 | 0,0 | 0,0 | | | | | | | |
| 2 | Iniz. | 16 | 2 | 16 | 2 | 16 | 3 | 16 | 8 | 20 | 3 | 2 | 0,0 | 0,0 | | | | | | | |
| | Mezz. Finale | 16 | 2 | 16 | 2 | 16 | 3 | 16 | 8 | 20 | 3 | 2 | 0,0 | 0,0 | | | | | | | |
| 3 | Iniz. | 16 | 2 | 16 | 2 | 16 | 3 | 16 | 8 | 20 | 3 | 2 | 0,0 | 0,0 | | | | | | | |
| | Mezz. Finale | 16 | 2 | 16 | 2 | 16 | 3 | 16 | 8 | 20 | 3 | 2 | 0,0 | 0,0 | | | | | | | |
| 4 | Iniz. | 16 | 2 | 16 | 2 | 16 | 3 | 16 | 8 | 20 | 3 | 2 | 0,0 | 0,0 | | | | | | | |
| | Mezz. Finale | 16 | 2 | 16 | 2 | 16 | 3 | 16 | 8 | 20 | 3 | 2 | 0,0 | 0,0 | | | | | | | |
| 5 | Iniz. | 16 | 2 | 16 | 2 | 16 | 3 | 16 | 8 | 20 | 3 | 2 | 0,0 | 0,0 | | | | | | | |
| | Mezz. Finale | 16 | 2 | 16 | 2 | 16 | 3 | 16 | 8 | 20 | 3 | 2 | 0,0 | 0,0 | | | | | | | |
| 6 | Iniz. | 16 | 2 | 16 | 2 | 16 | 3 | 16 | 8 | 20 | 2 | 2 | 0,0 | 0,0 | | | | | | | |
| | Mezz. Finale | 16 | 2 | 16 | 2 | 16 | 3 | 16 | 8 | 20 | 2 | 2 | 0,0 | 0,0 | | | | | | | |

Sidoti Engineering S.R.L.

SOFTWARE: C.D.S. - Full - Rel.2018 - Lic. Nro: 34987

DATI ARMATURE ASTE3D - SEZIONE RETTANGOLARE

ASTE IN C.A. CON SEZIONE RETTANGOLARE

| IDENTIFICATIVO | | ARMATURE DI INPUT | | | | | | | | | | | AGGIUNTIVE | | RINFORZO IN FRP | | | | | | | |
|----------------|--------|-------------------|-----------|---------|-----------|---------|-----------|---------|---------|---------|-----------|-----------|------------|-----------|-----------------|---------|---------|---------|---------|-----------------|----------|--|
| Asta Num. | Concio | FiSp mm | NFer Sup. | FiSu mm | NFer Inf. | Filn mm | NFer Par. | FIPa mm | FISm mm | PsSt cm | Brac DirX | Brac DirY | AfSup cmq | AfInf cmq | Mat. N.ro | Lung cm | Rag. mm | Num Avv | Nod Con | Condiz. Ambient | SpSol cm | |
| 7 | Iniz. | 16 | 2 | 16 | 2 | 16 | 3 | 16 | 8 | 20 | 3 | 2 | 0,0 | 0,0 | | | | | | | | |
| | Mezz. | 16 | 2 | 16 | 2 | 16 | 3 | 16 | 8 | 20 | 3 | 2 | 0,0 | 0,0 | | | | | | | | |
| 8 | Iniz. | 16 | 2 | 16 | 2 | 16 | 3 | 16 | 8 | 20 | 3 | 2 | 0,0 | 0,0 | | | | | | | | |
| | Mezz. | 16 | 2 | 16 | 2 | 16 | 3 | 16 | 8 | 20 | 3 | 2 | 0,0 | 0,0 | | | | | | | | |
| 9 | Iniz. | 16 | 2 | 16 | 2 | 16 | 3 | 16 | 8 | 20 | 3 | 2 | 0,0 | 0,0 | | | | | | | | |
| | Mezz. | 16 | 2 | 16 | 2 | 16 | 3 | 16 | 8 | 20 | 3 | 2 | 0,0 | 0,0 | | | | | | | | |
| 10 | Iniz. | 16 | 2 | 16 | 2 | 16 | 3 | 16 | 8 | 20 | 3 | 2 | 0,0 | 0,0 | | | | | | | | |
| | Mezz. | 16 | 2 | 16 | 2 | 16 | 3 | 16 | 8 | 20 | 3 | 2 | 0,0 | 0,0 | | | | | | | | |
| 11 | Iniz. | 16 | 2 | 16 | 2 | 16 | 3 | 16 | 8 | 20 | 2 | 2 | 0,0 | 0,0 | | | | | | | | |
| | Mezz. | 16 | 2 | 16 | 2 | 16 | 3 | 16 | 8 | 20 | 2 | 2 | 0,0 | 0,0 | | | | | | | | |
| 12 | Iniz. | 16 | 2 | 16 | 2 | 16 | 3 | 16 | 8 | 20 | 3 | 2 | 0,0 | 0,0 | | | | | | | | |
| | Mezz. | 16 | 2 | 16 | 2 | 16 | 3 | 16 | 8 | 20 | 3 | 2 | 0,0 | 0,0 | | | | | | | | |
| 13 | Iniz. | 16 | 2 | 16 | 2 | 16 | 3 | 16 | 8 | 20 | 2 | 2 | 0,0 | 0,0 | | | | | | | | |
| | Mezz. | 16 | 2 | 16 | 2 | 16 | 3 | 16 | 8 | 20 | 2 | 2 | 0,0 | 0,0 | | | | | | | | |
| 14 | Iniz. | 16 | 2 | 16 | 2 | 16 | 3 | 16 | 8 | 20 | 3 | 2 | 0,0 | 0,0 | | | | | | | | |
| | Mezz. | 16 | 2 | 16 | 2 | 16 | 3 | 16 | 8 | 20 | 3 | 2 | 0,0 | 0,0 | | | | | | | | |
| 15 | Iniz. | 16 | 2 | 16 | 2 | 16 | 3 | 16 | 8 | 20 | 2 | 2 | 0,0 | 0,0 | | | | | | | | |
| | Mezz. | 16 | 2 | 16 | 2 | 16 | 3 | 16 | 8 | 20 | 2 | 2 | 0,0 | 0,0 | | | | | | | | |
| 16 | Iniz. | 16 | 2 | 16 | 2 | 16 | 3 | 16 | 8 | 20 | 2 | 2 | 0,0 | 0,0 | | | | | | | | |
| | Mezz. | 16 | 2 | 16 | 2 | 16 | 3 | 16 | 8 | 20 | 2 | 2 | 0,0 | 0,0 | | | | | | | | |
| 17 | Iniz. | 16 | 2 | 16 | 2 | 16 | 3 | 16 | 8 | 20 | 2 | 2 | 0,0 | 0,0 | | | | | | | | |
| | Mezz. | 16 | 2 | 16 | 2 | 16 | 3 | 16 | 8 | 20 | 2 | 2 | 0,0 | 0,0 | | | | | | | | |
| 18 | Iniz. | 16 | 2 | 16 | 2 | 16 | 3 | 16 | 8 | 20 | 2 | 2 | 0,0 | 0,0 | | | | | | | | |
| | Mezz. | 16 | 2 | 16 | 2 | 16 | 3 | 16 | 8 | 20 | 2 | 2 | 0,0 | 0,0 | | | | | | | | |
| 19 | Iniz. | 16 | 2 | 16 | 2 | 16 | 3 | 16 | 8 | 20 | 2 | 2 | 0,0 | 0,0 | | | | | | | | |
| | Mezz. | 16 | 2 | 16 | 2 | 16 | 3 | 16 | 8 | 20 | 2 | 2 | 0,0 | 0,0 | | | | | | | | |
| 20 | Iniz. | 16 | 2 | 16 | 2 | 16 | 3 | 16 | 8 | 20 | 3 | 2 | 0,0 | 0,0 | | | | | | | | |
| | Mezz. | 16 | 2 | 16 | 2 | 16 | 3 | 16 | 8 | 20 | 3 | 2 | 0,0 | 0,0 | | | | | | | | |
| 21 | Iniz. | 16 | 2 | 16 | 2 | 16 | 3 | 16 | 8 | 20 | 3 | 2 | 0,0 | 0,0 | | | | | | | | |
| | Mezz. | 16 | 2 | 16 | 2 | 16 | 3 | 16 | 8 | 20 | 3 | 2 | 0,0 | 0,0 | | | | | | | | |
| 22 | Iniz. | 16 | 2 | 16 | 2 | 16 | 3 | 16 | 8 | 20 | 3 | 2 | 0,0 | 0,0 | | | | | | | | |
| | Mezz. | 16 | 2 | 16 | 2 | 16 | 3 | 16 | 8 | 20 | 3 | 2 | 0,0 | 0,0 | | | | | | | | |
| 23 | Iniz. | 16 | 2 | 16 | 2 | 16 | 3 | 16 | 8 | 20 | 3 | 2 | 0,0 | 0,0 | | | | | | | | |
| | Mezz. | 16 | 2 | 16 | 2 | 16 | 3 | 16 | 8 | 20 | 3 | 2 | 0,0 | 0,0 | | | | | | | | |
| 24 | Iniz. | 16 | 2 | 16 | 2 | 16 | 3 | 16 | 8 | 20 | 2 | 2 | 0,0 | 0,0 | | | | | | | | |
| | Mezz. | 16 | 2 | 16 | 2 | 16 | 3 | 16 | 8 | 20 | 2 | 2 | 0,0 | 0,0 | | | | | | | | |
| 25 | Iniz. | 16 | 2 | 16 | 2 | 16 | 3 | 16 | 8 | 20 | 2 | 2 | 0,0 | 0,0 | | | | | | | | |
| | Mezz. | 16 | 2 | 16 | 2 | 16 | 3 | 16 | 8 | 20 | 2 | 2 | 0,0 | 0,0 | | | | | | | | |
| 26 | Iniz. | 16 | 2 | 16 | 2 | 16 | 3 | 16 | 8 | 20 | 2 | 2 | 0,0 | 0,0 | | | | | | | | |
| | Mezz. | 16 | 2 | 16 | 2 | 16 | 3 | 16 | 8 | 20 | 2 | 2 | 0,0 | 0,0 | | | | | | | | |

Sidoti Engineering S.R.L.

SOFTWARE: C.D.S. - Full - Rel.2018 - Lic. Nro: 34987

C.D.S.

DATI ARMATURE ASTE3D - SEZIONE RETTANGOLARE

ASTE IN C.A. CON SEZIONE RETTANGOLARE

| IDENTIFICATIVO | | ARMATURE DI INPUT | | | | | | | | | | | AGGIUNTIVE | | RINFORZO IN FRP | | | | | | |
|----------------|--------|-------------------|-----------|---------|-----------|---------|-----------|---------|---------|---------|-----------|-----------|------------|-----------|-----------------|---------|---------|---------|---------|-----------------|----------|
| Asta Num. | Concio | FiSp mm | NFer Sup. | FiSu mm | NFer Inf. | Filn mm | NFer Par. | FIPa mm | FISt mm | PsSt cm | Brac DirX | Brac DirY | AfSup cmq | AfInf cmq | Mat. N.ro | Lung cm | Rag. mm | Num Avv | Nod Con | Condiz. Ambient | SpSol cm |
| 27 | Iniz. | 16 | 2 | 16 | 2 | 16 | 3 | 16 | 8 | 20 | 2 | 2 | 0,0 | 0,0 | | | | | | | |
| | Mezz. | 16 | 2 | 16 | 2 | 16 | 3 | 16 | 8 | 20 | 2 | 2 | 0,0 | 0,0 | | | | | | | |
| 29 | Iniz. | 16 | 2 | 16 | 2 | 16 | 3 | 16 | 8 | 20 | 2 | 2 | 0,0 | 0,0 | | | | | | | |
| | Mezz. | 16 | 2 | 16 | 2 | 16 | 3 | 16 | 8 | 20 | 2 | 2 | 0,0 | 0,0 | | | | | | | |
| 30 | Iniz. | 16 | 2 | 16 | 2 | 16 | 3 | 16 | 8 | 20 | 2 | 2 | 0,0 | 0,0 | | | | | | | |
| | Mezz. | 16 | 2 | 16 | 2 | 16 | 3 | 16 | 8 | 20 | 2 | 2 | 0,0 | 0,0 | | | | | | | |
| 31 | Iniz. | 16 | 1 | 16 | 1 | 16 | 1 | 16 | 8 | 20 | 2 | 2 | 0,0 | 0,0 | | | | | | | |
| | Mezz. | 16 | 1 | 16 | 1 | 16 | 1 | 16 | 8 | 20 | 2 | 2 | 0,0 | 0,0 | | | | | | | |
| 32 | Iniz. | 16 | 1 | 16 | 1 | 16 | 1 | 16 | 8 | 20 | 2 | 2 | 0,0 | 0,0 | | | | | | | |
| | Mezz. | 16 | 1 | 16 | 1 | 16 | 1 | 16 | 8 | 20 | 2 | 2 | 0,0 | 0,0 | | | | | | | |
| 33 | Iniz. | 16 | 1 | 16 | 1 | 16 | 1 | 16 | 8 | 20 | 2 | 2 | 0,0 | 0,0 | | | | | | | |
| | Mezz. | 16 | 1 | 16 | 1 | 16 | 1 | 16 | 8 | 20 | 2 | 2 | 0,0 | 0,0 | | | | | | | |
| 34 | Iniz. | 16 | 1 | 16 | 1 | 16 | 1 | 16 | 8 | 20 | 2 | 2 | 0,0 | 0,0 | | | | | | | |
| | Mezz. | 16 | 1 | 16 | 1 | 16 | 1 | 16 | 8 | 20 | 2 | 2 | 0,0 | 0,0 | | | | | | | |
| 35 | Iniz. | 16 | 1 | 16 | 1 | 16 | 1 | 16 | 8 | 20 | 2 | 2 | 0,0 | 0,0 | | | | | | | |
| | Mezz. | 16 | 1 | 16 | 1 | 16 | 1 | 16 | 8 | 20 | 2 | 2 | 0,0 | 0,0 | | | | | | | |
| 36 | Iniz. | 16 | 1 | 16 | 1 | 16 | 1 | 16 | 8 | 20 | 2 | 2 | 0,0 | 0,0 | | | | | | | |
| | Mezz. | 16 | 1 | 16 | 1 | 16 | 1 | 16 | 8 | 20 | 2 | 2 | 0,0 | 0,0 | | | | | | | |
| 37 | Iniz. | 16 | 1 | 16 | 1 | 16 | 1 | 16 | 8 | 20 | 2 | 2 | 0,0 | 0,0 | | | | | | | |
| | Mezz. | 16 | 1 | 16 | 1 | 16 | 1 | 16 | 8 | 20 | 2 | 2 | 0,0 | 0,0 | | | | | | | |
| 38 | Iniz. | 16 | 1 | 16 | 1 | 16 | 1 | 16 | 8 | 20 | 2 | 2 | 0,0 | 0,0 | | | | | | | |
| | Mezz. | 16 | 1 | 16 | 1 | 16 | 1 | 16 | 8 | 20 | 2 | 2 | 0,0 | 0,0 | | | | | | | |
| 39 | Iniz. | 16 | 1 | 16 | 1 | 16 | 1 | 16 | 8 | 20 | 2 | 2 | 0,0 | 0,0 | | | | | | | |
| | Mezz. | 16 | 1 | 16 | 1 | 16 | 1 | 16 | 8 | 20 | 2 | 2 | 0,0 | 0,0 | | | | | | | |
| 40 | Iniz. | 16 | 1 | 16 | 1 | 16 | 1 | 16 | 8 | 20 | 2 | 2 | 0,0 | 0,0 | | | | | | | |
| | Mezz. | 16 | 1 | 16 | 1 | 16 | 1 | 16 | 8 | 20 | 2 | 2 | 0,0 | 0,0 | | | | | | | |
| 41 | Iniz. | 16 | 2 | 16 | 2 | 16 | 3 | 16 | 8 | 20 | 2 | 2 | 0,0 | 0,0 | | | | | | | |
| | Mezz. | 16 | 2 | 16 | 2 | 16 | 3 | 16 | 8 | 20 | 2 | 2 | 0,0 | 0,0 | | | | | | | |
| 42 | Iniz. | 16 | 2 | 16 | 2 | 16 | 3 | 16 | 8 | 20 | 2 | 3 | 0,0 | 0,0 | | | | | | | |
| | Mezz. | 16 | 2 | 16 | 2 | 16 | 3 | 16 | 8 | 20 | 2 | 3 | 0,0 | 0,0 | | | | | | | |
| 43 | Iniz. | 16 | 2 | 16 | 2 | 16 | 0 | 16 | 8 | 20 | 2 | 2 | 0,0 | 0,0 | | | | | | | |
| | Mezz. | 16 | 2 | 16 | 2 | 16 | 0 | 16 | 8 | 20 | 2 | 2 | 0,0 | 0,0 | | | | | | | |
| 44 | Iniz. | 16 | 2 | 16 | 2 | 16 | 0 | 16 | 8 | 20 | 2 | 2 | 0,0 | 0,0 | | | | | | | |
| | Mezz. | 16 | 2 | 16 | 2 | 16 | 0 | 16 | 8 | 20 | 2 | 2 | 0,0 | 0,0 | | | | | | | |
| 45 | Iniz. | 16 | 2 | 16 | 2 | 16 | 0 | 16 | 8 | 20 | 2 | 2 | 0,0 | 0,0 | | | | | | | |
| | Mezz. | 16 | 2 | 16 | 2 | 16 | 0 | 16 | 8 | 20 | 2 | 2 | 0,0 | 0,0 | | | | | | | |
| 46 | Iniz. | 16 | 2 | 16 | 2 | 16 | 0 | 16 | 8 | 20 | 2 | 2 | 0,0 | 0,0 | | | | | | | |
| | Mezz. | 16 | 2 | 16 | 2 | 16 | 0 | 16 | 8 | 20 | 2 | 2 | 0,0 | 0,0 | | | | | | | |
| 47 | Iniz. | 16 | 2 | 16 | 2 | 16 | 0 | 16 | 8 | 20 | 2 | 2 | 0,0 | 0,0 | | | | | | | |
| | Mezz. | 16 | 2 | 16 | 2 | 16 | 0 | 16 | 8 | 20 | 2 | 2 | 0,0 | 0,0 | | | | | | | |

| DATI ARMATURE ASTE3D - SEZIONE RETTANGOLARE | | | | | | | | | | | | | | | | | | | | | | |
|---|--------------|-------------------|-----------|---------|-----------|---------|-----------|---------|---------|---------|-----------|-----------|------------|-----------|-----------------|---------|---------|---------|---------|----------------|----------|--|
| ASTE IN C.A. CON SEZIONE RETTANGOLARE | | | | | | | | | | | | | | | | | | | | | | |
| IDENTIFICATIVO | | ARMATURE DI INPUT | | | | | | | | | | | AGGIUNTIVE | | RINFORZO IN FRP | | | | | | | |
| Asta Num. | Concio | FIsp mm | NFer Sup. | FISu mm | NFer Inf. | FILn mm | NFer Par. | FIPa mm | FISt mm | PsSt cm | Brac DirX | Brac DirY | AfSup cmq | AfInf cmq | Mat. N.ro | Lung cm | Rag. mm | Num Avv | Nod Con | Condz. Ambient | SpSol cm | |
| | Mezz. Finale | 16 | 2 | 16 | 2 | 16 | 0 | 16 | 8 | 20 | 2 | 2 | 0,0 | 0,0 | | | | | | | | |
| | Finale | 16 | 2 | 16 | 2 | 16 | 0 | 16 | 8 | 20 | 2 | 2 | 0,0 | 0,0 | | | | | | | | |
| 48 | Iniz. | 16 | 2 | 16 | 2 | 16 | 0 | 16 | 8 | 20 | 2 | 2 | 0,0 | 0,0 | | | | | | | | |
| | Mezz. | 16 | 2 | 16 | 2 | 16 | 0 | 16 | 8 | 20 | 2 | 2 | 0,0 | 0,0 | | | | | | | | |
| | Finale | 16 | 2 | 16 | 2 | 16 | 0 | 16 | 8 | 20 | 2 | 2 | 0,0 | 0,0 | | | | | | | | |
| 49 | Iniz. | 16 | 2 | 16 | 2 | 16 | 0 | 16 | 8 | 20 | 2 | 2 | 0,0 | 0,0 | | | | | | | | |
| | Mezz. | 16 | 2 | 16 | 2 | 16 | 0 | 16 | 8 | 20 | 2 | 2 | 0,0 | 0,0 | | | | | | | | |
| | Finale | 16 | 2 | 16 | 2 | 16 | 0 | 16 | 8 | 20 | 2 | 2 | 0,0 | 0,0 | | | | | | | | |
| 50 | Iniz. | 16 | 2 | 16 | 2 | 16 | 0 | 16 | 8 | 20 | 2 | 2 | 0,0 | 0,0 | | | | | | | | |
| | Mezz. | 16 | 2 | 16 | 2 | 16 | 0 | 16 | 8 | 20 | 2 | 2 | 0,0 | 0,0 | | | | | | | | |
| | Finale | 16 | 2 | 16 | 2 | 16 | 0 | 16 | 8 | 20 | 2 | 2 | 0,0 | 0,0 | | | | | | | | |
| 51 | Iniz. | 16 | 2 | 16 | 2 | 16 | 0 | 16 | 8 | 20 | 2 | 2 | 0,0 | 0,0 | | | | | | | | |
| | Mezz. | 16 | 2 | 16 | 2 | 16 | 0 | 16 | 8 | 20 | 2 | 2 | 0,0 | 0,0 | | | | | | | | |
| | Finale | 16 | 2 | 16 | 2 | 16 | 0 | 16 | 8 | 20 | 2 | 2 | 0,0 | 0,0 | | | | | | | | |
| 52 | Iniz. | 16 | 2 | 16 | 2 | 16 | 0 | 16 | 8 | 20 | 2 | 2 | 0,0 | 0,0 | | | | | | | | |
| | Mezz. | 16 | 2 | 16 | 2 | 16 | 0 | 16 | 8 | 20 | 2 | 2 | 0,0 | 0,0 | | | | | | | | |
| | Finale | 16 | 2 | 16 | 2 | 16 | 0 | 16 | 8 | 20 | 2 | 2 | 0,0 | 0,0 | | | | | | | | |
| 53 | Iniz. | 16 | 2 | 16 | 2 | 16 | 0 | 16 | 8 | 20 | 2 | 2 | 0,0 | 0,0 | | | | | | | | |
| | Mezz. | 16 | 2 | 16 | 2 | 16 | 0 | 16 | 8 | 20 | 2 | 2 | 0,0 | 0,0 | | | | | | | | |
| | Finale | 16 | 2 | 16 | 2 | 16 | 0 | 16 | 8 | 20 | 2 | 2 | 0,0 | 0,0 | | | | | | | | |
| 54 | Iniz. | 16 | 2 | 16 | 2 | 16 | 0 | 16 | 8 | 20 | 2 | 2 | 0,0 | 0,0 | | | | | | | | |
| | Mezz. | 16 | 2 | 16 | 2 | 16 | 0 | 16 | 8 | 20 | 2 | 2 | 0,0 | 0,0 | | | | | | | | |
| | Finale | 16 | 2 | 16 | 2 | 16 | 0 | 16 | 8 | 20 | 2 | 2 | 0,0 | 0,0 | | | | | | | | |
| 55 | Iniz. | 16 | 2 | 16 | 2 | 16 | 0 | 16 | 8 | 20 | 2 | 2 | 0,0 | 0,0 | | | | | | | | |
| | Mezz. | 16 | 2 | 16 | 2 | 16 | 0 | 16 | 8 | 20 | 2 | 2 | 0,0 | 0,0 | | | | | | | | |
| | Finale | 16 | 2 | 16 | 2 | 16 | 0 | 16 | 8 | 20 | 2 | 2 | 0,0 | 0,0 | | | | | | | | |
| 56 | Iniz. | 16 | 2 | 16 | 2 | 16 | 0 | 16 | 8 | 20 | 2 | 2 | 0,0 | 0,0 | | | | | | | | |
| | Mezz. | 16 | 2 | 16 | 2 | 16 | 0 | 16 | 8 | 20 | 2 | 2 | 0,0 | 0,0 | | | | | | | | |
| | Finale | 16 | 2 | 16 | 2 | 16 | 0 | 16 | 8 | 20 | 2 | 2 | 0,0 | 0,0 | | | | | | | | |
| 57 | Iniz. | 16 | 2 | 16 | 2 | 16 | 0 | 16 | 8 | 20 | 2 | 2 | 0,0 | 0,0 | | | | | | | | |
| | Mezz. | 16 | 2 | 16 | 2 | 16 | 0 | 16 | 8 | 20 | 2 | 2 | 0,0 | 0,0 | | | | | | | | |
| | Finale | 16 | 2 | 16 | 2 | 16 | 0 | 16 | 8 | 20 | 2 | 2 | 0,0 | 0,0 | | | | | | | | |
| 58 | Iniz. | 16 | 2 | 16 | 2 | 16 | 0 | 16 | 8 | 20 | 2 | 2 | 0,0 | 0,0 | | | | | | | | |
| | Mezz. | 16 | 2 | 16 | 2 | 16 | 0 | 16 | 8 | 20 | 2 | 2 | 0,0 | 0,0 | | | | | | | | |
| | Finale | 16 | 2 | 16 | 2 | 16 | 0 | 16 | 8 | 20 | 2 | 2 | 0,0 | 0,0 | | | | | | | | |
| 59 | Iniz. | 16 | 2 | 16 | 2 | 16 | 0 | 16 | 8 | 20 | 2 | 2 | 0,0 | 0,0 | | | | | | | | |
| | Mezz. | 16 | 2 | 16 | 2 | 16 | 0 | 16 | 8 | 20 | 2 | 2 | 0,0 | 0,0 | | | | | | | | |
| | Finale | 16 | 2 | 16 | 2 | 16 | 0 | 16 | 8 | 20 | 2 | 2 | 0,0 | 0,0 | | | | | | | | |
| 60 | Iniz. | 16 | 2 | 16 | 2 | 16 | 0 | 16 | 8 | 20 | 2 | 2 | 0,0 | 0,0 | | | | | | | | |
| | Mezz. | 16 | 2 | 16 | 2 | 16 | 0 | 16 | 8 | 20 | 2 | 2 | 0,0 | 0,0 | | | | | | | | |
| | Finale | 16 | 2 | 16 | 2 | 16 | 0 | 16 | 8 | 20 | 2 | 2 | 0,0 | 0,0 | | | | | | | | |
| 61 | Iniz. | 16 | 2 | 16 | 2 | 16 | 0 | 16 | 8 | 20 | 2 | 2 | 0,0 | 0,0 | | | | | | | | |
| | Mezz. | 16 | 2 | 16 | 2 | 16 | 0 | 16 | 8 | 20 | 2 | 2 | 0,0 | 0,0 | | | | | | | | |
| | Finale | 16 | 2 | 16 | 2 | 16 | 0 | 16 | 8 | 20 | 2 | 2 | 0,0 | 0,0 | | | | | | | | |
| 62 | Iniz. | 16 | 2 | 16 | 2 | 16 | 0 | 16 | 8 | 20 | 2 | 2 | 0,0 | 0,0 | | | | | | | | |
| | Mezz. | 16 | 2 | 16 | 2 | 16 | 0 | 16 | 8 | 20 | 2 | 2 | 0,0 | 0,0 | | | | | | | | |
| | Finale | 16 | 2 | 16 | 2 | 16 | 0 | 16 | 8 | 20 | 2 | 2 | 0,0 | 0,0 | | | | | | | | |
| 63 | Iniz. | 16 | 2 | 16 | 2 | 16 | 0 | 16 | 8 | 20 | 2 | 2 | 0,0 | 0,0 | | | | | | | | |
| | Mezz. | 16 | 2 | 16 | 2 | 16 | 0 | 16 | 8 | 20 | 2 | 2 | 0,0 | 0,0 | | | | | | | | |
| | Finale | 16 | 2 | 16 | 2 | 16 | 0 | 16 | 8 | 20 | 2 | 2 | 0,0 | 0,0 | | | | | | | | |
| 64 | Iniz. | 16 | 2 | 16 | 2 | 16 | 0 | 16 | 8 | 20 | 2 | 2 | 0,0 | 0,0 | | | | | | | | |
| | Mezz. | 16 | 2 | 16 | 2 | 16 | 0 | 16 | 8 | 20 | 2 | 2 | 0,0 | 0,0 | | | | | | | | |
| | Finale | 16 | 2 | 16 | 2 | 16 | 0 | 16 | 8 | 20 | 2 | 2 | 0,0 | 0,0 | | | | | | | | |
| 65 | Iniz. | 16 | 2 | 16 | 2 | 16 | 0 | 16 | 8 | 20 | 2 | 2 | 0,0 | 0,0 | | | | | | | | |
| | Mezz. | 16 | 2 | 16 | 2 | 16 | 0 | 16 | 8 | 20 | 2 | 2 | 0,0 | 0,0 | | | | | | | | |
| | Finale | 16 | 2 | 16 | 2 | 16 | 0 | 16 | 8 | 20 | 2 | 2 | 0,0 | 0,0 | | | | | | | | |
| 66 | Iniz. | 16 | 2 | 16 | 2 | 16 | 0 | 16 | 8 | 20 | 2 | 2 | 0,0 | 0,0 | | | | | | | | |
| | Mezz. | 16 | 2 | 16 | 2 | 16 | 0 | 16 | 8 | 20 | 2 | 2 | 0,0 | 0,0 | | | | | | | | |
| | Finale | 16 | 2 | 16 | 2 | 16 | 0 | 16 | 8 | 20 | 2 | 2 | 0,0 | 0,0 | | | | | | | | |

C.D.S.

| DATI ARMATURE ASTE3D - SEZIONE RETTANGOLARE | | | | | | | | | | | | | | | | | | | | | | |
|---|--------|-------------------|-----------|---------|-----------|---------|-----------|---------|---------|---------|-----------|-----------|------------|-----------|-----------------|---------|---------|---------|---------|-----------------|----------|--|
| ASTE IN C.A. CON SEZIONE RETTANGOLARE | | | | | | | | | | | | | | | | | | | | | | |
| IDENTIFICATIVO | | ARMATURE DI INPUT | | | | | | | | | | | AGGIUNTIVE | | RINFORZO IN FRP | | | | | | | |
| Asta Num. | Concio | FiSp mm | NFer Sup. | FiSu mm | NFer Inf. | Filn mm | NFer Par. | FIPa mm | FISt mm | PsSt cm | Brac DirX | Brac DirY | AfSup cmq | AfInf cmq | Mat. N.ro | Lung cm | Rag. mm | Num Avv | Nod Con | Condiz. Ambient | SpSol cm | |
| 67 | Iniz. | 16 | 2 | 16 | 2 | 16 | 0 | 16 | 8 | 20 | 2 | 2 | 0,0 | 0,0 | | | | | | | | |
| | Mezz. | 16 | 2 | 16 | 2 | 16 | 0 | 16 | 8 | 20 | 2 | 2 | 0,0 | 0,0 | | | | | | | | |
| | Finale | 16 | 2 | 16 | 2 | 16 | 0 | 16 | 8 | 20 | 2 | 2 | 0,0 | 0,0 | | | | | | | | |
| 68 | Iniz. | 16 | 2 | 16 | 2 | 16 | 0 | 16 | 8 | 20 | 2 | 2 | 0,0 | 0,0 | | | | | | | | |
| | Mezz. | 16 | 2 | 16 | 2 | 16 | 0 | 16 | 8 | 20 | 2 | 2 | 0,0 | 0,0 | | | | | | | | |
| | Finale | 16 | 2 | 16 | 2 | 16 | 0 | 16 | 8 | 20 | 2 | 2 | 0,0 | 0,0 | | | | | | | | |
| 69 | Iniz. | 16 | 2 | 16 | 2 | 16 | 0 | 16 | 8 | 20 | 2 | 2 | 0,0 | 0,0 | | | | | | | | |
| | Mezz. | 16 | 2 | 16 | 2 | 16 | 0 | 16 | 8 | 20 | 2 | 2 | 0,0 | 0,0 | | | | | | | | |
| | Finale | 16 | 2 | 16 | 2 | 16 | 0 | 16 | 8 | 20 | 2 | 2 | 0,0 | 0,0 | | | | | | | | |
| 70 | Iniz. | 16 | 2 | 16 | 2 | 16 | 0 | 16 | 8 | 20 | 2 | 2 | 0,0 | 0,0 | | | | | | | | |
| | Mezz. | 16 | 2 | 16 | 2 | 16 | 0 | 16 | 8 | 20 | 2 | 2 | 0,0 | 0,0 | | | | | | | | |
| | Finale | 16 | 2 | 16 | 2 | 16 | 0 | 16 | 8 | 20 | 2 | 2 | 0,0 | 0,0 | | | | | | | | |
| 71 | Iniz. | 16 | 2 | 16 | 2 | 16 | 0 | 16 | 8 | 20 | 2 | 2 | 0,0 | 0,0 | | | | | | | | |
| | Mezz. | 16 | 2 | 16 | 2 | 16 | 0 | 16 | 8 | 20 | 2 | 2 | 0,0 | 0,0 | | | | | | | | |
| | Finale | 16 | 2 | 16 | 2 | 16 | 0 | 16 | 8 | 20 | 2 | 2 | 0,0 | 0,0 | | | | | | | | |
| 72 | Iniz. | 16 | 2 | 16 | 2 | 16 | 0 | 16 | 8 | 20 | 2 | 2 | 0,0 | 0,0 | | | | | | | | |
| | Mezz. | 16 | 2 | 16 | 2 | 16 | 0 | 16 | 8 | 20 | 2 | 2 | 0,0 | 0,0 | | | | | | | | |
| | Finale | 16 | 2 | 16 | 2 | 16 | 0 | 16 | 8 | 20 | 2 | 2 | 0,0 | 0,0 | | | | | | | | |
| 73 | Iniz. | 16 | 2 | 16 | 2 | 16 | 0 | 16 | 8 | 20 | 2 | 2 | 0,0 | 0,0 | | | | | | | | |
| | Mezz. | 16 | 2 | 16 | 2 | 16 | 0 | 16 | 8 | 20 | 2 | 2 | 0,0 | 0,0 | | | | | | | | |
| | Finale | 16 | 2 | 16 | 2 | 16 | 0 | 16 | 8 | 20 | 2 | 2 | 0,0 | 0,0 | | | | | | | | |
| 74 | Iniz. | 16 | 2 | 16 | 2 | 16 | 0 | 16 | 8 | 20 | 2 | 2 | 0,0 | 0,0 | | | | | | | | |
| | Mezz. | 16 | 2 | 16 | 2 | 16 | 0 | 16 | 8 | 20 | 2 | 2 | 0,0 | 0,0 | | | | | | | | |
| | Finale | 16 | 2 | 16 | 2 | 16 | 0 | 16 | 8 | 20 | 2 | 2 | 0,0 | 0,0 | | | | | | | | |
| 75 | Iniz. | 16 | 2 | 16 | 2 | 16 | 0 | 16 | 8 | 20 | 2 | 2 | 0,0 | 0,0 | | | | | | | | |
| | Mezz. | 16 | 2 | 16 | 2 | 16 | 0 | 16 | 8 | 20 | 2 | 2 | 0,0 | 0,0 | | | | | | | | |
| | Finale | 16 | 2 | 16 | 2 | 16 | 0 | 16 | 8 | 20 | 2 | 2 | 0,0 | 0,0 | | | | | | | | |
| 76 | Iniz. | 16 | 2 | 16 | 2 | 16 | 0 | 16 | 8 | 20 | 2 | 2 | 0,0 | 0,0 | | | | | | | | |
| | Mezz. | 16 | 2 | 16 | 2 | 16 | 0 | 16 | 8 | 20 | 2 | 2 | 0,0 | 0,0 | | | | | | | | |
| | Finale | 16 | 2 | 16 | 2 | 16 | 0 | 16 | 8 | 20 | 2 | 2 | 0,0 | 0,0 | | | | | | | | |
| 77 | Iniz. | 16 | 2 | 16 | 2 | 16 | 0 | 16 | 8 | 20 | 2 | 2 | 0,0 | 0,0 | | | | | | | | |
| | Mezz. | 16 | 2 | 16 | 2 | 16 | 0 | 16 | 8 | 20 | 2 | 2 | 0,0 | 0,0 | | | | | | | | |
| | Finale | 16 | 2 | 16 | 2 | 16 | 0 | 16 | 8 | 20 | 2 | 2 | 0,0 | 0,0 | | | | | | | | |
| 78 | Iniz. | 16 | 2 | 16 | 2 | 16 | 0 | 16 | 8 | 20 | 2 | 2 | 0,0 | 0,0 | | | | | | | | |
| | Mezz. | 16 | 2 | 16 | 2 | 16 | 0 | 16 | 8 | 20 | 2 | 2 | 0,0 | 0,0 | | | | | | | | |
| | Finale | 16 | 2 | 16 | 2 | 16 | 0 | 16 | 8 | 20 | 2 | 2 | 0,0 | 0,0 | | | | | | | | |
| 79 | Iniz. | 16 | 2 | 16 | 2 | 16 | 0 | 16 | 8 | 20 | 2 | 2 | 0,0 | 0,0 | | | | | | | | |
| | Mezz. | 16 | 2 | 16 | 2 | 16 | 0 | 16 | 8 | 20 | 2 | 2 | 0,0 | 0,0 | | | | | | | | |
| | Finale | 16 | 2 | 16 | 2 | 16 | 0 | 16 | 8 | 20 | 2 | 2 | 0,0 | 0,0 | | | | | | | | |
| 80 | Iniz. | 16 | 2 | 16 | 2 | 16 | 0 | 16 | 8 | 20 | 2 | 2 | 0,0 | 0,0 | | | | | | | | |
| | Mezz. | 16 | 2 | 16 | 2 | 16 | 0 | 16 | 8 | 20 | 2 | 2 | 0,0 | 0,0 | | | | | | | | |
| | Finale | 16 | 2 | 16 | 2 | 16 | 0 | 16 | 8 | 20 | 2 | 2 | 0,0 | 0,0 | | | | | | | | |
| 81 | Iniz. | 16 | 2 | 16 | 2 | 16 | 0 | 16 | 8 | 20 | 2 | 2 | 0,0 | 0,0 | | | | | | | | |
| | Mezz. | 16 | 2 | 16 | 2 | 16 | 0 | 16 | 8 | 20 | 2 | 2 | 0,0 | 0,0 | | | | | | | | |
| | Finale | 16 | 2 | 16 | 2 | 16 | 0 | 16 | 8 | 20 | 2 | 2 | 0,0 | 0,0 | | | | | | | | |
| 82 | Iniz. | 16 | 2 | 16 | 2 | 16 | 0 | 16 | 8 | 20 | 2 | 2 | 0,0 | 0,0 | | | | | | | | |
| | Mezz. | 16 | 2 | 16 | 2 | 16 | 0 | 16 | 8 | 20 | 2 | 2 | 0,0 | 0,0 | | | | | | | | |
| | Finale | 16 | 2 | 16 | 2 | 16 | 0 | 16 | 8 | 20 | 2 | 2 | 0,0 | 0,0 | | | | | | | | |
| 83 | Iniz. | 16 | 2 | 16 | 2 | 16 | 0 | 16 | 8 | 20 | 2 | 2 | 0,0 | 0,0 | | | | | | | | |
| | Mezz. | 16 | 2 | 16 | 2 | 16 | 0 | 16 | 8 | 20 | 2 | 2 | 0,0 | 0,0 | | | | | | | | |
| | Finale | 16 | 2 | 16 | 2 | 16 | 0 | 16 | 8 | 20 | 2 | 2 | 0,0 | 0,0 | | | | | | | | |
| 84 | Iniz. | 16 | 2 | 16 | 2 | 16 | 0 | 16 | 8 | 20 | 2 | 2 | 0,0 | 0,0 | | | | | | | | |
| | Mezz. | 16 | 2 | 16 | 2 | 16 | 0 | 16 | 8 | 20 | 2 | 2 | 0,0 | 0,0 | | | | | | | | |
| | Finale | 16 | 2 | 16 | 2 | 16 | 0 | 16 | 8 | 20 | 2 | 2 | 0,0 | 0,0 | | | | | | | | |
| 85 | Iniz. | 16 | 2 | 16 | 2 | 16 | 0 | 16 | 8 | 20 | 2 | 2 | 0,0 | 0,0 | | | | | | | | |
| | Mezz. | 16 | 2 | 16 | 2 | 16 | 0 | 16 | 8 | 20 | 2 | 2 | 0,0 | 0,0 | | | | | | | | |
| | Finale | 16 | 2 | 16 | 2 | 16 | 0 | 16 | 8 | 20 | 2 | 2 | 0,0 | 0,0 | | | | | | | | |
| 86 | Iniz. | 16 | 2 | 16 | 2 | 16 | 0 | 16 | 8 | 20 | 2 | 2 | 0,0 | 0,0 | | | | | | | | |

| DATI ARMATURE ASTE3D - SEZIONE RETTANGOLARE | | | | | | | | | | | | | | | | | | | | | | |
|---|--------------|-------------------|-----------|---------|-----------|---------|-----------|---------|---------|---------|-----------|-----------|------------|-----------|-----------------|---------|---------|---------|---------|----------------|----------|--|
| ASTE IN C.A. CON SEZIONE RETTANGOLARE | | | | | | | | | | | | | | | | | | | | | | |
| IDENTIFICATIVO | | ARMATURE DI INPUT | | | | | | | | | | | AGGIUNTIVE | | RINFORZO IN FRP | | | | | | | |
| Asta Num. | Concio | FIsp mm | NFer Sup. | FISu mm | NFer Inf. | FIlm mm | NFer Par. | FIPa mm | FISt mm | PsSt cm | Brac DirX | Brac DirY | AfSup cmq | AfInf cmq | Mat. N.ro | Lung cm | Rag. mm | Num Avv | Nod Con | Condz. Ambient | SpSol cm | |
| | Mezz. Finale | 16 | 2 | 16 | 2 | 16 | 0 | 16 | 8 | 20 | 2 | 2 | 0,0 | 0,0 | | | | | | | | |
| | 16 | 2 | 16 | 2 | 16 | 0 | 16 | 8 | 20 | 2 | 2 | 0,0 | 0,0 | | | | | | | | | |
| 87 | Iniz. | 16 | 2 | 16 | 2 | 16 | 0 | 16 | 8 | 20 | 2 | 2 | 0,0 | 0,0 | | | | | | | | |
| | Mezz. | 16 | 2 | 16 | 2 | 16 | 0 | 16 | 8 | 20 | 2 | 2 | 0,0 | 0,0 | | | | | | | | |
| | Finale | 16 | 2 | 16 | 2 | 16 | 0 | 16 | 8 | 20 | 2 | 2 | 0,0 | 0,0 | | | | | | | | |
| 88 | Iniz. | 16 | 2 | 16 | 2 | 16 | 0 | 16 | 8 | 20 | 2 | 2 | 0,0 | 0,0 | | | | | | | | |
| | Mezz. | 16 | 2 | 16 | 2 | 16 | 0 | 16 | 8 | 20 | 2 | 2 | 0,0 | 0,0 | | | | | | | | |
| | Finale | 16 | 2 | 16 | 2 | 16 | 0 | 16 | 8 | 20 | 2 | 2 | 0,0 | 0,0 | | | | | | | | |
| 89 | Iniz. | 16 | 2 | 16 | 2 | 16 | 0 | 16 | 8 | 20 | 2 | 2 | 0,0 | 0,0 | | | | | | | | |
| | Mezz. | 16 | 2 | 16 | 2 | 16 | 0 | 16 | 8 | 20 | 2 | 2 | 0,0 | 0,0 | | | | | | | | |
| | Finale | 16 | 2 | 16 | 2 | 16 | 0 | 16 | 8 | 20 | 2 | 2 | 0,0 | 0,0 | | | | | | | | |
| 90 | Iniz. | 16 | 2 | 16 | 2 | 16 | 0 | 16 | 8 | 20 | 2 | 2 | 0,0 | 0,0 | | | | | | | | |
| | Mezz. | 16 | 2 | 16 | 2 | 16 | 0 | 16 | 8 | 20 | 2 | 2 | 0,0 | 0,0 | | | | | | | | |
| | Finale | 16 | 2 | 16 | 2 | 16 | 0 | 16 | 8 | 20 | 2 | 2 | 0,0 | 0,0 | | | | | | | | |
| 91 | Iniz. | 16 | 2 | 16 | 2 | 16 | 0 | 16 | 8 | 20 | 2 | 2 | 0,0 | 0,0 | | | | | | | | |
| | Mezz. | 16 | 2 | 16 | 2 | 16 | 0 | 16 | 8 | 20 | 2 | 2 | 0,0 | 0,0 | | | | | | | | |
| | Finale | 16 | 2 | 16 | 2 | 16 | 0 | 16 | 8 | 20 | 2 | 2 | 0,0 | 0,0 | | | | | | | | |
| 92 | Iniz. | 16 | 2 | 16 | 2 | 16 | 0 | 16 | 8 | 20 | 2 | 2 | 0,0 | 0,0 | | | | | | | | |
| | Mezz. | 16 | 2 | 16 | 2 | 16 | 0 | 16 | 8 | 20 | 2 | 2 | 0,0 | 0,0 | | | | | | | | |
| | Finale | 16 | 2 | 16 | 2 | 16 | 0 | 16 | 8 | 20 | 2 | 2 | 0,0 | 0,0 | | | | | | | | |
| 93 | Iniz. | 16 | 2 | 16 | 2 | 16 | 0 | 16 | 8 | 20 | 2 | 2 | 0,0 | 0,0 | | | | | | | | |
| | Mezz. | 16 | 2 | 16 | 2 | 16 | 0 | 16 | 8 | 20 | 2 | 2 | 0,0 | 0,0 | | | | | | | | |
| | Finale | 16 | 2 | 16 | 2 | 16 | 0 | 16 | 8 | 20 | 2 | 2 | 0,0 | 0,0 | | | | | | | | |
| 94 | Iniz. | 16 | 2 | 16 | 2 | 16 | 0 | 16 | 8 | 20 | 2 | 2 | 0,0 | 0,0 | | | | | | | | |
| | Mezz. | 16 | 2 | 16 | 2 | 16 | 0 | 16 | 8 | 20 | 2 | 2 | 0,0 | 0,0 | | | | | | | | |
| | Finale | 16 | 2 | 16 | 2 | 16 | 0 | 16 | 8 | 20 | 2 | 2 | 0,0 | 0,0 | | | | | | | | |
| 95 | Iniz. | 16 | 2 | 16 | 2 | 16 | 0 | 16 | 8 | 20 | 2 | 2 | 0,0 | 0,0 | | | | | | | | |
| | Mezz. | 16 | 2 | 16 | 2 | 16 | 0 | 16 | 8 | 20 | 2 | 2 | 0,0 | 0,0 | | | | | | | | |
| | Finale | 16 | 2 | 16 | 2 | 16 | 0 | 16 | 8 | 20 | 2 | 2 | 0,0 | 0,0 | | | | | | | | |
| 96 | Iniz. | 16 | 2 | 16 | 2 | 16 | 0 | 16 | 8 | 20 | 2 | 2 | 0,0 | 0,0 | | | | | | | | |
| | Mezz. | 16 | 2 | 16 | 2 | 16 | 0 | 16 | 8 | 20 | 2 | 2 | 0,0 | 0,0 | | | | | | | | |
| | Finale | 16 | 2 | 16 | 2 | 16 | 0 | 16 | 8 | 20 | 2 | 2 | 0,0 | 0,0 | | | | | | | | |
| 97 | Iniz. | 16 | 2 | 16 | 2 | 16 | 0 | 16 | 8 | 20 | 2 | 2 | 0,0 | 0,0 | | | | | | | | |
| | Mezz. | 16 | 2 | 16 | 2 | 16 | 0 | 16 | 8 | 20 | 2 | 2 | 0,0 | 0,0 | | | | | | | | |
| | Finale | 16 | 2 | 16 | 2 | 16 | 0 | 16 | 8 | 20 | 2 | 2 | 0,0 | 0,0 | | | | | | | | |
| 98 | Iniz. | 16 | 2 | 16 | 2 | 16 | 0 | 16 | 8 | 20 | 2 | 2 | 0,0 | 0,0 | | | | | | | | |
| | Mezz. | 16 | 2 | 16 | 2 | 16 | 0 | 16 | 8 | 20 | 2 | 2 | 0,0 | 0,0 | | | | | | | | |
| | Finale | 16 | 2 | 16 | 2 | 16 | 0 | 16 | 8 | 20 | 2 | 2 | 0,0 | 0,0 | | | | | | | | |
| 99 | Iniz. | 16 | 2 | 16 | 2 | 16 | 0 | 16 | 8 | 20 | 2 | 2 | 0,0 | 0,0 | | | | | | | | |
| | Mezz. | 16 | 2 | 16 | 2 | 16 | 0 | 16 | 8 | 20 | 2 | 2 | 0,0 | 0,0 | | | | | | | | |
| | Finale | 16 | 2 | 16 | 2 | 16 | 0 | 16 | 8 | 20 | 2 | 2 | 0,0 | 0,0 | | | | | | | | |
| 100 | Iniz. | 16 | 2 | 16 | 2 | 16 | 0 | 16 | 8 | 20 | 2 | 2 | 0,0 | 0,0 | | | | | | | | |
| | Mezz. | 16 | 2 | 16 | 2 | 16 | 0 | 16 | 8 | 20 | 2 | 2 | 0,0 | 0,0 | | | | | | | | |
| | Finale | 16 | 2 | 16 | 2 | 16 | 0 | 16 | 8 | 20 | 2 | 2 | 0,0 | 0,0 | | | | | | | | |
| 101 | Iniz. | 16 | 2 | 16 | 2 | 16 | 0 | 16 | 8 | 20 | 2 | 2 | 0,0 | 0,0 | | | | | | | | |
| | Mezz. | 16 | 2 | 16 | 2 | 16 | 0 | 16 | 8 | 20 | 2 | 2 | 0,0 | 0,0 | | | | | | | | |
| | Finale | 16 | 2 | 16 | 2 | 16 | 0 | 16 | 8 | 20 | 2 | 2 | 0,0 | 0,0 | | | | | | | | |
| 102 | Iniz. | 16 | 2 | 16 | 2 | 16 | 0 | 16 | 8 | 20 | 2 | 2 | 0,0 | 0,0 | | | | | | | | |
| | Mezz. | 16 | 2 | 16 | 2 | 16 | 0 | 16 | 8 | 20 | 2 | 2 | 0,0 | 0,0 | | | | | | | | |
| | Finale | 16 | 2 | 16 | 2 | 16 | 0 | 16 | 8 | 20 | 2 | 2 | 0,0 | 0,0 | | | | | | | | |
| 103 | Iniz. | 16 | 2 | 16 | 2 | 16 | 0 | 16 | 8 | 20 | 2 | 2 | 0,0 | 0,0 | | | | | | | | |
| | Mezz. | 16 | 2 | 16 | 2 | 16 | 0 | 16 | 8 | 20 | 2 | 2 | 0,0 | 0,0 | | | | | | | | |
| | Finale | 16 | 2 | 16 | 2 | 16 | 0 | 16 | 8 | 20 | 2 | 2 | 0,0 | 0,0 | | | | | | | | |
| 104 | Iniz. | 16 | 2 | 16 | 2 | 16 | 0 | 16 | 8 | 20 | 2 | 2 | 0,0 | 0,0 | | | | | | | | |
| | Mezz. | 16 | 2 | 16 | 2 | 16 | 0 | 16 | 8 | 20 | 2 | 2 | 0,0 | 0,0 | | | | | | | | |
| | Finale | 16 | 2 | 16 | 2 | 16 | 0 | 16 | 8 | 20 | 2 | 2 | 0,0 | 0,0 | | | | | | | | |
| 105 | Iniz. | 16 | 2 | 16 | 2 | 16 | 0 | 16 | 8 | 20 | 2 | 2 | 0,0 | 0,0 | | | | | | | | |
| | Mezz. | 16 | 2 | 16 | 2 | 16 | 0 | 16 | 8 | 20 | 2 | 2 | 0,0 | 0,0 | | | | | | | | |
| | Finale | 16 | 2 | 16 | 2 | 16 | 0 | 16 | 8 | 20 | 2 | 2 | 0,0 | 0,0 | | | | | | | | |

DATI ARMATURE ASTE3D - SEZIONE RETTANGOLARE

ASTE IN C.A. CON SEZIONE RETTANGOLARE

| IDENTIFICATIVO | | ARMATURE DI INPUT | | | | | | | | | | | AGGIUNTIVE | | RINFORZO IN FRP | | | | | | |
|----------------|--------|-------------------|-----------|---------|-----------|---------|-----------|---------|---------|---------|-----------|-----------|------------|-----------|-----------------|---------|---------|---------|---------|-----------------|----------|
| Asta Num. | Concio | FiSp mm | NFer Sup. | FiSu mm | NFer Inf. | Filn mm | NFer Par. | FIPa mm | FISt mm | PsSt cm | Brac DirX | Brac DirY | AfSup cmq | AfInf cmq | Mat. N.ro | Lung cm | Rag. mm | Num Avv | Nod Con | Condiz. Ambient | SpSol cm |
| 106 | Iniz. | 16 | 2 | 16 | 2 | 16 | 0 | 16 | 8 | 20 | 2 | 2 | 0,0 | 0,0 | | | | | | | |
| | Mezz. | 16 | 2 | 16 | 2 | 16 | 0 | 16 | 8 | 20 | 2 | 2 | 0,0 | 0,0 | | | | | | | |
| | Finale | 16 | 2 | 16 | 2 | 16 | 0 | 16 | 8 | 20 | 2 | 2 | 0,0 | 0,0 | | | | | | | |
| 107 | Iniz. | 16 | 2 | 16 | 2 | 16 | 3 | 16 | 8 | 20 | 2 | 2 | 0,0 | 0,0 | | | | | | | |
| | Mezz. | 16 | 2 | 16 | 2 | 16 | 3 | 16 | 8 | 20 | 2 | 2 | 0,0 | 0,0 | | | | | | | |
| | Finale | 16 | 2 | 16 | 2 | 16 | 3 | 16 | 8 | 20 | 2 | 2 | 0,0 | 0,0 | | | | | | | |
| 108 | Iniz. | 16 | 2 | 16 | 2 | 16 | 3 | 16 | 8 | 20 | 3 | 2 | 0,0 | 0,0 | | | | | | | |
| | Mezz. | 16 | 2 | 16 | 2 | 16 | 3 | 16 | 8 | 20 | 3 | 2 | 0,0 | 0,0 | | | | | | | |
| | Finale | 16 | 2 | 16 | 2 | 16 | 3 | 16 | 8 | 20 | 3 | 2 | 0,0 | 0,0 | | | | | | | |
| 109 | Iniz. | 16 | 2 | 16 | 2 | 16 | 3 | 16 | 8 | 20 | 3 | 2 | 0,0 | 0,0 | | | | | | | |
| | Mezz. | 16 | 2 | 16 | 2 | 16 | 3 | 16 | 8 | 20 | 3 | 2 | 0,0 | 0,0 | | | | | | | |
| | Finale | 16 | 2 | 16 | 2 | 16 | 3 | 16 | 8 | 20 | 3 | 2 | 0,0 | 0,0 | | | | | | | |
| 110 | Iniz. | 16 | 2 | 16 | 2 | 16 | 3 | 16 | 8 | 20 | 3 | 2 | 0,0 | 0,0 | | | | | | | |
| | Mezz. | 16 | 2 | 16 | 2 | 16 | 3 | 16 | 8 | 20 | 3 | 2 | 0,0 | 0,0 | | | | | | | |
| | Finale | 16 | 2 | 16 | 2 | 16 | 3 | 16 | 8 | 20 | 3 | 2 | 0,0 | 0,0 | | | | | | | |
| 111 | Iniz. | 16 | 2 | 16 | 2 | 16 | 3 | 16 | 8 | 20 | 3 | 2 | 0,0 | 0,0 | | | | | | | |
| | Mezz. | 16 | 2 | 16 | 2 | 16 | 3 | 16 | 8 | 20 | 3 | 2 | 0,0 | 0,0 | | | | | | | |
| | Finale | 16 | 2 | 16 | 2 | 16 | 3 | 16 | 8 | 20 | 3 | 2 | 0,0 | 0,0 | | | | | | | |
| 112 | Iniz. | 16 | 2 | 16 | 2 | 16 | 3 | 16 | 8 | 20 | 2 | 2 | 0,0 | 0,0 | | | | | | | |
| | Mezz. | 16 | 2 | 16 | 2 | 16 | 3 | 16 | 8 | 20 | 2 | 2 | 0,0 | 0,0 | | | | | | | |
| | Finale | 16 | 2 | 16 | 2 | 16 | 3 | 16 | 8 | 20 | 2 | 2 | 0,0 | 0,0 | | | | | | | |
| 113 | Iniz. | 16 | 2 | 16 | 2 | 16 | 3 | 16 | 8 | 20 | 2 | 2 | 0,0 | 0,0 | | | | | | | |
| | Mezz. | 16 | 2 | 16 | 2 | 16 | 3 | 16 | 8 | 20 | 2 | 2 | 0,0 | 0,0 | | | | | | | |
| | Finale | 16 | 2 | 16 | 2 | 16 | 3 | 16 | 8 | 20 | 2 | 2 | 0,0 | 0,0 | | | | | | | |
| 114 | Iniz. | 16 | 2 | 16 | 2 | 16 | 3 | 16 | 8 | 20 | 3 | 2 | 0,0 | 0,0 | | | | | | | |
| | Mezz. | 16 | 2 | 16 | 2 | 16 | 3 | 16 | 8 | 20 | 3 | 2 | 0,0 | 0,0 | | | | | | | |
| | Finale | 16 | 2 | 16 | 2 | 16 | 3 | 16 | 8 | 20 | 3 | 2 | 0,0 | 0,0 | | | | | | | |
| 115 | Iniz. | 16 | 2 | 16 | 2 | 16 | 3 | 16 | 8 | 20 | 3 | 2 | 0,0 | 0,0 | | | | | | | |
| | Mezz. | 16 | 2 | 16 | 2 | 16 | 3 | 16 | 8 | 20 | 3 | 2 | 0,0 | 0,0 | | | | | | | |
| | Finale | 16 | 2 | 16 | 2 | 16 | 3 | 16 | 8 | 20 | 3 | 2 | 0,0 | 0,0 | | | | | | | |
| 116 | Iniz. | 16 | 2 | 16 | 2 | 16 | 3 | 16 | 8 | 20 | 3 | 2 | 0,0 | 0,0 | | | | | | | |
| | Mezz. | 16 | 2 | 16 | 2 | 16 | 3 | 16 | 8 | 20 | 3 | 2 | 0,0 | 0,0 | | | | | | | |
| | Finale | 16 | 2 | 16 | 2 | 16 | 3 | 16 | 8 | 20 | 3 | 2 | 0,0 | 0,0 | | | | | | | |
| 117 | Iniz. | 16 | 2 | 16 | 2 | 16 | 3 | 16 | 8 | 20 | 2 | 2 | 0,0 | 0,0 | | | | | | | |
| | Mezz. | 16 | 2 | 16 | 2 | 16 | 3 | 16 | 8 | 20 | 2 | 2 | 0,0 | 0,0 | | | | | | | |
| | Finale | 16 | 2 | 16 | 2 | 16 | 3 | 16 | 8 | 20 | 2 | 2 | 0,0 | 0,0 | | | | | | | |
| 118 | Iniz. | 16 | 2 | 16 | 2 | 16 | 3 | 16 | 8 | 20 | 2 | 2 | 0,0 | 0,0 | | | | | | | |
| | Mezz. | 16 | 2 | 16 | 2 | 16 | 3 | 16 | 8 | 20 | 2 | 2 | 0,0 | 0,0 | | | | | | | |
| | Finale | 16 | 2 | 16 | 2 | 16 | 3 | 16 | 8 | 20 | 2 | 2 | 0,0 | 0,0 | | | | | | | |
| 119 | Iniz. | 16 | 2 | 16 | 2 | 16 | 3 | 16 | 8 | 20 | 2 | 2 | 0,0 | 0,0 | | | | | | | |
| | Mezz. | 16 | 2 | 16 | 2 | 16 | 3 | 16 | 8 | 20 | 2 | 2 | 0,0 | 0,0 | | | | | | | |
| | Finale | 16 | 2 | 16 | 2 | 16 | 3 | 16 | 8 | 20 | 2 | 2 | 0,0 | 0,0 | | | | | | | |
| 120 | Iniz. | 16 | 2 | 16 | 2 | 16 | 3 | 16 | 8 | 20 | 3 | 2 | 0,0 | 0,0 | | | | | | | |
| | Mezz. | 16 | 2 | 16 | 2 | 16 | 3 | 16 | 8 | 20 | 3 | 2 | 0,0 | 0,0 | | | | | | | |
| | Finale | 16 | 2 | 16 | 2 | 16 | 3 | 16 | 8 | 20 | 3 | 2 | 0,0 | 0,0 | | | | | | | |
| 121 | Iniz. | 16 | 2 | 16 | 2 | 16 | 3 | 16 | 8 | 20 | 3 | 2 | 0,0 | 0,0 | | | | | | | |
| | Mezz. | 16 | 2 | 16 | 2 | 16 | 3 | 16 | 8 | 20 | 3 | 2 | 0,0 | 0,0 | | | | | | | |
| | Finale | 16 | 2 | 16 | 2 | 16 | 3 | 16 | 8 | 20 | 3 | 2 | 0,0 | 0,0 | | | | | | | |
| 122 | Iniz. | 16 | 2 | 16 | 2 | 16 | 3 | 16 | 8 | 20 | 3 | 2 | 0,0 | 0,0 | | | | | | | |
| | Mezz. | 16 | 2 | 16 | 2 | 16 | 3 | 16 | 8 | 20 | 3 | 2 | 0,0 | 0,0 | | | | | | | |
| | Finale | 16 | 2 | 16 | 2 | 16 | 3 | 16 | 8 | 20 | 3 | 2 | 0,0 | 0,0 | | | | | | | |
| 123 | Iniz. | 16 | 2 | 16 | 2 | 16 | 3 | 16 | 8 | 20 | 2 | 2 | 0,0 | 0,0 | | | | | | | |
| | Mezz. | 16 | 2 | 16 | 2 | 16 | 3 | 16 | 8 | 20 | 2 | 2 | 0,0 | 0,0 | | | | | | | |
| | Finale | 16 | 2 | 16 | 2 | 16 | 3 | 16 | 8 | 20 | 2 | 2 | 0,0 | 0,0 | | | | | | | |
| 124 | Iniz. | 16 | 2 | 16 | 2 | 16 | 3 | 16 | 8 | 20 | 2 | 2 | 0,0 | 0,0 | | | | | | | |
| | Mezz. | 16 | 2 | 16 | 2 | 16 | 3 | 16 | 8 | 20 | 2 | 2 | 0,0 | 0,0 | | | | | | | |
| | Finale | 16 | 2 | 16 | 2 | 16 | 3 | 16 | 8 | 20 | 2 | 2 | 0,0 | 0,0 | | | | | | | |
| 125 | Iniz. | 16 | 2 | 16 | 2 | 16 | 3 | 16 | 8 | 20 | 2 | 2 | 0,0 | 0,0 | | | | | | | |

DATI ARMATURE ASTE3D - SEZIONE RETTANGOLARE

ASTE IN C.A. CON SEZIONE RETTANGOLARE

| IDENTIFICATIVO | | ARMATURE DI INPUT | | | | | | | | | | | AGGIUNTIVE | | RINFORZO IN FRP | | | | | | | |
|----------------|--------------------|-------------------|-----------|----------|-----------|----------|-----------|----------|---------|----------|-----------|-----------|------------|------------|-----------------|---------|---------|---------|---------|----------------|----------|--|
| Asta Num. | Concio | FiSp mm | NFer Sup. | FiSu mm | NFer Inf. | Filn mm | NFer Par. | FIPa mm | FISt mm | PsSt cm | Brac DirX | Brac DirY | AfSup cmq | AfInf cmq | Mat. N.ro | Lung cm | Rag. mm | Num Avv | Nod Con | Condz. Ambient | SpSol cm | |
| | Mezz. Finale | 16 | 2 | 16 | 2 | 16 | 3 | 16 | 8 | 20 | 2 | 2 | 0,0 | 0,0 | | | | | | | | |
| 126 | Iniz. Mezz. Finale | 16 16 | 2 2 | 16 16 | 2 2 | 16 16 | 3 3 | 16 16 | 8 8 | 20 20 | 3 3 | 2 2 | 0,0 0,0 | 0,0 0,0 | | | | | | | | |
| 127 | Iniz. Mezz. Finale | 16 16 | 2 2 | 16 16 | 2 2 | 16 16 | 3 3 | 16 16 | 8 8 | 20 20 | 3 3 | 2 2 | 0,0 0,0 | 0,0 0,0 | | | | | | | | |
| 128 | Iniz. Mezz. Finale | 16 16 | 2 2 | 16 16 | 2 2 | 16 16 | 3 3 | 16 16 | 8 8 | 20 20 | 2 2 | 2 2 | 0,0 0,0 | 0,0 0,0 | | | | | | | | |
| 129 | Iniz. Mezz. Finale | 16 16 | 2 2 | 16 16 | 2 2 | 16 16 | 3 3 | 16 16 | 8 8 | 20 20 | 2 2 | 2 2 | 0,0 0,0 | 0,0 0,0 | | | | | | | | |
| 130 | Iniz. Mezz. Finale | 16 16 | 2 2 | 16 16 | 2 2 | 16 16 | 3 3 | 16 16 | 8 8 | 20 20 | 2 2 | 2 2 | 0,0 0,0 | 0,0 0,0 | | | | | | | | |
| 131 | Iniz. Mezz. Finale | 16 16 | 2 2 | 16 16 | 2 2 | 16 16 | 3 3 | 16 16 | 8 8 | 20 20 | 2 2 | 2 2 | 0,0 0,0 | 0,0 0,0 | | | | | | | | |
| 132 | Iniz. Mezz. Finale | 16 16 | 2 2 | 16 16 | 2 2 | 16 16 | 3 3 | 16 16 | 8 8 | 20 20 | 2 2 | 2 2 | 0,0 0,0 | 0,0 0,0 | | | | | | | | |
| 133 | Iniz. Mezz. Finale | 16 16 | 2 2 | 16 16 | 2 2 | 16 16 | 3 3 | 16 16 | 8 8 | 20 20 | 2 2 | 2 2 | 0,0 0,0 | 0,0 0,0 | | | | | | | | |
| 134 | Iniz. Mezz. Finale | 16 16 | 1 1 | 16 16 | 1 1 | 16 16 | 1 1 | 16 16 | 8 8 | 20 20 | 2 2 | 2 2 | 0,0 0,0 | 0,0 0,0 | | | | | | | | |
| 135 | Iniz. Mezz. Finale | 16 16 | 2 2 | 16 16 | 2 2 | 16 16 | 3 3 | 16 16 | 8 8 | 20 20 | 2 2 | 2 2 | 0,0 0,0 | 0,0 0,0 | | | | | | | | |
| 136 | Iniz. Mezz. Finale | 16 16 | 2 2 | 16 16 | 2 2 | 16 16 | 3 3 | 16 16 | 8 8 | 20 20 | 2 2 | 2 2 | 0,0 0,0 | 0,0 0,0 | | | | | | | | |
| 137 | Iniz. Mezz. Finale | 16 16 | 1 1 | 16 16 | 1 1 | 16 16 | 1 1 | 16 16 | 8 8 | 20 20 | 2 2 | 2 2 | 0,0 0,0 | 0,0 0,0 | | | | | | | | |
| 138 | Iniz. Mezz. Finale | 16 16 | 1 1 | 16 16 | 1 1 | 16 16 | 1 1 | 16 16 | 8 8 | 20 20 | 2 2 | 2 2 | 0,0 0,0 | 0,0 0,0 | | | | | | | | |
| 139 | Iniz. Mezz. Finale | 16 16 | 1 1 | 16 16 | 1 1 | 16 16 | 1 1 | 16 16 | 8 8 | 20 20 | 2 2 | 2 2 | 0,0 0,0 | 0,0 0,0 | | | | | | | | |
| 140 | Iniz. Mezz. Finale | 16 16 | 1 1 | 16 16 | 1 1 | 16 16 | 1 1 | 16 16 | 8 8 | 20 20 | 2 2 | 2 2 | 0,0 0,0 | 0,0 0,0 | | | | | | | | |
| 141 | Iniz. Mezz. Finale | 16 16 | 1 1 | 16 16 | 1 1 | 16 16 | 1 1 | 16 16 | 8 8 | 20 20 | 2 2 | 2 2 | 0,0 0,0 | 0,0 0,0 | | | | | | | | |
| 142 | Iniz. Mezz. Finale | 16 16 | 1 1 | 16 16 | 1 1 | 16 16 | 1 1 | 16 16 | 8 8 | 20 20 | 2 2 | 2 2 | 0,0 0,0 | 0,0 0,0 | | | | | | | | |
| 143 | Iniz. Mezz. Finale | 16 16 | 1 1 | 16 16 | 1 1 | 16 16 | 1 1 | 16 16 | 8 8 | 20 20 | 2 2 | 2 2 | 0,0 0,0 | 0,0 0,0 | | | | | | | | |
| 144 | Iniz. Mezz. Finale | 16 16 | 1 1 | 16 16 | 1 1 | 16 16 | 1 1 | 16 16 | 8 8 | 20 20 | 2 2 | 2 2 | 0,0 0,0 | 0,0 0,0 | | | | | | | | |

C.D.S.

| DATI ARMATURE ASTE3D - SEZIONE RETTANGOLARE | | | | | | | | | | | | | | | | | | | | | | |
|---|--------|-------------------|-----------|---------|-----------|---------|-----------|---------|---------|---------|-----------|-----------|------------|-----------|-----------------|---------|---------|---------|---------|----------------|----------|--|
| ASTE IN C.A. CON SEZIONE RETTANGOLARE | | | | | | | | | | | | | | | | | | | | | | |
| IDENTIFICATIVO | | ARMATURE DI INPUT | | | | | | | | | | | AGGIUNTIVE | | RINFORZO IN FRP | | | | | | | |
| Asta Num. | Concio | FiSp mm | NFer Sup. | FiSu mm | NFer Inf. | Filn mm | NFer Par. | FIPa mm | FISt mm | PsSt cm | Brac DirX | Brac DirY | AfSup cmq | AfInf cmq | Mat. N.ro | Lung cm | Rag. mm | Num Avv | Nod Con | Condz. Ambient | SpSol cm | |
| 145 | Iniz. | 16 | 1 | 16 | 1 | 16 | 1 | 16 | 8 | 20 | 2 | 2 | 0,0 | 0,0 | | | | | | | | |
| | Mezz. | 16 | 1 | 16 | 1 | 16 | 1 | 16 | 8 | 20 | 2 | 2 | 0,0 | 0,0 | | | | | | | | |
| | Finale | 16 | 1 | 16 | 1 | 16 | 1 | 16 | 8 | 20 | 2 | 2 | 0,0 | 0,0 | | | | | | | | |
| 146 | Iniz. | 16 | 1 | 16 | 1 | 16 | 1 | 16 | 8 | 20 | 2 | 2 | 0,0 | 0,0 | | | | | | | | |
| | Mezz. | 16 | 1 | 16 | 1 | 16 | 1 | 16 | 8 | 20 | 2 | 2 | 0,0 | 0,0 | | | | | | | | |
| | Finale | 16 | 1 | 16 | 1 | 16 | 1 | 16 | 8 | 20 | 2 | 2 | 0,0 | 0,0 | | | | | | | | |
| 147 | Iniz. | 16 | 2 | 16 | 2 | 16 | 3 | 16 | 8 | 20 | 2 | 2 | 0,0 | 0,0 | | | | | | | | |
| | Mezz. | 16 | 2 | 16 | 2 | 16 | 3 | 16 | 8 | 20 | 2 | 2 | 0,0 | 0,0 | | | | | | | | |
| | Finale | 16 | 2 | 16 | 2 | 16 | 3 | 16 | 8 | 20 | 2 | 2 | 0,0 | 0,0 | | | | | | | | |
| 148 | Iniz. | 16 | 2 | 16 | 2 | 16 | 3 | 16 | 8 | 20 | 2 | 2 | 0,0 | 0,0 | | | | | | | | |
| | Mezz. | 16 | 2 | 16 | 2 | 16 | 3 | 16 | 8 | 20 | 2 | 2 | 0,0 | 0,0 | | | | | | | | |
| | Finale | 16 | 2 | 16 | 2 | 16 | 3 | 16 | 8 | 20 | 2 | 2 | 0,0 | 0,0 | | | | | | | | |
| 149 | Iniz. | 16 | 2 | 16 | 2 | 16 | 0 | 16 | 8 | 20 | 2 | 2 | 0,0 | 0,0 | | | | | | | | |
| | Mezz. | 16 | 2 | 16 | 2 | 16 | 0 | 16 | 8 | 20 | 2 | 2 | 0,0 | 0,0 | | | | | | | | |
| | Finale | 16 | 2 | 16 | 2 | 16 | 0 | 16 | 8 | 20 | 2 | 2 | 0,0 | 0,0 | | | | | | | | |
| 150 | Iniz. | 16 | 2 | 16 | 2 | 16 | 0 | 16 | 8 | 20 | 2 | 2 | 0,0 | 0,0 | | | | | | | | |
| | Mezz. | 16 | 2 | 16 | 2 | 16 | 0 | 16 | 8 | 20 | 2 | 2 | 0,0 | 0,0 | | | | | | | | |
| | Finale | 16 | 2 | 16 | 2 | 16 | 0 | 16 | 8 | 20 | 2 | 2 | 0,0 | 0,0 | | | | | | | | |
| 151 | Iniz. | 16 | 2 | 16 | 2 | 16 | 0 | 16 | 8 | 20 | 2 | 2 | 0,0 | 0,0 | | | | | | | | |
| | Mezz. | 16 | 2 | 16 | 2 | 16 | 0 | 16 | 8 | 20 | 2 | 2 | 0,0 | 0,0 | | | | | | | | |
| | Finale | 16 | 2 | 16 | 2 | 16 | 0 | 16 | 8 | 20 | 2 | 2 | 0,0 | 0,0 | | | | | | | | |
| 152 | Iniz. | 16 | 2 | 16 | 2 | 16 | 0 | 16 | 8 | 20 | 2 | 2 | 0,0 | 0,0 | | | | | | | | |
| | Mezz. | 16 | 2 | 16 | 2 | 16 | 0 | 16 | 8 | 20 | 2 | 2 | 0,0 | 0,0 | | | | | | | | |
| | Finale | 16 | 2 | 16 | 2 | 16 | 0 | 16 | 8 | 20 | 2 | 2 | 0,0 | 0,0 | | | | | | | | |
| 153 | Iniz. | 16 | 2 | 16 | 2 | 16 | 0 | 16 | 8 | 20 | 2 | 2 | 0,0 | 0,0 | | | | | | | | |
| | Mezz. | 16 | 2 | 16 | 2 | 16 | 0 | 16 | 8 | 20 | 2 | 2 | 0,0 | 0,0 | | | | | | | | |
| | Finale | 16 | 2 | 16 | 2 | 16 | 0 | 16 | 8 | 20 | 2 | 2 | 0,0 | 0,0 | | | | | | | | |
| 154 | Iniz. | 16 | 2 | 16 | 2 | 16 | 0 | 16 | 8 | 20 | 2 | 2 | 0,0 | 0,0 | | | | | | | | |
| | Mezz. | 16 | 2 | 16 | 2 | 16 | 0 | 16 | 8 | 20 | 2 | 2 | 0,0 | 0,0 | | | | | | | | |
| | Finale | 16 | 2 | 16 | 2 | 16 | 0 | 16 | 8 | 20 | 2 | 2 | 0,0 | 0,0 | | | | | | | | |
| 155 | Iniz. | 16 | 2 | 16 | 2 | 16 | 0 | 16 | 8 | 20 | 2 | 2 | 0,0 | 0,0 | | | | | | | | |
| | Mezz. | 16 | 2 | 16 | 2 | 16 | 0 | 16 | 8 | 20 | 2 | 2 | 0,0 | 0,0 | | | | | | | | |
| | Finale | 16 | 2 | 16 | 2 | 16 | 0 | 16 | 8 | 20 | 2 | 2 | 0,0 | 0,0 | | | | | | | | |
| 156 | Iniz. | 16 | 2 | 16 | 2 | 16 | 0 | 16 | 8 | 20 | 2 | 2 | 0,0 | 0,0 | | | | | | | | |
| | Mezz. | 16 | 2 | 16 | 2 | 16 | 0 | 16 | 8 | 20 | 2 | 2 | 0,0 | 0,0 | | | | | | | | |
| | Finale | 16 | 2 | 16 | 2 | 16 | 0 | 16 | 8 | 20 | 2 | 2 | 0,0 | 0,0 | | | | | | | | |
| 157 | Iniz. | 16 | 2 | 16 | 2 | 16 | 0 | 16 | 8 | 20 | 2 | 2 | 0,0 | 0,0 | | | | | | | | |
| | Mezz. | 16 | 2 | 16 | 2 | 16 | 0 | 16 | 8 | 20 | 2 | 2 | 0,0 | 0,0 | | | | | | | | |
| | Finale | 16 | 2 | 16 | 2 | 16 | 0 | 16 | 8 | 20 | 2 | 2 | 0,0 | 0,0 | | | | | | | | |
| 158 | Iniz. | 16 | 2 | 16 | 2 | 16 | 0 | 16 | 8 | 20 | 2 | 2 | 0,0 | 0,0 | | | | | | | | |
| | Mezz. | 16 | 2 | 16 | 2 | 16 | 0 | 16 | 8 | 20 | 2 | 2 | 0,0 | 0,0 | | | | | | | | |
| | Finale | 16 | 2 | 16 | 2 | 16 | 0 | 16 | 8 | 20 | 2 | 2 | 0,0 | 0,0 | | | | | | | | |
| 159 | Iniz. | 16 | 2 | 16 | 2 | 16 | 0 | 16 | 8 | 20 | 2 | 2 | 0,0 | 0,0 | | | | | | | | |
| | Mezz. | 16 | 2 | 16 | 2 | 16 | 0 | 16 | 8 | 20 | 2 | 2 | 0,0 | 0,0 | | | | | | | | |
| | Finale | 16 | 2 | 16 | 2 | 16 | 0 | 16 | 8 | 20 | 2 | 2 | 0,0 | 0,0 | | | | | | | | |
| 160 | Iniz. | 16 | 2 | 16 | 2 | 16 | 0 | 16 | 8 | 20 | 2 | 2 | 0,0 | 0,0 | | | | | | | | |
| | Mezz. | 16 | 2 | 16 | 2 | 16 | 0 | 16 | 8 | 20 | 2 | 2 | 0,0 | 0,0 | | | | | | | | |
| | Finale | 16 | 2 | 16 | 2 | 16 | 0 | 16 | 8 | 20 | 2 | 2 | 0,0 | 0,0 | | | | | | | | |
| 161 | Iniz. | 16 | 2 | 16 | 2 | 16 | 0 | 16 | 8 | 20 | 2 | 2 | 0,0 | 0,0 | | | | | | | | |
| | Mezz. | 16 | 2 | 16 | 2 | 16 | 0 | 16 | 8 | 20 | 2 | 2 | 0,0 | 0,0 | | | | | | | | |
| | Finale | 16 | 2 | 16 | 2 | 16 | 0 | 16 | 8 | 20 | 2 | 2 | 0,0 | 0,0 | | | | | | | | |
| 162 | Iniz. | 16 | 2 | 16 | 2 | 16 | 0 | 16 | 8 | 20 | 2 | 2 | 0,0 | 0,0 | | | | | | | | |
| | Mezz. | 16 | 2 | 16 | 2 | 16 | 0 | 16 | 8 | 20 | 2 | 2 | 0,0 | 0,0 | | | | | | | | |
| | Finale | 16 | 2 | 16 | 2 | 16 | 0 | 16 | 8 | 20 | 2 | 2 | 0,0 | 0,0 | | | | | | | | |
| 163 | Iniz. | 16 | 2 | 16 | 2 | 16 | 0 | 16 | 8 | 20 | 2 | 2 | 0,0 | 0,0 | | | | | | | | |
| | Mezz. | 16 | 2 | 16 | 2 | 16 | 0 | 16 | 8 | 20 | 2 | 2 | 0,0 | 0,0 | | | | | | | | |
| | Finale | 16 | 2 | 16 | 2 | 16 | 0 | 16 | 8 | 20 | 2 | 2 | 0,0 | 0,0 | | | | | | | | |
| 164 | Iniz. | 16 | 2 | 16 | 2 | 16 | 0 | 16 | 8 | 20 | 2 | 2 | 0,0 | 0,0 | | | | | | | | |

DATI ARMATURE ASTE3D - SEZIONE RETTANGOLARE

ASTE IN C.A. CON SEZIONE RETTANGOLARE

| IDENTIFICATIVO | | ARMATURE DI INPUT | | | | | | | | | | | AGGIUNTIVE | | RINFORZO IN FRP | | | | | | |
|----------------|--------------|-------------------|-----------|---------|-----------|---------|-----------|---------|---------|---------|-----------|-----------|------------|-----------|-----------------|---------|---------|---------|---------|----------------|----------|
| Asta Num. | Concio | FISp mm | NFer Sup. | FISu mm | NFer Inf. | FILn mm | NFer Par. | FIPa mm | FISt mm | PsSt cm | Brac DirX | Brac DirY | AfSup cmq | AfInf cmq | Mat. N.ro | Lung cm | Rag. mm | Num Avv | Nod Con | Condz. Ambient | SpSol cm |
| | Mezz. Finale | 16 | 2 | 16 | 2 | 16 | 0 | 16 | 8 | 20 | 2 | 2 | 0,0 | 0,0 | | | | | | | |
| | Finale | 16 | 2 | 16 | 2 | 16 | 0 | 16 | 8 | 20 | 2 | 2 | 0,0 | 0,0 | | | | | | | |
| 165 | Iniz. | 16 | 2 | 16 | 2 | 16 | 0 | 16 | 8 | 20 | 2 | 2 | 0,0 | 0,0 | | | | | | | |
| | Mezz. | 16 | 2 | 16 | 2 | 16 | 0 | 16 | 8 | 20 | 2 | 2 | 0,0 | 0,0 | | | | | | | |
| | Finale | 16 | 2 | 16 | 2 | 16 | 0 | 16 | 8 | 20 | 2 | 2 | 0,0 | 0,0 | | | | | | | |
| 166 | Iniz. | 16 | 2 | 16 | 2 | 16 | 0 | 16 | 8 | 20 | 2 | 2 | 0,0 | 0,0 | | | | | | | |
| | Mezz. | 16 | 2 | 16 | 2 | 16 | 0 | 16 | 8 | 20 | 2 | 2 | 0,0 | 0,0 | | | | | | | |
| | Finale | 16 | 2 | 16 | 2 | 16 | 0 | 16 | 8 | 20 | 2 | 2 | 0,0 | 0,0 | | | | | | | |
| 167 | Iniz. | 16 | 2 | 16 | 2 | 16 | 0 | 16 | 8 | 20 | 2 | 2 | 0,0 | 0,0 | | | | | | | |
| | Mezz. | 16 | 2 | 16 | 2 | 16 | 0 | 16 | 8 | 20 | 2 | 2 | 0,0 | 0,0 | | | | | | | |
| | Finale | 16 | 2 | 16 | 2 | 16 | 0 | 16 | 8 | 20 | 2 | 2 | 0,0 | 0,0 | | | | | | | |
| 168 | Iniz. | 16 | 2 | 16 | 2 | 16 | 0 | 16 | 8 | 20 | 2 | 2 | 0,0 | 0,0 | | | | | | | |
| | Mezz. | 16 | 2 | 16 | 2 | 16 | 0 | 16 | 8 | 20 | 2 | 2 | 0,0 | 0,0 | | | | | | | |
| | Finale | 16 | 2 | 16 | 2 | 16 | 0 | 16 | 8 | 20 | 2 | 2 | 0,0 | 0,0 | | | | | | | |
| 169 | Iniz. | 16 | 2 | 16 | 2 | 16 | 0 | 16 | 8 | 20 | 2 | 2 | 0,0 | 0,0 | | | | | | | |
| | Mezz. | 16 | 2 | 16 | 2 | 16 | 0 | 16 | 8 | 20 | 2 | 2 | 0,0 | 0,0 | | | | | | | |
| | Finale | 16 | 2 | 16 | 2 | 16 | 0 | 16 | 8 | 20 | 2 | 2 | 0,0 | 0,0 | | | | | | | |
| 170 | Iniz. | 16 | 2 | 16 | 2 | 16 | 0 | 16 | 8 | 20 | 2 | 2 | 0,0 | 0,0 | | | | | | | |
| | Mezz. | 16 | 2 | 16 | 2 | 16 | 0 | 16 | 8 | 20 | 2 | 2 | 0,0 | 0,0 | | | | | | | |
| | Finale | 16 | 2 | 16 | 2 | 16 | 0 | 16 | 8 | 20 | 2 | 2 | 0,0 | 0,0 | | | | | | | |
| 171 | Iniz. | 16 | 2 | 16 | 2 | 16 | 0 | 16 | 8 | 20 | 2 | 2 | 0,0 | 0,0 | | | | | | | |
| | Mezz. | 16 | 2 | 16 | 2 | 16 | 0 | 16 | 8 | 20 | 2 | 2 | 0,0 | 0,0 | | | | | | | |
| | Finale | 16 | 2 | 16 | 2 | 16 | 0 | 16 | 8 | 20 | 2 | 2 | 0,0 | 0,0 | | | | | | | |
| 172 | Iniz. | 16 | 2 | 16 | 2 | 16 | 0 | 16 | 8 | 20 | 2 | 2 | 0,0 | 0,0 | | | | | | | |
| | Mezz. | 16 | 2 | 16 | 2 | 16 | 0 | 16 | 8 | 20 | 2 | 2 | 0,0 | 0,0 | | | | | | | |
| | Finale | 16 | 2 | 16 | 2 | 16 | 0 | 16 | 8 | 20 | 2 | 2 | 0,0 | 0,0 | | | | | | | |
| 173 | Iniz. | 16 | 2 | 16 | 2 | 16 | 0 | 16 | 8 | 20 | 2 | 2 | 0,0 | 0,0 | | | | | | | |
| | Mezz. | 16 | 2 | 16 | 2 | 16 | 0 | 16 | 8 | 20 | 2 | 2 | 0,0 | 0,0 | | | | | | | |
| | Finale | 16 | 2 | 16 | 2 | 16 | 0 | 16 | 8 | 20 | 2 | 2 | 0,0 | 0,0 | | | | | | | |
| 174 | Iniz. | 16 | 2 | 16 | 2 | 16 | 0 | 16 | 8 | 20 | 2 | 2 | 0,0 | 0,0 | | | | | | | |
| | Mezz. | 16 | 2 | 16 | 2 | 16 | 0 | 16 | 8 | 20 | 2 | 2 | 0,0 | 0,0 | | | | | | | |
| | Finale | 16 | 2 | 16 | 2 | 16 | 0 | 16 | 8 | 20 | 2 | 2 | 0,0 | 0,0 | | | | | | | |
| 175 | Iniz. | 16 | 2 | 16 | 2 | 16 | 0 | 16 | 8 | 20 | 2 | 2 | 0,0 | 0,0 | | | | | | | |
| | Mezz. | 16 | 2 | 16 | 2 | 16 | 0 | 16 | 8 | 20 | 2 | 2 | 0,0 | 0,0 | | | | | | | |
| | Finale | 16 | 2 | 16 | 2 | 16 | 0 | 16 | 8 | 20 | 2 | 2 | 0,0 | 0,0 | | | | | | | |
| 176 | Iniz. | 16 | 2 | 16 | 2 | 16 | 0 | 16 | 8 | 20 | 2 | 2 | 0,0 | 0,0 | | | | | | | |
| | Mezz. | 16 | 2 | 16 | 2 | 16 | 0 | 16 | 8 | 20 | 2 | 2 | 0,0 | 0,0 | | | | | | | |
| | Finale | 16 | 2 | 16 | 2 | 16 | 0 | 16 | 8 | 20 | 2 | 2 | 0,0 | 0,0 | | | | | | | |
| 177 | Iniz. | 16 | 2 | 16 | 2 | 16 | 0 | 16 | 8 | 20 | 2 | 2 | 0,0 | 0,0 | | | | | | | |
| | Mezz. | 16 | 2 | 16 | 2 | 16 | 0 | 16 | 8 | 20 | 2 | 2 | 0,0 | 0,0 | | | | | | | |
| | Finale | 16 | 2 | 16 | 2 | 16 | 0 | 16 | 8 | 20 | 2 | 2 | 0,0 | 0,0 | | | | | | | |
| 178 | Iniz. | 16 | 2 | 16 | 2 | 16 | 0 | 16 | 8 | 20 | 2 | 2 | 0,0 | 0,0 | | | | | | | |
| | Mezz. | 16 | 2 | 16 | 2 | 16 | 0 | 16 | 8 | 20 | 2 | 2 | 0,0 | 0,0 | | | | | | | |
| | Finale | 16 | 2 | 16 | 2 | 16 | 0 | 16 | 8 | 20 | 2 | 2 | 0,0 | 0,0 | | | | | | | |
| 179 | Iniz. | 16 | 2 | 16 | 2 | 16 | 0 | 16 | 8 | 20 | 2 | 2 | 0,0 | 0,0 | | | | | | | |
| | Mezz. | 16 | 2 | 16 | 2 | 16 | 0 | 16 | 8 | 20 | 2 | 2 | 0,0 | 0,0 | | | | | | | |
| | Finale | 16 | 2 | 16 | 2 | 16 | 0 | 16 | 8 | 20 | 2 | 2 | 0,0 | 0,0 | | | | | | | |
| 180 | Iniz. | 16 | 2 | 16 | 2 | 16 | 0 | 16 | 8 | 20 | 2 | 2 | 0,0 | 0,0 | | | | | | | |
| | Mezz. | 16 | 2 | 16 | 2 | 16 | 0 | 16 | 8 | 20 | 2 | 2 | 0,0 | 0,0 | | | | | | | |
| | Finale | 16 | 2 | 16 | 2 | 16 | 0 | 16 | 8 | 20 | 2 | 2 | 0,0 | 0,0 | | | | | | | |
| 181 | Iniz. | 16 | 2 | 16 | 2 | 16 | 0 | 16 | 8 | 20 | 2 | 2 | 0,0 | 0,0 | | | | | | | |
| | Mezz. | 16 | 2 | 16 | 2 | 16 | 0 | 16 | 8 | 20 | 2 | 2 | 0,0 | 0,0 | | | | | | | |
| | Finale | 16 | 2 | 16 | 2 | 16 | 0 | 16 | 8 | 20 | 2 | 2 | 0,0 | 0,0 | | | | | | | |
| 182 | Iniz. | 16 | 2 | 16 | 2 | 16 | 0 | 16 | 8 | 20 | 2 | 2 | 0,0 | 0,0 | | | | | | | |
| | Mezz. | 16 | 2 | 16 | 2 | 16 | 0 | 16 | 8 | 20 | 2 | 2 | 0,0 | 0,0 | | | | | | | |
| | Finale | 16 | 2 | 16 | 2 | 16 | 0 | 16 | 8 | 20 | 2 | 2 | 0,0 | 0,0 | | | | | | | |
| 183 | Iniz. | 16 | 2 | 16 | 2 | 16 | 0 | 16 | 8 | 20 | 2 | 2 | 0,0 | 0,0 | | | | | | | |
| | Mezz. | 16 | 2 | 16 | 2 | 16 | 0 | 16 | 8 | 20 | 2 | 2 | 0,0 | 0,0 | | | | | | | |
| | Finale | 16 | 2 | 16 | 2 | 16 | 0 | 16 | 8 | 20 | 2 | 2 | 0,0 | 0,0 | | | | | | | |

C.D.S.

DATI ARMATURE ASTE3D - SEZIONE RETTANGOLARE

ASTE IN C.A. CON SEZIONE RETTANGOLARE

| IDENTIFICATIVO | | ARMATURE DI INPUT | | | | | | | | | | | AGGIUNTIVE | | RINFORZO IN FRP | | | | | | | |
|----------------|--------|-------------------|-----------|---------|-----------|---------|-----------|---------|---------|---------|-----------|-----------|------------|-----------|-----------------|---------|---------|---------|---------|-----------------|----------|--|
| Asta Num. | Concio | FiSp mm | NFer Sup. | FiSu mm | NFer Inf. | Filn mm | NFer Par. | FIPa mm | FISt mm | PsSt cm | Brac DirX | Brac DirY | AfSup cmq | AfInf cmq | Mat. N.ro | Lung cm | Rag. mm | Num Avv | Nod Con | Condiz. Ambient | SpSol cm | |
| 184 | Iniz. | 16 | 2 | 16 | 2 | 16 | 0 | 16 | 8 | 20 | 2 | 2 | 0,0 | 0,0 | | | | | | | | |
| | Mezz. | 16 | 2 | 16 | 2 | 16 | 0 | 16 | 8 | 20 | 2 | 2 | 0,0 | 0,0 | | | | | | | | |
| | Finale | 16 | 2 | 16 | 2 | 16 | 0 | 16 | 8 | 20 | 2 | 2 | 0,0 | 0,0 | | | | | | | | |
| 185 | Iniz. | 16 | 2 | 16 | 2 | 16 | 0 | 16 | 8 | 20 | 2 | 2 | 0,0 | 0,0 | | | | | | | | |
| | Mezz. | 16 | 2 | 16 | 2 | 16 | 0 | 16 | 8 | 20 | 2 | 2 | 0,0 | 0,0 | | | | | | | | |
| | Finale | 16 | 2 | 16 | 2 | 16 | 0 | 16 | 8 | 20 | 2 | 2 | 0,0 | 0,0 | | | | | | | | |
| 186 | Iniz. | 16 | 2 | 16 | 2 | 16 | 0 | 16 | 8 | 20 | 2 | 2 | 0,0 | 0,0 | | | | | | | | |
| | Mezz. | 16 | 2 | 16 | 2 | 16 | 0 | 16 | 8 | 20 | 2 | 2 | 0,0 | 0,0 | | | | | | | | |
| | Finale | 16 | 2 | 16 | 2 | 16 | 0 | 16 | 8 | 20 | 2 | 2 | 0,0 | 0,0 | | | | | | | | |
| 187 | Iniz. | 16 | 2 | 16 | 2 | 16 | 0 | 16 | 8 | 20 | 2 | 2 | 0,0 | 0,0 | | | | | | | | |
| | Mezz. | 16 | 2 | 16 | 2 | 16 | 0 | 16 | 8 | 20 | 2 | 2 | 0,0 | 0,0 | | | | | | | | |
| | Finale | 16 | 2 | 16 | 2 | 16 | 0 | 16 | 8 | 20 | 2 | 2 | 0,0 | 0,0 | | | | | | | | |
| 188 | Iniz. | 16 | 2 | 16 | 2 | 16 | 0 | 16 | 8 | 20 | 2 | 2 | 0,0 | 0,0 | | | | | | | | |
| | Mezz. | 16 | 2 | 16 | 2 | 16 | 0 | 16 | 8 | 20 | 2 | 2 | 0,0 | 0,0 | | | | | | | | |
| | Finale | 16 | 2 | 16 | 2 | 16 | 0 | 16 | 8 | 20 | 2 | 2 | 0,0 | 0,0 | | | | | | | | |
| 189 | Iniz. | 16 | 2 | 16 | 2 | 16 | 0 | 16 | 8 | 20 | 2 | 2 | 0,0 | 0,0 | | | | | | | | |
| | Mezz. | 16 | 2 | 16 | 2 | 16 | 0 | 16 | 8 | 20 | 2 | 2 | 0,0 | 0,0 | | | | | | | | |
| | Finale | 16 | 2 | 16 | 2 | 16 | 0 | 16 | 8 | 20 | 2 | 2 | 0,0 | 0,0 | | | | | | | | |
| 190 | Iniz. | 16 | 2 | 16 | 2 | 16 | 0 | 16 | 8 | 20 | 2 | 2 | 0,0 | 0,0 | | | | | | | | |
| | Mezz. | 16 | 2 | 16 | 2 | 16 | 0 | 16 | 8 | 20 | 2 | 2 | 0,0 | 0,0 | | | | | | | | |
| | Finale | 16 | 2 | 16 | 2 | 16 | 0 | 16 | 8 | 20 | 2 | 2 | 0,0 | 0,0 | | | | | | | | |
| 191 | Iniz. | 16 | 2 | 16 | 2 | 16 | 0 | 16 | 8 | 20 | 2 | 2 | 0,0 | 0,0 | | | | | | | | |
| | Mezz. | 16 | 2 | 16 | 2 | 16 | 0 | 16 | 8 | 20 | 2 | 2 | 0,0 | 0,0 | | | | | | | | |
| | Finale | 16 | 2 | 16 | 2 | 16 | 0 | 16 | 8 | 20 | 2 | 2 | 0,0 | 0,0 | | | | | | | | |
| 192 | Iniz. | 16 | 2 | 16 | 2 | 16 | 0 | 16 | 8 | 20 | 2 | 2 | 0,0 | 0,0 | | | | | | | | |
| | Mezz. | 16 | 2 | 16 | 2 | 16 | 0 | 16 | 8 | 20 | 2 | 2 | 0,0 | 0,0 | | | | | | | | |
| | Finale | 16 | 2 | 16 | 2 | 16 | 0 | 16 | 8 | 20 | 2 | 2 | 0,0 | 0,0 | | | | | | | | |
| 193 | Iniz. | 16 | 2 | 16 | 2 | 16 | 0 | 16 | 8 | 20 | 2 | 2 | 0,0 | 0,0 | | | | | | | | |
| | Mezz. | 16 | 2 | 16 | 2 | 16 | 0 | 16 | 8 | 20 | 2 | 2 | 0,0 | 0,0 | | | | | | | | |
| | Finale | 16 | 2 | 16 | 2 | 16 | 0 | 16 | 8 | 20 | 2 | 2 | 0,0 | 0,0 | | | | | | | | |
| 194 | Iniz. | 16 | 2 | 16 | 2 | 16 | 0 | 16 | 8 | 20 | 2 | 2 | 0,0 | 0,0 | | | | | | | | |
| | Mezz. | 16 | 2 | 16 | 2 | 16 | 0 | 16 | 8 | 20 | 2 | 2 | 0,0 | 0,0 | | | | | | | | |
| | Finale | 16 | 2 | 16 | 2 | 16 | 0 | 16 | 8 | 20 | 2 | 2 | 0,0 | 0,0 | | | | | | | | |
| 195 | Iniz. | 16 | 2 | 16 | 2 | 16 | 0 | 16 | 8 | 20 | 2 | 2 | 0,0 | 0,0 | | | | | | | | |
| | Mezz. | 16 | 2 | 16 | 2 | 16 | 0 | 16 | 8 | 20 | 2 | 2 | 0,0 | 0,0 | | | | | | | | |
| | Finale | 16 | 2 | 16 | 2 | 16 | 0 | 16 | 8 | 20 | 2 | 2 | 0,0 | 0,0 | | | | | | | | |
| 196 | Iniz. | 16 | 2 | 16 | 2 | 16 | 0 | 16 | 8 | 20 | 2 | 2 | 0,0 | 0,0 | | | | | | | | |
| | Mezz. | 16 | 2 | 16 | 2 | 16 | 0 | 16 | 8 | 20 | 2 | 2 | 0,0 | 0,0 | | | | | | | | |
| | Finale | 16 | 2 | 16 | 2 | 16 | 0 | 16 | 8 | 20 | 2 | 2 | 0,0 | 0,0 | | | | | | | | |
| 197 | Iniz. | 16 | 2 | 16 | 2 | 16 | 0 | 16 | 8 | 20 | 2 | 2 | 0,0 | 0,0 | | | | | | | | |
| | Mezz. | 16 | 2 | 16 | 2 | 16 | 0 | 16 | 8 | 20 | 2 | 2 | 0,0 | 0,0 | | | | | | | | |
| | Finale | 16 | 2 | 16 | 2 | 16 | 0 | 16 | 8 | 20 | 2 | 2 | 0,0 | 0,0 | | | | | | | | |
| 198 | Iniz. | 16 | 2 | 16 | 2 | 16 | 0 | 16 | 8 | 20 | 2 | 2 | 0,0 | 0,0 | | | | | | | | |
| | Mezz. | 16 | 2 | 16 | 2 | 16 | 0 | 16 | 8 | 20 | 2 | 2 | 0,0 | 0,0 | | | | | | | | |
| | Finale | 16 | 2 | 16 | 2 | 16 | 0 | 16 | 8 | 20 | 2 | 2 | 0,0 | 0,0 | | | | | | | | |
| 199 | Iniz. | 16 | 2 | 16 | 2 | 16 | 0 | 16 | 8 | 20 | 2 | 2 | 0,0 | 0,0 | | | | | | | | |
| | Mezz. | 16 | 2 | 16 | 2 | 16 | 0 | 16 | 8 | 20 | 2 | 2 | 0,0 | 0,0 | | | | | | | | |
| | Finale | 16 | 2 | 16 | 2 | 16 | 0 | 16 | 8 | 20 | 2 | 2 | 0,0 | 0,0 | | | | | | | | |
| 200 | Iniz. | 16 | 2 | 16 | 2 | 16 | 0 | 16 | 8 | 20 | 2 | 2 | 0,0 | 0,0 | | | | | | | | |
| | Mezz. | 16 | 2 | 16 | 2 | 16 | 0 | 16 | 8 | 20 | 2 | 2 | 0,0 | 0,0 | | | | | | | | |
| | Finale | 16 | 2 | 16 | 2 | 16 | 0 | 16 | 8 | 20 | 2 | 2 | 0,0 | 0,0 | | | | | | | | |
| 201 | Iniz. | 16 | 2 | 16 | 2 | 16 | 0 | 16 | 8 | 20 | 2 | 2 | 0,0 | 0,0 | | | | | | | | |
| | Mezz. | 16 | 2 | 16 | 2 | 16 | 0 | 16 | 8 | 20 | 2 | 2 | 0,0 | 0,0 | | | | | | | | |
| | Finale | 16 | 2 | 16 | 2 | 16 | 0 | 16 | 8 | 20 | 2 | 2 | 0,0 | 0,0 | | | | | | | | |
| 202 | Iniz. | 16 | 2 | 16 | 2 | 16 | 0 | 16 | 8 | 20 | 2 | 2 | 0,0 | 0,0 | | | | | | | | |
| | Mezz. | 16 | 2 | 16 | 2 | 16 | 0 | 16 | 8 | 20 | 2 | 2 | 0,0 | 0,0 | | | | | | | | |
| | Finale | 16 | 2 | 16 | 2 | 16 | 0 | 16 | 8 | 20 | 2 | 2 | 0,0 | 0,0 | | | | | | | | |
| 203 | Iniz. | 16 | 2 | 16 | 2 | 16 | 0 | 16 | 8 | 20 | 2 | 2 | 0,0 | 0,0 | | | | | | | | |

DATI ARMATURE ASTE3D - SEZIONE RETTANGOLARE

ASTE IN C.A. CON SEZIONE RETTANGOLARE

| IDENTIFICATIVO | | ARMATURE DI INPUT | | | | | | | | | | | AGGIUNTIVE | | RINFORZO IN FRP | | | | | | |
|----------------|--------------|-------------------|-----------|---------|-----------|---------|-----------|---------|---------|---------|-----------|-----------|------------|-----------|-----------------|---------|---------|---------|---------|----------------|----------|
| Asta Num. | Concio | FiSp mm | NFer Sup. | FiSu mm | NFer Inf. | Filn mm | NFer Par. | FIPa mm | FISt mm | PsSt cm | Brac DirX | Brac DirY | AfSup cmq | AfInf cmq | Mat. N.ro | Lung cm | Rag. mm | Num Avv | Nod Con | Condz. Ambient | SpSol cm |
| | Mezz. Finale | 16 | 2 | 16 | 2 | 16 | 0 | 16 | 8 | 20 | 2 | 2 | 0,0 | 0,0 | | | | | | | |
| | Finale | 16 | 2 | 16 | 2 | 16 | 0 | 16 | 8 | 20 | 2 | 2 | 0,0 | 0,0 | | | | | | | |
| 204 | Iniz. | 16 | 2 | 16 | 2 | 16 | 0 | 16 | 8 | 20 | 2 | 2 | 0,0 | 0,0 | | | | | | | |
| | Mezz. | 16 | 2 | 16 | 2 | 16 | 0 | 16 | 8 | 20 | 2 | 2 | 0,0 | 0,0 | | | | | | | |
| | Finale | 16 | 2 | 16 | 2 | 16 | 0 | 16 | 8 | 20 | 2 | 2 | 0,0 | 0,0 | | | | | | | |
| 205 | Iniz. | 16 | 2 | 16 | 2 | 16 | 0 | 16 | 8 | 20 | 2 | 2 | 0,0 | 0,0 | | | | | | | |
| | Mezz. | 16 | 2 | 16 | 2 | 16 | 0 | 16 | 8 | 20 | 2 | 2 | 0,0 | 0,0 | | | | | | | |
| | Finale | 16 | 2 | 16 | 2 | 16 | 0 | 16 | 8 | 20 | 2 | 2 | 0,0 | 0,0 | | | | | | | |
| 206 | Iniz. | 16 | 2 | 16 | 2 | 16 | 0 | 16 | 8 | 20 | 2 | 2 | 0,0 | 0,0 | | | | | | | |
| | Mezz. | 16 | 2 | 16 | 2 | 16 | 0 | 16 | 8 | 20 | 2 | 2 | 0,0 | 0,0 | | | | | | | |
| | Finale | 16 | 2 | 16 | 2 | 16 | 0 | 16 | 8 | 20 | 2 | 2 | 0,0 | 0,0 | | | | | | | |
| 207 | Iniz. | 16 | 2 | 16 | 2 | 16 | 0 | 16 | 8 | 20 | 2 | 2 | 0,0 | 0,0 | | | | | | | |
| | Mezz. | 16 | 2 | 16 | 2 | 16 | 0 | 16 | 8 | 20 | 2 | 2 | 0,0 | 0,0 | | | | | | | |
| | Finale | 16 | 2 | 16 | 2 | 16 | 0 | 16 | 8 | 20 | 2 | 2 | 0,0 | 0,0 | | | | | | | |
| 208 | Iniz. | 16 | 2 | 16 | 2 | 16 | 0 | 16 | 8 | 20 | 2 | 2 | 0,0 | 0,0 | | | | | | | |
| | Mezz. | 16 | 2 | 16 | 2 | 16 | 0 | 16 | 8 | 20 | 2 | 2 | 0,0 | 0,0 | | | | | | | |
| | Finale | 16 | 2 | 16 | 2 | 16 | 0 | 16 | 8 | 20 | 2 | 2 | 0,0 | 0,0 | | | | | | | |
| 209 | Iniz. | 16 | 2 | 16 | 2 | 16 | 0 | 16 | 8 | 20 | 2 | 2 | 0,0 | 0,0 | | | | | | | |
| | Mezz. | 16 | 2 | 16 | 2 | 16 | 0 | 16 | 8 | 20 | 2 | 2 | 0,0 | 0,0 | | | | | | | |
| | Finale | 16 | 2 | 16 | 2 | 16 | 0 | 16 | 8 | 20 | 2 | 2 | 0,0 | 0,0 | | | | | | | |
| 210 | Iniz. | 16 | 2 | 16 | 2 | 16 | 0 | 16 | 8 | 20 | 2 | 2 | 0,0 | 0,0 | | | | | | | |
| | Mezz. | 16 | 2 | 16 | 2 | 16 | 0 | 16 | 8 | 20 | 2 | 2 | 0,0 | 0,0 | | | | | | | |
| | Finale | 16 | 2 | 16 | 2 | 16 | 0 | 16 | 8 | 20 | 2 | 2 | 0,0 | 0,0 | | | | | | | |
| 211 | Iniz. | 16 | 2 | 16 | 2 | 16 | 0 | 16 | 8 | 20 | 2 | 2 | 0,0 | 0,0 | | | | | | | |
| | Mezz. | 16 | 2 | 16 | 2 | 16 | 0 | 16 | 8 | 20 | 2 | 2 | 0,0 | 0,0 | | | | | | | |
| | Finale | 16 | 2 | 16 | 2 | 16 | 0 | 16 | 8 | 20 | 2 | 2 | 0,0 | 0,0 | | | | | | | |
| 212 | Iniz. | 16 | 2 | 16 | 2 | 16 | 0 | 16 | 8 | 20 | 2 | 2 | 0,0 | 0,0 | | | | | | | |
| | Mezz. | 16 | 2 | 16 | 2 | 16 | 0 | 16 | 8 | 20 | 2 | 2 | 0,0 | 0,0 | | | | | | | |
| | Finale | 16 | 2 | 16 | 2 | 16 | 0 | 16 | 8 | 20 | 2 | 2 | 0,0 | 0,0 | | | | | | | |
| 213 | Iniz. | 16 | 2 | 16 | 2 | 16 | 3 | 16 | 8 | 20 | 2 | 2 | 0,0 | 0,0 | | | | | | | |
| | Mezz. | 16 | 2 | 16 | 2 | 16 | 3 | 16 | 8 | 20 | 2 | 2 | 0,0 | 0,0 | | | | | | | |
| | Finale | 16 | 2 | 16 | 2 | 16 | 3 | 16 | 8 | 20 | 2 | 2 | 0,0 | 0,0 | | | | | | | |
| 214 | Iniz. | 16 | 2 | 16 | 2 | 16 | 3 | 16 | 8 | 20 | 2 | 2 | 0,0 | 0,0 | | | | | | | |
| | Mezz. | 16 | 2 | 16 | 2 | 16 | 3 | 16 | 8 | 20 | 2 | 2 | 0,0 | 0,0 | | | | | | | |
| | Finale | 16 | 2 | 16 | 2 | 16 | 3 | 16 | 8 | 20 | 2 | 2 | 0,0 | 0,0 | | | | | | | |
| 215 | Iniz. | 16 | 2 | 16 | 2 | 16 | 3 | 16 | 8 | 20 | 2 | 2 | 0,0 | 0,0 | | | | | | | |
| | Mezz. | 16 | 2 | 16 | 2 | 16 | 3 | 16 | 8 | 20 | 2 | 2 | 0,0 | 0,0 | | | | | | | |
| | Finale | 16 | 2 | 16 | 2 | 16 | 3 | 16 | 8 | 20 | 2 | 2 | 0,0 | 0,0 | | | | | | | |
| 216 | Iniz. | 16 | 2 | 16 | 2 | 16 | 3 | 16 | 8 | 20 | 2 | 2 | 0,0 | 0,0 | | | | | | | |
| | Mezz. | 16 | 2 | 16 | 2 | 16 | 3 | 16 | 8 | 20 | 2 | 2 | 0,0 | 0,0 | | | | | | | |
| | Finale | 16 | 2 | 16 | 2 | 16 | 3 | 16 | 8 | 20 | 2 | 2 | 0,0 | 0,0 | | | | | | | |
| 217 | Iniz. | 16 | 2 | 16 | 2 | 16 | 3 | 16 | 8 | 20 | 2 | 2 | 0,0 | 0,0 | | | | | | | |
| | Mezz. | 16 | 2 | 16 | 2 | 16 | 3 | 16 | 8 | 20 | 2 | 2 | 0,0 | 0,0 | | | | | | | |
| | Finale | 16 | 2 | 16 | 2 | 16 | 3 | 16 | 8 | 20 | 2 | 2 | 0,0 | 0,0 | | | | | | | |
| 218 | Iniz. | 16 | 2 | 16 | 2 | 16 | 3 | 16 | 8 | 20 | 2 | 2 | 0,0 | 0,0 | | | | | | | |
| | Mezz. | 16 | 2 | 16 | 2 | 16 | 3 | 16 | 8 | 20 | 2 | 2 | 0,0 | 0,0 | | | | | | | |
| | Finale | 16 | 2 | 16 | 2 | 16 | 3 | 16 | 8 | 20 | 2 | 2 | 0,0 | 0,0 | | | | | | | |
| 219 | Iniz. | 16 | 2 | 16 | 2 | 16 | 3 | 16 | 8 | 20 | 2 | 2 | 0,0 | 0,0 | | | | | | | |
| | Mezz. | 16 | 2 | 16 | 2 | 16 | 3 | 16 | 8 | 20 | 2 | 2 | 0,0 | 0,0 | | | | | | | |
| | Finale | 16 | 2 | 16 | 2 | 16 | 3 | 16 | 8 | 20 | 2 | 2 | 0,0 | 0,0 | | | | | | | |
| 220 | Iniz. | 16 | 2 | 16 | 2 | 16 | 3 | 16 | 8 | 20 | 2 | 2 | 0,0 | 0,0 | | | | | | | |
| | Mezz. | 16 | 2 | 16 | 2 | 16 | 3 | 16 | 8 | 20 | 2 | 2 | 0,0 | 0,0 | | | | | | | |
| | Finale | 16 | 2 | 16 | 2 | 16 | 3 | 16 | 8 | 20 | 2 | 2 | 0,0 | 0,0 | | | | | | | |
| 221 | Iniz. | 16 | 2 | 16 | 2 | 16 | 3 | 16 | 8 | 20 | 2 | 2 | 0,0 | 0,0 | | | | | | | |
| | Mezz. | 16 | 2 | 16 | 2 | 16 | 3 | 16 | 8 | 20 | 2 | 2 | 0,0 | 0,0 | | | | | | | |
| | Finale | 16 | 2 | 16 | 2 | 16 | 3 | 16 | 8 | 20 | 2 | 2 | 0,0 | 0,0 | | | | | | | |
| 222 | Iniz. | 16 | 2 | 16 | 2 | 16 | 3 | 16 | 8 | 20 | 2 | 2 | 0,0 | 0,0 | | | | | | | |
| | Mezz. | 16 | 2 | 16 | 2 | 16 | 3 | 16 | 8 | 20 | 2 | 2 | 0,0 | 0,0 | | | | | | | |
| | Finale | 16 | 2 | 16 | 2 | 16 | 3 | 16 | 8 | 20 | 2 | 2 | 0,0 | 0,0 | | | | | | | |

C.D.S.

| DATI ARMATURE ASTE3D - SEZIONE RETTANGOLARE | | | | | | | | | | | | | | | | | | | | | | |
|---|--------|-------------------|-----------|---------|-----------|---------|-----------|---------|---------|---------|-----------|-----------|------------|-----------|-----------------|---------|---------|---------|---------|-----------------|----------|--|
| ASTE IN C.A. CON SEZIONE RETTANGOLARE | | | | | | | | | | | | | | | | | | | | | | |
| IDENTIFICATIVO | | ARMATURE DI INPUT | | | | | | | | | | | AGGIUNTIVE | | RINFORZO IN FRP | | | | | | | |
| Asta Num. | Concio | FiSp mm | NFer Sup. | FiSu mm | NFer Inf. | Filn mm | NFer Par. | FIPa mm | FISt mm | PsSt cm | Brac DirX | Brac DirY | AfSup cmq | AfInf cmq | Mat. N.ro | Lung cm | Rag. mm | Num Avv | Nod Con | Condiz. Ambient | SpSol cm | |
| 223 | Iniz. | 16 | 2 | 16 | 2 | 16 | 3 | 16 | 8 | 20 | 2 | 2 | 0,0 | 0,0 | | | | | | | | |
| | Mezz. | 16 | 2 | 16 | 2 | 16 | 3 | 16 | 8 | 20 | 2 | 2 | 0,0 | 0,0 | | | | | | | | |
| 224 | Iniz. | 16 | 2 | 16 | 2 | 16 | 3 | 16 | 8 | 20 | 2 | 2 | 0,0 | 0,0 | | | | | | | | |
| | Mezz. | 16 | 2 | 16 | 2 | 16 | 3 | 16 | 8 | 20 | 2 | 2 | 0,0 | 0,0 | | | | | | | | |
| 225 | Iniz. | 16 | 2 | 16 | 2 | 16 | 3 | 16 | 8 | 20 | 2 | 2 | 0,0 | 0,0 | | | | | | | | |
| | Mezz. | 16 | 2 | 16 | 2 | 16 | 3 | 16 | 8 | 20 | 2 | 2 | 0,0 | 0,0 | | | | | | | | |
| 226 | Iniz. | 16 | 2 | 16 | 2 | 16 | 3 | 16 | 8 | 20 | 2 | 2 | 0,0 | 0,0 | | | | | | | | |
| | Mezz. | 16 | 2 | 16 | 2 | 16 | 3 | 16 | 8 | 20 | 2 | 2 | 0,0 | 0,0 | | | | | | | | |
| 227 | Iniz. | 16 | 2 | 16 | 2 | 16 | 3 | 16 | 8 | 20 | 2 | 2 | 0,0 | 0,0 | | | | | | | | |
| | Mezz. | 16 | 2 | 16 | 2 | 16 | 3 | 16 | 8 | 20 | 2 | 2 | 0,0 | 0,0 | | | | | | | | |
| 228 | Iniz. | 16 | 2 | 16 | 2 | 16 | 3 | 16 | 8 | 20 | 2 | 2 | 0,0 | 0,0 | | | | | | | | |
| | Mezz. | 16 | 2 | 16 | 2 | 16 | 3 | 16 | 8 | 20 | 2 | 2 | 0,0 | 0,0 | | | | | | | | |
| 229 | Iniz. | 16 | 2 | 16 | 2 | 16 | 3 | 16 | 8 | 20 | 2 | 2 | 0,0 | 0,0 | | | | | | | | |
| | Mezz. | 16 | 2 | 16 | 2 | 16 | 3 | 16 | 8 | 20 | 2 | 2 | 0,0 | 0,0 | | | | | | | | |
| 230 | Iniz. | 16 | 2 | 16 | 2 | 16 | 3 | 16 | 8 | 20 | 2 | 2 | 0,0 | 0,0 | | | | | | | | |
| | Mezz. | 16 | 2 | 16 | 2 | 16 | 3 | 16 | 8 | 20 | 2 | 2 | 0,0 | 0,0 | | | | | | | | |
| 231 | Iniz. | 16 | 2 | 16 | 2 | 16 | 3 | 16 | 8 | 20 | 2 | 2 | 0,0 | 0,0 | | | | | | | | |
| | Mezz. | 16 | 2 | 16 | 2 | 16 | 3 | 16 | 8 | 20 | 2 | 2 | 0,0 | 0,0 | | | | | | | | |
| 232 | Iniz. | 16 | 2 | 16 | 2 | 16 | 3 | 16 | 8 | 20 | 2 | 2 | 0,0 | 0,0 | | | | | | | | |
| | Mezz. | 16 | 2 | 16 | 2 | 16 | 3 | 16 | 8 | 20 | 2 | 2 | 0,0 | 0,0 | | | | | | | | |
| 233 | Iniz. | 16 | 2 | 16 | 2 | 16 | 3 | 16 | 8 | 20 | 2 | 2 | 0,0 | 0,0 | | | | | | | | |
| | Mezz. | 16 | 2 | 16 | 2 | 16 | 3 | 16 | 8 | 20 | 2 | 2 | 0,0 | 0,0 | | | | | | | | |
| 234 | Iniz. | 16 | 2 | 16 | 2 | 16 | 3 | 16 | 8 | 20 | 2 | 2 | 0,0 | 0,0 | | | | | | | | |
| | Mezz. | 16 | 2 | 16 | 2 | 16 | 3 | 16 | 8 | 20 | 2 | 2 | 0,0 | 0,0 | | | | | | | | |
| 235 | Iniz. | 16 | 2 | 16 | 2 | 16 | 3 | 16 | 8 | 20 | 2 | 2 | 0,0 | 0,0 | | | | | | | | |
| | Mezz. | 16 | 2 | 16 | 2 | 16 | 3 | 16 | 8 | 20 | 2 | 2 | 0,0 | 0,0 | | | | | | | | |
| 236 | Iniz. | 16 | 2 | 16 | 2 | 16 | 3 | 16 | 8 | 20 | 2 | 2 | 0,0 | 0,0 | | | | | | | | |
| | Mezz. | 16 | 2 | 16 | 2 | 16 | 3 | 16 | 8 | 20 | 2 | 2 | 0,0 | 0,0 | | | | | | | | |
| 237 | Iniz. | 16 | 2 | 16 | 2 | 16 | 3 | 16 | 8 | 20 | 2 | 2 | 0,0 | 0,0 | | | | | | | | |
| | Mezz. | 16 | 2 | 16 | 2 | 16 | 3 | 16 | 8 | 20 | 2 | 2 | 0,0 | 0,0 | | | | | | | | |
| 238 | Iniz. | 16 | 2 | 16 | 2 | 16 | 3 | 16 | 8 | 20 | 2 | 2 | 0,0 | 0,0 | | | | | | | | |
| | Mezz. | 16 | 2 | 16 | 2 | 16 | 3 | 16 | 8 | 20 | 2 | 2 | 0,0 | 0,0 | | | | | | | | |
| 239 | Iniz. | 16 | 2 | 16 | 2 | 16 | 3 | 16 | 8 | 20 | 2 | 2 | 0,0 | 0,0 | | | | | | | | |
| | Mezz. | 16 | 2 | 16 | 2 | 16 | 3 | 16 | 8 | 20 | 2 | 2 | 0,0 | 0,0 | | | | | | | | |
| 240 | Iniz. | 16 | 1 | 16 | 1 | 16 | 1 | 16 | 8 | 20 | 2 | 2 | 0,0 | 0,0 | | | | | | | | |
| | Mezz. | 16 | 1 | 16 | 1 | 16 | 1 | 16 | 8 | 20 | 2 | 2 | 0,0 | 0,0 | | | | | | | | |
| 241 | Iniz. | 16 | 2 | 16 | 2 | 16 | 3 | 16 | 8 | 20 | 2 | 2 | 0,0 | 0,0 | | | | | | | | |
| | Mezz. | 16 | 2 | 16 | 2 | 16 | 3 | 16 | 8 | 20 | 2 | 2 | 0,0 | 0,0 | | | | | | | | |
| 242 | Iniz. | 16 | 2 | 16 | 2 | 16 | 3 | 16 | 8 | 20 | 2 | 2 | 0,0 | 0,0 | | | | | | | | |
| | Mezz. | 16 | 2 | 16 | 2 | 16 | 3 | 16 | 8 | 20 | 2 | 2 | 0,0 | 0,0 | | | | | | | | |

| DATI ARMATURE ASTE3D - SEZIONE RETTANGOLARE | | | | | | | | | | | | | | | | | | | | | |
|---|--------------|-------------------|-----------|---------|-----------|---------|-----------|---------|---------|---------|-----------|-----------|------------|-----------|-----------------|---------|---------|---------|---------|----------------|----------|
| ASTE IN C.A. CON SEZIONE RETTANGOLARE | | | | | | | | | | | | | | | | | | | | | |
| IDENTIFICATIVO | | ARMATURE DI INPUT | | | | | | | | | | | AGGIUNTIVE | | RINFORZO IN FRP | | | | | | |
| Asta Num. | Concio | FiSp mm | NFer Sup. | FiSu mm | NFer Inf. | Filn mm | NFer Par. | FIPa mm | FISt mm | PsSt cm | Brac DirX | Brac DirY | AfSup cmq | AfInf cmq | Mat. N.ro | Lung cm | Rag. mm | Num Avv | Nod Con | Condz. Ambient | SpSol cm |
| | Mezz. Finale | 16 | 2 | 16 | 2 | 16 | 3 | 16 | 8 | 20 | 2 | 2 | 0,0 | 0,0 | | | | | | | |
| 243 | Iniz. | 16 | 1 | 16 | 1 | 16 | 1 | 16 | 8 | 20 | 2 | 2 | 0,0 | 0,0 | | | | | | | |
| | Mezz. Finale | 16 | 1 | 16 | 1 | 16 | 1 | 16 | 8 | 20 | 2 | 2 | 0,0 | 0,0 | | | | | | | |
| 244 | Iniz. | 16 | 1 | 16 | 1 | 16 | 1 | 16 | 8 | 20 | 2 | 2 | 0,0 | 0,0 | | | | | | | |
| | Mezz. Finale | 16 | 1 | 16 | 1 | 16 | 1 | 16 | 8 | 20 | 2 | 2 | 0,0 | 0,0 | | | | | | | |
| 245 | Iniz. | 16 | 1 | 16 | 1 | 16 | 1 | 16 | 8 | 20 | 2 | 2 | 0,0 | 0,0 | | | | | | | |
| | Mezz. Finale | 16 | 1 | 16 | 1 | 16 | 1 | 16 | 8 | 20 | 2 | 2 | 0,0 | 0,0 | | | | | | | |
| 246 | Iniz. | 16 | 1 | 16 | 1 | 16 | 1 | 16 | 8 | 20 | 2 | 2 | 0,0 | 0,0 | | | | | | | |
| | Mezz. Finale | 16 | 1 | 16 | 1 | 16 | 1 | 16 | 8 | 20 | 2 | 2 | 0,0 | 0,0 | | | | | | | |
| 247 | Iniz. | 16 | 1 | 16 | 1 | 16 | 1 | 16 | 8 | 20 | 2 | 2 | 0,0 | 0,0 | | | | | | | |
| | Mezz. Finale | 16 | 1 | 16 | 1 | 16 | 1 | 16 | 8 | 20 | 2 | 2 | 0,0 | 0,0 | | | | | | | |
| 248 | Iniz. | 16 | 1 | 16 | 1 | 16 | 1 | 16 | 8 | 20 | 2 | 2 | 0,0 | 0,0 | | | | | | | |
| | Mezz. Finale | 16 | 1 | 16 | 1 | 16 | 1 | 16 | 8 | 20 | 2 | 2 | 0,0 | 0,0 | | | | | | | |
| 249 | Iniz. | 16 | 1 | 16 | 1 | 16 | 1 | 16 | 8 | 20 | 2 | 2 | 0,0 | 0,0 | | | | | | | |
| | Mezz. Finale | 16 | 1 | 16 | 1 | 16 | 1 | 16 | 8 | 20 | 2 | 2 | 0,0 | 0,0 | | | | | | | |
| 250 | Iniz. | 16 | 1 | 16 | 1 | 16 | 1 | 16 | 8 | 20 | 2 | 2 | 0,0 | 0,0 | | | | | | | |
| | Mezz. Finale | 16 | 1 | 16 | 1 | 16 | 1 | 16 | 8 | 20 | 2 | 2 | 0,0 | 0,0 | | | | | | | |
| 251 | Iniz. | 16 | 1 | 16 | 1 | 16 | 1 | 16 | 8 | 20 | 2 | 2 | 0,0 | 0,0 | | | | | | | |
| | Mezz. Finale | 16 | 1 | 16 | 1 | 16 | 1 | 16 | 8 | 20 | 2 | 2 | 0,0 | 0,0 | | | | | | | |
| 252 | Iniz. | 16 | 1 | 16 | 1 | 16 | 1 | 16 | 8 | 20 | 2 | 2 | 0,0 | 0,0 | | | | | | | |
| | Mezz. Finale | 16 | 1 | 16 | 1 | 16 | 1 | 16 | 8 | 20 | 2 | 2 | 0,0 | 0,0 | | | | | | | |
| 253 | Iniz. | 16 | 2 | 16 | 2 | 16 | 3 | 16 | 8 | 20 | 2 | 2 | 0,0 | 0,0 | | | | | | | |
| | Mezz. Finale | 16 | 2 | 16 | 2 | 16 | 3 | 16 | 8 | 20 | 2 | 2 | 0,0 | 0,0 | | | | | | | |
| 254 | Iniz. | 16 | 2 | 16 | 2 | 16 | 3 | 16 | 8 | 20 | 2 | 2 | 0,0 | 0,0 | | | | | | | |
| | Mezz. Finale | 16 | 2 | 16 | 2 | 16 | 3 | 16 | 8 | 20 | 2 | 2 | 0,0 | 0,0 | | | | | | | |
| 255 | Iniz. | 16 | 2 | 16 | 2 | 16 | 0 | 16 | 8 | 20 | 2 | 2 | 0,0 | 0,0 | | | | | | | |
| | Mezz. | 16 | 2 | 16 | 2 | 16 | 0 | 16 | 8 | 20 | 2 | 2 | 0,0 | 0,0 | | | | | | | |
| | Finale | 16 | 2 | 16 | 2 | 16 | 0 | 16 | 8 | 20 | 2 | 2 | 0,0 | 0,0 | | | | | | | |
| 256 | Iniz. | 16 | 2 | 16 | 2 | 16 | 0 | 16 | 8 | 20 | 2 | 2 | 0,0 | 0,0 | | | | | | | |
| | Mezz. | 16 | 2 | 16 | 2 | 16 | 0 | 16 | 8 | 20 | 2 | 2 | 0,0 | 0,0 | | | | | | | |
| | Finale | 16 | 2 | 16 | 2 | 16 | 0 | 16 | 8 | 20 | 2 | 2 | 0,0 | 0,0 | | | | | | | |
| 257 | Iniz. | 16 | 2 | 16 | 2 | 16 | 0 | 16 | 8 | 20 | 2 | 2 | 0,0 | 0,0 | | | | | | | |
| | Mezz. | 16 | 2 | 16 | 2 | 16 | 0 | 16 | 8 | 20 | 2 | 2 | 0,0 | 0,0 | | | | | | | |
| | Finale | 16 | 2 | 16 | 2 | 16 | 0 | 16 | 8 | 20 | 2 | 2 | 0,0 | 0,0 | | | | | | | |
| 258 | Iniz. | 16 | 2 | 16 | 2 | 16 | 0 | 16 | 8 | 20 | 2 | 2 | 0,0 | 0,0 | | | | | | | |
| | Mezz. | 16 | 2 | 16 | 2 | 16 | 0 | 16 | 8 | 20 | 2 | 2 | 0,0 | 0,0 | | | | | | | |
| | Finale | 16 | 2 | 16 | 2 | 16 | 0 | 16 | 8 | 20 | 2 | 2 | 0,0 | 0,0 | | | | | | | |
| 259 | Iniz. | 16 | 2 | 16 | 2 | 16 | 0 | 16 | 8 | 20 | 2 | 2 | 0,0 | 0,0 | | | | | | | |
| | Mezz. | 16 | 2 | 16 | 2 | 16 | 0 | 16 | 8 | 20 | 2 | 2 | 0,0 | 0,0 | | | | | | | |
| | Finale | 16 | 2 | 16 | 2 | 16 | 0 | 16 | 8 | 20 | 2 | 2 | 0,0 | 0,0 | | | | | | | |
| 260 | Iniz. | 16 | 2 | 16 | 2 | 16 | 0 | 16 | 8 | 20 | 2 | 2 | 0,0 | 0,0 | | | | | | | |
| | Mezz. | 16 | 2 | 16 | 2 | 16 | 0 | 16 | 8 | 20 | 2 | 2 | 0,0 | 0,0 | | | | | | | |
| | Finale | 16 | 2 | 16 | 2 | 16 | 0 | 16 | 8 | 20 | 2 | 2 | 0,0 | 0,0 | | | | | | | |
| 261 | Iniz. | 16 | 2 | 16 | 2 | 16 | 0 | 16 | 8 | 20 | 2 | 2 | 0,0 | 0,0 | | | | | | | |
| | Mezz. | 16 | 2 | 16 | 2 | 16 | 0 | 16 | 8 | 20 | 2 | 2 | 0,0 | 0,0 | | | | | | | |
| | Finale | 16 | 2 | 16 | 2 | 16 | 0 | 16 | 8 | 20 | 2 | 2 | 0,0 | 0,0 | | | | | | | |

C.D.S.

| DATI ARMATURE ASTE3D - SEZIONE RETTANGOLARE | | | | | | | | | | | | | | | | | | | | | | |
|---|--------|-------------------|-----------|---------|-----------|---------|-----------|---------|---------|---------|-----------|-----------|------------|-----------|-----------------|---------|---------|---------|---------|----------------|----------|--|
| ASTE IN C.A. CON SEZIONE RETTANGOLARE | | | | | | | | | | | | | | | | | | | | | | |
| IDENTIFICATIVO | | ARMATURE DI INPUT | | | | | | | | | | | AGGIUNTIVE | | RINFORZO IN FRP | | | | | | | |
| Asta Num. | Concio | FiSp mm | NFer Sup. | FiSu mm | NFer Inf. | Filn mm | NFer Par. | FIPa mm | FISt mm | PsSt cm | Brac DirX | Brac DirY | AfSup cmq | AfInf cmq | Mat. N.ro | Lung cm | Rag. mm | Num Avv | Nod Con | Condz. Ambient | SpSol cm | |
| 262 | Iniz. | 16 | 2 | 16 | 2 | 16 | 0 | 16 | 8 | 20 | 2 | 2 | 0,0 | 0,0 | | | | | | | | |
| | Mezz. | 16 | 2 | 16 | 2 | 16 | 0 | 16 | 8 | 20 | 2 | 2 | 0,0 | 0,0 | | | | | | | | |
| | Finale | 16 | 2 | 16 | 2 | 16 | 0 | 16 | 8 | 20 | 2 | 2 | 0,0 | 0,0 | | | | | | | | |
| 263 | Iniz. | 16 | 2 | 16 | 2 | 16 | 0 | 16 | 8 | 20 | 2 | 2 | 0,0 | 0,0 | | | | | | | | |
| | Mezz. | 16 | 2 | 16 | 2 | 16 | 0 | 16 | 8 | 20 | 2 | 2 | 0,0 | 0,0 | | | | | | | | |
| | Finale | 16 | 2 | 16 | 2 | 16 | 0 | 16 | 8 | 20 | 2 | 2 | 0,0 | 0,0 | | | | | | | | |
| 264 | Iniz. | 16 | 2 | 16 | 2 | 16 | 0 | 16 | 8 | 20 | 2 | 2 | 0,0 | 0,0 | | | | | | | | |
| | Mezz. | 16 | 2 | 16 | 2 | 16 | 0 | 16 | 8 | 20 | 2 | 2 | 0,0 | 0,0 | | | | | | | | |
| | Finale | 16 | 2 | 16 | 2 | 16 | 0 | 16 | 8 | 20 | 2 | 2 | 0,0 | 0,0 | | | | | | | | |
| 265 | Iniz. | 16 | 2 | 16 | 2 | 16 | 0 | 16 | 8 | 20 | 2 | 2 | 0,0 | 0,0 | | | | | | | | |
| | Mezz. | 16 | 2 | 16 | 2 | 16 | 0 | 16 | 8 | 20 | 2 | 2 | 0,0 | 0,0 | | | | | | | | |
| | Finale | 16 | 2 | 16 | 2 | 16 | 0 | 16 | 8 | 20 | 2 | 2 | 0,0 | 0,0 | | | | | | | | |
| 266 | Iniz. | 16 | 2 | 16 | 2 | 16 | 0 | 16 | 8 | 20 | 2 | 2 | 0,0 | 0,0 | | | | | | | | |
| | Mezz. | 16 | 2 | 16 | 2 | 16 | 0 | 16 | 8 | 20 | 2 | 2 | 0,0 | 0,0 | | | | | | | | |
| | Finale | 16 | 2 | 16 | 2 | 16 | 0 | 16 | 8 | 20 | 2 | 2 | 0,0 | 0,0 | | | | | | | | |
| 267 | Iniz. | 16 | 2 | 16 | 2 | 16 | 0 | 16 | 8 | 20 | 2 | 2 | 0,0 | 0,0 | | | | | | | | |
| | Mezz. | 16 | 2 | 16 | 2 | 16 | 0 | 16 | 8 | 20 | 2 | 2 | 0,0 | 0,0 | | | | | | | | |
| | Finale | 16 | 2 | 16 | 2 | 16 | 0 | 16 | 8 | 20 | 2 | 2 | 0,0 | 0,0 | | | | | | | | |
| 268 | Iniz. | 16 | 2 | 16 | 2 | 16 | 0 | 16 | 8 | 20 | 2 | 2 | 0,0 | 0,0 | | | | | | | | |
| | Mezz. | 16 | 2 | 16 | 2 | 16 | 0 | 16 | 8 | 20 | 2 | 2 | 0,0 | 0,0 | | | | | | | | |
| | Finale | 16 | 2 | 16 | 2 | 16 | 0 | 16 | 8 | 20 | 2 | 2 | 0,0 | 0,0 | | | | | | | | |
| 269 | Iniz. | 16 | 2 | 16 | 2 | 16 | 0 | 16 | 8 | 20 | 2 | 2 | 0,0 | 0,0 | | | | | | | | |
| | Mezz. | 16 | 2 | 16 | 2 | 16 | 0 | 16 | 8 | 20 | 2 | 2 | 0,0 | 0,0 | | | | | | | | |
| | Finale | 16 | 2 | 16 | 2 | 16 | 0 | 16 | 8 | 20 | 2 | 2 | 0,0 | 0,0 | | | | | | | | |
| 270 | Iniz. | 16 | 2 | 16 | 2 | 16 | 0 | 16 | 8 | 20 | 2 | 2 | 0,0 | 0,0 | | | | | | | | |
| | Mezz. | 16 | 2 | 16 | 2 | 16 | 0 | 16 | 8 | 20 | 2 | 2 | 0,0 | 0,0 | | | | | | | | |
| | Finale | 16 | 2 | 16 | 2 | 16 | 0 | 16 | 8 | 20 | 2 | 2 | 0,0 | 0,0 | | | | | | | | |
| 271 | Iniz. | 16 | 2 | 16 | 2 | 16 | 0 | 16 | 8 | 20 | 2 | 2 | 0,0 | 0,0 | | | | | | | | |
| | Mezz. | 16 | 2 | 16 | 2 | 16 | 0 | 16 | 8 | 20 | 2 | 2 | 0,0 | 0,0 | | | | | | | | |
| | Finale | 16 | 2 | 16 | 2 | 16 | 0 | 16 | 8 | 20 | 2 | 2 | 0,0 | 0,0 | | | | | | | | |
| 272 | Iniz. | 16 | 2 | 16 | 2 | 16 | 0 | 16 | 8 | 20 | 2 | 2 | 0,0 | 0,0 | | | | | | | | |
| | Mezz. | 16 | 2 | 16 | 2 | 16 | 0 | 16 | 8 | 20 | 2 | 2 | 0,0 | 0,0 | | | | | | | | |
| | Finale | 16 | 2 | 16 | 2 | 16 | 0 | 16 | 8 | 20 | 2 | 2 | 0,0 | 0,0 | | | | | | | | |
| 273 | Iniz. | 16 | 2 | 16 | 2 | 16 | 0 | 16 | 8 | 20 | 2 | 2 | 0,0 | 0,0 | | | | | | | | |
| | Mezz. | 16 | 2 | 16 | 2 | 16 | 0 | 16 | 8 | 20 | 2 | 2 | 0,0 | 0,0 | | | | | | | | |
| | Finale | 16 | 2 | 16 | 2 | 16 | 0 | 16 | 8 | 20 | 2 | 2 | 0,0 | 0,0 | | | | | | | | |
| 274 | Iniz. | 16 | 2 | 16 | 2 | 16 | 0 | 16 | 8 | 20 | 2 | 2 | 0,0 | 0,0 | | | | | | | | |
| | Mezz. | 16 | 2 | 16 | 2 | 16 | 0 | 16 | 8 | 20 | 2 | 2 | 0,0 | 0,0 | | | | | | | | |
| | Finale | 16 | 2 | 16 | 2 | 16 | 0 | 16 | 8 | 20 | 2 | 2 | 0,0 | 0,0 | | | | | | | | |
| 275 | Iniz. | 16 | 2 | 16 | 2 | 16 | 0 | 16 | 8 | 20 | 2 | 2 | 0,0 | 0,0 | | | | | | | | |
| | Mezz. | 16 | 2 | 16 | 2 | 16 | 0 | 16 | 8 | 20 | 2 | 2 | 0,0 | 0,0 | | | | | | | | |
| | Finale | 16 | 2 | 16 | 2 | 16 | 0 | 16 | 8 | 20 | 2 | 2 | 0,0 | 0,0 | | | | | | | | |
| 276 | Iniz. | 16 | 2 | 16 | 2 | 16 | 0 | 16 | 8 | 20 | 2 | 2 | 0,0 | 0,0 | | | | | | | | |
| | Mezz. | 16 | 2 | 16 | 2 | 16 | 0 | 16 | 8 | 20 | 2 | 2 | 0,0 | 0,0 | | | | | | | | |
| | Finale | 16 | 2 | 16 | 2 | 16 | 0 | 16 | 8 | 20 | 2 | 2 | 0,0 | 0,0 | | | | | | | | |
| 277 | Iniz. | 16 | 2 | 16 | 2 | 16 | 0 | 16 | 8 | 20 | 2 | 2 | 0,0 | 0,0 | | | | | | | | |
| | Mezz. | 16 | 2 | 16 | 2 | 16 | 0 | 16 | 8 | 20 | 2 | 2 | 0,0 | 0,0 | | | | | | | | |
| | Finale | 16 | 2 | 16 | 2 | 16 | 0 | 16 | 8 | 20 | 2 | 2 | 0,0 | 0,0 | | | | | | | | |
| 278 | Iniz. | 16 | 2 | 16 | 2 | 16 | 0 | 16 | 8 | 20 | 2 | 2 | 0,0 | 0,0 | | | | | | | | |
| | Mezz. | 16 | 2 | 16 | 2 | 16 | 0 | 16 | 8 | 20 | 2 | 2 | 0,0 | 0,0 | | | | | | | | |
| | Finale | 16 | 2 | 16 | 2 | 16 | 0 | 16 | 8 | 20 | 2 | 2 | 0,0 | 0,0 | | | | | | | | |
| 279 | Iniz. | 16 | 2 | 16 | 2 | 16 | 0 | 16 | 8 | 20 | 2 | 2 | 0,0 | 0,0 | | | | | | | | |
| | Mezz. | 16 | 2 | 16 | 2 | 16 | 0 | 16 | 8 | 20 | 2 | 2 | 0,0 | 0,0 | | | | | | | | |
| | Finale | 16 | 2 | 16 | 2 | 16 | 0 | 16 | 8 | 20 | 2 | 2 | 0,0 | 0,0 | | | | | | | | |
| 280 | Iniz. | 16 | 2 | 16 | 2 | 16 | 0 | 16 | 8 | 20 | 2 | 2 | 0,0 | 0,0 | | | | | | | | |
| | Mezz. | 16 | 2 | 16 | 2 | 16 | 0 | 16 | 8 | 20 | 2 | 2 | 0,0 | 0,0 | | | | | | | | |
| | Finale | 16 | 2 | 16 | 2 | 16 | 0 | 16 | 8 | 20 | 2 | 2 | 0,0 | 0,0 | | | | | | | | |
| 281 | Iniz. | 16 | 2 | 16 | 2 | 16 | 0 | 16 | 8 | 20 | 2 | 2 | 0,0 | 0,0 | | | | | | | | |

DATI ARMATURE ASTE3D - SEZIONE RETTANGOLARE

ASTE IN C.A. CON SEZIONE RETTANGOLARE

| IDENTIFICATIVO | | ARMATURE DI INPUT | | | | | | | | | | | AGGIUNTIVE | | RINFORZO IN FRP | | | | | | |
|----------------|--------------|-------------------|-----------|---------|-----------|---------|-----------|---------|---------|---------|-----------|-----------|------------|-----------|-----------------|---------|---------|---------|---------|----------------|----------|
| Asta Num. | Concio | FIsp mm | NFer Sup. | FISu mm | NFer Inf. | FIlm mm | NFer Par. | FIPa mm | FISt mm | PsSt cm | Brac DirX | Brac DirY | AfSup cmq | AfInf cmq | Mat. N.ro | Lung cm | Rag. mm | Num Avv | Nod Con | Condz. Ambient | SpSol cm |
| | Mezz. Finale | 16 | 2 | 16 | 2 | 16 | 0 | 16 | 8 | 20 | 2 | 2 | 0,0 | 0,0 | | | | | | | |
| | Finale | 16 | 2 | 16 | 2 | 16 | 0 | 16 | 8 | 20 | 2 | 2 | 0,0 | 0,0 | | | | | | | |
| 282 | Iniz. | 16 | 2 | 16 | 2 | 16 | 0 | 16 | 8 | 20 | 2 | 2 | 0,0 | 0,0 | | | | | | | |
| | Mezz. | 16 | 2 | 16 | 2 | 16 | 0 | 16 | 8 | 20 | 2 | 2 | 0,0 | 0,0 | | | | | | | |
| | Finale | 16 | 2 | 16 | 2 | 16 | 0 | 16 | 8 | 20 | 2 | 2 | 0,0 | 0,0 | | | | | | | |
| 283 | Iniz. | 16 | 2 | 16 | 2 | 16 | 0 | 16 | 8 | 20 | 2 | 2 | 0,0 | 0,0 | | | | | | | |
| | Mezz. | 16 | 2 | 16 | 2 | 16 | 0 | 16 | 8 | 20 | 2 | 2 | 0,0 | 0,0 | | | | | | | |
| | Finale | 16 | 2 | 16 | 2 | 16 | 0 | 16 | 8 | 20 | 2 | 2 | 0,0 | 0,0 | | | | | | | |
| 284 | Iniz. | 16 | 2 | 16 | 2 | 16 | 0 | 16 | 8 | 20 | 2 | 2 | 0,0 | 0,0 | | | | | | | |
| | Mezz. | 16 | 2 | 16 | 2 | 16 | 0 | 16 | 8 | 20 | 2 | 2 | 0,0 | 0,0 | | | | | | | |
| | Finale | 16 | 2 | 16 | 2 | 16 | 0 | 16 | 8 | 20 | 2 | 2 | 0,0 | 0,0 | | | | | | | |
| 285 | Iniz. | 16 | 2 | 16 | 2 | 16 | 0 | 16 | 8 | 20 | 2 | 2 | 0,0 | 0,0 | | | | | | | |
| | Mezz. | 16 | 2 | 16 | 2 | 16 | 0 | 16 | 8 | 20 | 2 | 2 | 0,0 | 0,0 | | | | | | | |
| | Finale | 16 | 2 | 16 | 2 | 16 | 0 | 16 | 8 | 20 | 2 | 2 | 0,0 | 0,0 | | | | | | | |
| 286 | Iniz. | 16 | 2 | 16 | 2 | 16 | 0 | 16 | 8 | 20 | 2 | 2 | 0,0 | 0,0 | | | | | | | |
| | Mezz. | 16 | 2 | 16 | 2 | 16 | 0 | 16 | 8 | 20 | 2 | 2 | 0,0 | 0,0 | | | | | | | |
| | Finale | 16 | 2 | 16 | 2 | 16 | 0 | 16 | 8 | 20 | 2 | 2 | 0,0 | 0,0 | | | | | | | |
| 287 | Iniz. | 16 | 2 | 16 | 2 | 16 | 0 | 16 | 8 | 20 | 2 | 2 | 0,0 | 0,0 | | | | | | | |
| | Mezz. | 16 | 2 | 16 | 2 | 16 | 0 | 16 | 8 | 20 | 2 | 2 | 0,0 | 0,0 | | | | | | | |
| | Finale | 16 | 2 | 16 | 2 | 16 | 0 | 16 | 8 | 20 | 2 | 2 | 0,0 | 0,0 | | | | | | | |
| 288 | Iniz. | 16 | 2 | 16 | 2 | 16 | 0 | 16 | 8 | 20 | 2 | 2 | 0,0 | 0,0 | | | | | | | |
| | Mezz. | 16 | 2 | 16 | 2 | 16 | 0 | 16 | 8 | 20 | 2 | 2 | 0,0 | 0,0 | | | | | | | |
| | Finale | 16 | 2 | 16 | 2 | 16 | 0 | 16 | 8 | 20 | 2 | 2 | 0,0 | 0,0 | | | | | | | |
| 289 | Iniz. | 16 | 2 | 16 | 2 | 16 | 0 | 16 | 8 | 20 | 2 | 2 | 0,0 | 0,0 | | | | | | | |
| | Mezz. | 16 | 2 | 16 | 2 | 16 | 0 | 16 | 8 | 20 | 2 | 2 | 0,0 | 0,0 | | | | | | | |
| | Finale | 16 | 2 | 16 | 2 | 16 | 0 | 16 | 8 | 20 | 2 | 2 | 0,0 | 0,0 | | | | | | | |
| 290 | Iniz. | 16 | 2 | 16 | 2 | 16 | 0 | 16 | 8 | 20 | 2 | 2 | 0,0 | 0,0 | | | | | | | |
| | Mezz. | 16 | 2 | 16 | 2 | 16 | 0 | 16 | 8 | 20 | 2 | 2 | 0,0 | 0,0 | | | | | | | |
| | Finale | 16 | 2 | 16 | 2 | 16 | 0 | 16 | 8 | 20 | 2 | 2 | 0,0 | 0,0 | | | | | | | |
| 291 | Iniz. | 16 | 2 | 16 | 2 | 16 | 0 | 16 | 8 | 20 | 2 | 2 | 0,0 | 0,0 | | | | | | | |
| | Mezz. | 16 | 2 | 16 | 2 | 16 | 0 | 16 | 8 | 20 | 2 | 2 | 0,0 | 0,0 | | | | | | | |
| | Finale | 16 | 2 | 16 | 2 | 16 | 0 | 16 | 8 | 20 | 2 | 2 | 0,0 | 0,0 | | | | | | | |
| 292 | Iniz. | 16 | 2 | 16 | 2 | 16 | 0 | 16 | 8 | 20 | 2 | 2 | 0,0 | 0,0 | | | | | | | |
| | Mezz. | 16 | 2 | 16 | 2 | 16 | 0 | 16 | 8 | 20 | 2 | 2 | 0,0 | 0,0 | | | | | | | |
| | Finale | 16 | 2 | 16 | 2 | 16 | 0 | 16 | 8 | 20 | 2 | 2 | 0,0 | 0,0 | | | | | | | |
| 293 | Iniz. | 16 | 2 | 16 | 2 | 16 | 0 | 16 | 8 | 20 | 2 | 2 | 0,0 | 0,0 | | | | | | | |
| | Mezz. | 16 | 2 | 16 | 2 | 16 | 0 | 16 | 8 | 20 | 2 | 2 | 0,0 | 0,0 | | | | | | | |
| | Finale | 16 | 2 | 16 | 2 | 16 | 0 | 16 | 8 | 20 | 2 | 2 | 0,0 | 0,0 | | | | | | | |
| 294 | Iniz. | 16 | 2 | 16 | 2 | 16 | 0 | 16 | 8 | 20 | 2 | 2 | 0,0 | 0,0 | | | | | | | |
| | Mezz. | 16 | 2 | 16 | 2 | 16 | 0 | 16 | 8 | 20 | 2 | 2 | 0,0 | 0,0 | | | | | | | |
| | Finale | 16 | 2 | 16 | 2 | 16 | 0 | 16 | 8 | 20 | 2 | 2 | 0,0 | 0,0 | | | | | | | |
| 295 | Iniz. | 16 | 2 | 16 | 2 | 16 | 0 | 16 | 8 | 20 | 2 | 2 | 0,0 | 0,0 | | | | | | | |
| | Mezz. | 16 | 2 | 16 | 2 | 16 | 0 | 16 | 8 | 20 | 2 | 2 | 0,0 | 0,0 | | | | | | | |
| | Finale | 16 | 2 | 16 | 2 | 16 | 0 | 16 | 8 | 20 | 2 | 2 | 0,0 | 0,0 | | | | | | | |
| 296 | Iniz. | 16 | 2 | 16 | 2 | 16 | 0 | 16 | 8 | 20 | 2 | 2 | 0,0 | 0,0 | | | | | | | |
| | Mezz. | 16 | 2 | 16 | 2 | 16 | 0 | 16 | 8 | 20 | 2 | 2 | 0,0 | 0,0 | | | | | | | |
| | Finale | 16 | 2 | 16 | 2 | 16 | 0 | 16 | 8 | 20 | 2 | 2 | 0,0 | 0,0 | | | | | | | |
| 297 | Iniz. | 16 | 2 | 16 | 2 | 16 | 0 | 16 | 8 | 20 | 2 | 2 | 0,0 | 0,0 | | | | | | | |
| | Mezz. | 16 | 2 | 16 | 2 | 16 | 0 | 16 | 8 | 20 | 2 | 2 | 0,0 | 0,0 | | | | | | | |
| | Finale | 16 | 2 | 16 | 2 | 16 | 0 | 16 | 8 | 20 | 2 | 2 | 0,0 | 0,0 | | | | | | | |
| 298 | Iniz. | 16 | 2 | 16 | 2 | 16 | 0 | 16 | 8 | 20 | 2 | 2 | 0,0 | 0,0 | | | | | | | |
| | Mezz. | 16 | 2 | 16 | 2 | 16 | 0 | 16 | 8 | 20 | 2 | 2 | 0,0 | 0,0 | | | | | | | |
| | Finale | 16 | 2 | 16 | 2 | 16 | 0 | 16 | 8 | 20 | 2 | 2 | 0,0 | 0,0 | | | | | | | |
| 299 | Iniz. | 16 | 2 | 16 | 2 | 16 | 0 | 16 | 8 | 20 | 2 | 2 | 0,0 | 0,0 | | | | | | | |
| | Mezz. | 16 | 2 | 16 | 2 | 16 | 0 | 16 | 8 | 20 | 2 | 2 | 0,0 | 0,0 | | | | | | | |
| | Finale | 16 | 2 | 16 | 2 | 16 | 0 | 16 | 8 | 20 | 2 | 2 | 0,0 | 0,0 | | | | | | | |
| 300 | Iniz. | 16 | 2 | 16 | 2 | 16 | 0 | 16 | 8 | 20 | 2 | 2 | 0,0 | 0,0 | | | | | | | |
| | Mezz. | 16 | 2 | 16 | 2 | 16 | 0 | 16 | 8 | 20 | 2 | 2 | 0,0 | 0,0 | | | | | | | |
| | Finale | 16 | 2 | 16 | 2 | 16 | 0 | 16 | 8 | 20 | 2 | 2 | 0,0 | 0,0 | | | | | | | |

C.D.S.

| DATI ARMATURE ASTE3D - SEZIONE RETTANGOLARE | | | | | | | | | | | | | | | | | | | | | | |
|---|--------|-------------------|-----------|---------|-----------|---------|-----------|---------|---------|---------|-----------|-----------|------------|-----------|-----------------|---------|---------|---------|---------|-----------------|----------|--|
| ASTE IN C.A. CON SEZIONE RETTANGOLARE | | | | | | | | | | | | | | | | | | | | | | |
| IDENTIFICATIVO | | ARMATURE DI INPUT | | | | | | | | | | | AGGIUNTIVE | | RINFORZO IN FRP | | | | | | | |
| Asta Num. | Concio | FiSp mm | NFer Sup. | FiSu mm | NFer Inf. | Filn mm | NFer Par. | FIPa mm | FISt mm | PsSt cm | Brac DirX | Brac DirY | AfSup cmq | AfInf cmq | Mat. N.ro | Lung cm | Rag. mm | Num Avv | Nod Con | Condiz. Ambient | SpSol cm | |
| 301 | Iniz. | 16 | 2 | 16 | 2 | 16 | 0 | 16 | 8 | 20 | 2 | 2 | 0,0 | 0,0 | | | | | | | | |
| | Mezz. | 16 | 2 | 16 | 2 | 16 | 0 | 16 | 8 | 20 | 2 | 2 | 0,0 | 0,0 | | | | | | | | |
| | Finale | 16 | 2 | 16 | 2 | 16 | 0 | 16 | 8 | 20 | 2 | 2 | 0,0 | 0,0 | | | | | | | | |
| 302 | Iniz. | 16 | 2 | 16 | 2 | 16 | 0 | 16 | 8 | 20 | 2 | 2 | 0,0 | 0,0 | | | | | | | | |
| | Mezz. | 16 | 2 | 16 | 2 | 16 | 0 | 16 | 8 | 20 | 2 | 2 | 0,0 | 0,0 | | | | | | | | |
| | Finale | 16 | 2 | 16 | 2 | 16 | 0 | 16 | 8 | 20 | 2 | 2 | 0,0 | 0,0 | | | | | | | | |
| 303 | Iniz. | 16 | 2 | 16 | 2 | 16 | 0 | 16 | 8 | 20 | 2 | 2 | 0,0 | 0,0 | | | | | | | | |
| | Mezz. | 16 | 2 | 16 | 2 | 16 | 0 | 16 | 8 | 20 | 2 | 2 | 0,0 | 0,0 | | | | | | | | |
| | Finale | 16 | 2 | 16 | 2 | 16 | 0 | 16 | 8 | 20 | 2 | 2 | 0,0 | 0,0 | | | | | | | | |
| 304 | Iniz. | 16 | 2 | 16 | 2 | 16 | 0 | 16 | 8 | 20 | 2 | 2 | 0,0 | 0,0 | | | | | | | | |
| | Mezz. | 16 | 2 | 16 | 2 | 16 | 0 | 16 | 8 | 20 | 2 | 2 | 0,0 | 0,0 | | | | | | | | |
| | Finale | 16 | 2 | 16 | 2 | 16 | 0 | 16 | 8 | 20 | 2 | 2 | 0,0 | 0,0 | | | | | | | | |
| 305 | Iniz. | 16 | 2 | 16 | 2 | 16 | 0 | 16 | 8 | 20 | 2 | 2 | 0,0 | 0,0 | | | | | | | | |
| | Mezz. | 16 | 2 | 16 | 2 | 16 | 0 | 16 | 8 | 20 | 2 | 2 | 0,0 | 0,0 | | | | | | | | |
| | Finale | 16 | 2 | 16 | 2 | 16 | 0 | 16 | 8 | 20 | 2 | 2 | 0,0 | 0,0 | | | | | | | | |
| 306 | Iniz. | 16 | 2 | 16 | 2 | 16 | 0 | 16 | 8 | 20 | 2 | 2 | 0,0 | 0,0 | | | | | | | | |
| | Mezz. | 16 | 2 | 16 | 2 | 16 | 0 | 16 | 8 | 20 | 2 | 2 | 0,0 | 0,0 | | | | | | | | |
| | Finale | 16 | 2 | 16 | 2 | 16 | 0 | 16 | 8 | 20 | 2 | 2 | 0,0 | 0,0 | | | | | | | | |
| 307 | Iniz. | 16 | 2 | 16 | 2 | 16 | 0 | 16 | 8 | 20 | 2 | 2 | 0,0 | 0,0 | | | | | | | | |
| | Mezz. | 16 | 2 | 16 | 2 | 16 | 0 | 16 | 8 | 20 | 2 | 2 | 0,0 | 0,0 | | | | | | | | |
| | Finale | 16 | 2 | 16 | 2 | 16 | 0 | 16 | 8 | 20 | 2 | 2 | 0,0 | 0,0 | | | | | | | | |
| 308 | Iniz. | 16 | 2 | 16 | 2 | 16 | 0 | 16 | 8 | 20 | 2 | 2 | 0,0 | 0,0 | | | | | | | | |
| | Mezz. | 16 | 2 | 16 | 2 | 16 | 0 | 16 | 8 | 20 | 2 | 2 | 0,0 | 0,0 | | | | | | | | |
| | Finale | 16 | 2 | 16 | 2 | 16 | 0 | 16 | 8 | 20 | 2 | 2 | 0,0 | 0,0 | | | | | | | | |
| 309 | Iniz. | 16 | 2 | 16 | 2 | 16 | 0 | 16 | 8 | 20 | 2 | 2 | 0,0 | 0,0 | | | | | | | | |
| | Mezz. | 16 | 2 | 16 | 2 | 16 | 0 | 16 | 8 | 20 | 2 | 2 | 0,0 | 0,0 | | | | | | | | |
| | Finale | 16 | 2 | 16 | 2 | 16 | 0 | 16 | 8 | 20 | 2 | 2 | 0,0 | 0,0 | | | | | | | | |
| 310 | Iniz. | 16 | 2 | 16 | 2 | 16 | 0 | 16 | 8 | 20 | 2 | 2 | 0,0 | 0,0 | | | | | | | | |
| | Mezz. | 16 | 2 | 16 | 2 | 16 | 0 | 16 | 8 | 20 | 2 | 2 | 0,0 | 0,0 | | | | | | | | |
| | Finale | 16 | 2 | 16 | 2 | 16 | 0 | 16 | 8 | 20 | 2 | 2 | 0,0 | 0,0 | | | | | | | | |
| 311 | Iniz. | 16 | 2 | 16 | 2 | 16 | 0 | 16 | 8 | 20 | 2 | 2 | 0,0 | 0,0 | | | | | | | | |
| | Mezz. | 16 | 2 | 16 | 2 | 16 | 0 | 16 | 8 | 20 | 2 | 2 | 0,0 | 0,0 | | | | | | | | |
| | Finale | 16 | 2 | 16 | 2 | 16 | 0 | 16 | 8 | 20 | 2 | 2 | 0,0 | 0,0 | | | | | | | | |
| 312 | Iniz. | 16 | 2 | 16 | 2 | 16 | 0 | 16 | 8 | 20 | 2 | 2 | 0,0 | 0,0 | | | | | | | | |
| | Mezz. | 16 | 2 | 16 | 2 | 16 | 0 | 16 | 8 | 20 | 2 | 2 | 0,0 | 0,0 | | | | | | | | |
| | Finale | 16 | 2 | 16 | 2 | 16 | 0 | 16 | 8 | 20 | 2 | 2 | 0,0 | 0,0 | | | | | | | | |
| 313 | Iniz. | 16 | 2 | 16 | 2 | 16 | 0 | 16 | 8 | 20 | 2 | 2 | 0,0 | 0,0 | | | | | | | | |
| | Mezz. | 16 | 2 | 16 | 2 | 16 | 0 | 16 | 8 | 20 | 2 | 2 | 0,0 | 0,0 | | | | | | | | |
| | Finale | 16 | 2 | 16 | 2 | 16 | 0 | 16 | 8 | 20 | 2 | 2 | 0,0 | 0,0 | | | | | | | | |
| 314 | Iniz. | 16 | 2 | 16 | 2 | 16 | 0 | 16 | 8 | 20 | 2 | 2 | 0,0 | 0,0 | | | | | | | | |
| | Mezz. | 16 | 2 | 16 | 2 | 16 | 0 | 16 | 8 | 20 | 2 | 2 | 0,0 | 0,0 | | | | | | | | |
| | Finale | 16 | 2 | 16 | 2 | 16 | 0 | 16 | 8 | 20 | 2 | 2 | 0,0 | 0,0 | | | | | | | | |
| 315 | Iniz. | 16 | 2 | 16 | 2 | 16 | 0 | 16 | 8 | 20 | 2 | 2 | 0,0 | 0,0 | | | | | | | | |
| | Mezz. | 16 | 2 | 16 | 2 | 16 | 0 | 16 | 8 | 20 | 2 | 2 | 0,0 | 0,0 | | | | | | | | |
| | Finale | 16 | 2 | 16 | 2 | 16 | 0 | 16 | 8 | 20 | 2 | 2 | 0,0 | 0,0 | | | | | | | | |
| 316 | Iniz. | 16 | 2 | 16 | 2 | 16 | 0 | 16 | 8 | 20 | 2 | 2 | 0,0 | 0,0 | | | | | | | | |
| | Mezz. | 16 | 2 | 16 | 2 | 16 | 0 | 16 | 8 | 20 | 2 | 2 | 0,0 | 0,0 | | | | | | | | |
| | Finale | 16 | 2 | 16 | 2 | 16 | 0 | 16 | 8 | 20 | 2 | 2 | 0,0 | 0,0 | | | | | | | | |
| 317 | Iniz. | 16 | 2 | 16 | 2 | 16 | 0 | 16 | 8 | 20 | 2 | 2 | 0,0 | 0,0 | | | | | | | | |
| | Mezz. | 16 | 2 | 16 | 2 | 16 | 0 | 16 | 8 | 20 | 2 | 2 | 0,0 | 0,0 | | | | | | | | |
| | Finale | 16 | 2 | 16 | 2 | 16 | 0 | 16 | 8 | 20 | 2 | 2 | 0,0 | 0,0 | | | | | | | | |
| 318 | Iniz. | 16 | 2 | 16 | 2 | 16 | 0 | 16 | 8 | 20 | 2 | 2 | 0,0 | 0,0 | | | | | | | | |
| | Mezz. | 16 | 2 | 16 | 2 | 16 | 0 | 16 | 8 | 20 | 2 | 2 | 0,0 | 0,0 | | | | | | | | |
| | Finale | 16 | 2 | 16 | 2 | 16 | 0 | 16 | 8 | 20 | 2 | 2 | 0,0 | 0,0 | | | | | | | | |
| 319 | Iniz. | 16 | 2 | 16 | 2 | 16 | 3 | 16 | 8 | 20 | 2 | 2 | 0,0 | 0,0 | | | | | | | | |
| | Mezz. | 16 | 2 | 16 | 2 | 16 | 3 | 16 | 8 | 20 | 2 | 2 | 0,0 | 0,0 | | | | | | | | |
| | Finale | 16 | 2 | 16 | 2 | 16 | 3 | 16 | 8 | 20 | 2 | 2 | 0,0 | 0,0 | | | | | | | | |
| 320 | Iniz. | 16 | 2 | 16 | 2 | 16 | 3 | 16 | 8 | 20 | 2 | 2 | 0,0 | 0,0 | | | | | | | | |

DATI ARMATURE ASTE3D - SEZIONE RETTANGOLARE

ASTE IN C.A. CON SEZIONE RETTANGOLARE

| IDENTIFICATIVO | | ARMATURE DI INPUT | | | | | | | | | | | AGGIUNTIVE | | RINFORZO IN FRP | | | | | | |
|----------------|--------------------|-------------------|-----------|----------|-----------|----------|-----------|----------|---------|----------|-----------|-----------|------------|------------|-----------------|---------|---------|---------|---------|----------------|----------|
| Asta Num. | Concio | FIsp mm | NFer Sup. | FISu mm | NFer Inf. | Filn mm | NFer Par. | FIPa mm | FIST mm | PsSt cm | Brac DirX | Brac DirY | AfSup cmq | AfInf cmq | Mat. N.ro | Lung cm | Rag. mm | Num Avv | Nod Con | Condz. Ambient | SpSol cm |
| | Mezz. Finale | 16 | 2 | 16 | 2 | 16 | 3 | 16 | 8 | 20 | 2 | 2 | 0,0 | 0,0 | | | | | | | |
| 321 | Iniz. Mezz. Finale | 16 16 | 2 2 | 16 16 | 2 2 | 16 16 | 3 3 | 16 16 | 8 8 | 20 20 | 2 2 | 2 2 | 0,0 0,0 | 0,0 0,0 | | | | | | | |
| 322 | Iniz. Mezz. Finale | 16 16 | 2 2 | 16 16 | 2 2 | 16 16 | 3 3 | 16 16 | 8 8 | 20 20 | 2 2 | 2 2 | 0,0 0,0 | 0,0 0,0 | | | | | | | |
| 323 | Iniz. Mezz. Finale | 16 16 | 2 2 | 16 16 | 2 2 | 16 16 | 3 3 | 16 16 | 8 8 | 20 20 | 2 2 | 2 2 | 0,0 0,0 | 0,0 0,0 | | | | | | | |
| 324 | Iniz. Mezz. Finale | 16 16 | 2 2 | 16 16 | 2 2 | 16 16 | 3 3 | 16 16 | 8 8 | 20 20 | 2 2 | 2 2 | 0,0 0,0 | 0,0 0,0 | | | | | | | |
| 325 | Iniz. Mezz. Finale | 16 16 | 2 2 | 16 16 | 2 2 | 16 16 | 3 3 | 16 16 | 8 8 | 20 20 | 2 2 | 2 2 | 0,0 0,0 | 0,0 0,0 | | | | | | | |
| 326 | Iniz. Mezz. Finale | 16 16 | 2 2 | 16 16 | 2 2 | 16 16 | 3 3 | 16 16 | 8 8 | 20 20 | 2 2 | 2 2 | 0,0 0,0 | 0,0 0,0 | | | | | | | |
| 327 | Iniz. Mezz. Finale | 16 16 | 2 2 | 16 16 | 2 2 | 16 16 | 3 3 | 16 16 | 8 8 | 20 20 | 2 2 | 2 2 | 0,0 0,0 | 0,0 0,0 | | | | | | | |
| 328 | Iniz. Mezz. Finale | 16 16 | 2 2 | 16 16 | 2 2 | 16 16 | 3 3 | 16 16 | 8 8 | 20 20 | 3 3 | 2 2 | 0,0 0,0 | 0,0 0,0 | | | | | | | |
| 329 | Iniz. Mezz. Finale | 16 16 | 2 2 | 16 16 | 2 2 | 16 16 | 3 3 | 16 16 | 8 8 | 20 20 | 2 2 | 2 2 | 0,0 0,0 | 0,0 0,0 | | | | | | | |
| 330 | Iniz. Mezz. Finale | 16 16 | 2 2 | 16 16 | 2 2 | 16 16 | 3 3 | 16 16 | 8 8 | 20 20 | 2 2 | 2 2 | 0,0 0,0 | 0,0 0,0 | | | | | | | |
| 331 | Iniz. Mezz. Finale | 16 16 | 2 2 | 16 16 | 2 2 | 16 16 | 3 3 | 16 16 | 8 8 | 20 20 | 2 2 | 2 2 | 0,0 0,0 | 0,0 0,0 | | | | | | | |
| 332 | Iniz. Mezz. Finale | 16 16 | 2 2 | 16 16 | 2 2 | 16 16 | 3 3 | 16 16 | 8 8 | 20 20 | 2 2 | 2 2 | 0,0 0,0 | 0,0 0,0 | | | | | | | |
| 333 | Iniz. Mezz. Finale | 16 16 | 2 2 | 16 16 | 2 2 | 16 16 | 3 3 | 16 16 | 8 8 | 20 20 | 2 2 | 2 2 | 0,0 0,0 | 0,0 0,0 | | | | | | | |
| 334 | Iniz. Mezz. Finale | 16 16 | 2 2 | 16 16 | 2 2 | 16 16 | 3 3 | 16 16 | 8 8 | 20 20 | 2 2 | 2 2 | 0,0 0,0 | 0,0 0,0 | | | | | | | |
| 335 | Iniz. Mezz. Finale | 16 16 | 2 2 | 16 16 | 2 2 | 16 16 | 3 3 | 16 16 | 8 8 | 20 20 | 3 3 | 2 2 | 0,0 0,0 | 0,0 0,0 | | | | | | | |
| 336 | Iniz. Mezz. Finale | 16 16 | 2 2 | 16 16 | 2 2 | 16 16 | 3 3 | 16 16 | 8 8 | 20 20 | 2 2 | 2 2 | 0,0 0,0 | 0,0 0,0 | | | | | | | |
| 337 | Iniz. Mezz. Finale | 16 16 | 2 2 | 16 16 | 2 2 | 16 16 | 3 3 | 16 16 | 8 8 | 20 20 | 2 2 | 2 2 | 0,0 0,0 | 0,0 0,0 | | | | | | | |
| 338 | Iniz. Mezz. Finale | 16 16 | 2 2 | 16 16 | 2 2 | 16 16 | 3 3 | 16 16 | 8 8 | 20 20 | 2 2 | 2 2 | 0,0 0,0 | 0,0 0,0 | | | | | | | |
| 339 | Iniz. Mezz. Finale | 16 16 | 2 2 | 16 16 | 2 2 | 16 16 | 3 3 | 16 16 | 8 8 | 20 20 | 2 2 | 2 2 | 0,0 0,0 | 0,0 0,0 | | | | | | | |

C.D.S.

| DATI ARMATURE ASTE3D - SEZIONE RETTANGOLARE | | | | | | | | | | | | | | | | | | | | | |
|---|--------|-------------------|-----------|---------|-----------|---------|-----------|---------|---------|---------|-----------|-----------|------------|-----------|-----------------|---------|---------|---------|---------|-----------------|----------|
| ASTE IN C.A. CON SEZIONE RETTANGOLARE | | | | | | | | | | | | | | | | | | | | | |
| IDENTIFICATIVO | | ARMATURE DI INPUT | | | | | | | | | | | AGGIUNTIVE | | RINFORZO IN FRP | | | | | | |
| Asta Num. | Concio | FiSp mm | NFer Sup. | FiSu mm | NFer Inf. | Filn mm | NFer Par. | FIPa mm | FISt mm | PsSt cm | Brac DirX | Brac DirY | AfSup cmq | AfInf cmq | Mat. N.ro | Lung cm | Rag. mm | Num Avv | Nod Con | Condiz. Ambient | SpSol cm |
| 340 | Iniz. | 16 | 2 | 16 | 2 | 16 | 3 | 16 | 8 | 20 | 2 | 2 | 0,0 | 0,0 | | | | | | | |
| | Mezz. | 16 | 2 | 16 | 2 | 16 | 3 | 16 | 8 | 20 | 2 | 2 | 0,0 | 0,0 | | | | | | | |
| 341 | Iniz. | 16 | 2 | 16 | 2 | 16 | 3 | 16 | 8 | 20 | 2 | 2 | 0,0 | 0,0 | | | | | | | |
| | Mezz. | 16 | 2 | 16 | 2 | 16 | 3 | 16 | 8 | 20 | 2 | 2 | 0,0 | 0,0 | | | | | | | |
| 342 | Iniz. | 16 | 2 | 16 | 2 | 16 | 3 | 16 | 8 | 20 | 2 | 2 | 0,0 | 0,0 | | | | | | | |
| | Mezz. | 16 | 2 | 16 | 2 | 16 | 3 | 16 | 8 | 20 | 2 | 2 | 0,0 | 0,0 | | | | | | | |
| 343 | Iniz. | 16 | 2 | 16 | 2 | 16 | 3 | 16 | 8 | 20 | 2 | 2 | 0,0 | 0,0 | | | | | | | |
| | Mezz. | 16 | 2 | 16 | 2 | 16 | 3 | 16 | 8 | 20 | 2 | 2 | 0,0 | 0,0 | | | | | | | |
| 344 | Iniz. | 16 | 2 | 16 | 2 | 16 | 3 | 16 | 8 | 20 | 2 | 2 | 0,0 | 0,0 | | | | | | | |
| | Mezz. | 16 | 2 | 16 | 2 | 16 | 3 | 16 | 8 | 20 | 2 | 2 | 0,0 | 0,0 | | | | | | | |
| 345 | Iniz. | 16 | 2 | 16 | 2 | 16 | 3 | 16 | 8 | 20 | 2 | 2 | 0,0 | 0,0 | | | | | | | |
| | Mezz. | 16 | 2 | 16 | 2 | 16 | 3 | 16 | 8 | 20 | 2 | 2 | 0,0 | 0,0 | | | | | | | |
| 346 | Iniz. | 16 | 1 | 16 | 1 | 16 | 1 | 16 | 8 | 20 | 2 | 2 | 0,0 | 0,0 | | | | | | | |
| | Mezz. | 16 | 1 | 16 | 1 | 16 | 1 | 16 | 8 | 20 | 2 | 2 | 0,0 | 0,0 | | | | | | | |
| 347 | Iniz. | 16 | 2 | 16 | 2 | 16 | 3 | 16 | 8 | 20 | 2 | 2 | 0,0 | 0,0 | | | | | | | |
| | Mezz. | 16 | 2 | 16 | 2 | 16 | 3 | 16 | 8 | 20 | 2 | 2 | 0,0 | 0,0 | | | | | | | |
| 348 | Iniz. | 16 | 2 | 16 | 2 | 16 | 3 | 16 | 8 | 20 | 2 | 2 | 0,0 | 0,0 | | | | | | | |
| | Mezz. | 16 | 2 | 16 | 2 | 16 | 3 | 16 | 8 | 20 | 2 | 2 | 0,0 | 0,0 | | | | | | | |
| 349 | Iniz. | 16 | 1 | 16 | 1 | 16 | 1 | 16 | 8 | 20 | 2 | 2 | 0,0 | 0,0 | | | | | | | |
| | Mezz. | 16 | 1 | 16 | 1 | 16 | 1 | 16 | 8 | 20 | 2 | 2 | 0,0 | 0,0 | | | | | | | |
| 350 | Iniz. | 16 | 1 | 16 | 1 | 16 | 1 | 16 | 8 | 20 | 2 | 2 | 0,0 | 0,0 | | | | | | | |
| | Mezz. | 16 | 1 | 16 | 1 | 16 | 1 | 16 | 8 | 20 | 2 | 2 | 0,0 | 0,0 | | | | | | | |
| 351 | Iniz. | 16 | 1 | 16 | 1 | 16 | 1 | 16 | 8 | 20 | 2 | 2 | 0,0 | 0,0 | | | | | | | |
| | Mezz. | 16 | 1 | 16 | 1 | 16 | 1 | 16 | 8 | 20 | 2 | 2 | 0,0 | 0,0 | | | | | | | |
| 352 | Iniz. | 16 | 1 | 16 | 1 | 16 | 1 | 16 | 8 | 20 | 2 | 2 | 0,0 | 0,0 | | | | | | | |
| | Mezz. | 16 | 1 | 16 | 1 | 16 | 1 | 16 | 8 | 20 | 2 | 2 | 0,0 | 0,0 | | | | | | | |
| 353 | Iniz. | 16 | 1 | 16 | 1 | 16 | 1 | 16 | 8 | 20 | 2 | 2 | 0,0 | 0,0 | | | | | | | |
| | Mezz. | 16 | 1 | 16 | 1 | 16 | 1 | 16 | 8 | 20 | 2 | 2 | 0,0 | 0,0 | | | | | | | |
| 354 | Iniz. | 16 | 1 | 16 | 1 | 16 | 1 | 16 | 8 | 20 | 2 | 2 | 0,0 | 0,0 | | | | | | | |
| | Mezz. | 16 | 1 | 16 | 1 | 16 | 1 | 16 | 8 | 20 | 2 | 2 | 0,0 | 0,0 | | | | | | | |
| 355 | Iniz. | 16 | 1 | 16 | 1 | 16 | 1 | 16 | 8 | 20 | 2 | 2 | 0,0 | 0,0 | | | | | | | |
| | Mezz. | 16 | 1 | 16 | 1 | 16 | 1 | 16 | 8 | 20 | 2 | 2 | 0,0 | 0,0 | | | | | | | |
| 356 | Iniz. | 16 | 1 | 16 | 1 | 16 | 1 | 16 | 8 | 20 | 2 | 2 | 0,0 | 0,0 | | | | | | | |
| | Mezz. | 16 | 1 | 16 | 1 | 16 | 1 | 16 | 8 | 20 | 2 | 2 | 0,0 | 0,0 | | | | | | | |
| 357 | Iniz. | 16 | 1 | 16 | 1 | 16 | 1 | 16 | 8 | 20 | 2 | 2 | 0,0 | 0,0 | | | | | | | |
| | Mezz. | 16 | 1 | 16 | 1 | 16 | 1 | 16 | 8 | 20 | 2 | 2 | 0,0 | 0,0 | | | | | | | |
| 358 | Iniz. | 16 | 1 | 16 | 1 | 16 | 1 | 16 | 8 | 20 | 2 | 2 | 0,0 | 0,0 | | | | | | | |
| | Mezz. | 16 | 1 | 16 | 1 | 16 | 1 | 16 | 8 | 20 | 2 | 2 | 0,0 | 0,0 | | | | | | | |
| 359 | Iniz. | 16 | 2 | 16 | 2 | 16 | 3 | 16 | 8 | 20 | 2 | 2 | 0,0 | 0,0 | | | | | | | |
| | Mezz. | 16 | 2 | 16 | 2 | 16 | 3 | 16 | 8 | 20 | 2 | 2 | 0,0 | 0,0 | | | | | | | |

| DATI ARMATURE ASTE3D - SEZIONE RETTANGOLARE | | | | | | | | | | | | | | | | | | | | | | |
|---|--------------|-------------------|-----------|---------|-----------|---------|-----------|---------|---------|---------|-----------|-----------|------------|-----------|-----------------|---------|---------|---------|---------|----------------|----------|--|
| ASTE IN C.A. CON SEZIONE RETTANGOLARE | | | | | | | | | | | | | | | | | | | | | | |
| IDENTIFICATIVO | | ARMATURE DI INPUT | | | | | | | | | | | AGGIUNTIVE | | RINFORZO IN FRP | | | | | | | |
| Asta Num. | Concio | FiSp mm | NFer Sup. | FiSu mm | NFer Inf. | Filn mm | NFer Par. | FIPa mm | FISt mm | PsSt cm | Brac DirX | Brac DirY | AfSup cmq | AfInf cmq | Mat. N.ro | Lung cm | Rag. mm | Num Avv | Nod Con | Condz. Ambient | SpSol cm | |
| | Mezz. Finale | 16 | 2 | 16 | 2 | 16 | 3 | 16 | 8 | 20 | 2 | 2 | 0,0 | 0,0 | | | | | | | | |
| 360 | Iniz. | 16 | 2 | 16 | 2 | 16 | 3 | 16 | 8 | 20 | 2 | 2 | 0,0 | 0,0 | | | | | | | | |
| | Mezz. | 16 | 2 | 16 | 2 | 16 | 3 | 16 | 8 | 20 | 2 | 2 | 0,0 | 0,0 | | | | | | | | |
| | Finale | 16 | 2 | 16 | 2 | 16 | 3 | 16 | 8 | 20 | 2 | 2 | 0,0 | 0,0 | | | | | | | | |
| 361 | Iniz. | 16 | 2 | 16 | 2 | 16 | 0 | 16 | 8 | 20 | 2 | 2 | 0,0 | 0,0 | | | | | | | | |
| | Mezz. | 16 | 2 | 16 | 2 | 16 | 0 | 16 | 8 | 20 | 2 | 2 | 0,0 | 0,0 | | | | | | | | |
| | Finale | 16 | 2 | 16 | 2 | 16 | 0 | 16 | 8 | 20 | 2 | 2 | 0,0 | 0,0 | | | | | | | | |
| 362 | Iniz. | 16 | 2 | 16 | 2 | 16 | 0 | 16 | 8 | 20 | 2 | 2 | 0,0 | 0,0 | | | | | | | | |
| | Mezz. | 16 | 2 | 16 | 2 | 16 | 0 | 16 | 8 | 20 | 2 | 2 | 0,0 | 0,0 | | | | | | | | |
| | Finale | 16 | 2 | 16 | 2 | 16 | 0 | 16 | 8 | 20 | 2 | 2 | 0,0 | 0,0 | | | | | | | | |
| 363 | Iniz. | 16 | 2 | 16 | 2 | 16 | 0 | 16 | 8 | 20 | 2 | 2 | 0,0 | 0,0 | | | | | | | | |
| | Mezz. | 16 | 2 | 16 | 2 | 16 | 0 | 16 | 8 | 20 | 2 | 2 | 0,0 | 0,0 | | | | | | | | |
| | Finale | 16 | 2 | 16 | 2 | 16 | 0 | 16 | 8 | 20 | 2 | 2 | 0,0 | 0,0 | | | | | | | | |
| 364 | Iniz. | 16 | 2 | 16 | 2 | 16 | 0 | 16 | 8 | 20 | 2 | 2 | 0,0 | 0,0 | | | | | | | | |
| | Mezz. | 16 | 2 | 16 | 2 | 16 | 0 | 16 | 8 | 20 | 2 | 2 | 0,0 | 0,0 | | | | | | | | |
| | Finale | 16 | 2 | 16 | 2 | 16 | 0 | 16 | 8 | 20 | 2 | 2 | 0,0 | 0,0 | | | | | | | | |
| 365 | Iniz. | 16 | 2 | 16 | 2 | 16 | 0 | 16 | 8 | 20 | 2 | 2 | 0,0 | 0,0 | | | | | | | | |
| | Mezz. | 16 | 2 | 16 | 2 | 16 | 0 | 16 | 8 | 20 | 2 | 2 | 0,0 | 0,0 | | | | | | | | |
| | Finale | 16 | 2 | 16 | 2 | 16 | 0 | 16 | 8 | 20 | 2 | 2 | 0,0 | 0,0 | | | | | | | | |
| 366 | Iniz. | 16 | 2 | 16 | 2 | 16 | 0 | 16 | 8 | 20 | 2 | 2 | 0,0 | 0,0 | | | | | | | | |
| | Mezz. | 16 | 2 | 16 | 2 | 16 | 0 | 16 | 8 | 20 | 2 | 2 | 0,0 | 0,0 | | | | | | | | |
| | Finale | 16 | 2 | 16 | 2 | 16 | 0 | 16 | 8 | 20 | 2 | 2 | 0,0 | 0,0 | | | | | | | | |
| 367 | Iniz. | 16 | 2 | 16 | 2 | 16 | 0 | 16 | 8 | 20 | 2 | 2 | 0,0 | 0,0 | | | | | | | | |
| | Mezz. | 16 | 2 | 16 | 2 | 16 | 0 | 16 | 8 | 20 | 2 | 2 | 0,0 | 0,0 | | | | | | | | |
| | Finale | 16 | 2 | 16 | 2 | 16 | 0 | 16 | 8 | 20 | 2 | 2 | 0,0 | 0,0 | | | | | | | | |
| 368 | Iniz. | 16 | 2 | 16 | 2 | 16 | 0 | 16 | 8 | 20 | 2 | 2 | 0,0 | 0,0 | | | | | | | | |
| | Mezz. | 16 | 2 | 16 | 2 | 16 | 0 | 16 | 8 | 20 | 2 | 2 | 0,0 | 0,0 | | | | | | | | |
| | Finale | 16 | 2 | 16 | 2 | 16 | 0 | 16 | 8 | 20 | 2 | 2 | 0,0 | 0,0 | | | | | | | | |
| 369 | Iniz. | 16 | 2 | 16 | 2 | 16 | 0 | 16 | 8 | 20 | 2 | 2 | 0,0 | 0,0 | | | | | | | | |
| | Mezz. | 16 | 2 | 16 | 2 | 16 | 0 | 16 | 8 | 20 | 2 | 2 | 0,0 | 0,0 | | | | | | | | |
| | Finale | 16 | 2 | 16 | 2 | 16 | 0 | 16 | 8 | 20 | 2 | 2 | 0,0 | 0,0 | | | | | | | | |
| 370 | Iniz. | 16 | 2 | 16 | 2 | 16 | 0 | 16 | 8 | 20 | 2 | 2 | 0,0 | 0,0 | | | | | | | | |
| | Mezz. | 16 | 2 | 16 | 2 | 16 | 0 | 16 | 8 | 20 | 2 | 2 | 0,0 | 0,0 | | | | | | | | |
| | Finale | 16 | 2 | 16 | 2 | 16 | 0 | 16 | 8 | 20 | 2 | 2 | 0,0 | 0,0 | | | | | | | | |
| 371 | Iniz. | 16 | 2 | 16 | 2 | 16 | 0 | 16 | 8 | 20 | 2 | 2 | 0,0 | 0,0 | | | | | | | | |
| | Mezz. | 16 | 2 | 16 | 2 | 16 | 0 | 16 | 8 | 20 | 2 | 2 | 0,0 | 0,0 | | | | | | | | |
| | Finale | 16 | 2 | 16 | 2 | 16 | 0 | 16 | 8 | 20 | 2 | 2 | 0,0 | 0,0 | | | | | | | | |
| 372 | Iniz. | 16 | 2 | 16 | 2 | 16 | 0 | 16 | 8 | 20 | 2 | 2 | 0,0 | 0,0 | | | | | | | | |
| | Mezz. | 16 | 2 | 16 | 2 | 16 | 0 | 16 | 8 | 20 | 2 | 2 | 0,0 | 0,0 | | | | | | | | |
| | Finale | 16 | 2 | 16 | 2 | 16 | 0 | 16 | 8 | 20 | 2 | 2 | 0,0 | 0,0 | | | | | | | | |
| 373 | Iniz. | 16 | 2 | 16 | 2 | 16 | 0 | 16 | 8 | 20 | 2 | 2 | 0,0 | 0,0 | | | | | | | | |
| | Mezz. | 16 | 2 | 16 | 2 | 16 | 0 | 16 | 8 | 20 | 2 | 2 | 0,0 | 0,0 | | | | | | | | |
| | Finale | 16 | 2 | 16 | 2 | 16 | 0 | 16 | 8 | 20 | 2 | 2 | 0,0 | 0,0 | | | | | | | | |
| 374 | Iniz. | 16 | 2 | 16 | 2 | 16 | 0 | 16 | 8 | 20 | 2 | 2 | 0,0 | 0,0 | | | | | | | | |
| | Mezz. | 16 | 2 | 16 | 2 | 16 | 0 | 16 | 8 | 20 | 2 | 2 | 0,0 | 0,0 | | | | | | | | |
| | Finale | 16 | 2 | 16 | 2 | 16 | 0 | 16 | 8 | 20 | 2 | 2 | 0,0 | 0,0 | | | | | | | | |
| 375 | Iniz. | 16 | 2 | 16 | 2 | 16 | 0 | 16 | 8 | 20 | 2 | 2 | 0,0 | 0,0 | | | | | | | | |
| | Mezz. | 16 | 2 | 16 | 2 | 16 | 0 | 16 | 8 | 20 | 2 | 2 | 0,0 | 0,0 | | | | | | | | |
| | Finale | 16 | 2 | 16 | 2 | 16 | 0 | 16 | 8 | 20 | 2 | 2 | 0,0 | 0,0 | | | | | | | | |
| 376 | Iniz. | 16 | 2 | 16 | 2 | 16 | 0 | 16 | 8 | 20 | 2 | 2 | 0,0 | 0,0 | | | | | | | | |
| | Mezz. | 16 | 2 | 16 | 2 | 16 | 0 | 16 | 8 | 20 | 2 | 2 | 0,0 | 0,0 | | | | | | | | |
| | Finale | 16 | 2 | 16 | 2 | 16 | 0 | 16 | 8 | 20 | 2 | 2 | 0,0 | 0,0 | | | | | | | | |
| 377 | Iniz. | 16 | 2 | 16 | 2 | 16 | 0 | 16 | 8 | 20 | 2 | 2 | 0,0 | 0,0 | | | | | | | | |
| | Mezz. | 16 | 2 | 16 | 2 | 16 | 0 | 16 | 8 | 20 | 2 | 2 | 0,0 | 0,0 | | | | | | | | |
| | Finale | 16 | 2 | 16 | 2 | 16 | 0 | 16 | 8 | 20 | 2 | 2 | 0,0 | 0,0 | | | | | | | | |
| 378 | Iniz. | 16 | 2 | 16 | 2 | 16 | 0 | 16 | 8 | 20 | 2 | 2 | 0,0 | 0,0 | | | | | | | | |
| | Mezz. | 16 | 2 | 16 | 2 | 16 | 0 | 16 | 8 | 20 | 2 | 2 | 0,0 | 0,0 | | | | | | | | |
| | Finale | 16 | 2 | 16 | 2 | 16 | 0 | 16 | 8 | 20 | 2 | 2 | 0,0 | 0,0 | | | | | | | | |

C.D.S.

| DATI ARMATURE ASTE3D - SEZIONE RETTANGOLARE | | | | | | | | | | | | | | | | | | | | | | |
|---|--------|-------------------|-----------|---------|-----------|---------|-----------|---------|---------|---------|-----------|-----------|------------|-----------|-----------------|---------|---------|---------|---------|-----------------|----------|--|
| ASTE IN C.A. CON SEZIONE RETTANGOLARE | | | | | | | | | | | | | | | | | | | | | | |
| IDENTIFICATIVO | | ARMATURE DI INPUT | | | | | | | | | | | AGGIUNTIVE | | RINFORZO IN FRP | | | | | | | |
| Asta Num. | Concio | FiSp mm | NFer Sup. | FiSu mm | NFer Inf. | Filn mm | NFer Par. | FIPa mm | FISt mm | PsSt cm | Brac DirX | Brac DirY | AfSup cmq | AfInf cmq | Mat. N.ro | Lung cm | Rag. mm | Num Avv | Nod Con | Condiz. Ambient | SpSol cm | |
| 379 | Iniz. | 16 | 2 | 16 | 2 | 16 | 0 | 16 | 8 | 20 | 2 | 2 | 0,0 | 0,0 | | | | | | | | |
| | Mezz. | 16 | 2 | 16 | 2 | 16 | 0 | 16 | 8 | 20 | 2 | 2 | 0,0 | 0,0 | | | | | | | | |
| | Finale | 16 | 2 | 16 | 2 | 16 | 0 | 16 | 8 | 20 | 2 | 2 | 0,0 | 0,0 | | | | | | | | |
| 380 | Iniz. | 16 | 2 | 16 | 2 | 16 | 0 | 16 | 8 | 20 | 2 | 2 | 0,0 | 0,0 | | | | | | | | |
| | Mezz. | 16 | 2 | 16 | 2 | 16 | 0 | 16 | 8 | 20 | 2 | 2 | 0,0 | 0,0 | | | | | | | | |
| | Finale | 16 | 2 | 16 | 2 | 16 | 0 | 16 | 8 | 20 | 2 | 2 | 0,0 | 0,0 | | | | | | | | |
| 381 | Iniz. | 16 | 2 | 16 | 2 | 16 | 0 | 16 | 8 | 20 | 2 | 2 | 0,0 | 0,0 | | | | | | | | |
| | Mezz. | 16 | 2 | 16 | 2 | 16 | 0 | 16 | 8 | 20 | 2 | 2 | 0,0 | 0,0 | | | | | | | | |
| | Finale | 16 | 2 | 16 | 2 | 16 | 0 | 16 | 8 | 20 | 2 | 2 | 0,0 | 0,0 | | | | | | | | |
| 382 | Iniz. | 16 | 2 | 16 | 2 | 16 | 0 | 16 | 8 | 20 | 2 | 2 | 0,0 | 0,0 | | | | | | | | |
| | Mezz. | 16 | 2 | 16 | 2 | 16 | 0 | 16 | 8 | 20 | 2 | 2 | 0,0 | 0,0 | | | | | | | | |
| | Finale | 16 | 2 | 16 | 2 | 16 | 0 | 16 | 8 | 20 | 2 | 2 | 0,0 | 0,0 | | | | | | | | |
| 383 | Iniz. | 16 | 2 | 16 | 2 | 16 | 0 | 16 | 8 | 20 | 2 | 2 | 0,0 | 0,0 | | | | | | | | |
| | Mezz. | 16 | 2 | 16 | 2 | 16 | 0 | 16 | 8 | 20 | 2 | 2 | 0,0 | 0,0 | | | | | | | | |
| | Finale | 16 | 2 | 16 | 2 | 16 | 0 | 16 | 8 | 20 | 2 | 2 | 0,0 | 0,0 | | | | | | | | |
| 384 | Iniz. | 16 | 2 | 16 | 2 | 16 | 0 | 16 | 8 | 20 | 2 | 2 | 0,0 | 0,0 | | | | | | | | |
| | Mezz. | 16 | 2 | 16 | 2 | 16 | 0 | 16 | 8 | 20 | 2 | 2 | 0,0 | 0,0 | | | | | | | | |
| | Finale | 16 | 2 | 16 | 2 | 16 | 0 | 16 | 8 | 20 | 2 | 2 | 0,0 | 0,0 | | | | | | | | |
| 385 | Iniz. | 16 | 2 | 16 | 2 | 16 | 0 | 16 | 8 | 20 | 2 | 2 | 0,0 | 0,0 | | | | | | | | |
| | Mezz. | 16 | 2 | 16 | 2 | 16 | 0 | 16 | 8 | 20 | 2 | 2 | 0,0 | 0,0 | | | | | | | | |
| | Finale | 16 | 2 | 16 | 2 | 16 | 0 | 16 | 8 | 20 | 2 | 2 | 0,0 | 0,0 | | | | | | | | |
| 386 | Iniz. | 16 | 2 | 16 | 2 | 16 | 0 | 16 | 8 | 20 | 2 | 2 | 0,0 | 0,0 | | | | | | | | |
| | Mezz. | 16 | 2 | 16 | 2 | 16 | 0 | 16 | 8 | 20 | 2 | 2 | 0,0 | 0,0 | | | | | | | | |
| | Finale | 16 | 2 | 16 | 2 | 16 | 0 | 16 | 8 | 20 | 2 | 2 | 0,0 | 0,0 | | | | | | | | |
| 387 | Iniz. | 16 | 2 | 16 | 2 | 16 | 0 | 16 | 8 | 20 | 2 | 2 | 0,0 | 0,0 | | | | | | | | |
| | Mezz. | 16 | 2 | 16 | 2 | 16 | 0 | 16 | 8 | 20 | 2 | 2 | 0,0 | 0,0 | | | | | | | | |
| | Finale | 16 | 2 | 16 | 2 | 16 | 0 | 16 | 8 | 20 | 2 | 2 | 0,0 | 0,0 | | | | | | | | |
| 388 | Iniz. | 16 | 2 | 16 | 2 | 16 | 0 | 16 | 8 | 20 | 2 | 2 | 0,0 | 0,0 | | | | | | | | |
| | Mezz. | 16 | 2 | 16 | 2 | 16 | 0 | 16 | 8 | 20 | 2 | 2 | 0,0 | 0,0 | | | | | | | | |
| | Finale | 16 | 2 | 16 | 2 | 16 | 0 | 16 | 8 | 20 | 2 | 2 | 0,0 | 0,0 | | | | | | | | |
| 389 | Iniz. | 16 | 2 | 16 | 2 | 16 | 0 | 16 | 8 | 20 | 2 | 2 | 0,0 | 0,0 | | | | | | | | |
| | Mezz. | 16 | 2 | 16 | 2 | 16 | 0 | 16 | 8 | 20 | 2 | 2 | 0,0 | 0,0 | | | | | | | | |
| | Finale | 16 | 2 | 16 | 2 | 16 | 0 | 16 | 8 | 20 | 2 | 2 | 0,0 | 0,0 | | | | | | | | |
| 390 | Iniz. | 16 | 2 | 16 | 2 | 16 | 0 | 16 | 8 | 20 | 2 | 2 | 0,0 | 0,0 | | | | | | | | |
| | Mezz. | 16 | 2 | 16 | 2 | 16 | 0 | 16 | 8 | 20 | 2 | 2 | 0,0 | 0,0 | | | | | | | | |
| | Finale | 16 | 2 | 16 | 2 | 16 | 0 | 16 | 8 | 20 | 2 | 2 | 0,0 | 0,0 | | | | | | | | |
| 391 | Iniz. | 16 | 2 | 16 | 2 | 16 | 0 | 16 | 8 | 20 | 2 | 2 | 0,0 | 0,0 | | | | | | | | |
| | Mezz. | 16 | 2 | 16 | 2 | 16 | 0 | 16 | 8 | 20 | 2 | 2 | 0,0 | 0,0 | | | | | | | | |
| | Finale | 16 | 2 | 16 | 2 | 16 | 0 | 16 | 8 | 20 | 2 | 2 | 0,0 | 0,0 | | | | | | | | |
| 392 | Iniz. | 16 | 2 | 16 | 2 | 16 | 0 | 16 | 8 | 20 | 2 | 2 | 0,0 | 0,0 | | | | | | | | |
| | Mezz. | 16 | 2 | 16 | 2 | 16 | 0 | 16 | 8 | 20 | 2 | 2 | 0,0 | 0,0 | | | | | | | | |
| | Finale | 16 | 2 | 16 | 2 | 16 | 0 | 16 | 8 | 20 | 2 | 2 | 0,0 | 0,0 | | | | | | | | |
| 393 | Iniz. | 16 | 2 | 16 | 2 | 16 | 0 | 16 | 8 | 20 | 2 | 2 | 0,0 | 0,0 | | | | | | | | |
| | Mezz. | 16 | 2 | 16 | 2 | 16 | 0 | 16 | 8 | 20 | 2 | 2 | 0,0 | 0,0 | | | | | | | | |
| | Finale | 16 | 2 | 16 | 2 | 16 | 0 | 16 | 8 | 20 | 2 | 2 | 0,0 | 0,0 | | | | | | | | |
| 394 | Iniz. | 16 | 2 | 16 | 2 | 16 | 0 | 16 | 8 | 20 | 2 | 2 | 0,0 | 0,0 | | | | | | | | |
| | Mezz. | 16 | 2 | 16 | 2 | 16 | 0 | 16 | 8 | 20 | 2 | 2 | 0,0 | 0,0 | | | | | | | | |
| | Finale | 16 | 2 | 16 | 2 | 16 | 0 | 16 | 8 | 20 | 2 | 2 | 0,0 | 0,0 | | | | | | | | |
| 395 | Iniz. | 16 | 2 | 16 | 2 | 16 | 0 | 16 | 8 | 20 | 2 | 2 | 0,0 | 0,0 | | | | | | | | |
| | Mezz. | 16 | 2 | 16 | 2 | 16 | 0 | 16 | 8 | 20 | 2 | 2 | 0,0 | 0,0 | | | | | | | | |
| | Finale | 16 | 2 | 16 | 2 | 16 | 0 | 16 | 8 | 20 | 2 | 2 | 0,0 | 0,0 | | | | | | | | |
| 396 | Iniz. | 16 | 2 | 16 | 2 | 16 | 0 | 16 | 8 | 20 | 2 | 2 | 0,0 | 0,0 | | | | | | | | |
| | Mezz. | 16 | 2 | 16 | 2 | 16 | 0 | 16 | 8 | 20 | 2 | 2 | 0,0 | 0,0 | | | | | | | | |
| | Finale | 16 | 2 | 16 | 2 | 16 | 0 | 16 | 8 | 20 | 2 | 2 | 0,0 | 0,0 | | | | | | | | |
| 397 | Iniz. | 16 | 2 | 16 | 2 | 16 | 0 | 16 | 8 | 20 | 2 | 2 | 0,0 | 0,0 | | | | | | | | |
| | Mezz. | 16 | 2 | 16 | 2 | 16 | 0 | 16 | 8 | 20 | 2 | 2 | 0,0 | 0,0 | | | | | | | | |
| | Finale | 16 | 2 | 16 | 2 | 16 | 0 | 16 | 8 | 20 | 2 | 2 | 0,0 | 0,0 | | | | | | | | |
| 398 | Iniz. | 16 | 2 | 16 | 2 | 16 | 0 | 16 | 8 | 20 | 2 | 2 | 0,0 | 0,0 | | | | | | | | |

| DATI ARMATURE ASTE3D - SEZIONE RETTANGOLARE | | | | | | | | | | | | | | | | | | | | | | |
|---|--------------|-------------------|-----------|---------|-----------|---------|-----------|---------|---------|---------|-----------|-----------|------------|-----------|-----------------|---------|---------|---------|---------|----------------|----------|--|
| ASTE IN C.A. CON SEZIONE RETTANGOLARE | | | | | | | | | | | | | | | | | | | | | | |
| IDENTIFICATIVO | | ARMATURE DI INPUT | | | | | | | | | | | AGGIUNTIVE | | RINFORZO IN FRP | | | | | | | |
| Asta Num. | Concio | FIsp mm | NFer Sup. | FISu mm | NFer Inf. | FIlm mm | NFer Par. | FIPa mm | FISt mm | PsSt cm | Brac DirX | Brac DirY | AfSup cmq | AfInf cmq | Mat. N.ro | Lung cm | Rag. mm | Num Avv | Nod Con | Condz. Ambient | SpSol cm | |
| | Mezz. Finale | 16 | 2 | 16 | 2 | 16 | 0 | 16 | 8 | 20 | 2 | 2 | 0,0 | 0,0 | | | | | | | | |
| | Finale | 16 | 2 | 16 | 2 | 16 | 0 | 16 | 8 | 20 | 2 | 2 | 0,0 | 0,0 | | | | | | | | |
| 399 | Iniz. | 16 | 2 | 16 | 2 | 16 | 0 | 16 | 8 | 20 | 2 | 2 | 0,0 | 0,0 | | | | | | | | |
| | Mezz. | 16 | 2 | 16 | 2 | 16 | 0 | 16 | 8 | 20 | 2 | 2 | 0,0 | 0,0 | | | | | | | | |
| | Finale | 16 | 2 | 16 | 2 | 16 | 0 | 16 | 8 | 20 | 2 | 2 | 0,0 | 0,0 | | | | | | | | |
| 400 | Iniz. | 16 | 2 | 16 | 2 | 16 | 0 | 16 | 8 | 20 | 2 | 2 | 0,0 | 0,0 | | | | | | | | |
| | Mezz. | 16 | 2 | 16 | 2 | 16 | 0 | 16 | 8 | 20 | 2 | 2 | 0,0 | 0,0 | | | | | | | | |
| | Finale | 16 | 2 | 16 | 2 | 16 | 0 | 16 | 8 | 20 | 2 | 2 | 0,0 | 0,0 | | | | | | | | |
| 401 | Iniz. | 16 | 2 | 16 | 2 | 16 | 0 | 16 | 8 | 20 | 2 | 2 | 0,0 | 0,0 | | | | | | | | |
| | Mezz. | 16 | 2 | 16 | 2 | 16 | 0 | 16 | 8 | 20 | 2 | 2 | 0,0 | 0,0 | | | | | | | | |
| | Finale | 16 | 2 | 16 | 2 | 16 | 0 | 16 | 8 | 20 | 2 | 2 | 0,0 | 0,0 | | | | | | | | |
| 402 | Iniz. | 16 | 2 | 16 | 2 | 16 | 0 | 16 | 8 | 20 | 2 | 2 | 0,0 | 0,0 | | | | | | | | |
| | Mezz. | 16 | 2 | 16 | 2 | 16 | 0 | 16 | 8 | 20 | 2 | 2 | 0,0 | 0,0 | | | | | | | | |
| | Finale | 16 | 2 | 16 | 2 | 16 | 0 | 16 | 8 | 20 | 2 | 2 | 0,0 | 0,0 | | | | | | | | |
| 403 | Iniz. | 16 | 2 | 16 | 2 | 16 | 0 | 16 | 8 | 20 | 2 | 2 | 0,0 | 0,0 | | | | | | | | |
| | Mezz. | 16 | 2 | 16 | 2 | 16 | 0 | 16 | 8 | 20 | 2 | 2 | 0,0 | 0,0 | | | | | | | | |
| | Finale | 16 | 2 | 16 | 2 | 16 | 0 | 16 | 8 | 20 | 2 | 2 | 0,0 | 0,0 | | | | | | | | |
| 404 | Iniz. | 16 | 2 | 16 | 2 | 16 | 0 | 16 | 8 | 20 | 2 | 2 | 0,0 | 0,0 | | | | | | | | |
| | Mezz. | 16 | 2 | 16 | 2 | 16 | 0 | 16 | 8 | 20 | 2 | 2 | 0,0 | 0,0 | | | | | | | | |
| | Finale | 16 | 2 | 16 | 2 | 16 | 0 | 16 | 8 | 20 | 2 | 2 | 0,0 | 0,0 | | | | | | | | |
| 405 | Iniz. | 16 | 2 | 16 | 2 | 16 | 0 | 16 | 8 | 20 | 2 | 2 | 0,0 | 0,0 | | | | | | | | |
| | Mezz. | 16 | 2 | 16 | 2 | 16 | 0 | 16 | 8 | 20 | 2 | 2 | 0,0 | 0,0 | | | | | | | | |
| | Finale | 16 | 2 | 16 | 2 | 16 | 0 | 16 | 8 | 20 | 2 | 2 | 0,0 | 0,0 | | | | | | | | |
| 406 | Iniz. | 16 | 2 | 16 | 2 | 16 | 0 | 16 | 8 | 20 | 2 | 2 | 0,0 | 0,0 | | | | | | | | |
| | Mezz. | 16 | 2 | 16 | 2 | 16 | 0 | 16 | 8 | 20 | 2 | 2 | 0,0 | 0,0 | | | | | | | | |
| | Finale | 16 | 2 | 16 | 2 | 16 | 0 | 16 | 8 | 20 | 2 | 2 | 0,0 | 0,0 | | | | | | | | |
| 407 | Iniz. | 16 | 2 | 16 | 2 | 16 | 0 | 16 | 8 | 20 | 2 | 2 | 0,0 | 0,0 | | | | | | | | |
| | Mezz. | 16 | 2 | 16 | 2 | 16 | 0 | 16 | 8 | 20 | 2 | 2 | 0,0 | 0,0 | | | | | | | | |
| | Finale | 16 | 2 | 16 | 2 | 16 | 0 | 16 | 8 | 20 | 2 | 2 | 0,0 | 0,0 | | | | | | | | |
| 408 | Iniz. | 16 | 2 | 16 | 2 | 16 | 0 | 16 | 8 | 20 | 2 | 2 | 0,0 | 0,0 | | | | | | | | |
| | Mezz. | 16 | 2 | 16 | 2 | 16 | 0 | 16 | 8 | 20 | 2 | 2 | 0,0 | 0,0 | | | | | | | | |
| | Finale | 16 | 2 | 16 | 2 | 16 | 0 | 16 | 8 | 20 | 2 | 2 | 0,0 | 0,0 | | | | | | | | |
| 409 | Iniz. | 16 | 2 | 16 | 2 | 16 | 0 | 16 | 8 | 20 | 2 | 2 | 0,0 | 0,0 | | | | | | | | |
| | Mezz. | 16 | 2 | 16 | 2 | 16 | 0 | 16 | 8 | 20 | 2 | 2 | 0,0 | 0,0 | | | | | | | | |
| | Finale | 16 | 2 | 16 | 2 | 16 | 0 | 16 | 8 | 20 | 2 | 2 | 0,0 | 0,0 | | | | | | | | |
| 410 | Iniz. | 16 | 2 | 16 | 2 | 16 | 0 | 16 | 8 | 20 | 2 | 2 | 0,0 | 0,0 | | | | | | | | |
| | Mezz. | 16 | 2 | 16 | 2 | 16 | 0 | 16 | 8 | 20 | 2 | 2 | 0,0 | 0,0 | | | | | | | | |
| | Finale | 16 | 2 | 16 | 2 | 16 | 0 | 16 | 8 | 20 | 2 | 2 | 0,0 | 0,0 | | | | | | | | |
| 411 | Iniz. | 16 | 2 | 16 | 2 | 16 | 0 | 16 | 8 | 20 | 2 | 2 | 0,0 | 0,0 | | | | | | | | |
| | Mezz. | 16 | 2 | 16 | 2 | 16 | 0 | 16 | 8 | 20 | 2 | 2 | 0,0 | 0,0 | | | | | | | | |
| | Finale | 16 | 2 | 16 | 2 | 16 | 0 | 16 | 8 | 20 | 2 | 2 | 0,0 | 0,0 | | | | | | | | |
| 412 | Iniz. | 16 | 2 | 16 | 2 | 16 | 0 | 16 | 8 | 20 | 2 | 2 | 0,0 | 0,0 | | | | | | | | |
| | Mezz. | 16 | 2 | 16 | 2 | 16 | 0 | 16 | 8 | 20 | 2 | 2 | 0,0 | 0,0 | | | | | | | | |
| | Finale | 16 | 2 | 16 | 2 | 16 | 0 | 16 | 8 | 20 | 2 | 2 | 0,0 | 0,0 | | | | | | | | |
| 413 | Iniz. | 16 | 2 | 16 | 2 | 16 | 0 | 16 | 8 | 20 | 2 | 2 | 0,0 | 0,0 | | | | | | | | |
| | Mezz. | 16 | 2 | 16 | 2 | 16 | 0 | 16 | 8 | 20 | 2 | 2 | 0,0 | 0,0 | | | | | | | | |
| | Finale | 16 | 2 | 16 | 2 | 16 | 0 | 16 | 8 | 20 | 2 | 2 | 0,0 | 0,0 | | | | | | | | |
| 414 | Iniz. | 16 | 2 | 16 | 2 | 16 | 0 | 16 | 8 | 20 | 2 | 2 | 0,0 | 0,0 | | | | | | | | |
| | Mezz. | 16 | 2 | 16 | 2 | 16 | 0 | 16 | 8 | 20 | 2 | 2 | 0,0 | 0,0 | | | | | | | | |
| | Finale | 16 | 2 | 16 | 2 | 16 | 0 | 16 | 8 | 20 | 2 | 2 | 0,0 | 0,0 | | | | | | | | |
| 415 | Iniz. | 16 | 2 | 16 | 2 | 16 | 0 | 16 | 8 | 20 | 2 | 2 | 0,0 | 0,0 | | | | | | | | |
| | Mezz. | 16 | 2 | 16 | 2 | 16 | 0 | 16 | 8 | 20 | 2 | 2 | 0,0 | 0,0 | | | | | | | | |
| | Finale | 16 | 2 | 16 | 2 | 16 | 0 | 16 | 8 | 20 | 2 | 2 | 0,0 | 0,0 | | | | | | | | |
| 416 | Iniz. | 16 | 2 | 16 | 2 | 16 | 0 | 16 | 8 | 20 | 2 | 2 | 0,0 | 0,0 | | | | | | | | |
| | Mezz. | 16 | 2 | 16 | 2 | 16 | 0 | 16 | 8 | 20 | 2 | 2 | 0,0 | 0,0 | | | | | | | | |
| | Finale | 16 | 2 | 16 | 2 | 16 | 0 | 16 | 8 | 20 | 2 | 2 | 0,0 | 0,0 | | | | | | | | |
| 417 | Iniz. | 16 | 2 | 16 | 2 | 16 | 0 | 16 | 8 | 20 | 2 | 2 | 0,0 | 0,0 | | | | | | | | |
| | Mezz. | 16 | 2 | 16 | 2 | 16 | 0 | 16 | 8 | 20 | 2 | 2 | 0,0 | 0,0 | | | | | | | | |
| | Finale | 16 | 2 | 16 | 2 | 16 | 0 | 16 | 8 | 20 | 2 | 2 | 0,0 | 0,0 | | | | | | | | |

C.D.S.

DATI ARMATURE ASTE3D - SEZIONE RETTANGOLARE

ASTE IN C.A. CON SEZIONE RETTANGOLARE

| IDENTIFICATIVO | | ARMATURE DI INPUT | | | | | | | | | | | AGGIUNTIVE | | RINFORZO IN FRP | | | | | | | |
|----------------|--------|-------------------|-----------|---------|-----------|---------|-----------|---------|---------|--------|-----------|-----------|------------|-----------|-----------------|---------|---------|---------|---------|-----------------|----------|--|
| Asta Num. | Concio | FiSp mm | NFer Sup. | FiSu mm | NFer Inf. | Filn mm | NFer Par. | FIPa mm | FISt mm | PSt cm | Brac DirX | Brac DirY | AfSup cmq | AfInf cmq | Mat. N.ro | Lung cm | Rag. mm | Num Avv | Nod Con | Condiz. Ambient | SpSol cm | |
| 418 | Iniz. | 16 | 2 | 16 | 2 | 16 | 0 | 16 | 8 | 20 | 2 | 2 | 0,0 | 0,0 | | | | | | | | |
| | Mezz. | 16 | 2 | 16 | 2 | 16 | 0 | 16 | 8 | 20 | 2 | 2 | 0,0 | 0,0 | | | | | | | | |
| | Finale | 16 | 2 | 16 | 2 | 16 | 0 | 16 | 8 | 20 | 2 | 2 | 0,0 | 0,0 | | | | | | | | |
| 419 | Iniz. | 16 | 2 | 16 | 2 | 16 | 0 | 16 | 8 | 20 | 2 | 2 | 0,0 | 0,0 | | | | | | | | |
| | Mezz. | 16 | 2 | 16 | 2 | 16 | 0 | 16 | 8 | 20 | 2 | 2 | 0,0 | 0,0 | | | | | | | | |
| | Finale | 16 | 2 | 16 | 2 | 16 | 0 | 16 | 8 | 20 | 2 | 2 | 0,0 | 0,0 | | | | | | | | |
| 420 | Iniz. | 16 | 2 | 16 | 2 | 16 | 0 | 16 | 8 | 20 | 2 | 2 | 0,0 | 0,0 | | | | | | | | |
| | Mezz. | 16 | 2 | 16 | 2 | 16 | 0 | 16 | 8 | 20 | 2 | 2 | 0,0 | 0,0 | | | | | | | | |
| | Finale | 16 | 2 | 16 | 2 | 16 | 0 | 16 | 8 | 20 | 2 | 2 | 0,0 | 0,0 | | | | | | | | |
| 421 | Iniz. | 16 | 2 | 16 | 2 | 16 | 0 | 16 | 8 | 20 | 2 | 2 | 0,0 | 0,0 | | | | | | | | |
| | Mezz. | 16 | 2 | 16 | 2 | 16 | 0 | 16 | 8 | 20 | 2 | 2 | 0,0 | 0,0 | | | | | | | | |
| | Finale | 16 | 2 | 16 | 2 | 16 | 0 | 16 | 8 | 20 | 2 | 2 | 0,0 | 0,0 | | | | | | | | |
| 422 | Iniz. | 16 | 2 | 16 | 2 | 16 | 0 | 16 | 8 | 20 | 2 | 2 | 0,0 | 0,0 | | | | | | | | |
| | Mezz. | 16 | 2 | 16 | 2 | 16 | 0 | 16 | 8 | 20 | 2 | 2 | 0,0 | 0,0 | | | | | | | | |
| | Finale | 16 | 2 | 16 | 2 | 16 | 0 | 16 | 8 | 20 | 2 | 2 | 0,0 | 0,0 | | | | | | | | |
| 423 | Iniz. | 16 | 2 | 16 | 2 | 16 | 0 | 16 | 8 | 20 | 2 | 2 | 0,0 | 0,0 | | | | | | | | |
| | Mezz. | 16 | 2 | 16 | 2 | 16 | 0 | 16 | 8 | 20 | 2 | 2 | 0,0 | 0,0 | | | | | | | | |
| | Finale | 16 | 2 | 16 | 2 | 16 | 0 | 16 | 8 | 20 | 2 | 2 | 0,0 | 0,0 | | | | | | | | |
| 424 | Iniz. | 16 | 2 | 16 | 2 | 16 | 0 | 16 | 8 | 20 | 2 | 2 | 0,0 | 0,0 | | | | | | | | |
| | Mezz. | 16 | 2 | 16 | 2 | 16 | 0 | 16 | 8 | 20 | 2 | 2 | 0,0 | 0,0 | | | | | | | | |
| | Finale | 16 | 2 | 16 | 2 | 16 | 0 | 16 | 8 | 20 | 2 | 2 | 0,0 | 0,0 | | | | | | | | |
| 425 | Iniz. | 16 | 0 | 16 | 0 | 16 | 0 | 16 | 8 | 20 | 2 | 2 | 0,0 | 0,0 | | | | | | | | |
| | Mezz. | 16 | 0 | 16 | 0 | 16 | 0 | 16 | 8 | 20 | 2 | 2 | 0,0 | 0,0 | | | | | | | | |
| | Finale | 16 | 0 | 16 | 0 | 16 | 0 | 16 | 8 | 20 | 2 | 2 | 0,0 | 0,0 | | | | | | | | |
| 426 | Iniz. | 16 | 0 | 16 | 0 | 16 | 0 | 16 | 8 | 20 | 2 | 2 | 0,0 | 0,0 | | | | | | | | |
| | Mezz. | 16 | 0 | 16 | 0 | 16 | 0 | 16 | 8 | 20 | 2 | 2 | 0,0 | 0,0 | | | | | | | | |
| | Finale | 16 | 0 | 16 | 0 | 16 | 0 | 16 | 8 | 20 | 2 | 2 | 0,0 | 0,0 | | | | | | | | |
| 427 | Iniz. | 16 | 0 | 16 | 0 | 16 | 0 | 16 | 8 | 20 | 2 | 2 | 0,0 | 0,0 | | | | | | | | |
| | Mezz. | 16 | 0 | 16 | 0 | 16 | 0 | 16 | 8 | 20 | 2 | 2 | 0,0 | 0,0 | | | | | | | | |
| | Finale | 16 | 0 | 16 | 0 | 16 | 0 | 16 | 8 | 20 | 2 | 2 | 0,0 | 0,0 | | | | | | | | |
| 428 | Iniz. | 16 | 0 | 16 | 0 | 16 | 0 | 16 | 8 | 20 | 2 | 2 | 0,0 | 0,0 | | | | | | | | |
| | Mezz. | 16 | 0 | 16 | 0 | 16 | 0 | 16 | 8 | 20 | 2 | 2 | 0,0 | 0,0 | | | | | | | | |
| | Finale | 16 | 0 | 16 | 0 | 16 | 0 | 16 | 8 | 20 | 2 | 2 | 0,0 | 0,0 | | | | | | | | |
| 429 | Iniz. | 16 | 0 | 16 | 0 | 16 | 0 | 16 | 8 | 20 | 2 | 2 | 0,0 | 0,0 | | | | | | | | |
| | Mezz. | 16 | 0 | 16 | 0 | 16 | 0 | 16 | 8 | 20 | 2 | 2 | 0,0 | 0,0 | | | | | | | | |
| | Finale | 16 | 0 | 16 | 0 | 16 | 0 | 16 | 8 | 20 | 2 | 2 | 0,0 | 0,0 | | | | | | | | |
| 430 | Iniz. | 16 | 0 | 16 | 0 | 16 | 0 | 16 | 8 | 20 | 2 | 2 | 0,0 | 0,0 | | | | | | | | |
| | Mezz. | 16 | 0 | 16 | 0 | 16 | 0 | 16 | 8 | 20 | 2 | 2 | 0,0 | 0,0 | | | | | | | | |
| | Finale | 16 | 0 | 16 | 0 | 16 | 0 | 16 | 8 | 20 | 2 | 2 | 0,0 | 0,0 | | | | | | | | |
| 431 | Iniz. | 16 | 0 | 16 | 0 | 16 | 0 | 16 | 8 | 20 | 2 | 2 | 0,0 | 0,0 | | | | | | | | |
| | Mezz. | 16 | 0 | 16 | 0 | 16 | 0 | 16 | 8 | 20 | 2 | 2 | 0,0 | 0,0 | | | | | | | | |
| | Finale | 16 | 0 | 16 | 0 | 16 | 0 | 16 | 8 | 20 | 2 | 2 | 0,0 | 0,0 | | | | | | | | |
| 432 | Iniz. | 16 | 0 | 16 | 0 | 16 | 0 | 16 | 8 | 20 | 2 | 2 | 0,0 | 0,0 | | | | | | | | |
| | Mezz. | 16 | 0 | 16 | 0 | 16 | 0 | 16 | 8 | 20 | 2 | 2 | 0,0 | 0,0 | | | | | | | | |
| | Finale | 16 | 0 | 16 | 0 | 16 | 0 | 16 | 8 | 20 | 2 | 2 | 0,0 | 0,0 | | | | | | | | |
| 433 | Iniz. | 16 | 0 | 16 | 0 | 16 | 0 | 16 | 8 | 20 | 2 | 2 | 0,0 | 0,0 | | | | | | | | |
| | Mezz. | 16 | 0 | 16 | 0 | 16 | 0 | 16 | 8 | 20 | 2 | 2 | 0,0 | 0,0 | | | | | | | | |
| | Finale | 16 | 0 | 16 | 0 | 16 | 0 | 16 | 8 | 20 | 2 | 2 | 0,0 | 0,0 | | | | | | | | |
| 434 | Iniz. | 16 | 0 | 16 | 0 | 16 | 0 | 16 | 8 | 20 | 2 | 2 | 0,0 | 0,0 | | | | | | | | |
| | Mezz. | 16 | 0 | 16 | 0 | 16 | 0 | 16 | 8 | 20 | 2 | 2 | 0,0 | 0,0 | | | | | | | | |
| | Finale | 16 | 0 | 16 | 0 | 16 | 0 | 16 | 8 | 20 | 2 | 2 | 0,0 | 0,0 | | | | | | | | |
| 435 | Iniz. | 16 | 2 | 16 | 2 | 16 | 0 | 16 | 8 | 20 | 2 | 2 | 0,0 | 0,0 | | | | | | | | |
| | Mezz. | 16 | 2 | 16 | 2 | 16 | 0 | 16 | 8 | 20 | 2 | 2 | 0,0 | 0,0 | | | | | | | | |
| | Finale | 16 | 2 | 16 | 2 | 16 | 0 | 16 | 8 | 20 | 2 | 2 | 0,0 | 0,0 | | | | | | | | |
| 436 | Iniz. | 16 | 2 | 16 | 2 | 16 | 0 | 16 | 8 | 20 | 2 | 2 | 0,0 | 0,0 | | | | | | | | |
| | Mezz. | 16 | 2 | 16 | 2 | 16 | 0 | 16 | 8 | 20 | 2 | 2 | 0,0 | 0,0 | | | | | | | | |
| | Finale | 16 | 2 | 16 | 2 | 16 | 0 | 16 | 8 | 20 | 2 | 2 | 0,0 | 0,0 | | | | | | | | |
| 437 | Iniz. | 16 | 2 | 16 | 2 | 16 | 0 | 16 | 8 | 20 | 2 | 2 | 0,0 | 0,0 | | | | | | | | |

DATI ARMATURE ASTE3D - SEZIONE RETTANGOLARE

ASTE IN C.A. CON SEZIONE RETTANGOLARE

| IDENTIFICATIVO | | ARMATURE DI INPUT | | | | | | | | | | | AGGIUNTIVE | | RINFORZO IN FRP | | | | | | |
|----------------|--------|-------------------|-----------|---------|-----------|---------|-----------|---------|---------|---------|-----------|-----------|------------|-----------|-----------------|---------|---------|---------|---------|-----------------|----------|
| Asta Num. | Concio | FiSp mm | NFer Sup. | FiSu mm | NFer Inf. | Filn mm | NFer Par. | FIPa mm | FIST mm | PsSt cm | Brac DirX | Brac DirY | AfSup cmq | AfInf cmq | Mat. N.ro | Lung cm | Rag. mm | Num Avv | Nod Con | Condiz. Ambient | SpSol cm |
| | Mezz. | 16 | 2 | 16 | 2 | 16 | 0 | 16 | 8 | 20 | 2 | 2 | 0,0 | 0,0 | | | | | | | |
| | Finale | 16 | 2 | 16 | 2 | 16 | 0 | 16 | 8 | 20 | 2 | 2 | 0,0 | 0,0 | | | | | | | |
| 438 | Iniz. | 16 | 2 | 16 | 2 | 16 | 0 | 16 | 8 | 20 | 2 | 2 | 0,0 | 0,0 | | | | | | | |
| | Mezz. | 16 | 2 | 16 | 2 | 16 | 0 | 16 | 8 | 20 | 2 | 2 | 0,0 | 0,0 | | | | | | | |
| | Finale | 16 | 2 | 16 | 2 | 16 | 0 | 16 | 8 | 20 | 2 | 2 | 0,0 | 0,0 | | | | | | | |
| 439 | Iniz. | 16 | 2 | 16 | 2 | 16 | 0 | 16 | 8 | 20 | 2 | 2 | 0,0 | 0,0 | | | | | | | |
| | Mezz. | 16 | 2 | 16 | 2 | 16 | 0 | 16 | 8 | 20 | 2 | 2 | 0,0 | 0,0 | | | | | | | |
| | Finale | 16 | 2 | 16 | 2 | 16 | 0 | 16 | 8 | 20 | 2 | 2 | 0,0 | 0,0 | | | | | | | |
| 440 | Iniz. | 16 | 2 | 16 | 2 | 16 | 0 | 16 | 8 | 20 | 2 | 2 | 0,0 | 0,0 | | | | | | | |
| | Mezz. | 16 | 2 | 16 | 2 | 16 | 0 | 16 | 8 | 20 | 2 | 2 | 0,0 | 0,0 | | | | | | | |
| | Finale | 16 | 2 | 16 | 2 | 16 | 0 | 16 | 8 | 20 | 2 | 2 | 0,0 | 0,0 | | | | | | | |
| 441 | Iniz. | 16 | 2 | 16 | 2 | 16 | 0 | 16 | 8 | 20 | 2 | 2 | 0,0 | 0,0 | | | | | | | |
| | Mezz. | 16 | 2 | 16 | 2 | 16 | 0 | 16 | 8 | 20 | 2 | 2 | 0,0 | 0,0 | | | | | | | |
| | Finale | 16 | 2 | 16 | 2 | 16 | 0 | 16 | 8 | 20 | 2 | 2 | 0,0 | 0,0 | | | | | | | |
| 442 | Iniz. | 16 | 2 | 16 | 2 | 16 | 0 | 16 | 8 | 20 | 2 | 2 | 0,0 | 0,0 | | | | | | | |
| | Mezz. | 16 | 2 | 16 | 2 | 16 | 0 | 16 | 8 | 20 | 2 | 2 | 0,0 | 0,0 | | | | | | | |
| | Finale | 16 | 2 | 16 | 2 | 16 | 0 | 16 | 8 | 20 | 2 | 2 | 0,0 | 0,0 | | | | | | | |
| 443 | Iniz. | 16 | 2 | 16 | 2 | 16 | 0 | 16 | 8 | 20 | 2 | 2 | 0,0 | 0,0 | | | | | | | |
| | Mezz. | 16 | 2 | 16 | 2 | 16 | 0 | 16 | 8 | 20 | 2 | 2 | 0,0 | 0,0 | | | | | | | |
| | Finale | 16 | 2 | 16 | 2 | 16 | 0 | 16 | 8 | 20 | 2 | 2 | 0,0 | 0,0 | | | | | | | |
| 444 | Iniz. | 16 | 2 | 16 | 2 | 16 | 0 | 16 | 8 | 20 | 2 | 2 | 0,0 | 0,0 | | | | | | | |
| | Mezz. | 16 | 2 | 16 | 2 | 16 | 0 | 16 | 8 | 20 | 2 | 2 | 0,0 | 0,0 | | | | | | | |
| | Finale | 16 | 2 | 16 | 2 | 16 | 0 | 16 | 8 | 20 | 2 | 2 | 0,0 | 0,0 | | | | | | | |
| 445 | Iniz. | 16 | 2 | 16 | 2 | 16 | 0 | 16 | 8 | 20 | 2 | 2 | 0,0 | 0,0 | | | | | | | |
| | Mezz. | 16 | 2 | 16 | 2 | 16 | 0 | 16 | 8 | 20 | 2 | 2 | 0,0 | 0,0 | | | | | | | |
| | Finale | 16 | 2 | 16 | 2 | 16 | 0 | 16 | 8 | 20 | 2 | 2 | 0,0 | 0,0 | | | | | | | |

DATI ARMATURE ASTE3D - SEZIONE CIRCOLARE

ASTE IN C.A. CON SEZIONE CIRCOLARE

| IDENTIFICATIVO | | ARMATURE DI INPUT | | | | RINFORZO IN FRP | | | | | | |
|----------------|--------|-------------------|-------------|----------|----------|-----------------|----------|---------|-----------|-----------|------------------|----------|
| Asta Num. | Concio | FiFer mm | NFerr Long. | FiSta mm | PsSta cm | Mater Nro | Lungh cm | Rag. mm | Num. Avv. | Nodo Conf | Condiz. Ambient. | SpSol cm |
| 28 | Iniz. | 16 | 6 | 8 | 20 | | | | | | | |
| | Mezz. | | | | | | | | | | | |
| | Finale | 16 | 6 | 8 | 20 | | | | | | | |

C.D.S.

| PULSAZIONI E MODI DI VIBRAZIONE | | | | | | | | | | | | | |
|---------------------------------|----------------------|---------------|--------------|----------|----------|------------|------------|------------|------------|------------|-----------|-----------|-----------|
| Modo N.ro | Pulsazione (rad/sec) | Periodo (sec) | Smorz Mod(%) | Sd/g SLO | Sd/g SLD | Sd/g SLV X | Sd/g SLV Y | Sd/g SLC X | Sd/g SLC Y | Piano N.ro | X (m) | Y (m) | Rot (rad) |
| 1 | 33,200 | 0,18925 | 5,0 | 0,445 | 0,515 | 0,436 | 0,436 | 0,993 | 0,993 | 1 | 0,004421 | 0,001369 | -0,00083 |
| | | | | | | | | | | 2 | 0,009913 | 0,003328 | -0,00201 |
| | | | | | | | | | | 3 | 0,015562 | 0,005473 | -0,00330 |
| | | | | | | | | | | 4 | 0,020616 | 0,007512 | -0,00452 |
| 2 | 42,860 | 0,14660 | 5,0 | 0,393 | 0,455 | 0,434 | 0,434 | 0,870 | 0,870 | 1 | 0,000000 | 0,006495 | -0,00001 |
| | | | | | | | | | | 2 | 0,000002 | 0,013740 | -0,00002 |
| | | | | | | | | | | 3 | 0,000010 | 0,020202 | -0,00002 |
| | | | | | | | | | | 4 | 0,000026 | 0,025048 | -0,00002 |
| 3 | 64,099 | 0,09802 | 5,0 | 0,333 | 0,385 | 0,431 | 0,431 | 0,714 | 0,714 | 1 | 0,008098 | -0,008635 | 0,000516 |
| | | | | | | | | | | 2 | 0,015573 | -0,017361 | 0,001037 |
| | | | | | | | | | | 3 | 0,021534 | -0,024892 | 0,001488 |
| | | | | | | | | | | 4 | 0,025245 | -0,030165 | 0,001805 |
| 4 | 110,536 | 0,05684 | 5,0 | 0,283 | 0,327 | 0,429 | 0,429 | 0,582 | 0,582 | 1 | -0,015250 | -0,004604 | 0,000278 |
| | | | | | | | | | | 2 | -0,016307 | -0,005578 | 0,000336 |
| | | | | | | | | | | 3 | -0,001839 | -0,001840 | 0,000110 |
| | | | | | | | | | | 4 | 0,017556 | 0,004033 | -0,00244 |
| 5 | 131,248 | 0,04787 | 5,0 | 0,272 | 0,314 | 0,429 | 0,429 | 0,554 | 0,554 | 1 | -0,000011 | -0,018796 | 0,000003 |
| | | | | | | | | | | 2 | -0,000007 | -0,020099 | 0,000004 |
| | | | | | | | | | | 3 | -0,000002 | -0,001285 | 0,000000 |
| | | | | | | | | | | 4 | 0,000011 | 0,021663 | -0,000003 |
| 6 | 190,092 | 0,03305 | 5,0 | 0,253 | 0,293 | 0,428 | 0,428 | 0,506 | 0,506 | 1 | 0,023710 | -0,022619 | 0,001353 |
| | | | | | | | | | | 2 | 0,017486 | -0,022511 | 0,001346 |
| | | | | | | | | | | 3 | -0,005414 | 0,001219 | -0,000073 |
| | | | | | | | | | | 4 | -0,019941 | 0,027772 | -0,001662 |
| 7 | 200,085 | 0,03140 | 5,0 | 0,251 | 0,290 | 0,428 | 0,428 | 0,501 | 0,501 | 1 | -0,014748 | -0,009407 | 0,000568 |
| | | | | | | | | | | 2 | 0,009101 | -0,004082 | 0,000243 |
| | | | | | | | | | | 3 | 0,015649 | 0,004114 | -0,000250 |
| | | | | | | | | | | 4 | -0,018200 | 0,003107 | -0,000182 |
| 8 | 226,055 | 0,02779 | 5,0 | 0,247 | 0,285 | 0,427 | 0,427 | 0,489 | 0,489 | 1 | -0,000021 | -0,022155 | 0,000005 |
| | | | | | | | | | | 2 | 0,000030 | 0,005814 | 0,000000 |
| | | | | | | | | | | 3 | 0,000013 | 0,019530 | -0,000005 |
| | | | | | | | | | | 4 | -0,000052 | -0,016641 | 0,000000 |
| 9 | 260,978 | 0,02408 | 5,0 | 0,242 | 0,280 | 0,427 | 0,427 | 0,477 | 0,477 | 1 | -0,013045 | -0,001668 | 0,000104 |
| | | | | | | | | | | 2 | 0,020206 | 0,003409 | -0,000210 |
| | | | | | | | | | | 3 | -0,016093 | -0,003521 | 0,000215 |
| | | | | | | | | | | 4 | 0,006928 | 0,001564 | -0,000095 |
| 10 | 300,421 | 0,02091 | 5,0 | 0,239 | 0,276 | 0,427 | 0,427 | 0,467 | 0,467 | 1 | -0,000145 | -0,014815 | -0,000006 |
| | | | | | | | | | | 2 | 0,000133 | 0,022502 | 0,000002 |
| | | | | | | | | | | 3 | -0,000011 | -0,018500 | 0,000005 |
| | | | | | | | | | | 4 | -0,000028 | 0,008375 | -0,000004 |
| 11 | 314,675 | 0,01997 | 5,0 | 0,237 | 0,274 | 0,427 | 0,427 | 0,464 | 0,464 | 1 | -0,020736 | 0,026672 | -0,001592 |
| | | | | | | | | | | 2 | 0,008454 | -0,010993 | 0,000652 |
| | | | | | | | | | | 3 | 0,017234 | -0,020864 | 0,001252 |
| | | | | | | | | | | 4 | -0,019559 | 0,023719 | -0,001422 |
| 12 | 395,993 | 0,01587 | 5,0 | 0,232 | 0,268 | 0,427 | 0,427 | 0,451 | 0,451 | 1 | 0,012563 | -0,016311 | 0,000973 |
| | | | | | | | | | | 2 | -0,020702 | 0,026588 | -0,001586 |
| | | | | | | | | | | 3 | 0,018734 | -0,023861 | 0,001424 |
| | | | | | | | | | | 4 | -0,011036 | 0,013789 | -0,000824 |

● **SPECIFICHE CAMPI TABELLA DI STAMPA PUSH-OVER**

| | |
|---------------------------------------|--|
| Numero d'ordine della PushOver | : Tipo di distribuzione delle forze orizzontali utilizzate nell'analisi. |
| Angolo Ingr. Sisma (Grd) | : Angolo di ingresso del sisma della PushOver. |
| Numero collassi totali | : Numero di elementi che hanno raggiunto la condizione di collasso al termine dell'analisi. |
| Numero passo Resist.Max. | : Numero del passo a cui corrisponde il picco massimo del taglio alla base nella curva di capacità. |
| Numero passi significativi | : Numero dei passi significativi alla fine dell'analisi. |
| Massa SDOF, (t) | : Massa totale del sistema equivalente. |
| Taglio alla base max., (t) | : Tagliante massimo alla base della struttura reale. |
| Coeff. Partecipazione | : Coefficiente di partecipazione relativo alla distribuzione di forze orizzontali utilizzate nell'analisi della PushOver. |
| Resistenza SDOF, (t) | : Resistenza allo snervamento del sistema ad un grado di libertà equivalente. |
| Rigidezza SDOF, (t/m) | : Rigidezza all'origine del sistema ad un grado di libertà equivalente. |
| Spostam. Snervam. SDOF, (mm) | : Spostamento a cui corrisponde lo snervamento del sistema ad un grado di libertà equivalente. |
| Periodo SDOF, (sec) | : Periodo proprio del sistema ad un grado di libertà equivalente. |
| Rapporto di incrudimento | : Rapporto tra la rigidezza incrudente e la rigidezza all'origine del sistema ad un grado di libertà equivalente. Per un sistema elastico perfettamente plastico tale rapporto vale sempre 0. |
| Rapporto Alfau/alfa1 | : Rapporto tra il tagliante ultimo e il tagliante a cui corrisponde la formazione della prima cerniera plastica. Per le strutture esistenti tale valore può assumere valori molto alti in quanto per bassi valori di forze orizzontali spesso viene raggiunto il limite elastico in qualche sezione. |
| Fattore struttura | : Fattore di struttura (q) calcolato a posteriori in funzione delle effettive risorse anelastiche della struttura. |
| Coeff Smorzam.Equival. | : Coefficiente di smorzamento di un oscillatore elasto-viscoso che dissipa per viscosità la stessa energia della struttura. |
| Duttilità | : Duttilità misurata sul legame bilatero del sistema elasto-plastico equivalente come rapporto tra lo spostamento ultimo (fine del tratto orizzontale) e lo spostamento al limite elastico (inizio tratto orizzontale). |

Per ogni stato limite richiesto, la frase "MECCANISMI CONSIDERATI NELL'ANALISI" significa:

Con Flag di post-verifica = NO : Considera nell'analisi al passo non lineare sia i meccanismi fragili attivati che quelli duttili.

Con Flag di post-verifica = SI : Verifica a posteriori dei meccanismi fragili in corrispondenza dei passi della curva di capacità precedentemente valutata per il solo comportamento duttile. I risultati relativi ai soli meccanismi fragili sono riportati in una apposita tabella.

| | |
|--------------------------------|--|
| Spostamento | : Domanda/Capacità dello spostamento relativo allo stato limite. |
| S.L.x | : Flag riassuntivo della verifica effettuata per i meccanismi considerati nell'analisi. |
| PgaLx/g | : Valore della PGA limite corrispondente alla prestazione definita per lo stato limite considerato e per i meccanismi considerati nell'analisi. |
| q* | : Rapporto tra la domanda elastica di tagliante alla base e la resistenza del sistema SDOF equivalente. Viene utilizzato solo per le strutture in muratura in qual caso non può superare il valore 3. |
| Numero passo precedente | : Numero passo precedente al punto della curva per cui si raggiunge la capacità rispetto alla prestazione definita per lo stato limite e per i soli meccanismi considerati nell'analisi. |
| PgaLx/Pga y% | : Rapporto tra la PGA limite e la PGA al bedrock del sisma atteso nel sito con la probabilità prevista per lo stato limite corrispondente. |
| Asta3D Nro | : Numerazione 3D dell'asta in cui si raggiunge la prestazione definita per lo stato limite e per i soli meccanismi considerati nell'analisi. |
| TrCLx | : Valore del periodo di ritorno corrispondente all'evento sismico che provoca il raggiungimento della capacità per lo stato limite considerato e per i soli meccanismi considerati nell'analisi. |
| (TrCLx/TDLx)^a | : Rapporto tra il periodo di ritorno del sisma a cui corrisponde il raggiungimento della capacità ed il periodo di ritorno del sisma atteso nel sito con la probabilità prevista per lo stato limite corrispondente. L'esponente a vale 0,41 come previsto dalle linee guida nazionali. |

DATI STAMPATI PER LE TABELLE AUSILIARIE

| | |
|--|--|
| Push. nro | : Numero della PushOver. |
| PRIMO COLLASSO | : Dati relativi ai meccanismi fragili per gli elementi in calcestruzzo armato del Nodo e del Taglio. |
| TrCLC | : Valore del periodo di ritorno corrispondente all'evento sismico che provoca il raggiungimento della capacità per lo stato limite di collasso del Nodo/Taglio. |
| PgaLC/g | : Valore della PGA corrispondente all'evento sismico che provoca il raggiungimento della capacità per lo stato limite di collasso Nodo/Taglio. |
| Resistenza nel Piano di un pannello in muratura | : Indicatori di capacità relativi alla prestazione di raggiungimento della resistenza nel piano del primo pannello in muratura. |
| TrCLV | : Valore del periodo di ritorno corrispondente all'evento sismico che provoca il raggiungimento della capacità per lo stato limite di Salvaguardia della Vita. Prestazione definita dal raggiungimento della resistenza nel piano del primo pannello in muratura. |
| PgaLV/g | : Valore della PGA corrispondente all'evento sismico che provoca il raggiungimento della capacità per lo stato limite di Salvaguardia della Vita. Prestazione definita dal raggiungimento della resistenza nel piano del primo pannello in muratura. |
| VERIFICA MECCANISMI FRAGILI STRUTTURE IN C.A. | : Viene stampata la condizione di VERIFICATA/NON VERIFICATA. Nel caso non venga stampato nulla significa che la verifica effettuata a posteriori sulla curva di capacità determinata con l'analisi non lineare tenendo conto del solo comportamento duttile non è stata in grado di individuare alcun meccanismo fragile per cui è necessario ripetere l'analisi tenendo in conto i meccanismi fragili e settando il dato Push+PostVer. = No. |

RISULTATI GENERALI PUSH-OVER**MECCANISMI DI COLLASSO CONSIDERATI NELLA ANALISI PUSH-OVER**

- Analisi con meccanismi DUTTILI E FRAGILI
- NESSUNA modalita' di collasso considerata per il nodo in CLS
- Collasso a taglio considerato su TUTTE le aste in CLS
- Collasso per ripresa di getto IGNORATA
- Effetti P-Delta IGNORATI
- DISTRIBUZIONI FORZE SECONDO DEFORMATA MODALE: Proporzionale al Primo Modo

RISULTATI GENERALI PUSH-OVER

| PUSH-OVER N.ro | | 1 - | Distrib.Forze Fx(+) Prop.Modo: +Ecc5% | |
|---|------------|-------------------------|---------------------------------------|----------|
| Angolo Ingr. Sisma (Grd) | 0 | | Numero collassi totali | 5 |
| Numero passo Resist.Max. | 47 | | Numero passi significativi | 47 |
| Massa SDOF (t) | 1960,60 | | Taglio alla base max. (t) | 3263,89 |
| Coeff. Partecipazione | 1,38 | | Resistenza SDOF (t) | 2199,04 |
| Rigidezza SDOF (t/m) | 188578,56 | | Spostam. Snervam. SDOF mm | 12 |
| Periodo SDOF (sec) | 0,20 | | Rapporto di incrudimento | 0,000 |
| Rapporto Alfau/alfa1 | 7,696 | | Fattore di comportamento | 1,055 |
| Coeff Smorzam.Equival. | 10,000 | | Duttilita | 1,189 |
| STATO LIMITE DI OPERATIVITA' | | | | |
| DOMANDA | | CAPACITA' | | |
| Spostamento mm | 4,825 | Spostamento mm | | 13,203 |
| S.L. Operativita' | VERIFICATO | Numero passo precedente | | 43 |
| PgaLO/g | 0,332 | ZetaE=PgaLO/Pga 81% | | 3,423 |
| Rapporto q*=Fe/Fy | 0,41 | TrCLO | | 2475,000 |
| Tempo Intervento (anni) | 2055,000 | (TrCLO/TDLO)^a | | 3,475 |
| STATO LIMITE DI DANNO | | | | |
| DOMANDA | | CAPACITA' | | |
| Spostamento mm | 5,585 | Spostamento mm | | 13,203 |
| S.L. Danno | VERIFICATO | Numero passo precedente | | 43 |
| PgaLD/g | 0,332 | ZetaE=PgaLD/Pga 63% | | 2,678 |
| Rapporto q*=Fe/Fy | 0,48 | Asta3D Nro | | |
| Tempo Intervento (anni) | 1230,500 | TrCLD | | 2475,000 |
| ----- | | (TrCLD/TDLD)^a | | 2,810 |
| STATO LIMITE DI SALVAGUARDIA DELLA VITA | | | | |
| DOMANDA | | CAPACITA' | | |
| Spostamento mm | 10,463 | Spostamento mm | | 13,203 |
| S.L. Salvaguardia Vita | VERIFICATO | Numero passo precedente | | 43 |
| PgaLV/g | 0,332 | ZetaE=PgaLV/Pga 10% | | 1,096 |
| Rapporto q*=Fe/Fy | 0,90 | Asta3D Nro | | 332 |
| Tempo Intervento (anni) | 130,500 | TrCLV | | 2475,000 |
| ----- | | (TrCLV/TDLV)^a | | 1,115 |
| STATO LIMITE DI COLLASSO | | | | |
| DOMANDA | | CAPACITA' | | |
| Spostamento mm | 10,328 | Spostamento mm | | 13,211 |
| S.L. Collasso | VERIFICATO | Numero passo precedente | | 44 |
| PgaLC/g | 0,332 | ZetaE=PgaLC/Pga 5% | | 1,000 |
| Rapporto q*=Fe/Fy | 0,89 | Asta3D Nro | | 332 |
| Tempo Intervento (anni) | 63,500 | TrCLC | | 2475,000 |
| ----- | | (TrCLC/TDLC)^a | | 1,000 |

RISULTATI GENERALI PUSH-OVER

| PUSH-OVER N.ro | | 2 - | Distrib.Forze Fx(-) Prop.Modo: +Ecc5% | |
|--------------------------|-----|-----|---------------------------------------|---|
| Angolo Ingr. Sisma (Grd) | 180 | | Numero collassi totali | 5 |

Sidoti Engineering S.R.L.

SOFTWARE: C.D.S. - Full - Rel.2018 - Lic. Nro: 34987

C.D.S.

| | | | |
|--|------------|----------------------------|----------|
| Numero passo Resist.Max. | 49 | Numero passi significativi | 49 |
| Massa SDOF (t) | 1960,60 | Taglio alla base max. (t) | 3077,86 |
| Coeff. Partecipazione | 1,38 | Resistenza SDOF (t) | 2098,87 |
| Rigidezza SDOF (t/m) | 182589,31 | Spostam. Snervam. SDOF mm | 11 |
| Periodo SDOF (sec) | 0,21 | Rapporto di incrudimento | 0,000 |
| Rapporto Alfau/alfa1 | 7,479 | Fattore di comportamento | 1,069 |
| Coeff Smorzam.Equival. | 10,000 | Duttilita | 1,231 |
| STATO LIMITE DI OPERATIVITA' | | | |
| DOMANDA | | CAPACITA' | |
| Spostamento mm | 5,027 | Spostamento mm | 13,160 |
| S.L. Operativita' | VERIFICATO | Numero passo precedente | 43 |
| PgaLO/g | 0,332 | ZetaE=PgaLO/Pga 81% | 3,423 |
| Rapporto q*=Fe/Fy | 0,44 | TrCLO | 2475,000 |
| Tempo Intervento (anni) | 2055,000 | (TrCLO/TDLO)^a | 3,475 |
| STATO LIMITE DI DANNO | | | |
| DOMANDA | | CAPACITA' | |
| Spostamento mm | 5,819 | Spostamento mm | 13,160 |
| S.L. Danno | VERIFICATO | Numero passo precedente | 43 |
| PgaLD/g | 0,332 | ZetaE=PgaLD/Pga 63% | 2,678 |
| Rapporto q*=Fe/Fy | 0,51 | Asta3D Nro | |
| Tempo Intervento (anni) | 1230,500 | TrCLD | 2475,000 |
| ----- | | (TrCLD/TDLD)^a | 2,810 |
| STATO LIMITE DI SALVAGUARDIA DELLA VITA | | | |
| DOMANDA | | CAPACITA' | |
| Spostamento mm | 10,908 | Spostamento mm | 13,160 |
| S.L. Salvaguardia Vita | VERIFICATO | Numero passo precedente | 43 |
| PgaLV/g | 0,332 | ZetaE=PgaLV/Pga 10% | 1,096 |
| Rapporto q*=Fe/Fy | 0,95 | Asta3D Nro | 321 |
| Tempo Intervento (anni) | 130,500 | TrCLV | 2475,000 |
| ----- | | (TrCLV/TDLV)^a | 1,115 |
| STATO LIMITE DI COLLASSO | | | |
| DOMANDA | | CAPACITA' | |
| Spostamento mm | 10,666 | Spostamento mm | 13,173 |
| S.L. Collasso | VERIFICATO | Numero passo precedente | 44 |
| PgaLC/g | 0,332 | ZetaE=PgaLC/Pga 5% | 1,000 |
| Rapporto q*=Fe/Fy | 0,93 | Asta3D Nro | 321 |
| Tempo Intervento (anni) | 63,500 | TrCLC | 2475,000 |
| ----- | | (TrCLC/TDLC)^a | 1,000 |

RISULTATI GENERALI PUSH-OVER

| | | | |
|-------------------------------------|------------|--------------------------------------|---------|
| PUSH-OVER N.ro | 3 - | Distrib.Forze Fy(+) Prop.Mod: +Ecc5% | |
| Angolo Ingr. Sisma (Grd) | 90 | Numero collassi totali | 5 |
| Numero passo Resist.Max. | 64 | Numero passi significativi | 64 |
| Massa SDOF (t) | 2130,67 | Taglio alla base max. (t) | 4467,29 |
| Coeff. Partecipazione | 1,33 | Resistenza SDOF (t) | 2953,42 |
| Rigidezza SDOF (t/m) | 325875,09 | Spostam. Snervam. SDOF mm | 9 |
| Periodo SDOF (sec) | 0,16 | Rapporto di incrudimento | 0,000 |
| Rapporto Alfau/alfa1 | 4,944 | Fattore di comportamento | 1,064 |
| Coeff Smorzam.Equival. | 11,000 | Duttilita | 1,277 |
| STATO LIMITE DI OPERATIVITA' | | | |
| DOMANDA | | CAPACITA' | |
| Spostamento mm | 2,695 | Spostamento mm | 7,284 |
| S.L. Operativita' | VERIFICATO | Numero passo precedente | 32 |
| PgaLO/g | 0,332 | ZetaE=PgaLO/Pga 81% | 3,423 |

Sidoti Engineering S.R.L.

SOFTWARE: C.D.S. - Full - Rel.2018 - Lic. Nro: 34987

C.D.S.

| | | | |
|--|------------|-------------------------|----------|
| Rapporto $q^*=Fe/Fy$ | 0,30 | TrCLO | 2475,000 |
| Tempo Intervento (anni) | 2055,000 | (TrCLO/TDLO)^a | 3,475 |
| STATO LIMITE DI DANNO | | | |
| DOMANDA | | CAPACITA' | |
| Spostamento mm | 3,118 | Spostamento mm | 7,284 |
| S.L. Danno | VERIFICATO | Numero passo precedente | 32 |
| PgaLD/g | 0,332 | ZetaE=PgaLD/Pga 63% | 2,678 |
| Rapporto $q^*=Fe/Fy$ | 0,34 | Asta3D Nro | |
| Tempo Intervento (anni) | 1230,500 | TrCLD | 2475,000 |
| ----- | | (TrCLD/TDLD)^a | 2,810 |
| STATO LIMITE DI SALVAGUARDIA DELLA VITA | | | |
| DOMANDA | | CAPACITA' | |
| Spostamento mm | 5,795 | Spostamento mm | 7,284 |
| S.L. Salvaguardia Vita | VERIFICATO | Numero passo precedente | 32 |
| PgaLV/g | 0,332 | ZetaE=PgaLV/Pga 10% | 1,096 |
| Rapporto $q^*=Fe/Fy$ | 0,64 | Asta3D Nro | 29 |
| Tempo Intervento (anni) | 130,500 | TrCLV | 2475,000 |
| ----- | | (TrCLV/TDLV)^a | 1,115 |
| STATO LIMITE DI COLLASSO | | | |
| DOMANDA | | CAPACITA' | |
| Spostamento mm | 6,018 | Spostamento mm | 7,307 |
| S.L. Collasso | VERIFICATO | Numero passo precedente | 33 |
| PgaLC/g | 0,332 | ZetaE=PgaLC/Pga 5% | 1,000 |
| Rapporto $q^*=Fe/Fy$ | 0,66 | Asta3D Nro | 29 |
| Tempo Intervento (anni) | 63,500 | TrCLC | 2475,000 |
| ----- | | (TrCLC/TDLC)^a | 1,000 |

RISULTATI GENERALI PUSH-OVER

| | | | |
|--|------------|--|----------|
| PUSH-OVER N.ro | 4 - | Distrib.Forze $Fy(-)$ Prop.Mod: +Ecc5% | |
| Angolo Ingr. Sisma (Grd) | 270 | Numero collassi totali | 5 |
| Numero passo Resist.Max. | 90 | Numero passi significativi | 90 |
| Massa SDOF (t) | 2130,67 | Taglio alla base max. (t) | 6673,67 |
| Coeff. Partecipazione | 1,33 | Resistenza SDOF (t) | 4793,35 |
| Rigidzza SDOF (t/m) | 312992,91 | Spostam. Snervam. SDOF mm | 15 |
| Periodo SDOF (sec) | 0,17 | Rapporto di incrudimento | 0,000 |
| Rapporto Alfau/alfa1 | 9,252 | Fattore di comportamento | 1,022 |
| Coeff Smorzam.Equival. | 7,000 | Duttilita | 1,092 |
| STATO LIMITE DI OPERATIVITA' | | | |
| DOMANDA | | CAPACITA' | |
| Spostamento mm | 2,833 | Spostamento mm | 12,240 |
| S.L. Operativita' | VERIFICATO | Numero passo precedente | 62 |
| PgaLO/g | 0,332 | ZetaE=PgaLO/Pga 81% | 3,423 |
| Rapporto $q^*=Fe/Fy$ | 0,18 | TrCLO | 2475,000 |
| Tempo Intervento (anni) | 2055,000 | (TrCLO/TDLO)^a | 3,475 |
| STATO LIMITE DI DANNO | | | |
| DOMANDA | | CAPACITA' | |
| Spostamento mm | 3,278 | Spostamento mm | 12,240 |
| S.L. Danno | VERIFICATO | Numero passo precedente | 62 |
| PgaLD/g | 0,332 | ZetaE=PgaLD/Pga 63% | 2,678 |
| Rapporto $q^*=Fe/Fy$ | 0,21 | Asta3D Nro | 27 |
| Tempo Intervento (anni) | 1230,500 | TrCLD | 2475,000 |
| ----- | | (TrCLD/TDLD)^a | 2,810 |
| STATO LIMITE DI SALVAGUARDIA DELLA VITA | | | |
| DOMANDA | | CAPACITA' | |

C.D.S.

| | | | |
|---------------------------------|------------|-------------------------|----------|
| Spostamento mm | 6,097 | Spostamento mm | 12,240 |
| S.L. Salvaguardia Vita | VERIFICATO | Numero passo precedente | 62 |
| PgaLV/g | 0,332 | ZetaE=PgaLV/Pga 10% | 1,096 |
| Rapporto q*=Fe/Fy | 0,40 | Asta3D Nro | 419 |
| Tempo Intervento (anni) | 130,500 | TrCLV | 2475,000 |
| ----- | | (TrCLV/TDLV)^a | 1,115 |
| STATO LIMITE DI COLLASSO | | | |
| DOMANDA | | CAPACITA' | |
| Spostamento mm | 6,337 | Spostamento mm | 12,274 |
| S.L. Collasso | VERIFICATO | Numero passo precedente | 63 |
| PgaLC/g | 0,332 | ZetaE=PgaLC/Pga 5% | 1,000 |
| Rapporto q*=Fe/Fy | 0,41 | Asta3D Nro | 419 |
| Tempo Intervento (anni) | 63,500 | TrCLC | 2475,000 |
| ----- | | (TrCLC/TDLC)^a | 1,000 |

RISULTATI GENERALI PUSH-OVER

| | | | |
|--|------------|--|----------|
| PUSH-OVER N.ro | 5 - | Distrib.Forze Fx(+) Prop.Massa: +Ecc5% | |
| Angolo Ingr. Sisma (Grd) | 0 | Numero collassi totali | 5 |
| Numero passo Resist.Max. | 46 | Numero passi significativi | 53 |
| Massa SDOF (t) | 3374,02 | Taglio alla base max. (t) | 3845,43 |
| Coeff. Partecipazione | 1,00 | Resistenza SDOF (t) | 3617,44 |
| Rigidezza SDOF (t/m) | 245510,92 | Spostam. Snervam. SDOF mm | 15 |
| Periodo SDOF (sec) | 0,24 | Rapporto di incrudimento | 0,000 |
| Rapporto Alfau/alfa1 | 7,330 | Fattore di comportamento | 1,084 |
| Coeff Smorzam.Equival. | 11,000 | Duttilita | 1,249 |
| STATO LIMITE DI OPERATIVITA' | | | |
| DOMANDA | | CAPACITA' | |
| Spostamento mm | 6,895 | Spostamento mm | 16,782 |
| S.L. Operativita' | VERIFICATO | Numero passo precedente | 45 |
| PgaLO/g | 0,332 | ZetaE=PgaLO/Pga 81% | 3,423 |
| Rapporto q*=Fe/Fy | 0,47 | TrCLO | 2475,000 |
| Tempo Intervento (anni) | 2055,000 | (TrCLO/TDLO)^a | 3,475 |
| STATO LIMITE DI DANNO | | | |
| DOMANDA | | CAPACITA' | |
| Spostamento mm | 7,982 | Spostamento mm | 16,782 |
| S.L. Danno | VERIFICATO | Numero passo precedente | 45 |
| PgaLD/g | 0,332 | ZetaE=PgaLD/Pga 63% | 2,678 |
| Rapporto q*=Fe/Fy | 0,54 | Asta3D Nro | |
| Tempo Intervento (anni) | 1230,500 | TrCLD | 2475,000 |
| ----- | | (TrCLD/TDLD)^a | 2,810 |
| STATO LIMITE DI SALVAGUARDIA DELLA VITA | | | |
| DOMANDA | | CAPACITA' | |
| Spostamento mm | 14,432 | Spostamento mm | 16,782 |
| S.L. Salvaguardia Vita | VERIFICATO | Numero passo precedente | 45 |
| PgaLV/g | 0,332 | ZetaE=PgaLV/Pga 10% | 1,096 |
| Rapporto q*=Fe/Fy | 0,98 | Asta3D Nro | 23 |
| Tempo Intervento (anni) | 130,500 | TrCLV | 2475,000 |
| ----- | | (TrCLV/TDLV)^a | 1,115 |
| STATO LIMITE DI COLLASSO | | | |
| DOMANDA | | CAPACITA' | |
| Spostamento mm | 13,651 | Spostamento mm | 16,844 |
| S.L. Collasso | VERIFICATO | Numero passo precedente | 46 |
| PgaLC/g | 0,332 | ZetaE=PgaLC/Pga 5% | 1,000 |
| Rapporto q*=Fe/Fy | 0,93 | Asta3D Nro | 23 |

C.D.S.

| | | | |
|-------------------------|--------|-------------------------|-------------------|
| Tempo Intervento (anni) | 63,500 | TrCLC (TrCLC/TDLC)^a | 2475,000 1,000 |
|-------------------------|--------|-------------------------|-------------------|

RISULTATI GENERALI PUSH-OVER

| | | | |
|--------------------------|-----------|--|---------|
| PUSH-OVER N.ro | 6 - | Distrib.Forze Fx(-) Prop.Massa: +Ecc5% | |
| Angolo Ingr. Sisma (Grd) | 180 | Numero collassi totali | 5 |
| Numero passo Resist.Max. | 58 | Numero passi significativi | 58 |
| Massa SDOF (t) | 3374,02 | Taglio alla base max. (t) | 3877,22 |
| Coeff. Partecipazione | 1,00 | Resistenza SDOF (t) | 3532,51 |
| Rigidezza SDOF (t/m) | 236609,95 | Spostam. Snervam. SDOF mm | 15 |
| Periodo SDOF (sec) | 0,24 | Rapporto di incrudimento | 0,000 |
| Rapporto Alfau/alfa1 | 7,601 | Fattore di comportamento | 1,090 |
| Coeff Smorzam.Equival. | 11,000 | Duttilita | 1,264 |

STATO LIMITE DI OPERATIVITA'

| DOMANDA | | CAPACITA' | |
|-------------------------|------------|-------------------------|----------|
| Spostamento mm | 7,231 | Spostamento mm | 15,168 |
| S.L. Operativita' | VERIFICATO | Numero passo precedente | 42 |
| PgaLO/g | 0,332 | ZetaE=PgaLO/Pga 81% | 3,423 |
| Rapporto q*=Fe/Fy | 0,48 | TrCLO | 2475,000 |
| Tempo Intervento (anni) | 2055,000 | (TrCLO/TDLO)^a | 3,475 |

STATO LIMITE DI DANNO

| DOMANDA | | CAPACITA' | |
|-------------------------|------------|-------------------------|----------|
| Spostamento mm | 8,371 | Spostamento mm | 15,168 |
| S.L. Danno | VERIFICATO | Numero passo precedente | 42 |
| PgaLD/g | 0,332 | ZetaE=PgaLD/Pga 63% | 2,678 |
| Rapporto q*=Fe/Fy | 0,56 | Asta3D Nro | |
| Tempo Intervento (anni) | 1230,500 | TrCLD | 2475,000 |
| ----- | | (TrCLD/TDLD)^a | 2,810 |

STATO LIMITE DI SALVAGUARDIA DELLA VITA

| DOMANDA | | CAPACITA' | |
|-------------------------|------------|-------------------------|----------|
| Spostamento mm | 15,061 | Spostamento mm | 15,168 |
| S.L. Salvaguardia Vita | VERIFICATO | Numero passo precedente | 42 |
| PgaLV/g | 0,332 | ZetaE=PgaLV/Pga 10% | 1,096 |
| Rapporto q*=Fe/Fy | 1,00 | Asta3D Nro | 20 |
| Tempo Intervento (anni) | 130,500 | TrCLV | 2475,000 |
| ----- | | (TrCLV/TDLV)^a | 1,115 |

STATO LIMITE DI COLLASSO

| DOMANDA | | CAPACITA' | |
|-------------------------|------------|-------------------------|----------|
| Spostamento mm | 14,165 | Spostamento mm | 15,186 |
| S.L. Collasso | VERIFICATO | Numero passo precedente | 43 |
| PgaLC/g | 0,332 | ZetaE=PgaLC/Pga 5% | 1,000 |
| Rapporto q*=Fe/Fy | 0,95 | Asta3D Nro | 20 |
| Tempo Intervento (anni) | 63,500 | TrCLC | 2475,000 |
| ----- | | (TrCLC/TDLC)^a | 1,000 |

RISULTATI GENERALI PUSH-OVER

| | | | |
|--------------------------|-----------|--|---------|
| PUSH-OVER N.ro | 7 - | Distrib.Forze Fy(+) Prop.Massa: +Ecc5% | |
| Angolo Ingr. Sisma (Grd) | 90 | Numero collassi totali | 5 |
| Numero passo Resist.Max. | 57 | Numero passi significativi | 57 |
| Massa SDOF (t) | 3374,02 | Taglio alla base max. (t) | 4936,10 |
| Coeff. Partecipazione | 1,00 | Resistenza SDOF (t) | 4417,24 |
| Rigidezza SDOF (t/m) | 403424,28 | Spostam. Snervam. SDOF mm | 11 |
| Periodo SDOF (sec) | 0,18 | Rapporto di incrudimento | 0,000 |
| Rapporto Alfau/alfa1 | 4,586 | Fattore di comportamento | 1,066 |

| | | | |
|--|------------|-------------------------|----------|
| Coeff Smorzam.Equival. | 11,000 | Duttilita | 1,252 |
| STATO LIMITE DI OPERATIVITA' | | | |
| DOMANDA | | CAPACITA' | |
| Spostamento mm | 3,665 | Spostamento mm | 9,424 |
| S.L. Operativita' | VERIFICATO | Numero passo precedente | 34 |
| PgaLO/g | 0,332 | ZetaE=PgaLO/Pga 81% | 3,423 |
| Rapporto q*=Fe/Fy | 0,33 | TrCLO | 2475,000 |
| Tempo Intervento (anni) | 2055,000 | (TrCLO/TDLO)^a | 3,475 |
| STATO LIMITE DI DANNO | | | |
| DOMANDA | | CAPACITA' | |
| Spostamento mm | 4,241 | Spostamento mm | 9,424 |
| S.L. Danno | VERIFICATO | Numero passo precedente | 34 |
| PgaLD/g | 0,332 | ZetaE=PgaLD/Pga 63% | 2,678 |
| Rapporto q*=Fe/Fy | 0,39 | Asta3D Nro | |
| Tempo Intervento (anni) | 1230,500 | TrCLD | 2475,000 |
| ----- | | (TrCLD/TDLD)^a | 2,810 |
| STATO LIMITE DI SALVAGUARDIA DELLA VITA | | | |
| DOMANDA | | CAPACITA' | |
| Spostamento mm | 7,917 | Spostamento mm | 9,424 |
| S.L. Salvaguardia Vita | VERIFICATO | Numero passo precedente | 34 |
| PgaLV/g | 0,332 | ZetaE=PgaLV/Pga 10% | 1,096 |
| Rapporto q*=Fe/Fy | 0,72 | Asta3D Nro | 29 |
| Tempo Intervento (anni) | 130,500 | TrCLV | 2475,000 |
| ----- | | (TrCLV/TDLV)^a | 1,115 |
| STATO LIMITE DI COLLASSO | | | |
| DOMANDA | | CAPACITA' | |
| Spostamento mm | 8,267 | Spostamento mm | 9,446 |
| S.L. Collasso | VERIFICATO | Numero passo precedente | 35 |
| PgaLC/g | 0,332 | ZetaE=PgaLC/Pga 5% | 1,000 |
| Rapporto q*=Fe/Fy | 0,76 | Asta3D Nro | 29 |
| Tempo Intervento (anni) | 63,500 | TrCLC | 2475,000 |
| ----- | | (TrCLC/TDLC)^a | 1,000 |

RISULTATI GENERALI PUSH-OVER

| | | | |
|-------------------------------------|------------|--|----------|
| PUSH-OVER N.ro | 8 - | Distrib.Forze Fy(-) Prop.Massa: +Ecc5% | |
| Angolo Ingr. Sisma (Grd) | 270 | Numero collassi totali | 5 |
| Numero passo Resist.Max. | 98 | Numero passi significativi | 98 |
| Massa SDOF (t) | 3374,02 | Taglio alla base max. (t) | 8041,20 |
| Coeff. Partecipazione | 1,00 | Resistenza SDOF (t) | 7664,58 |
| Rigidzza SDOF (t/m) | 385193,63 | Spostam. Snervam. SDOF mm | 20 |
| Periodo SDOF (sec) | 0,19 | Rapporto di incrudimento | 0,000 |
| Rapporto Alfau/alfa1 | 9,415 | Fattore di comportamento | 1,027 |
| Coeff Smorzam.Equival. | 7,000 | Duttilita | 1,100 |
| STATO LIMITE DI OPERATIVITA' | | | |
| DOMANDA | | CAPACITA' | |
| Spostamento mm | 3,885 | Spostamento mm | 15,507 |
| S.L. Operativita' | VERIFICATO | Numero passo precedente | 69 |
| PgaLO/g | 0,332 | ZetaE=PgaLO/Pga 81% | 3,423 |
| Rapporto q*=Fe/Fy | 0,20 | TrCLO | 2475,000 |
| Tempo Intervento (anni) | 2055,000 | (TrCLO/TDLO)^a | 3,475 |
| STATO LIMITE DI DANNO | | | |
| DOMANDA | | CAPACITA' | |
| Spostamento mm | 4,496 | Spostamento mm | 15,507 |
| S.L. Danno | VERIFICATO | Numero passo precedente | 69 |

C.D.S.

| PgaLD/g | 0,332 | ZetaE=PgaLD/Pga 63% | 2,678 |
|---|------------|-------------------------|----------|
| Rapporto q*=Fe/Fy | 0,23 | Asta3D Nro | 27 |
| Tempo Intervento (anni) | 1230,500 | TrCLD | 2475,000 |
| ----- | | (TrCLD/TDLD)^a | 2,810 |
| STATO LIMITE DI SALVAGUARDIA DELLA VITA | | | |
| DOMANDA | | CAPACITA' | |
| Spostamento mm | 8,398 | Spostamento mm | 16,549 |
| S.L. Salvaguardia Vita | VERIFICATO | Numero passo precedente | 72 |
| PgaLV/g | 0,332 | ZetaE=PgaLV/Pga 10% | 1,096 |
| Rapporto q*=Fe/Fy | 0,42 | Asta3D Nro | 17 |
| Tempo Intervento (anni) | 130,500 | TrCLV | 2475,000 |
| ----- | | (TrCLV/TDLV)^a | 1,115 |
| STATO LIMITE DI COLLASSO | | | |
| DOMANDA | | CAPACITA' | |
| Spostamento mm | 8,701 | Spostamento mm | 16,678 |
| S.L. Collasso | VERIFICATO | Numero passo precedente | 73 |
| PgaLC/g | 0,332 | ZetaE=PgaLC/Pga 5% | 1,000 |
| Rapporto q*=Fe/Fy | 0,44 | Asta3D Nro | 17 |
| Tempo Intervento (anni) | 63,500 | TrCLC | 2475,000 |
| ----- | | (TrCLC/TDLC)^a | 1,000 |

RISULTATI GENERALI PUSH-OVER

| PUSH-OVER N.ro | 9 - | Distrib.Forze Fx(+) Prop.Modo: -Ecc5% | |
|---|------------|---------------------------------------|----------|
| Angolo Ingr. Sisma (Grd) | 0 | Numero collassi totali | 5 |
| Numero passo Resist.Max. | 49 | Numero passi significativi | 49 |
| Massa SDOF (t) | 1960,60 | Taglio alla base max. (t) | 3006,22 |
| Coeff. Partecipazione | 1,38 | Resistenza SDOF (t) | 2031,25 |
| Rigidzza SDOF (t/m) | 183198,55 | Spostam. Snervam. SDOF mm | 11 |
| Periodo SDOF (sec) | 0,21 | Rapporto di incrudimento | 0,000 |
| Rapporto Alfau/alfa1 | 7,138 | Fattore di comportamento | 1,051 |
| Coeff Smorzam.Equival. | 9,000 | Duttilita | 1,172 |
| STATO LIMITE DI OPERATIVITA' | | | |
| DOMANDA | | CAPACITA' | |
| Spostamento mm | 5,006 | Spostamento mm | 12,517 |
| S.L. Operativita' | VERIFICATO | Numero passo precedente | 44 |
| PgaLO/g | 0,332 | ZetaE=PgaLO/Pga 81% | 3,423 |
| Rapporto q*=Fe/Fy | 0,45 | TrCLO | 2475,000 |
| Tempo Intervento (anni) | 2055,000 | (TrCLO/TDLO)^a | 3,475 |
| STATO LIMITE DI DANNO | | | |
| DOMANDA | | CAPACITA' | |
| Spostamento mm | 5,794 | Spostamento mm | 12,517 |
| S.L. Danno | VERIFICATO | Numero passo precedente | 44 |
| PgaLD/g | 0,332 | ZetaE=PgaLD/Pga 63% | 2,678 |
| Rapporto q*=Fe/Fy | 0,52 | Asta3D Nro | |
| Tempo Intervento (anni) | 1230,500 | TrCLD | 2475,000 |
| ----- | | (TrCLD/TDLD)^a | 2,810 |
| STATO LIMITE DI SALVAGUARDIA DELLA VITA | | | |
| DOMANDA | | CAPACITA' | |
| Spostamento mm | 10,861 | Spostamento mm | 12,517 |
| S.L. Salvaguardia Vita | VERIFICATO | Numero passo precedente | 44 |
| PgaLV/g | 0,332 | ZetaE=PgaLV/Pga 10% | 1,096 |
| Rapporto q*=Fe/Fy | 0,98 | Asta3D Nro | 322 |
| Tempo Intervento (anni) | 130,500 | TrCLV | 2475,000 |
| ----- | | (TrCLV/TDLV)^a | 1,115 |

| STATO LIMITE DI COLLASSO | | | |
|--------------------------|------------|-------------------------|----------|
| DOMANDA | | CAPACITA' | |
| Spostamento mm | 10,631 | Spostamento mm | 12,522 |
| S.L. Collasso | VERIFICATO | Numero passo precedente | 45 |
| PgaLC/g | 0,332 | ZetaE=PgaLC/Pga 5% | 1,000 |
| Rapporto $q^*=Fe/Fy$ | 0,96 | Asta3D Nro | 322 |
| Tempo Intervento (anni) | 63,500 | TrCLC | 2475,000 |
| ----- | | (TrCLC/TDLC)^a | 1,000 |

| RISULTATI GENERALI PUSH-OVER | | | |
|------------------------------|-----------|---------------------------------------|---------|
| PUSH-OVER N.ro | 10 - | Distrib.Forze Fx(-) Prop.Modo: -Ecc5% | |
| Angolo Ingr. Sisma (Grd) | 180 | Numero collassi totali | 5 |
| Numero passo Resist.Max. | 59 | Numero passi significativi | 59 |
| Massa SDOF (t) | 1960,60 | Taglio alla base max. (t) | 3433,61 |
| Coeff. Partecipazione | 1,38 | Resistenza SDOF (t) | 2298,15 |
| Rigidzza SDOF (t/m) | 187654,91 | Spostam. Snervam. SDOF mm | 12 |
| Periodo SDOF (sec) | 0,21 | Rapporto di incrudimento | 0,000 |
| Rapporto Alfau/alfa1 | 8,143 | Fattore di comportamento | 1,061 |
| Coeff Smorzam.Equival. | 10,000 | Duttilita | 1,207 |

| STATO LIMITE DI OPERATIVITA' | | | |
|------------------------------|------------|-------------------------|----------|
| DOMANDA | | CAPACITA' | |
| Spostamento mm | 4,855 | Spostamento mm | 12,362 |
| S.L. Operativita' | VERIFICATO | Numero passo precedente | 46 |
| PgaLO/g | 0,332 | ZetaE=PgaLO/Pga 81% | 3,423 |
| Rapporto $q^*=Fe/Fy$ | 0,40 | TrCLO | 2475,000 |
| Tempo Intervento (anni) | 2055,000 | (TrCLO/TDLO)^a | 3,475 |

| STATO LIMITE DI DANNO | | | |
|-------------------------|------------|-------------------------|----------|
| DOMANDA | | CAPACITA' | |
| Spostamento mm | 5,620 | Spostamento mm | 12,362 |
| S.L. Danno | VERIFICATO | Numero passo precedente | 46 |
| PgaLD/g | 0,332 | ZetaE=PgaLD/Pga 63% | 2,678 |
| Rapporto $q^*=Fe/Fy$ | 0,46 | Asta3D Nro | |
| Tempo Intervento (anni) | 1230,500 | TrCLD | 2475,000 |
| ----- | | (TrCLD/TDLD)^a | 2,810 |

| STATO LIMITE DI SALVAGUARDIA DELLA VITA | | | |
|---|------------|-------------------------|----------|
| DOMANDA | | CAPACITA' | |
| Spostamento mm | 10,530 | Spostamento mm | 12,362 |
| S.L. Salvaguardia Vita | VERIFICATO | Numero passo precedente | 46 |
| PgaLV/g | 0,332 | ZetaE=PgaLV/Pga 10% | 1,096 |
| Rapporto $q^*=Fe/Fy$ | 0,86 | Asta3D Nro | 321 |
| Tempo Intervento (anni) | 130,500 | TrCLV | 2475,000 |
| ----- | | (TrCLV/TDLV)^a | 1,115 |

| STATO LIMITE DI COLLASSO | | | |
|--------------------------|------------|-------------------------|----------|
| DOMANDA | | CAPACITA' | |
| Spostamento mm | 10,378 | Spostamento mm | 12,380 |
| S.L. Collasso | VERIFICATO | Numero passo precedente | 47 |
| PgaLC/g | 0,332 | ZetaE=PgaLC/Pga 5% | 1,000 |
| Rapporto $q^*=Fe/Fy$ | 0,85 | Asta3D Nro | 321 |
| Tempo Intervento (anni) | 63,500 | TrCLC | 2475,000 |
| ----- | | (TrCLC/TDLC)^a | 1,000 |

| RISULTATI GENERALI PUSH-OVER | | | |
|------------------------------|------|---------------------------------------|---|
| PUSH-OVER N.ro | 11 - | Distrib.Forze Fy(+) Prop.Modo: -Ecc5% | |
| Angolo Ingr. Sisma (Grd) | 90 | Numero collassi totali | 5 |

C.D.S.

| | | | |
|--|------------|----------------------------|----------|
| Numero passo Resist.Max. | 64 | Numero passi significativi | 64 |
| Massa SDOF (t) | 2130,67 | Taglio alla base max. (t) | 4444,95 |
| Coeff. Partecipazione | 1,33 | Resistenza SDOF (t) | 2941,86 |
| Rigidezza SDOF (t/m) | 325727,56 | Spostam. Snervam. SDOF mm | 9 |
| Periodo SDOF (sec) | 0,16 | Rapporto di incrudimento | 0,000 |
| Rapporto Alfau/alfa1 | 4,943 | Fattore di comportamento | 1,064 |
| Coeff Smorzam.Equival. | 11,000 | Duttilita | 1,275 |
| STATO LIMITE DI OPERATIVITA' | | | |
| DOMANDA | | CAPACITA' | |
| Spostamento mm | 2,696 | Spostamento mm | 7,266 |
| S.L. Operativita' | VERIFICATO | Numero passo precedente | 31 |
| PgaLO/g | 0,332 | ZetaE=PgaLO/Pga 81% | 3,423 |
| Rapporto q*=Fe/Fy | 0,30 | TrCLO | 2475,000 |
| Tempo Intervento (anni) | 2055,000 | (TrCLO/TDLO)^a | 3,475 |
| STATO LIMITE DI DANNO | | | |
| DOMANDA | | CAPACITA' | |
| Spostamento mm | 3,120 | Spostamento mm | 7,266 |
| S.L. Danno | VERIFICATO | Numero passo precedente | 31 |
| PgaLD/g | 0,332 | ZetaE=PgaLD/Pga 63% | 2,678 |
| Rapporto q*=Fe/Fy | 0,35 | Asta3D Nro | |
| Tempo Intervento (anni) | 1230,500 | TrCLD | 2475,000 |
| ----- | | (TrCLD/TDLD)^a | 2,810 |
| STATO LIMITE DI SALVAGUARDIA DELLA VITA | | | |
| DOMANDA | | CAPACITA' | |
| Spostamento mm | 5,798 | Spostamento mm | 7,266 |
| S.L. Salvaguardia Vita | VERIFICATO | Numero passo precedente | 31 |
| PgaLV/g | 0,332 | ZetaE=PgaLV/Pga 10% | 1,096 |
| Rapporto q*=Fe/Fy | 0,64 | Asta3D Nro | 27 |
| Tempo Intervento (anni) | 130,500 | TrCLV | 2475,000 |
| ----- | | (TrCLV/TDLV)^a | 1,115 |
| STATO LIMITE DI COLLASSO | | | |
| DOMANDA | | CAPACITA' | |
| Spostamento mm | 6,021 | Spostamento mm | 7,303 |
| S.L. Collasso | VERIFICATO | Numero passo precedente | 32 |
| PgaLC/g | 0,332 | ZetaE=PgaLC/Pga 5% | 1,000 |
| Rapporto q*=Fe/Fy | 0,67 | Asta3D Nro | 27 |
| Tempo Intervento (anni) | 63,500 | TrCLC | 2475,000 |
| ----- | | (TrCLC/TDLC)^a | 1,000 |

RISULTATI GENERALI PUSH-OVER

| | | | |
|-------------------------------------|------------|--------------------------------------|---------|
| PUSH-OVER N.ro | 12 - | Distrib.Forze Fy(-) Prop.Mod: -Ecc5% | |
| Angolo Ingr. Sisma (Grd) | 270 | Numero collassi totali | 5 |
| Numero passo Resist.Max. | 94 | Numero passi significativi | 94 |
| Massa SDOF (t) | 2130,67 | Taglio alla base max. (t) | 6430,27 |
| Coeff. Partecipazione | 1,33 | Resistenza SDOF (t) | 4616,33 |
| Rigidezza SDOF (t/m) | 314078,28 | Spostam. Snervam. SDOF mm | 15 |
| Periodo SDOF (sec) | 0,17 | Rapporto di incrudimento | 0,000 |
| Rapporto Alfau/alfa1 | 9,048 | Fattore di comportamento | 1,022 |
| Coeff Smorzam.Equival. | 7,000 | Duttilita | 1,092 |
| STATO LIMITE DI OPERATIVITA' | | | |
| DOMANDA | | CAPACITA' | |
| Spostamento mm | 2,821 | Spostamento mm | 12,106 |
| S.L. Operativita' | VERIFICATO | Numero passo precedente | 67 |
| PgaLO/g | 0,332 | ZetaE=PgaLO/Pga 81% | 3,423 |

Sidoti Engineering S.R.L.

SOFTWARE: C.D.S. - Full - Rel.2018 - Lic. Nro: 34987

C.D.S.

| | | | |
|--|------------|-------------------------|----------|
| Rapporto $q^*=Fe/Fy$ | 0,19 | TrCLO | 2475,000 |
| Tempo Intervento (anni) | 2055,000 | (TrCLO/TDLO)^a | 3,475 |
| STATO LIMITE DI DANNO | | | |
| DOMANDA | | CAPACITA' | |
| Spostamento mm | 3,264 | Spostamento mm | 12,106 |
| S.L. Danno | VERIFICATO | Numero passo precedente | 67 |
| PgaLD/g | 0,332 | ZetaE=PgaLD/Pga 63% | 2,678 |
| Rapporto $q^*=Fe/Fy$ | 0,22 | Asta3D Nro | 29 |
| Tempo Intervento (anni) | 1230,500 | TrCLD | 2475,000 |
| ----- | | (TrCLD/TDLD)^a | 2,810 |
| STATO LIMITE DI SALVAGUARDIA DELLA VITA | | | |
| DOMANDA | | CAPACITA' | |
| Spostamento mm | 6,070 | Spostamento mm | 12,186 |
| S.L. Salvaguardia Vita | VERIFICATO | Numero passo precedente | 67 |
| PgaLV/g | 0,332 | ZetaE=PgaLV/Pga 10% | 1,096 |
| Rapporto $q^*=Fe/Fy$ | 0,41 | Asta3D Nro | 423 |
| Tempo Intervento (anni) | 130,500 | TrCLV | 2475,000 |
| ----- | | (TrCLV/TDLV)^a | 1,115 |
| STATO LIMITE DI COLLASSO | | | |
| DOMANDA | | CAPACITA' | |
| Spostamento mm | 6,309 | Spostamento mm | 12,223 |
| S.L. Collasso | VERIFICATO | Numero passo precedente | 68 |
| PgaLC/g | 0,332 | ZetaE=PgaLC/Pga 5% | 1,000 |
| Rapporto $q^*=Fe/Fy$ | 0,43 | Asta3D Nro | 423 |
| Tempo Intervento (anni) | 63,500 | TrCLC | 2475,000 |
| ----- | | (TrCLC/TDLC)^a | 1,000 |

RISULTATI GENERALI PUSH-OVER

| | | | |
|--|------------|--|----------|
| PUSH-OVER N.ro | 13 - | Distrib.Forze Fx(+) Prop.Massa: -Ecc5% | |
| Angolo Ingr. Sisma (Grd) | 0 | Numero collassi totali | 5 |
| Numero passo Resist.Max. | 59 | Numero passi significativi | 59 |
| Massa SDOF (t) | 3374,02 | Taglio alla base max. (t) | 3728,64 |
| Coeff. Partecipazione | 1,00 | Resistenza SDOF (t) | 3470,01 |
| Rigidzza SDOF (t/m) | 237527,89 | Spostam. Snervam. SDOF mm | 15 |
| Periodo SDOF (sec) | 0,24 | Rapporto di incrudimento | 0,000 |
| Rapporto Alfau/alfa1 | 7,158 | Fattore di comportamento | 1,101 |
| Coeff Smorzam.Equival. | 12,000 | Duttilita | 1,295 |
| STATO LIMITE DI OPERATIVITA' | | | |
| DOMANDA | | CAPACITA' | |
| Spostamento mm | 7,195 | Spostamento mm | 16,032 |
| S.L. Operativita' | VERIFICATO | Numero passo precedente | 45 |
| PgaLO/g | 0,332 | ZetaE=PgaLO/Pga 81% | 3,423 |
| Rapporto $q^*=Fe/Fy$ | 0,49 | TrCLO | 2475,000 |
| Tempo Intervento (anni) | 2055,000 | (TrCLO/TDLO)^a | 3,475 |
| STATO LIMITE DI DANNO | | | |
| DOMANDA | | CAPACITA' | |
| Spostamento mm | 8,330 | Spostamento mm | 16,032 |
| S.L. Danno | VERIFICATO | Numero passo precedente | 45 |
| PgaLD/g | 0,332 | ZetaE=PgaLD/Pga 63% | 2,678 |
| Rapporto $q^*=Fe/Fy$ | 0,57 | Asta3D Nro | |
| Tempo Intervento (anni) | 1230,500 | TrCLD | 2475,000 |
| ----- | | (TrCLD/TDLD)^a | 2,810 |
| STATO LIMITE DI SALVAGUARDIA DELLA VITA | | | |
| DOMANDA | | CAPACITA' | |

C.D.S.

| | | | |
|---------------------------------|------------|-------------------------|----------|
| Spostamento mm | 15,511 | Spostamento mm | 16,032 |
| S.L. Salvaguardia Vita | VERIFICATO | Numero passo precedente | 45 |
| PgaLV/g | 0,332 | ZetaE=PgaLV/Pga 10% | 1,096 |
| Rapporto q*=Fe/Fy | 1,02 | Asta3D Nro | 23 |
| Tempo Intervento (anni) | 130,500 | TrCLV | 2475,000 |
| ----- | | (TrCLV/TDLV)^a | 1,115 |
| STATO LIMITE DI COLLASSO | | | |
| DOMANDA | | CAPACITA' | |
| Spostamento mm | 14,110 | Spostamento mm | 16,081 |
| S.L. Collasso | VERIFICATO | Numero passo precedente | 46 |
| PgaLC/g | 0,332 | ZetaE=PgaLC/Pga 5% | 1,000 |
| Rapporto q*=Fe/Fy | 0,97 | Asta3D Nro | 23 |
| Tempo Intervento (anni) | 63,500 | TrCLC | 2475,000 |
| ----- | | (TrCLC/TDLC)^a | 1,000 |

RISULTATI GENERALI PUSH-OVER

| | | | |
|--|------------|--|----------|
| PUSH-OVER N.ro | 14 - | Distrib.Forze Fx(-) Prop.Massa: -Ecc5% | |
| Angolo Ingr. Sisma (Grd) | 180 | Numero collassi totali | 5 |
| Numero passo Resist.Max. | 54 | Numero passi significativi | 54 |
| Massa SDOF (t) | 3374,02 | Taglio alla base max. (t) | 3835,41 |
| Coeff. Partecipazione | 1,00 | Resistenza SDOF (t) | 3619,33 |
| Rigidezza SDOF (t/m) | 245172,78 | Spostam. Snervam. SDOF mm | 15 |
| Periodo SDOF (sec) | 0,24 | Rapporto di incrudimento | 0,000 |
| Rapporto Alfau/alfa1 | 7,351 | Fattore di comportamento | 1,071 |
| Coeff Smorzam.Equival. | 10,000 | Duttilita | 1,210 |
| STATO LIMITE DI OPERATIVITA' | | | |
| DOMANDA | | CAPACITA' | |
| Spostamento mm | 6,907 | Spostamento mm | 15,375 |
| S.L. Operativita' | VERIFICATO | Numero passo precedente | 40 |
| PgaLO/g | 0,332 | ZetaE=PgaLO/Pga 81% | 3,423 |
| Rapporto q*=Fe/Fy | 0,47 | TrCLO | 2475,000 |
| Tempo Intervento (anni) | 2055,000 | (TrCLO/TDLO)^a | 3,475 |
| STATO LIMITE DI DANNO | | | |
| DOMANDA | | CAPACITA' | |
| Spostamento mm | 7,996 | Spostamento mm | 15,375 |
| S.L. Danno | VERIFICATO | Numero passo precedente | 40 |
| PgaLD/g | 0,332 | ZetaE=PgaLD/Pga 63% | 2,678 |
| Rapporto q*=Fe/Fy | 0,54 | Asta3D Nro | |
| Tempo Intervento (anni) | 1230,500 | TrCLD | 2475,000 |
| ----- | | (TrCLD/TDLD)^a | 2,810 |
| STATO LIMITE DI SALVAGUARDIA DELLA VITA | | | |
| DOMANDA | | CAPACITA' | |
| Spostamento mm | 14,452 | Spostamento mm | 15,375 |
| S.L. Salvaguardia Vita | VERIFICATO | Numero passo precedente | 40 |
| PgaLV/g | 0,332 | ZetaE=PgaLV/Pga 10% | 1,096 |
| Rapporto q*=Fe/Fy | 0,98 | Asta3D Nro | 16 |
| Tempo Intervento (anni) | 130,500 | TrCLV | 2475,000 |
| ----- | | (TrCLV/TDLV)^a | 1,115 |
| STATO LIMITE DI COLLASSO | | | |
| DOMANDA | | CAPACITA' | |
| Spostamento mm | 13,670 | Spostamento mm | 15,408 |
| S.L. Collasso | VERIFICATO | Numero passo precedente | 41 |
| PgaLC/g | 0,332 | ZetaE=PgaLC/Pga 5% | 1,000 |
| Rapporto q*=Fe/Fy | 0,93 | Asta3D Nro | 16 |

C.D.S.

| | | | |
|-------------------------|--------|-------------------------|-------------------|
| Tempo Intervento (anni) | 63,500 | TrCLC (TrCLC/TDLC)^a | 2475,000 1,000 |
|-------------------------|--------|-------------------------|-------------------|

RISULTATI GENERALI PUSH-OVER

| | | | |
|--------------------------|-----------|--|---------|
| PUSH-OVER N.ro | 15 - | Distrib.Forze Fy(+) Prop.Massa: -Ecc5% | |
| Angolo Ingr. Sisma (Grd) | 90 | Numero collassi totali | 5 |
| Numero passo Resist.Max. | 54 | Numero passi significativi | 54 |
| Massa SDOF (t) | 3374,02 | Taglio alla base max. (t) | 4821,25 |
| Coeff. Partecipazione | 1,00 | Resistenza SDOF (t) | 4337,13 |
| Rigidezza SDOF (t/m) | 403895,28 | Spostam. Snervam. SDOF mm | 11 |
| Periodo SDOF (sec) | 0,18 | Rapporto di incrudimento | 0,000 |
| Rapporto Alfau/alfa1 | 4,742 | Fattore di comportamento | 1,066 |
| Coeff Smorzam.Equival. | 11,000 | Duttilita | 1,254 |

STATO LIMITE DI OPERATIVITA'

| DOMANDA | | CAPACITA' | |
|-------------------------|------------|-------------------------|----------|
| Spostamento mm | 3,660 | Spostamento mm | 9,427 |
| S.L. Operativita' | VERIFICATO | Numero passo precedente | 32 |
| PgaLO/g | 0,332 | ZetaE=PgaLO/Pga 81% | 3,423 |
| Rapporto q*=Fe/Fy | 0,34 | TrCLO | 2475,000 |
| Tempo Intervento (anni) | 2055,000 | (TrCLO/TDLO)^a | 3,475 |

STATO LIMITE DI DANNO

| DOMANDA | | CAPACITA' | |
|-------------------------|------------|-------------------------|----------|
| Spostamento mm | 4,235 | Spostamento mm | 9,427 |
| S.L. Danno | VERIFICATO | Numero passo precedente | 32 |
| PgaLD/g | 0,332 | ZetaE=PgaLD/Pga 63% | 2,678 |
| Rapporto q*=Fe/Fy | 0,39 | Asta3D Nro | |
| Tempo Intervento (anni) | 1230,500 | TrCLD | 2475,000 |
| ----- | | (TrCLD/TDLD)^a | 2,810 |

STATO LIMITE DI SALVAGUARDIA DELLA VITA

| DOMANDA | | CAPACITA' | |
|-------------------------|------------|-------------------------|----------|
| Spostamento mm | 7,905 | Spostamento mm | 9,427 |
| S.L. Salvaguardia Vita | VERIFICATO | Numero passo precedente | 32 |
| PgaLV/g | 0,332 | ZetaE=PgaLV/Pga 10% | 1,096 |
| Rapporto q*=Fe/Fy | 0,74 | Asta3D Nro | 27 |
| Tempo Intervento (anni) | 130,500 | TrCLV | 2475,000 |
| ----- | | (TrCLV/TDLV)^a | 1,115 |

STATO LIMITE DI COLLASSO

| DOMANDA | | CAPACITA' | |
|-------------------------|------------|-------------------------|----------|
| Spostamento mm | 8,255 | Spostamento mm | 9,447 |
| S.L. Collasso | VERIFICATO | Numero passo precedente | 33 |
| PgaLC/g | 0,332 | ZetaE=PgaLC/Pga 5% | 1,000 |
| Rapporto q*=Fe/Fy | 0,77 | Asta3D Nro | 27 |
| Tempo Intervento (anni) | 63,500 | TrCLC | 2475,000 |
| ----- | | (TrCLC/TDLC)^a | 1,000 |

RISULTATI GENERALI PUSH-OVER

| | | | |
|--------------------------|-----------|--|---------|
| PUSH-OVER N.ro | 16 - | Distrib.Forze Fy(-) Prop.Massa: -Ecc5% | |
| Angolo Ingr. Sisma (Grd) | 270 | Numero collassi totali | 5 |
| Numero passo Resist.Max. | 94 | Numero passi significativi | 94 |
| Massa SDOF (t) | 3374,02 | Taglio alla base max. (t) | 7779,18 |
| Coeff. Partecipazione | 1,00 | Resistenza SDOF (t) | 7404,65 |
| Rigidezza SDOF (t/m) | 386334,91 | Spostam. Snervam. SDOF mm | 19 |
| Periodo SDOF (sec) | 0,19 | Rapporto di incrudimento | 0,000 |
| Rapporto Alfau/alfa1 | 9,237 | Fattore di comportamento | 1,027 |

C.D.S.

| | | | |
|--|------------|-------------------------|----------|
| Coeff Smorzam.Equival. | 7,000 | Duttilita | 1,101 |
| STATO LIMITE DI OPERATIVITA' | | | |
| DOMANDA | | CAPACITA' | |
| Spostamento mm | 3,870 | Spostamento mm | 15,205 |
| S.L. Operativita' | VERIFICATO | Numero passo precedente | 66 |
| PgaLO/g | 0,332 | ZetaE=PgaLO/Pga 81% | 3,423 |
| Rapporto q*=Fe/Fy | 0,20 | TrCLO | 2475,000 |
| Tempo Intervento (anni) | 2055,000 | (TrCLO/TDLO)^a | 3,475 |
| STATO LIMITE DI DANNO | | | |
| DOMANDA | | CAPACITA' | |
| Spostamento mm | 4,479 | Spostamento mm | 15,205 |
| S.L. Danno | VERIFICATO | Numero passo precedente | 66 |
| PgaLD/g | 0,332 | ZetaE=PgaLD/Pga 63% | 2,678 |
| Rapporto q*=Fe/Fy | 0,23 | Asta3D Nro | 29 |
| Tempo Intervento (anni) | 1230,500 | TrCLD | 2475,000 |
| ----- | | (TrCLD/TDLD)^a | 2,810 |
| STATO LIMITE DI SALVAGUARDIA DELLA VITA | | | |
| DOMANDA | | CAPACITA' | |
| Spostamento mm | 8,366 | Spostamento mm | 15,207 |
| S.L. Salvaguardia Vita | VERIFICATO | Numero passo precedente | 66 |
| PgaLV/g | 0,332 | ZetaE=PgaLV/Pga 10% | 1,096 |
| Rapporto q*=Fe/Fy | 0,44 | Asta3D Nro | 17 |
| Tempo Intervento (anni) | 130,500 | TrCLV | 2475,000 |
| ----- | | (TrCLV/TDLV)^a | 1,115 |
| STATO LIMITE DI COLLASSO | | | |
| DOMANDA | | CAPACITA' | |
| Spostamento mm | 8,675 | Spostamento mm | 15,218 |
| S.L. Collasso | VERIFICATO | Numero passo precedente | 67 |
| PgaLC/g | 0,332 | ZetaE=PgaLC/Pga 5% | 1,000 |
| Rapporto q*=Fe/Fy | 0,45 | Asta3D Nro | 17 |
| Tempo Intervento (anni) | 63,500 | TrCLC | 2475,000 |
| ----- | | (TrCLC/TDLC)^a | 1,000 |